

# Радиохобби

Журнал для радиолюбителей,  
аудиофилов и пользователей ПК  
**№ 3(27)/ИЮНЬ 2002**

Совместное издание с  
Лигой радиолюбителей Украины  
Издается с февраля 1998 г.



**Главный редактор**  
Николай Сухов

**Редакционная коллегия**  
Георгий Божко (UT5ULB)

Евгений Васильченко  
Александр Егоров  
Сергей Кубушин  
Евгений Лукин  
Всеволод Марценюк  
Олег Никитенко  
Александр Торрес  
Николай Федосеев (UT2UZ)  
Георгий Чилиянц (UY5XE)  
Владимир Широков

**Адрес редакции**  
Украина, 03190, Киев-190, а/я 568  
Тел./факс: (044) 4437153  
E-mail: radiohobby@mail.ru  
Fido: 2:463/197.34  
<http://radiohobby.go.to>  
<http://radiohobby.da.ru>

**Распространение**  
по подписке в любом отделении связи:

**Украина** - по «Каталогу видань України» ДП «Преса», **индекс 74221**

**Россия и другие страны СНГ, Литва, Латвия, Эстония** - по каталогу «Газеты и журналы» агентства Роспечать, **индекс 45955**

**Дальнее зарубежье** - по каталогу «Russian Newspapers & Magazines 2002» агентства Роспечать  
<http://www.rospr.ru>

Выражаем благодарность всем авторам за их мысли и идеи и всем подписчикам за доверие и материальную поддержку журнала

Редакция может не разделять мнение авторов и не несет ответственности за содержание рекламы

© «Радиохобби». Перепечатка материалов без письменного разрешения редакции запрещена. При цитировании обязательна полная библиографическая ссылка с указанием названия и номера журнала

Подписано к печати 03.06.2002 г.  
Отпечатано на журнальном комплексе издательства  
«Преса України», м.Ків, вул. Героїв космосу, 6  
Тираж 11050 экз.

Заказ № 0130239, цена договорная  
Учредитель и издатель ООО «Эксперт»

г.Киев, ул.Гончарова, 21  
Журнал выходит шесть раз в год  
60x84/8 бум. форм., 7,44 усл.печ.л., 12,8 уч.-изд.л.  
Зарегистрирован Госкомитетом Российской Федерации по печати 25.06.97 г., свид. №016258  
Зарегистрирован Министерством информации Украины 11.06.97 г., свид.серия КВ №2678

# СОДЕРЖАНИЕ

- 2 Радиосвязь в 1837 году? Реальность и домыслы ..... В.Пестриков**  
К 165-летию изобретения самопрерывателя Вагнера
- 5 Новая техника и технология: ИНТЕРНЕТ-обзор**  
WirelessSWAT™ и LinkSIM™ - программы разработки радиосетей и оптимизации коммуникационных систем; FIDELITY 3.5 - трехмерный симулятор СВЧ устройств; COCAFIL и FilterSul - программы синтеза фильтров на волноводах и микрополосковых линиях; универсальный электронный справочник Блаттенбергера; CD DAE v.0.4b - аудиориппер от Ahead Software с функцией индикации ошибок C2; выход новой программы распознавания образов FineReader 6; модуль проверки почты на вирусы для The Batt; Ad-Aware 5.81 очистит ПК от spyware-компонентов; Saphion™ - технология литий-ионных аккумуляторов, не боящихся полного разряда и перезаряды; новые транзисторы IBM на основе углеродных нанотруб в 500 раз меньше обычных; оптические диски InPhase с голографической записью емкостью 100 ГБ; JUMPTec® WEBasDISK, видеокарта Xcard™ с аппаратным MPEG-4 декодером; усовершенствованные спаренные аналоговые КМОП ключи NLAS323 ON Semiconductor; первый мощный N-канальный транзистор International Rectifier с рабочим напряжением 1000 В; недорогой ультракоростной спаренный диод с прямым током до 35 А и временем восстановления 28 нс; широкополосные малошумящие трансиверные ОУ TSH11x STMicroelectronics; одночиповый модем TDK 73M2901; PIC18F6720/8720 - первые микроконтроллеры с встроенной памятью больше мегабита; сигнальные контроллеры dsPIC™; стереоаудиоЖАП PCM2702 BurrBrown с интегрированным USB-контроллером
- 10 Дайджест зарубежной периодики**  
Универсальный High-End Circotron; мостовой УМЗЧ автолюбителя; транзисторный УМЗЧ с общей ООС по переменному току, охватывающей большее число каскадов, чем ООС по постоянному; «цельнополевые» линейные High-End усилители; ФНЧ для сабвуфера; трехканальный УМЗЧ с сабвуфером на двух микросхемах; световой индикатор телефонного звонка; автоматическая мигалка для дискотеки; сигнализатор превышения температуры; реле времени без реле; адаптер 1-Wire ⇒ RS232; приёмник для «охоты на ... мобильные телефоны»; синтезатор частот для УКВ радиостанции; приёмник прямого преобразования на 136 кГц; двойная дельта-петлевая антенна с рефлектором и другие наиболее интересные устройства из трех десятков зарубежных журналов
- 24 QUA-UARL** Информационный бюллетень ЛРУ. Международные соревнования второго полугодия.  
Адреса региональных QSL-büro России
- 25 Вседиапазонная КВ антенна «VMA-10 No Problem» ..... Э.Гуткин**
- 28 Вторая версия MixW от UT2UZ и UU9JDR ..... В.Ткаченко**
- 31 Минисправочник** Цифровые мультиметры M-300, M-3900, M-93A, MY-61
- 35 Устройство амплитудно-фазового подавления помехи на входе приёмника радиостанции ..... В.Трубачев**
- 36 Современные массовые телевизоры ..... И.Безверхний**  
Особенности каналов звука
- 40 Генератор испытательных телевизионных сигналов на базе игровой видеоприставки «DENDY» ..... Г.Ганичев**
- 44 Видеозахват и сжатие видео - как добиться приемлемого ..... В.Болотов**
- 48 Акустическая лаборатория аудиофилов-радиолюбителя ..... И.Петрухин**
- 52 Ламповый калейдоскоп ..... С.Симулин**  
Продолжение цикла. В этой статье - SE и PP на 6П6С в режиме класса А и PP в ультралинейном
- 55 Доработка наушников KOSS A/130 ..... В.Марценюк**  
Рекомендации «левши» XXI века
- 56 Универсальный велосипедный путевой прибор на PIC16F84 ..... Ю.Сафонов**
- 58 Зарядное устройство для автомобильного аккумулятора ..... С.Плиец**  
Очень компактное решение обычно громоздкого устройства
- 60 Сварочный полуавтомат в углекислотной газовой среде с автоматической подачей сварочной проволоки ..... В.Помелов**
- 62 Преобразование файлов P-CAD в графический формат PCX ..... А.Горяччин**
- 64 CD-ROM энциклопедия**  
Новые электронные справочники «Схемы и сервис-мануалы» от фирмы Десси

**!** **Внимание, подписка на второе полугодие заканчивается 10 июня. Не опоздайте.** ☺

# Радиосвязь в 1837 году? Реальность и домыслы

Виктор Пестриков, Санкт-Петербург

Изобретение электромагнита сыграло большую роль в появлении различных устройств в области электротехники и радиотехники. В телеграфном аппарате перо, записывающее сигнал на бумажную ленту, прижимается электромагнитом. Мембранны телефонных трубок и наушников, которые излучают звуковые волны, колеблются электромагнитом. Различные процессы переключения в автоматике и телемеханике производятся специальными электромагнитными устройствами, называемыми реле.

Изобретению электромагнита предшествовал ряд важных открытий в области электричества, которые связаны с именами Ханса Кристиана Эрстеда (14.08.1777-9.03.1851), Доминика Франсуа Араго (26.02.1786-2.10.1853) и Андре Мари Ампера (22.01.1775-10.06.1836).

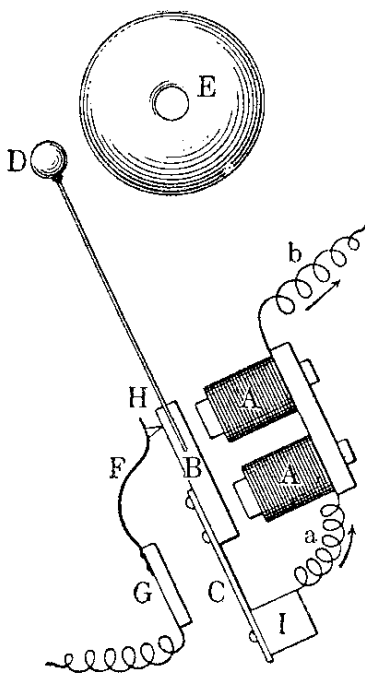
Первая конструкция электромагнита, пригодного для практических целей, в частности, подковообразного, была предложена не сразу, а только через 5 лет после появления работ А.М Ампера. Это сделал английский ученый самоучка Вильям Стерджен (William Sturgeon, 1783-1850). В. Стерджен интересен для нас не только как изобретатель подковообразного электромагнита, но и тем, что знаменитый английский физик Джеймс Прескотт Джоуль был его учеником.

Первое сигнальное устройство – электрозвонок, появился благодаря изобретению электромагнита. В радиоприемных устройствах А.С.Попова, и не только его, использовавшихся для беспроводной телеграфии, факт приема радиоволн фиксировался звуком звонка.

В 1831 году американским физиком Джозефом Генри было сделана одна из первых попыток в реализации идеи электромагнитного телеграфа, в приемной части которого использовалась простейшая конструкция электрозвонка. Электрозвонок состоял из настольного колокольчика и насаженного на вертикально закрепленную иглу стального прутка длиной 250 мм. Пруток, благодаря такому устройству узла крепления, мог свободно поворачиваться в горизонтальной плоскости, когда один его конец притягивался электромагнитом, в случае появления электрического сигнала в телеграфной линии. В этот момент другой конец прутка ударял по колокольчику и раздавался звон (рис. 1). Первый

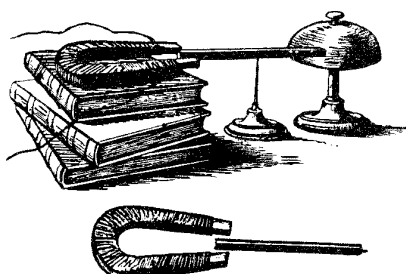
электрический звонок питался от источника постоянного тока и представлял обычный электромагнит, к которому притягивался молоточек, ударяющий по колокольчику, когда нажимали на кнопку. Чтобы такой звонок звенел, необходимо было периодич-

**Рис.2 Конструкция электрического звонка с самопрерывателем Вагнера, изобретенным в 1837 году немецким электротехником И.Ф.Вагнером. Детали самопрерывателя: AA – электромагнит, B – якорь, C – плоская пружина, F – пружинистый контакт, H – острый контакт F.**



чески нажимать на кнопку, что было очень неудобно. В принципе такой звонок не создавал знакомую нам ныне трель, а его звук скорее напоминал своеобразный стук.

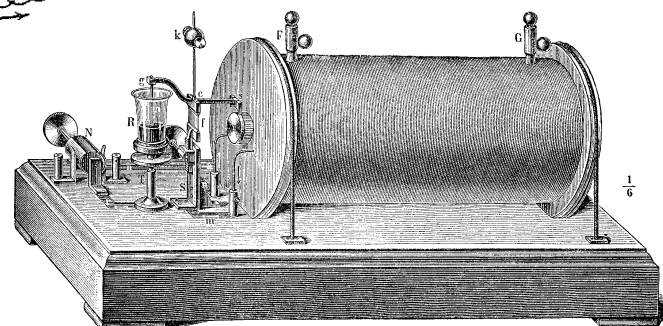
Электрический звонок начал издавать трель только после изобретения самопрерывателя Вагнера, названного по фамилии его изобретателя. Это устройство позволяло быстро размыкать и замыкать ток в цепи звонка и тем самым придавать ему неповторимое звучание (рис.2). Немецкий электротехник Иоганн Филипп Вагнер (24.01.1799-8.01.1879) представил свое изобретение Франкфуртскому физическому обществу 25 февраля 1837 года. Он оказался автором одного из самых распространенных не только в электротехнике, но и радиотехнике изобретения – электромагнитного молоткового прерывателя тока (другие названия: самопрерыватель Вагнера и Неферовский



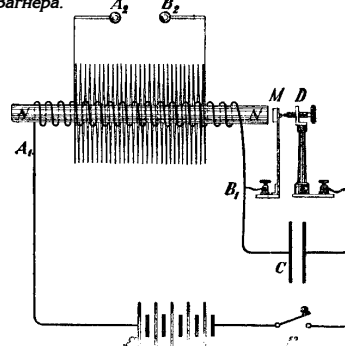
**Рис.1. Первый электрический звонок конструкции американского физика Д.Генри, 1831 г.**

молоточек), существующего и поныне в электрических звонках, питающихся от источника постоянного тока. Вагнеровский молоточек явился впоследствии важной составляющей частью в конструкции знаменитой катушки Г. Румкорфа. На заре радиотехники с помощью этой катушки создавались искусственные радиоволны (рис.3).

Появление электрического звонка с электромагнитным молотковым прерывателем тока стало еще одним шагом к созданию устройства, которое стало составляющим элементом будущей системы радиосвязи. Речь идет о зуммере – устройстве, которое напоминает обычный звонок, но без колокольчика и молоточка. Зуммер – это электромагнитный прибор-прерыватель, превращающий постоянный ток в прерывистый или переменный. Во время работы он издает трещящий или жужжащий звук. Иногда зуммер называют пищиком, так как с помощью его можно получить звук высокого тона. Колебания в зуммере обусловлены наличием прерывистого контакта. При подключении к нему источника постоянного тока электромагнит притягивает якорь. В момент притяжения якоря разрывается контакт, и магнит перестает притягивать якорь. Якорь возвращается в исходное положение, и контакт замыкается. Электромагнит опять притягивает якорь к сердечнику катушки. Из-за повторенного включения и выключения тока электромагнита происходит вибрация якоря. В простейшем случае, зуммер состоит из катушки с сердечником, электромагнита и контактного регулирующего устройства, с помощью которого можно устанавливать требуемую частоту тона зуммера. Зуммер нашел применение в радиотехнике.



**Рис.3. Конструкция (сверху) и схема (снизу) катушки Г.Румкорфа с самопрерывателем Вагнера.**



ке для измерения емкости конденсаторов, индуктивности катушки, длины волны, отыскания чувствительных точек детектора, он заменил звонок в некоторых системах телефонных аппаратов и т.д. По существу это был генератор колебаний звуковой и высокой частот, не содержащий ни электронных ламп, ни транзисторов. В 1902 году фирма Duretet выпускала пробник для проверки чувствительности радиоприемников, который поставлялся для российской военно-электрической школы. В школе прибором пользовались при проверке чувствительности аппаратов приемных военных радиостанций. Пробник представлял собой обычный электрический звонок с антенной, прикрепленной к одному из контактов прерывателя (рис.4).

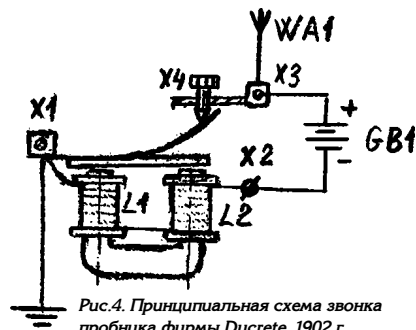


Рис.4. Принципиальная схема звонка пробника фирмы Duretete. 1902 г.

В дотранзисторную эпоху зуммер имел широкое распространение в радиоизмерениях и блоках питания переносной и передвижной радиоаппаратуры. На рис.5 приведена схема измерителя емкости конденсатора с использованием зуммера. В этой схеме зуммер выполнял роль звукового генератора. На рис.6 представлена схема системы любительского радиотелеграфа, передатчик которой построен с использованием зуммера. Заметим, что в современной системе условно-графических обозначений на радиоэлектронных схемах

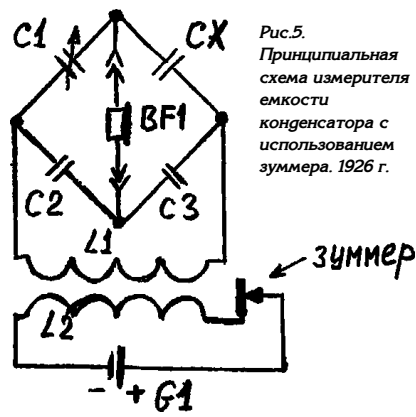


Рис.5.  
Принципиальная  
схема измерителя  
емкости  
конденсатора с  
использованием  
зуммера. 1926 г.

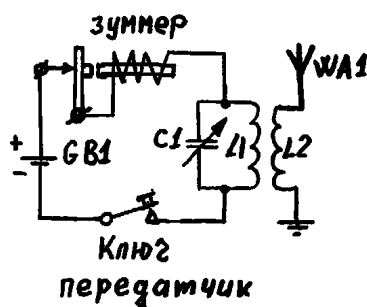


Рис.6. Принципиальная схема любительского радиотелеграфа. 1924 г.

имеется обозначение зуммера в виде полукруга с выводами, присоединенными к его круглой части.

Отечественной промышленностью вплоть до конца 50-х годов XX века выпускались так называемые вибропреобразователи (вибрационный преобразователь). Вибропреобразователь представлял собой электромеханический аппарат, который служил для преобразования низкого напряжения постоянного тока в постоянный ток более высокого напряжения. Эти устройства использовались в блоках питания автомобильных ламповых радиоприемников, а также на небольших сельских радиоузлах.

В схему вибропреобразователя входил вибратор (электромагнит с контактным прерывателем), повышающий трансформатор, селеновый или ламповый выпрямители. Детали вибратора помещались в небольшой металлический корпус в виде цилиндра (рис.7а). К одному из оснований корпуса крепился октальный ламповый цоколь, к которому припаивались выводы от контактов и электромагнита, (рис.7б). Вибратор включался в схему вибропреобразователя через ламповую панельку (рис.8). Такое устройство позволяло питать от настольной батареи (2,4 В или 6 В) не только нити накала ламп, но и анодные цепи радиоприемников, усилителей, передатчиков и т.д. Коэффициент полезного действия вибропреобразователя составлял 40...70%.

Зуммер длительное время (вплоть до середины 50-х годов XX века) оставался простейшим и наиболее распространенным устройством для получения электромагнитных колебаний. В связи с этим вопрос, поставленный в заглавии статьи, является, конечно, гипотетическим, но не лишенным оснований. Электропрерыватель Вагнера был маломощным источником электромагнитных колебаний. Более мощным источником стала катушка Г.Румкорфа, изобретенная через 5 лет после появления электропрерывателя Вагнера. Электропрерыватель в конструкции катушки был одним из основных ее элементов. Как известно, Г.Герц в своих знаменитых опытах по определению электромагнитных волн в пространстве в качестве радиопередатчика использовал катушку Г.Румкорфа.

Исходя из сказанного, можно сделать вывод, что если к звонку, содержащему в конструкции электропрерыватель, присоединить определенным образом antennу, то электромагнитные колебания будут излучаться в окружающее пространство. В результате такой модернизации электрозвонка получается про-

стийший радиопередатчик. Как же можно было бы зафиксировать электромагнитные волны, посыпаемые звонковым передатчи-

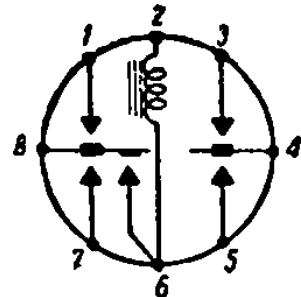
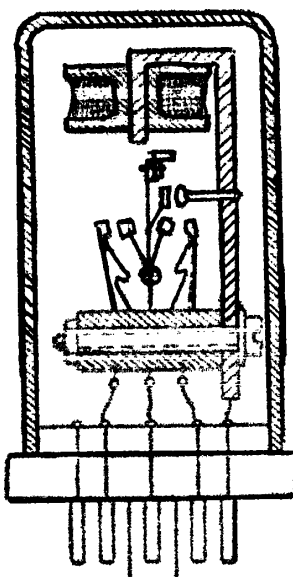


Рис.7. Устройство вибратора (сверху) и схема распайки его выводов к ножкам октального лампового цоколя (снизу).

ком в 1837 году? К этому времени было известно, что искра имеет электрическую природу. Это доказал еще Б.Франклайн задолго до появления молоточка Вагнера. О том, что молния или искра являются природными передатчиками радиоволн, известно не было. К сожалению, какого-нибудь подходящего детектора радиоволн тогда тоже не существовало. Способность помещенного в стеклянную трубку металличес-

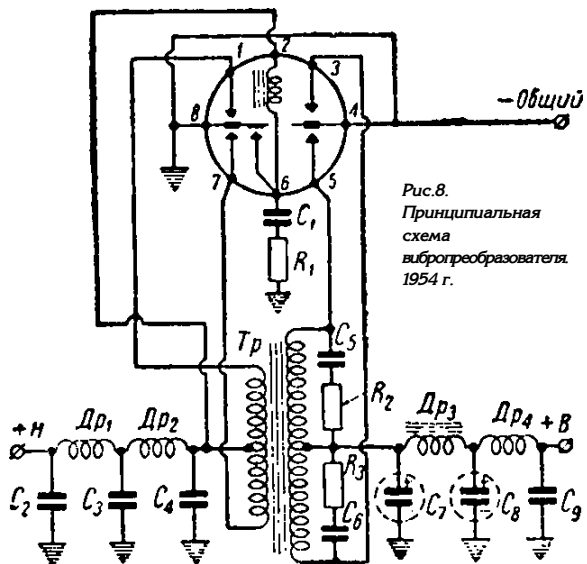


Рис.8.  
Принципиальная  
схема  
вибропреобразователя.  
1954 г.

## РАДИОИСТОРИЯ

кого порошка становится проводящим под действием разряда находящейся рядом электростатической машины, то есть в ре-

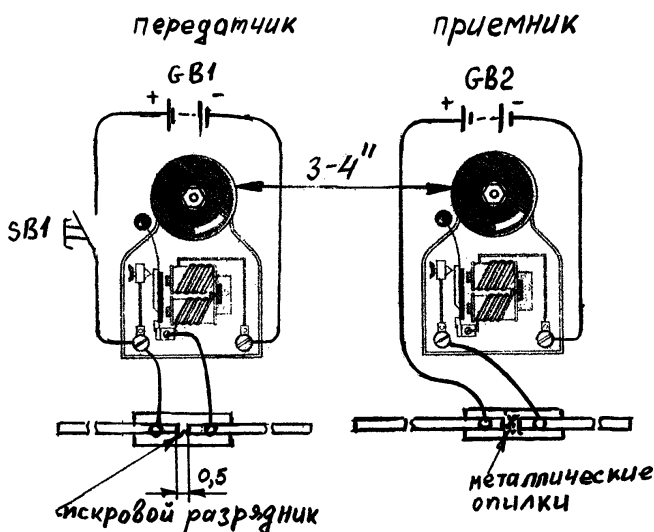


Рис.9. Система радиосвязи на основе электрических звонков с самопрерывателем Вагнера. 1912 г.

зультате появления искры, была открыта только в 1884 г. Онести. Если бы этот факт был известен раньше, то тогда возможно изобретение радиосвязи произошло бы гораздо раньше 1895 года, а так пришлось ждать ещё 58 лет.

Принципиальную возможность создания системы радиосвязи на базе электрозвонков с прерывателями Вагнера доказали русские радиолюбители В.В.Соловьев, К.Дубровский и Ф.С-овъ в 1912 году. Эта система радиосвязи содержала передатчик и приемник, которые были собраны на базе электрозвонков, питавшихся от двух гальванических элементов Лекланше (рис.9). Антенны передатчика и приемника представляли разрезной полуволновой вибратор. В качестве его элементов использовались две одинаковые по длине металлические вязальные спицы. Концы спиц располагались на одной прямой на расстоянии 0,5 мм друг от друга и крепились к деревянной дощечке с помощью винтов. В антenne передатчика концы спиц, образующие зазор, были заострены, в то время как в приемнике они были ровными. Перед сборкой антенны приемника концы спиц предварительно намагничивались. Крепление производилось подобно антенне передатчика, но с учетом того, что антенный зазор образовывали концы спиц с противоположными магнитными полюсами. Для присоединения антенн к передатчику и приемнику использовался длинный гибкий провод. Один конец антенны передатчика подсоединялся к регулировочному винту звонка, а другой – к подвижному его контакту с молоточком. Звонковый приемник не содержал кнопки, и антenna присоединялась к «+» источника питания и регулировочному винту. Можно было, конечно, кнопку в приемнике не удалять, а присоединить антенну прямо к ее контактам.

Перед передачей сигнала по радиоволнам следовало расположить антенны на некотором расстоянии друг от друга в одной горизонтальной плоскости и насыпать в зазор антенны приемника очень мелкие железные опилки. Опилки перед

насыпкой обезжириваются в растворе этилового эфира, использующегося в медицине для наркоза. При этом часть опилок примагничивается к полюсам антенны и образует своеобразный мостик. В результате получается простейшая конструкция когерера, отсутствие которого в 1837 г было одной из причин, которая не позволила появиться системе радиосвязи гораздо раньше.

Итак, звонковая система радиосвязи готова к работе. После нажатия кнопки передатчика в зазоре антенн передатчика появляется крохотная искра, приводящая к образованию радиоволн. Под действием образовавшихся радиоволн опилки в зазоре антенн приемника становятся проводящими, что и приводит к срабатыванию звонка. Звук звонка извещает, что радиосигнал принят. Для приема повторного сигнала следовало произвести механическую встряску опилок. Эксперименты показали, что такая система радиосвязи работает на расстоянии нескольких метров и ее дальность зависит от мощности звонка передатчика.

В заключение, на вопрос, поставленный в заголовке статьи - могла ли радиосвязь появиться еще в 1837 - можно ответить, перефразировав известное высказывание английского философа XVII века Френсиса Бекона: «Мы сделали столько, сколько знали».

Путь от молоточка Вагнера до системы радиосвязи А.С.Попова составил более половины столетия. Для создания системы радиосвязи в этот период времени не доставало знаний о существовании в пространстве радиоволн и эффекта влияния электрического разряда на металлические опилки, который был открыт позже. Невзирая на это, изобретение И.Ф.Вагнера стало важным звеном в цепи важнейших изобретений и открытий, приведших к созданию радиосвязи.

### Литература

1. Карцев В.П. Магнит за три тысячи лет. – М. Энергоиздат. 1988. 190 с.
2. Митчел У. Американские учёные и изобретатели. Пер. с англ. – М. Знание. 1964. 151 с.
3. Цвэрава Г.К. Джозеф Генри. - Л. Наука. 1983. 184 с.
4. Краткий словарь электротехнических терминов. Под ред. В.А. Карлова// Энциклопедия электротехники. Т. XV. М. - Л. МАИО. 1927. С.83.
5. Ф. С-овъ. Беспроводочный телеграф, сделанный из двух электрических звонков// Электричество и жизнь. №1. 1911. С. 2-6.

## Прибор для диагностики и восстановления кинескопов “КВИНТАЛ-7.03”



4 программы восстановления

“КВИНТАЛ-7.03Т” –  
со встроенным ГИС (PAL)

г. Киев (044) 547-86-82, 547-65-12  
г. Львов (0322) 33-58-04 (после 16-00)

<http://www.kvintal.com.ua>

## КУПЛЮ

Б/у телекамеры, видеоглазки, квадраторы, мультиплексоры, свестчеры, спецвидеомагнитофоны и т.п. Все импортного производства.  
Тел. в Киеве (044)-451-72-19, днем. Юрий.

Подписка на белорусские журналы «Радиолюбитель» и «Радиолюбитель. КВ и УКВ» за 84 грн. в год с пересыпкой по Украине.

CD International Callbook-2001.

Предлагаю также универсальные электронные шкалы для трансиверов до 60 МГц и частотомеры от 1 Гц до 1 ГГц.

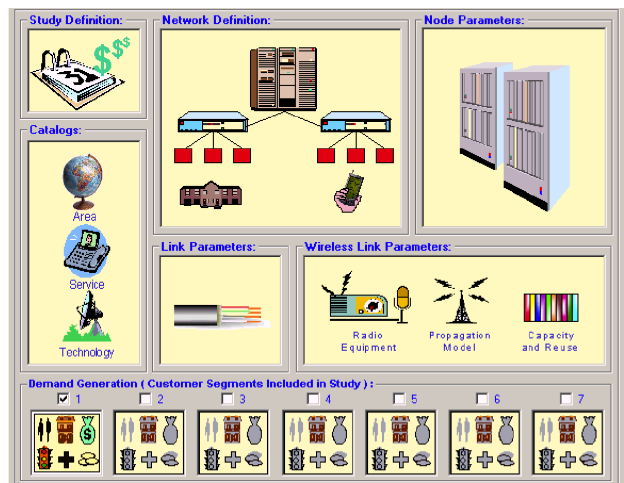
Телефон в Киеве: (044) 4751923, рынок «Радиолюбитель» (ул. Ушинского, 4), торговое место №52.  
Почтовый адрес:  
03194, Киев-194, а/я 352/1,  
Фехтель Карел Георгиевич.

## От редакции

**Вниманию подписчиков.** Если вы не получили по подписке какой-либо из номеров журнала «РХ», вам необходимо выслать в адрес редакции вашу подписанную квитанцию и справку вашего почтового отделения, заверенную печатью и разборчивой подписью его начальника, в том, что этот номер «РХ» по подписке в почтовое отделение не поступил. Мы немедленно и бесплатно вышлем вам недостающий номер индивидуальной заказной бандеролью.



Full Spectrum Photonic and Network Design Automation

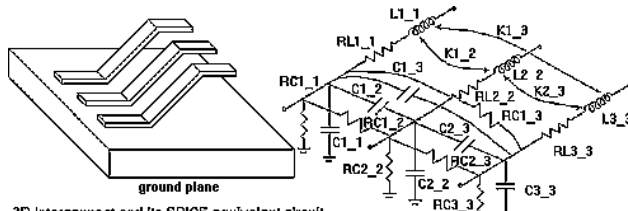


и сервис-планы любого масштаба - от одного дома или улицы до крупного города и даже страны. Еще одна программа от RSoft - **LinkSIM™ Version 3.2** (<http://www.rsoftinc.com/linksim.htm>) предназначена для разработки, симуляции и оптимизации оптических коммуникационных систем любой сложности с пропускной способностью до 40 гигабит/с. Кроме стандартных для таких программ блоков фотодетектора и усилителя имеется модель электроабсорбционного модулятора с задаваемыми пользователем нелинейными

(полиномиальная аппроксимация) модуляционной и импульсной характеристиками. Кроме «глазковой диаграммы» и распределения мощности по оптическому каналу можно наблюдать карты дисперсии, шумы и поляризацию.

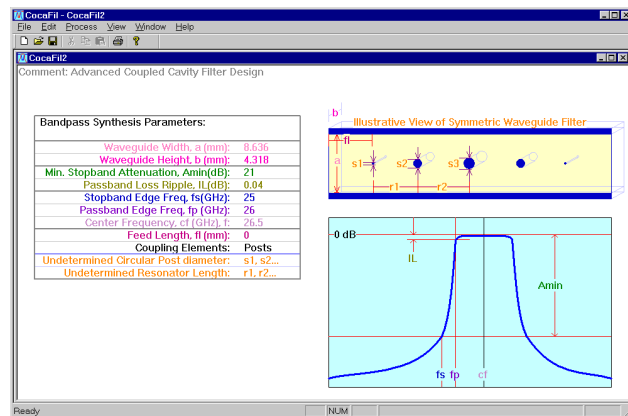
**FIDELITY 3.5** фирмы **Zeland Software, Inc.** (<http://www.zeland.com/ieandfid/ie3dfid.zip>) - основанный на FDTD (Finite-Difference Time-Domain) трехмерный симулятор для моделиро-

вания СВЧ цепей, компонентов, антенн и других скоростных высокочастотных структур. Электрическую и магнитную составляющие поля можно наблюдать раздельно, причем не только для двухмерных или трехмерных объектов, но и элементов из неизотропных диэлектрических материалов. Автоматическая генерация s-параметров позволяет быстро и точно согласовать разработанное устройство с остальными частями радиосистемы. Для антенн моделируются диаграмма направленности, коэффициент усиления, эффективность и др. Для оптимального синтеза СВЧ фильт-



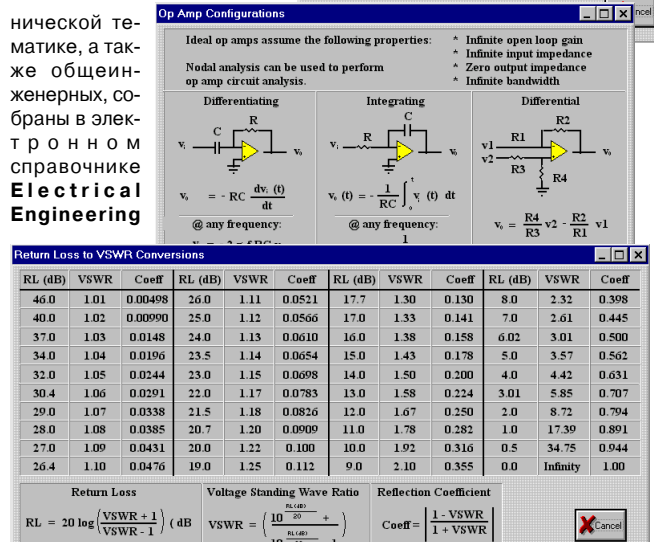
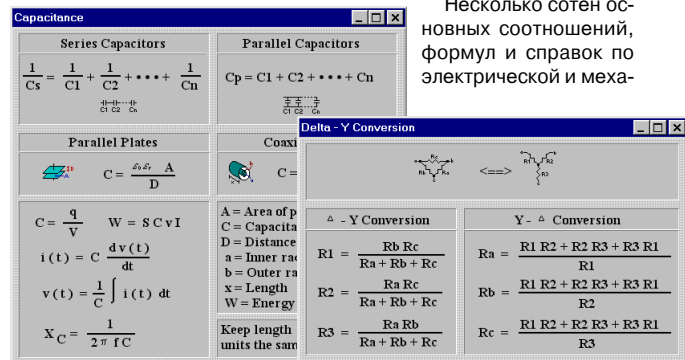
ования СВЧ цепей, компонентов, антенн и других скоростных высокочастотных структур. Электрическую и магнитную составляющие поля можно наблюдать раздельно, причем не только для двухмерных или трехмерных объектов, но и элементов из неизотропных диэлектрических материалов. Автоматическая генерация s-параметров позволяет быстро и точно согласовать разработанное устройство с остальными частями радиосистемы. Для антенн моделируются диаграмма направленности, коэффициент усиления, эффективность и др. Для оптимального синтеза СВЧ фильт-

## НОВАЯ ТЕХНИКА И ТЕХНОЛОГИЯ



ров на волноводах этой же фирмой разработана программа **COCAFIL** (<http://www.zeland.com/cocafif.html>), а для синтеза микрополосковых (планарных) СВЧ фильтров 14 структур - программа **FilterSyn** (<http://www.zeland.com/filtersyn.html>).

Несколько сотен основных соотношений, формул и справок по электрической и ме-

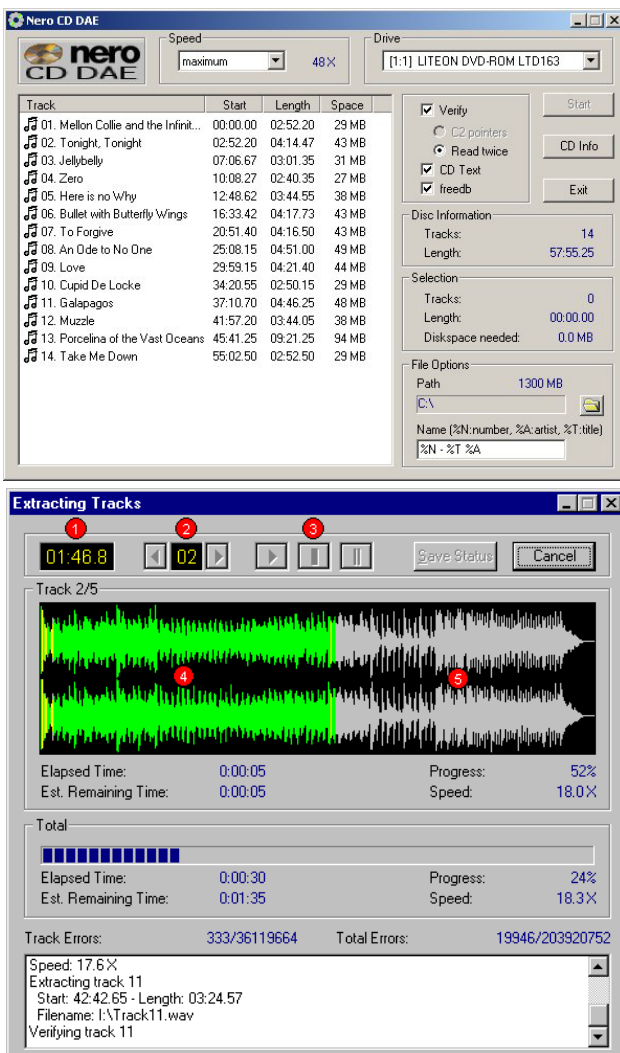


**Reference v1.5**, составленном Киртом Блаттенбергером. В удобных меню можно найти формулы преобразования звезды в треугольник, пересчета КСВ в коэффициенты отражения и обратного затухания, преобразования s-параметров четырехполюсника в  $u$ ,  $h$ ,  $z$ -параметры и обратно, уравнения Максвелла, законы Кирхгофа и многое другое. В разделе **References** (Справочники) приведены цветовая кодовая маркировка резисторов, конденсаторов, катушек индуктивности, стандартные частоты DTMF, таблицы истинности для всех типов триггеров, карты Карно, расpinовки параллельного и COM-портов, электротехнические характеристики разных материалов и др. И все это - в архиве меньше 300 килобайт! Загрузить программу можно с URL <http://www.wirelessdesignonline.com/content/downloads/Home.asp>, где есть и еще ряд полезных для радиолюбителей распространяющихся бесплатно программ, например **Antenna Designer**.

Выпущенная фирмой **Ahead Software** программа-риппер **CD DAE v.0.4B** отличается от других «грабилок» аудиоCD (CDex, AudioCatalyst и др.) тем, что умеет в графически наглядном виде

# НОВАЯ ТЕХНИКА И ТЕХНОЛОГИЯ

**AHEAD SOFTWARE** CD - RECORDING ULTRAFAST, RELIABLE AND USER-FRIENDLY **nero** BURNING ROM



отображать качество копируемого CD, т.е. процент некорректируемых (маскируемых интерполяцией или приглущением) ошибок типа C2. Она также поддерживает CD Text и freedb. Переводимый в wav-файл трек представляется в виде «осциллограммы», аналогичной изображаемой в звуковых редакторах Cool Edit, Sound Forge и т.п., причем в выполняемом по умолчанию двухпроходном режиме считывание выполняется дважды. При первом треке изображается серым цветом, а при втором, в зависимости от совпадения или несовпадения данных, - от зеленого при отсутствии ошибок до красного через желтый при их наличии и в зависимости от количества. Если CDROM-привод позволяет выводить данные об ошибках типа C2, то квалифицированные пользователи могут перевести программу в однопроходный режим, для чего необходимо ввести следующие данные в реестр Windows:

Name: C2 Pointers  
Type: REG\_DWORD  
Data: 0x01

CD DAE v.0.4B распространяется бесплатно, загрузить ее (архив 276 КБ) можно с адреса [http://www.cdsspeed2000.com/files/cddae\\_04.zip](http://www.cdsspeed2000.com/files/cddae_04.zip).

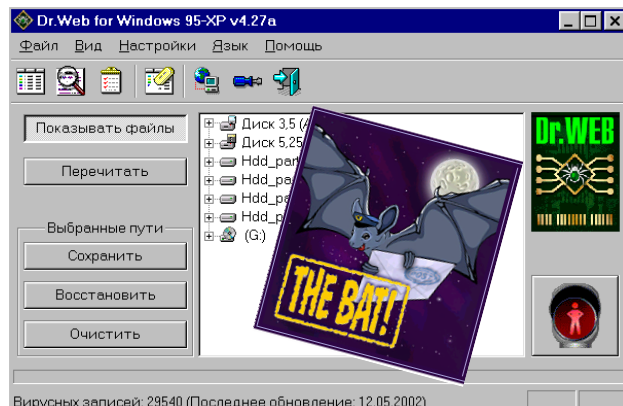
В апреле компания **ABBYY** (<http://www.abbyy.ru>) выпустила новую версию самой популярной в СНГ программы распознавания текста **FineReader 6.0**. Использование новых алгоритмов аддитивной бинаризации и фильтрации текстуры обеспечило повышение точности распознавания документов сложного дизайна. Теперь FineReader без труда справляется с текстами на цветном фоне, многоколоночными текстами, цветными шрифтами и т.д.

ENGLISH | УКРАИНСКИЙ  
**ABBYY**  
SOFTWARE HOUSE

точности распознавания документов сложного дизайна. Теперь FineReader без труда справляется с текстами на цветном фоне, многоколоночными текстами, цветными шрифтами и т.д.

Улучшенная процедура анализа документа позволяет точно воспроизводить даже такие сложные элементы верстки, как картинки неправильной формы, обтекание картинок текстом, различные шрифты, таблицы. Работа с форматом PDF включает открытие PDF-файлов, распознавание, редактирование и сохранение, причем шрифты для сохранения многоязычных текстов уже встроены в программу. Благодаря поддержке расширения CSS (Cascading Style Sheets) формата HTML FineReader абсолютно точно воссоздает оформление исходного документа при сохранении в HTML: колонки, картинки, шрифты, таблицы, - электронный документ будет точной копией бумажного. В новой версии FineReader стало намного удобнее просматривать результаты распознавания: теперь в окне встроенного редактора колонки текста, таблицы и картинки отображаются точно так же, как они были расположены на исходном изображении. Это означает, что качество сохранения форматирования документа вы сможете проверить сразу, не дожидаясь экспорта документа в MS Word или веб-браузер. Пробную (15 запусков, 15 часов) версию Finereader 6.0 можно бесплатно загрузить с адреса <http://www.abbyy.ru/download/index.htm#download>.

Выпущена бета-версия **подключаемого модуля для проверки почты на вирусы** в популярной почтовой программе **The BAT!**. Теперь пользователи **The BAT!** могут проверять на вирусы как принимаемые письма, так и приложенные к этим письмам файлы при попытке их «открыть». Модуль требует установленной программы



**Dr.Web для Windows** версии не ниже 4.27. Антивирусный модуль позволяет проверять на наличие вирусов входящую почту при ее получении и/или при открытии вложения. При обнаружении вируса модуль может произвести одно из следующих действий, которое настраивается в программе **The Bat!**, меню «Свойства», пункт «Антивирусная защита»:

- переместить письмо в специальную почтовую папку «Карантин» для последующего анализа (рекомендуемый режим);
- попытаться вылечить зараженные части письма;
- удалить зараженные части из письма;
- переслать самому себе (получателю) инфицированное письмо во вложении;
- удалить письмо.

При выполнении этих действий предусмотрена возможность послать уведомление отправителю письма (по настраиваемому шаблону). Данный антивирусный модуль работает с программой **The Bat!** версии 1.60 или выше. Для установки модуля нужно поместить файл DRWEB.BAV в любой каталог на жестком диске. После этого следует запустить **The Bat!**, открыть меню «Свойства», выбрать пункт «Антивирусная защита» и нажать кнопку «Добавить» в диалоговом окне «Антивирусные модули». В выпадающем меню нужно выбрать пункт «Внешний модуль» и указать путь к модулю DRWEB.BAV. Выбрать модуль DRWEB.BAV в диалоговом окне «Антивирусные модули» и нажать кнопку «Настроить» для указания пути к каталогу, в котором находится установленный на Вашем компьютере Doctor Web для Windows. Получить модуль для тестирования можно с <ftp://dials.ru/dsav/russian/drweb32/drwebav.zip>.

Многие распространяемые бесплатно (freeware) и условно-бесплатно (shareware) программы, например **Gozilla**, на самом деле относятся к классу **spyware**: во время инсталляции они без всякого уведомления могут устанавливать модули, выполняющие при подключении к Интернету **несанкционированные действия**. Фирма **LavaSoft** (<http://www.lavasoft.nu>) выпустила программу **Ad-aware 5.81** (<http://lavasoft.nordichost.net/>)



## НОВАЯ ТЕХНИКА И ТЕХНОЛОГИЯ

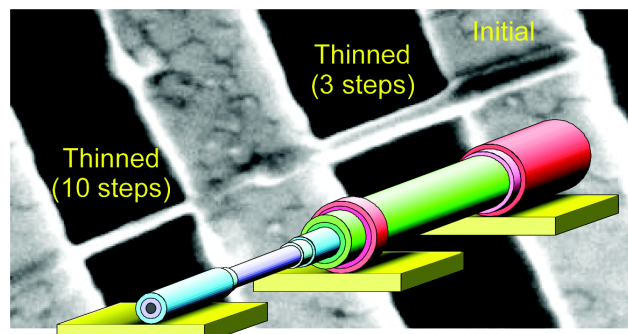
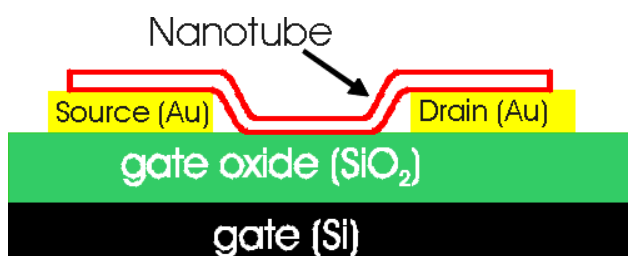
aaw.exe , 864 КБ), которая проверит память, реестр и жесткий диск на наличие spyware-компонентов и рекламных «тロjanцев» и удалит их.

Компания **Valence Technology Inc.** (<http://www.valence.com>) анонсировала **Saphion™** - новую технологию изготовления литий-ионных аккумуляторов. В ее основе - новый катодный материал на основе фосфатов, который обеспечивает исключительно высокую термическую (диапазон рабочих температур -20...+60°C) и химическую стабильность - новые аккумуляторы не «боятся» ни перезаряда, ни полного разряда, ни даже короткого замыкания. Ни в одном из этих экстремальных случаев катодный материал не будет самовоспламеняться или взрываться.



ся. Плюсом новой технологии является низкая цена - на 45% дешевле обычных никель-кадмевых. В отличие от никель-кадмевых и никель-металлгидридных аккумуляторов, новые полностью свободны от «эффекта памяти» - заряд после неполного разряда нисколько не снижает эффективную емкость. Saphion™ не содержит опасных веществ, что выгодно отличает новую конструкцию в экологическом смысле от NiCd, NiMH, свинцово-кислотных и литий-ионных аккумуляторов с обычными катодами.

**IBM Corp.** сообщила (<http://www.ibm.com/news/2001/04/27.phtml>) о создании технологии изготовления **новых транзисторов на основе углеродных на-**

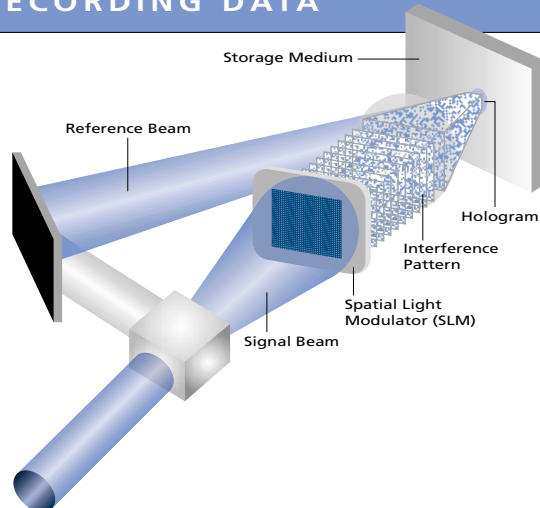


**нанотруб (carbon nanotubes)**, которые имеют размер примерно 10 атомов, т.е. в 500 раз меньше современных кремниевых или в 10000 раз меньше диаметра человеческого волоса. В созданном полевом транзисторе нанотрубки выполняют роль канала. Учитывая, что в современной кремниевой микроэлектронике количество транзисторов на одном кристалле удваивается каждые 18 месяцев, технологии IBM предсказывают переход на наноэлектронику уже в ближайшем десятилетии.

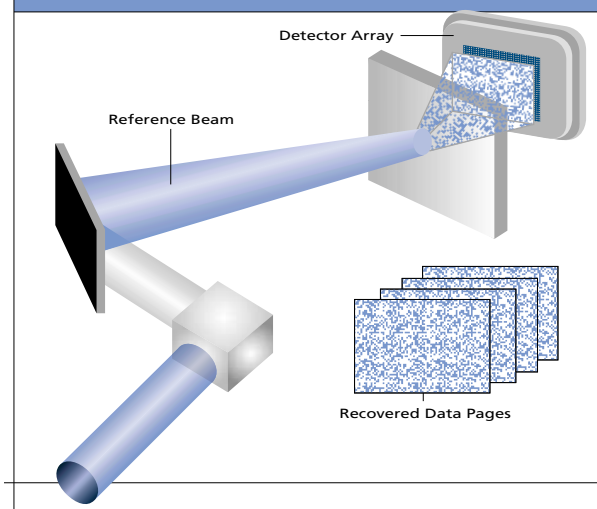
**InPhase Technologies** (<http://www.inphase-technologies.com>) объявила о разработке **технологии голограммической записи информации на оптический диск**. В представленном про-

totipe на диски размерами с обычный CD удается записать примерно 100 ГБ данных с потоком от 10 до 100 МБ/с. Собственно диск изготовлен из фотополимера нового типа, состоящего из смеси двух полимеризуемых независимо друг от друга веществ. Новая технология обеспечивает объемную запись с эквивалентной поверхностной плотностью более 100 Гбит на квадратный дюйм. Фирма разработала и **ZeroWave™** - технологический про-

### RECORDING DATA



### READING DATA



цесс тиражирования голограммических дисков.

**JUMPTec® Industrielle Computertechnik AG** (<http://www.jumptecl.de>) выпускает устройство **WEBasDISK**, подключаемое с одной стороны к IDE-порту ПК, а с другой - к заданному Интернет-серверу по протоколу TCP/IP через 10/100Base-T Ethernet-контроллер. В результате ПК получает еще один «жесткий логический диск», который физически может быть расположен где угодно, но доступен для записи/чтения так же просто, как

обычный HDD, причем одновременно можно использовать несколько устройств. Устройство вы-

полнено в габаритах 2,5-дюймового HDD на 33-МГц процессоре **NetSilicon™ NET+ARM15™** и потребляет от шины +5 В не более 300 мА. В конфигурации предусмотрена возможность установки его как master или slave-устройства под ОС Windows NT/95/98/CE, MSDOS 6.22, DRDOS 7.03, Linux, а также загрузка ОС непосредственно с WEBasDISK.



**PCI - видеокарта REALmagic Xcard™ от Sigma Designs, Inc.** (<http://www.sigmadesigns.com/products/xcard.htm>) выполнена на чипе EM8475 и является перв-

## НОВАЯ ТЕХНИКА И ТЕХНОЛОГИЯ

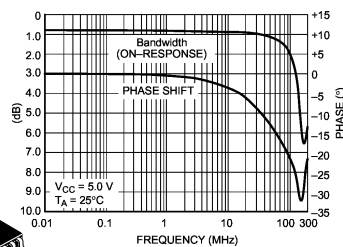
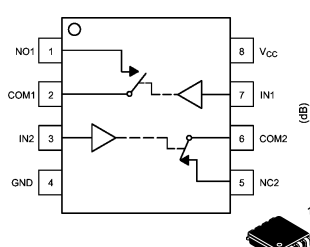


ным аппаратным MPEG-4 декодером для ПК (поддерживает MPEG-4, MPEG-2, MPEG-1). Работает с форматами DVD-Video, Superbit™ DVD, Video CD (VCD 1. X/2.0), Super Video CD (SVCD), DivX версий



4.02 и выше с максимальным разрешением 720 x 576, выводит видео в форматах NTSC/PAL. REALmagic Xcard™ обеспечивает также вывод MP3 и MPEG-4 (AAC) аудио, Dolby Digital (2 и 5.1 каналов) и DTS (через S/PDIF). Имеются композитный и s-video видеовыходы для передачи изображения на ТВ, а также аналоговый стереовыход. Возможно воспроизведение NTSC-программ на PAL ТВ и наоборот. Прилагаемые драйвера позволяют использовать карту с ПК под управлением Windows 98SE/ME/2000/XP. Размеры карты - 120 x 90 мм. В комплекте имеются пульт ДУ и набор кабелей, позволяющие управлять комплексом ПК+ТВ так же просто, как обычным видеомагнитофоном, а также программный плеер Xmedia player. Уже сейчас REALmagic Xcard™ доступна через онлайновый магазин Sigma Design (<http://www.buyrealmagic.com>) за \$99 без учета пересылки.

**ON Semiconductor** (<http://www.onsemi.com>) на основе 0,6-микронной технологии выпустила усовершенствованные спа-



### ренные аналоговые КМОП ключи

для применения в сотовых телефонах, видеокамерах, аудиоплеерах и других малогабаритных устройствах. NLAS323/324/325 работают в диапазоне температур от -55 до +125 °C при напряжении питания 2...6 В (потребляемый ток < 4 мА). Типовое сопротивление открытого ключа 20 Ом, полоса до 200 МГц (-3 дБ). Максимальный коммутируемый ток ±50 мА, время выключения/включения 7...20 нс, заряд, переключения 5 пК. Микросхемы серии отличаются логикой КМОП/ТТЛ-совместимых сигналов управления: NLAS323 - в позитивной логике, 324 - в негативной, 325 - один канал в позитивной, второй - в негативной. Конструктивное исполнение - SMD микроподложка

US8/493-01 размерами 2x3,1x0,75 мм. Цена в оптовых поставках \$0,23.



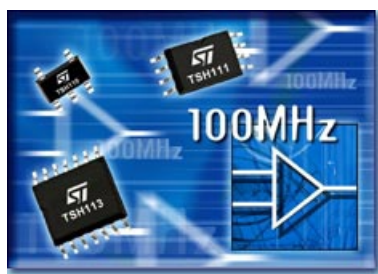
Новый N-канальный мощный (50 Вт) **МОП-транзистор IRHY7G30CMSE RAD-Hard™ HEXFET® International Rectifier** (<http://www.irf.com>) - первый штатно работающий при

напряжении сток-исток 1000 В. Изюминкой является и его работоспособность в условиях интенсивного ионизирующего излучения до 100 Крад, что достигнуто оригинальным технологическим процессом RAD-Hard™ радиационностойкого окисления затвора. В таких условиях биполярные транзисторы работать не могут - требуют специальных мер защиты. Основная область применения - усиление сигналов микроволнового диапазона в спутниковых телекоммуникационных системах. Выпускается в корпусе TO-257AA. Еще одна новинка от International Rectifier - **мощный ультраскоростной спаренный диод** с повышенной рабочей температурой **70CRU02**. При обратном напряже-

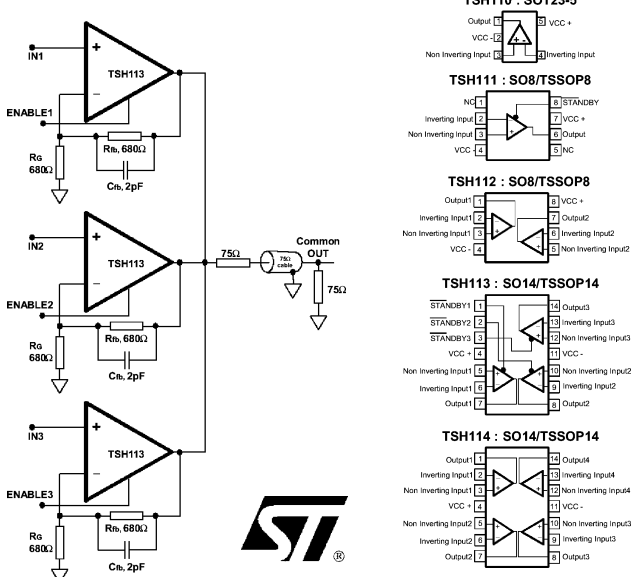
нии 200 В он выдерживает средний прямой ток 35 А (если оба диода в корпусе TO-218 включить параллельно, то ток удваивается), импульсный 300 А, при этом время восстановления не превышает 28 нс, а заряд переключения 50 нК. И все это при температуре кристалла до 175 °C. Отличное решение для любого выпрямителя, особенно если учесть цену чуть выше \$1.

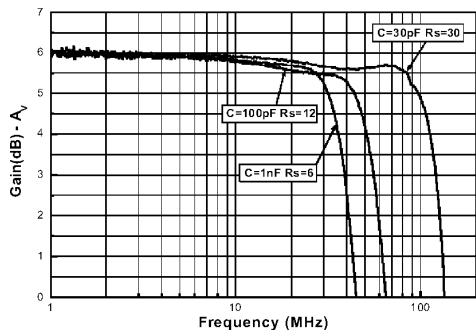


жени и 200 В он выдерживает средний прямой ток 35 А (если оба диода в корпусе TO-218 включить параллельно, то ток удваивается), импульсный 300 А, при этом время восстановления не превышает 28 нс, а заряд переключения 50 нК. И все это при температуре кристалла до 175 °C. Отличное решение для любого выпрямителя, особенно если учесть цену чуть выше \$1.



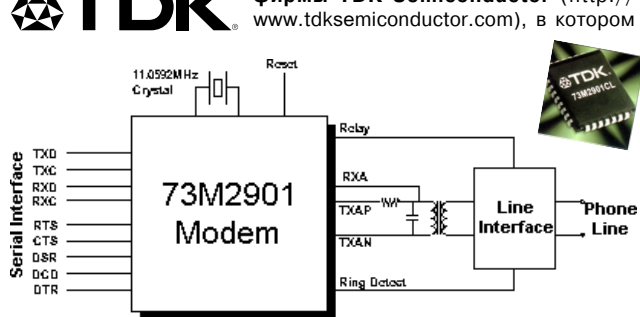
**STMicroelectronics** (<http://www.st.com>) разработала серию недорогих широкополосных малошумящих трансисторных (Current Feedback) ОУ TSH11x. Одноканальные варианты TSH110 (в микроподложке SOT23-5) и TSH111, двухканаль-





ные TSH112, строенные TSH113 и счетверенные TSH114 (в TSSOP14) имеют скорость нарастания 490 В/мкс, полосу единичного усиления 100 МГц и спектральную плотность ЭДС собственных шумов 3 нВ/√Гц. При напряжении питания от ±2,5 до ±6 В потребляемый ток не превышает 3,5 мА, а максимальный выходной ток достигает 47 мА. Линейность очень высока: даже с предельно низкоомной нагрузкой 100 Ом при размахе выходного напряжения 2 В на частоте 2 МГц гармоники не превышают -65 дБ, а интермодуляционные искажения на частоте 1 МГц ниже -90 дБ. При емкостной нагрузке 1000 пФ и усилении 6 дБ полоса достигает 30 МГц без нарушения устойчивости. Такие характеристики как нельзя лучше подходят для применений в широкополосных устройствах с несколькими несущими - видео, ADSL, АЦП, ЦАП. TSH111 и TSH113 имеют входы стробирования, переводящие выбранный ОУ в ждущий режим (потребление 26 мКА) с высоким выходным (> 30 МОм) сопротивлением - их удобно применять в электронных коммутаторах. Время перехода из активного в ждущий режим 13 мкс, из ждущего в активный - 2 мкс. Напряжение смещения нуля 0,3 мВ (тип.), входные токи 1...3 мКА.

**73M2901CL - одночиповый модем** фирмы **TDK Semiconductor** (<http://www.tdksemiconductor.com>), в котором



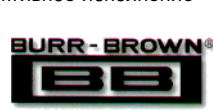
объединены микропроцессор с интерпретатором «AT»-команд, сигма-дельта АЦП и ЦАП, согласующие каскады - линейные драйверы, кварцевый тактовый генератор, ОЗУ и ПЗУ. Он предназначен для встраиваемых приложений, в которых необходим обратный канал проверки данных через телефонную линию (банковские автоматы, считыватели смарт-карт и т.п.). Обмен данными возможен по протоколам V.22bis – 2400 bps, V.22/Bell212 – 1200 bps, V.21/Bell103 – 300 bps, V.23 – 1200/75 bps, Bell202 – 1200 bps. Диапазон напряжений питания от 2,7 до 3,6 В, потребляемая в режиме работы мощность 30 мВт (ток около 9 мА, в дежурном режиме 0,9 мА). Уровень входного сигнала может составлять от -43 до -9 дБм. Конструктивное исполнение - 32-pin TQFP или 44-pin LQFP.



В мае **Microchip** (<http://www.microchip.com>) начинает поставки новых микроконтроллеров **PIC18F6720** и **PIC18F8720** - первых преодолевших мегабитный (128К) рубеж встроенной flash-памяти. Благодаря фирменной микрочиповской технологии **PEEC Flash** время программирования всей матрицы памяти не превышает двух секунд, а отдельное слово можно перепрограммировать за 3 мс при специфицированном сроке хранения данных 40 лет. Эти микроконтроллеры предназначены для сложных устройств, программируемых на языке С, функционирующих под RTOS или использующих стек таких коммуникационных протоколов как TCP/IP и т.п. Производительность составляет 10 MIPS при тактовой частоте 40 МГц; из периферийного набора можно отметить 16-канальный 10-разрядный АЦП, два восьми и три 16-разрядных таймера, два адресуемых USART модуля, поддерживающие RS485 и RS232. In-Circuit Serial Programming™ обеспечивает стандартную для микрочиповских флэш-контроллеров возможность программирования после монтажа в устройство. Конструктивное исполнение - 80-контактный TQFP, цена в оптовых партиях \$9. А новое семейство **dsPIC™**

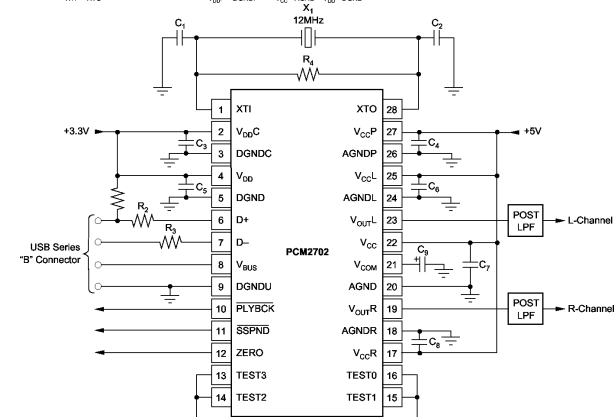
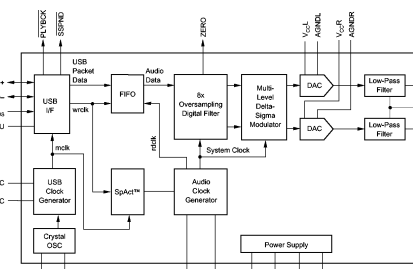


из 20 цифровых 16-разрядных сигнальных контроллеров **dsPIC30FXXX** объединяет в себе гибкость микроконтроллеров модифицированной Гарвардской RISC-архитектуры (MCU) с высокой производительностью (в данном случае до 30 MIPS) цифровых сигнальных процессоров (DSP). Семейство разбито на три подгруппы - управления ЭД, сенсоров и универсальных. Они оснащены встроенной программной флэш-памятью от 12 до 144 КБ и до 8 КБ SRAM. Диапазон напряжений питания 2,5...5,5 В, конструктивное исполнение - от 18 до 80- выводного.



**стереоаудиоЖАП PCM2702** (<http://www.burr-brown.com>, см. также «РХ» 6/00, с.14) содержит интегрированный USB-контроллер и позволяет создавать циф-

ровые внешние акустические системы для ПК. Новая патентованная система **SpAct™** (Sampling Period Adaptive Controlled Tracking) эффективно подавляет джиттер, восстанавливая стабильный тактовый сигнал из принятых USB-данных. Цифроаналоговое преобразование выполняется после x8-кратного цифрового интерполирующего фильтра мультиуровневым дельта-сигма модулятором с встроенным аналоговым постлДПовым ФНЧ. Имеется встроенный цифровой аттенюатор 0...-64 дБ с шагом 1 дБ. Микросхема работает с частотами дискретизации 48, 44,1 и 32 кГц и разрядностью 16, имеет динамический диапазон 100 дБ, коэффициент гармоник 0,002%. Питание - двойное: +5 В (18 мА) для аналоговой части и +3,3 В (22 мА) для цифровой. Цена в оптовых поставках \$5,45.





Обычно ламповые УМЗЧ по двухтактно-параллельной схеме Circlotron выполняют бестрансформаторными. Джон Стоуарт свой вариант Цирклотрона (рис. 1) разработал с выходным транс-

форматором T1, благодаря чему удалось обойти некоторые компромиссные моменты, а также сделать усилитель очень универсальным как в смысле разнообразия применяемых ламп, так и собствен-

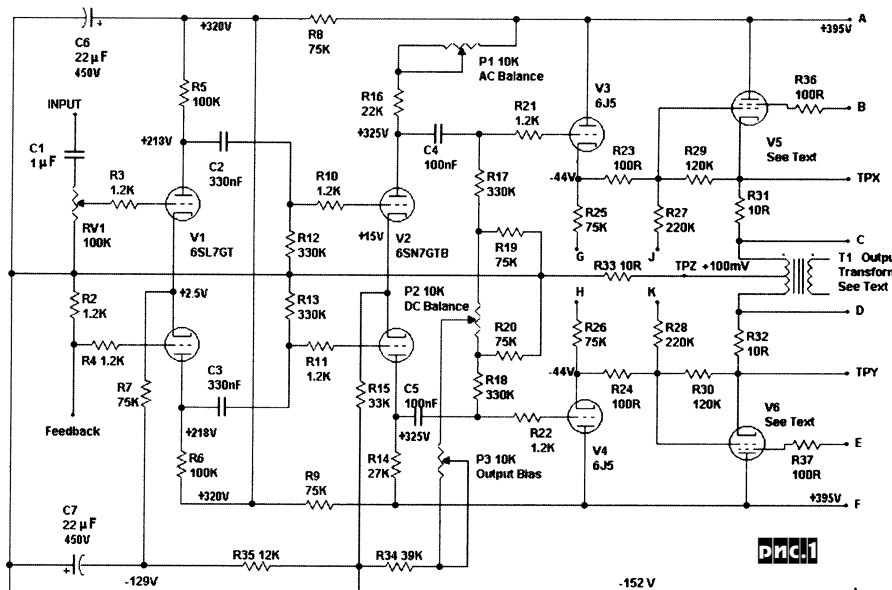
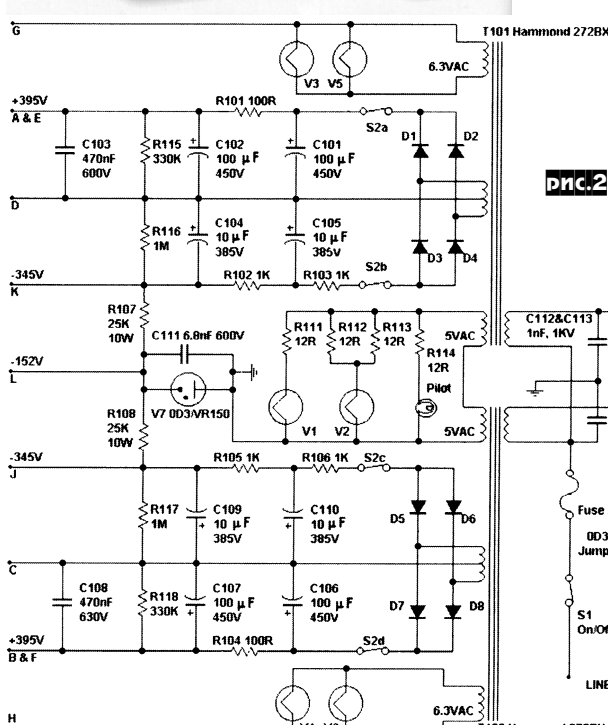
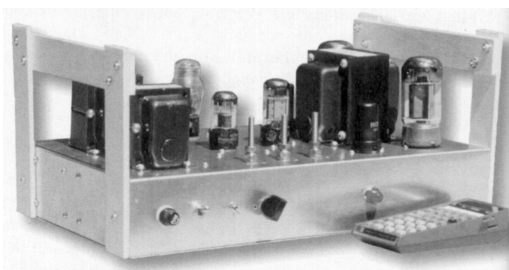


рис.1



но трансформатора. Последнее утверждение объясняется тем, что низкоомный трансформатор для Цирклотрона существенно менее критичен в технологическом плане (по согласованному импедансу в 4 раза, что значительно снижает как индуктивность

рассеяния, так и собственную распределенную емкость обмоток, определяющих завал АЧХ на ВЧ), чем высокоомные трансформаторы для обычных двухтактных схем. Относительно малая распространенность Цирклотрона в дотранзисторную эпоху объясняется сложностью блоков питания на кенотронах, в частности, источников напряжения отрицательной полярности. Современ-

ные быстродействующие выпрямительные диоды устраняют эту проблему - схема блока питания приведена на рис.2. Входной каскад на двойном триоде V1 (аналог 6Н9С) выполнен по схеме дифусилителя и кроме регулировки усиления (RV1) позволяет в общую точку R2R4 подводить при необходимости напряжение ООС. Анодное питание второго каскада на V2 (аналог 6Н8С) оказывается с автоматической вольтодобавкой в тант со звуковым сигналом (к питанию +395 В добавляется переменное напряжение на первичной обмотке выходного трансформатора T1), благодаря чему без чрезмерного увеличения постоянного анодного напряжения достигается требуемая (и довольно большая - ведь следующие каскады на V3-V6 включены как катодные повторители и имеют коэффициент усиления по напряжению меньше



рис.3

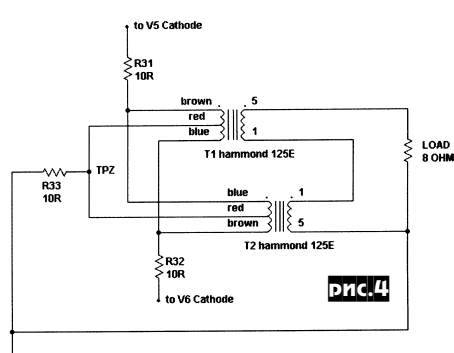


рис.4

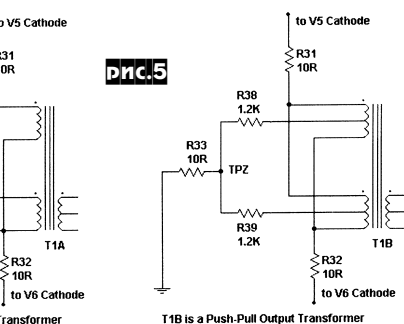


рис.5

T1A is a Push-Pull Output Transformer with separate primary windings but no UL taps  
T1B is a Push-Pull Output Transformer with separate primary windings and has UL taps

## ДАЙДЖЕСТ

C25R35R34, комплементарный двухтактный выходной каскад по схеме Шилкай T9-T12, регулятор P8 и термостабилизатор T8 тока покоя выходных транзисторов. Коэффициент усиления устройства 26 дБ. Т8 монтируют рядом с T10 и T12 на пластинчатом радиаторе 65x50 мм («Radiotekhnika» №5/02, с. 228, 229).

Аудиоэксперт из Германии Эрно Борбля разработал «цельнополевой» линейный High-End-усилитель (рис. 8), который отлично подходит как активное дополнение пассивных регуляторов громкости, тембра, фильтров и т.п. Он состоит из двух двухтактных комплементарных

единицы) амплитуда неискаженного звукового напряжения. В этом же каскаде установлен триммер Р1 симметрирования по переменному току (минимизация нечетных гармоник). Третий каскад - катодные повторители на одиночных триодах V3, V4 (можно применять 6SF5, 6C4; здесь двойные триоды применять нельзя из-за большого противофазного напряжения на катодах). Их назначение - исключить шунтирование второго каскада относительно большой входной емкостью выходного каскада на высших частотах. Катоды V3, V4 подключены непосредственно к управляющим сеткам ламп выходного каскада V5, V6, поэтому режимы последних задаются в предыдущем каскаде резисторами, задающими величину (Р3) и баланс (Р2) напряжения фиксированного смещения. В показанном на схеме включении V5, V6 включены как лучевые тетроды, но соединение R36 и R37 с анодами соответствующих ламп дает возможность экспериментировать с триодным включением. В выходном каскаде можно применять как 6L6GC (аналог 6П3С), так и 6550С - в первом случае выходная мощность составляет 30 Вт ( $Kr=1,6\%$ ), во втором - 50 Вт ( $Kr=0,9\%$ ). В триодном включении выходная мощность для 6550С снижается до 20 Вт при  $Kr=0,54\%$ . Несколько вариантов выходных трансформаторов приведены на рис. 3-5. На рис. 3 - полузаказной трансформатор Hammond H300767 с первичной обмоткой на эквивалент 1400 Ом для 6L6GC (с этим вариантом можно также применять лампы KT66) или 800 Ом для 6550С (годится и для ламп KT88 и EL34/6П27С). Рис. 4 - вариант с особым включением двух универсальных 15-ваттных выходных трансформаторов Hammond 125E для «обычных» двухтактных схем: здесь первичные обмотки включены параллельно, а вторичные - последовательно, поэтому достигается оптимальное согласование для Цирклотрона. На рис. 5 показан вариант соединения обычного выходного трансформатора от «обычного» двухтактного каскада на 6L6 (с приведенным междуанодным сопротивлением 6600 Ом) для применения в Цирклотроне: половники первичной обмотки соединяются не последовательно, а параллельно, поэтому новое включение обеспечивает эквивалентное междуанодное сопротивление в 4 раза меньше, т.е. 1650 Ом - оптимум для Цирклотрона. При налаживании резисторами Р2, Р3 регулируют фиксированное смещение ламп выходного каскада так, чтобы токи катода (его измеряют по падению напряжения на R31, R32) составляли 53 мА для 6L6GC или 70 мА для 6550С («AudioXpress» №5/02, с. 34-41).

**УМЗЧ на двух недорогих ИМС TD2003** (рис. 6), предложенный Рэймондом Хэмом, работает с однополярным питанием напряжением от 6 до 15 В и нагрузкой от 2 до 8 Ом. Максимальная выходная мощность при этом достигает 10,5 Вт (12 В/2 Ома), 12,5 Вт (15 В/4 Ома) и 8,2 Вт (15 В/8 Ом), что приемлемо как для автоЭлектроники, так и для

рис.6

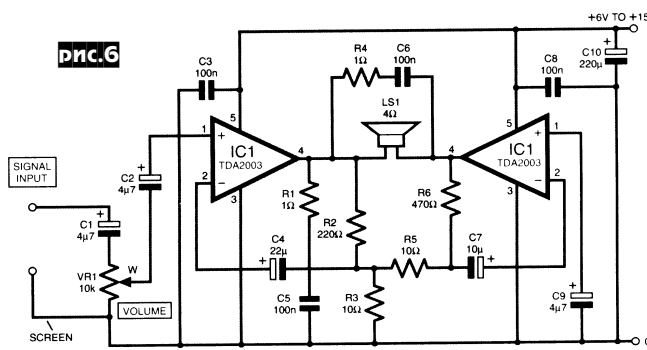


рис.7

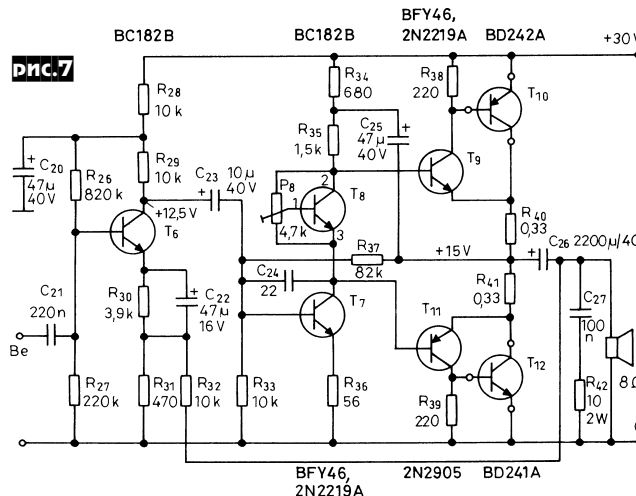
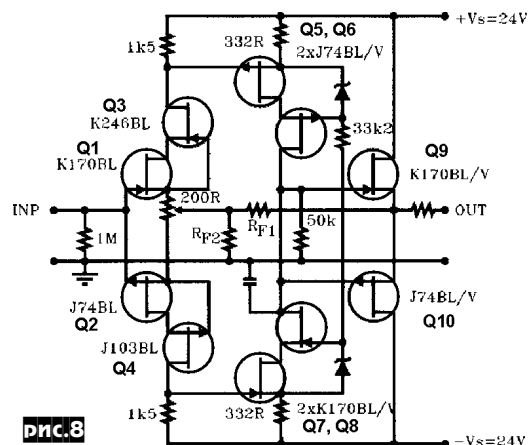


рис.8



HiFi-комплекса начинающего (устройство не требует налаживания и регулировок) аудиофилы. Ток потребления в режиме покоя составляет 80 мА, чувствительность 70 мВ. Микросхемы необходимо установить на пластинчатом радиаторе 150x200 мм («Everyday Practical Electronics» №5/02, с. 340-349 \*).

**10-ваттный УМЗЧ Дьюра Плахтовича** (рис. 7) интересен тем, что цепь «внешней» общей ООС по переменному току R32R31 охватывает более число каскадов, чем цепь «внутренней» общей ООС по постоянному и переменному току R37R33. В остальном усилитель ничем не отличается от многократно описанных разными авторами транзисторной эпохи - выходной усилитель напряжения T6 с общим эмиттером, усилитель напряжения T7 с вольтодобавкой

каскодных каскадов (Q1-Q4 и Q5-Q8), нагруженных на комплементарный двухтактный истоковый повторитель Q9Q10. Без ООС ( $R_{f1}R_{f2}$ ) устройство имеет коэффициент усиления более 70 дБ с частотой среза 20 кГц и коэффициент гармоник около 0,1% при выходном напряжении 8 В, а с замкнутой ООС ( $R_{f1}=2,2$  кОм,  $R_{f2}=220$  Ом) усиление снижается до 21 дБ, коэффициент гармоник до 0,0011%, а полоса расширяется более чем до 1 МГц. Входная емкость 2 пФ, выходное сопротивление 2 Ома. Усилитель работает на нагрузку до 1 кОм без ухудшения линейности. Умощненный вариант (рис. 9: в связи с важностью типов примененных компонентов их номиналы указаны не на схеме, а в перечне элементов) способен раскачивать нагрузку до 100 Ом, т.е. может быть использован как усилитель для высокочастотных головных телефонов. Для обеспечения на нагрузке 100 Ом напряжения 10 В ток покоя транзисторов выходного каскада должен быть не менее 70 мА. Поскольку таких jfet (полевые транзисторы с p-n переходом) не нашлось, приходится использовать более мощные МОП-транзисторы Q7, Q8, Q10, Q11. Входной каскад Q1-Q4 работает с токами стока 2 мА (подгонку режима можно выполнить R5, R6), второй каскад Q6-Q9 - с токами стока 10 мА, но а Q10 и Q11 - 70 мА (в связи с чем их необходимо монтировать на радиаторах 75x37

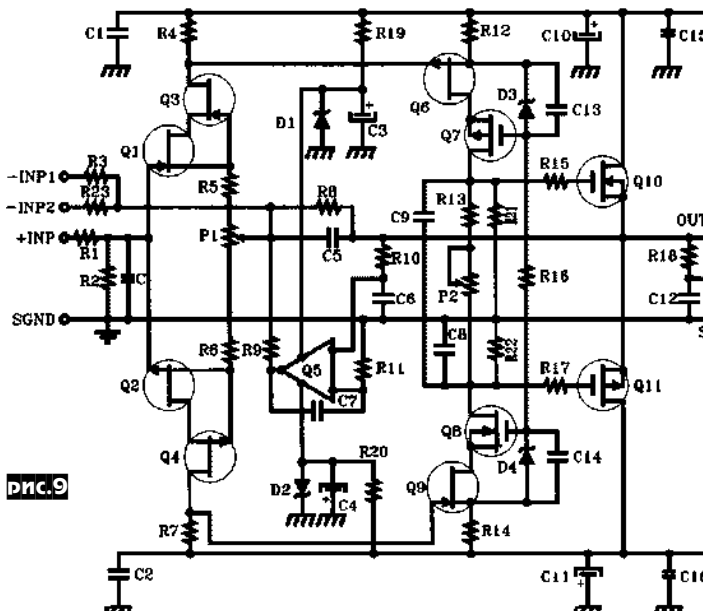


рис.9

R1	100R Caddock MK132
R2	100k Caddock MK132
R3	221R Caddock MK132
R4, R7	1k5
R5, R6	Adj. for 2mA drain current
R8, R23	2k1 Caddock MK132
R9, R21, R22	100k
R10, R11	1M
R12, R14	330R
R13, R15, R17	100R
R16	33k
R18	47R
R19, R20	1k ROE WK2 1.1W
P1	200R COPAL RJ5W
P2	500R COPAL RJ5W
C, C5	10pF/500V PS, MICA
C1, C2	0.1μF/100V ROE MKT-1826
C3, C4	100μF/25V ROE EKO
C6, C7	0.22μF/160V WIMA MKP4
C8	150pF/500V PS, MICA
C9, C13, C14,	0.1μF/100V ROE MKT 1826
C15, C16	
C10, C11	47μF/35V ELNA CERAFINE
C12	560pF/500V PS, MICA
Q1	K170BL Matched to Q2
Q2	J74BL Matched to Q1
Q3	K246BL
Q4	J103BL
Q5	AD820AN Analog Devices
Q6	J74V Matched to Q9
Q7	J148
Q8	K982
Q9	K170V Matched to Q6
Q10	K216
Q11	J79
D1, D2	LM4040DIZ
D3, D4	LM336Z-5.0

мм). На ОУ Q5 с ФНЧ R10C6 и интегратором C7R11 выполнена сервосистема, поддерживающая нулевое выходное напряжение по постоянному току, благодаря которой в звуковом тракте отсутствуют разделительные конденсаторы. Без ООС устройство имеет усиление 66 dB

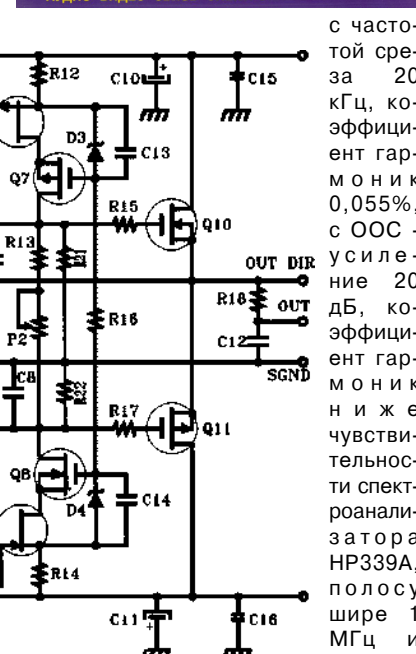


рис.10

тора R2LR2R, образующего с C2 еще одно звено ФНЧ, а также делитель напряжения R3R4, снижающий напряжение до уровня, типичного для линейного входа УМ сабвуфера. Формируемая АЧХ приведена на **рис. 11** («AudioXpress» №5/02, с.42-51).

Оригинально решил **схему фильтрации НЧ сигнала для сабвуфера М. Сапожников**. В его УМЗЧ (**рис. 12**) для ПК/автомобиля конденсатор C6, во-первых, служит блокировочным для основных (боковых или «сателлитных») акустических систем BA1, BA2, а во-вторых - совместно с собственным сопротивлением акустических систем (8 Ом) создает сумматор-ФНЧ с частотой среза около 180 Гц, напряжение с которого через R4R5 подается на УМЗЧ сабвуфера DA2. Кроме простоты, плюсом такого решения является то, что на НЧ сопротивление C6 возрастает и таким образом уменьшается нагрузка основных усилителей DA1 и AC BA1, BA2 на тех частотах, на которых уже эффективно работает сабвуфер. Т.е. для BA1, BA2 конденсатор C6 выполняет функции ФВЧ, снижающего энергопотребление и искажения. Выходная мощность основных каналов при «автомобильном» питании на нагрузке 8 Ом составляет 2x2,5 Вт, а сабвуфера (благодаря мостовому включению DA2) - 10 Вт. Коэффициент усиления DA1 40 дБ, монтаж обеих микросхем необходимо выполнить на радиаторе площадью 200 см<sup>2</sup> («Радио» №4/02, с. 15).

На **рис. 13** изображена схема **мощной регулируемой нагрузки**, разработанной **П.Хиршбрихом** для автолюбителей (разрядное устройство для тренировки аккумуляторов) и аудиофилов (испытание УМЗЧ на разные нагрузки). Она заменяет привычные проволочные реостаты и способна работать как в режиме

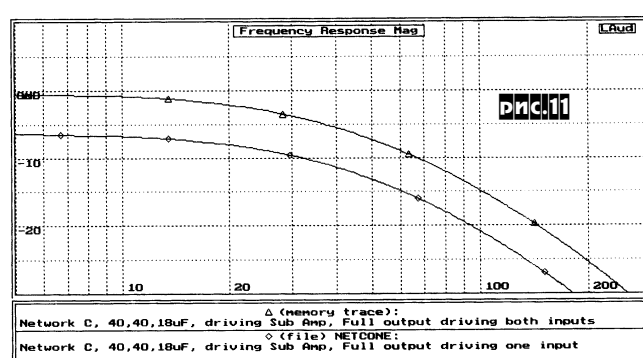


рис.11

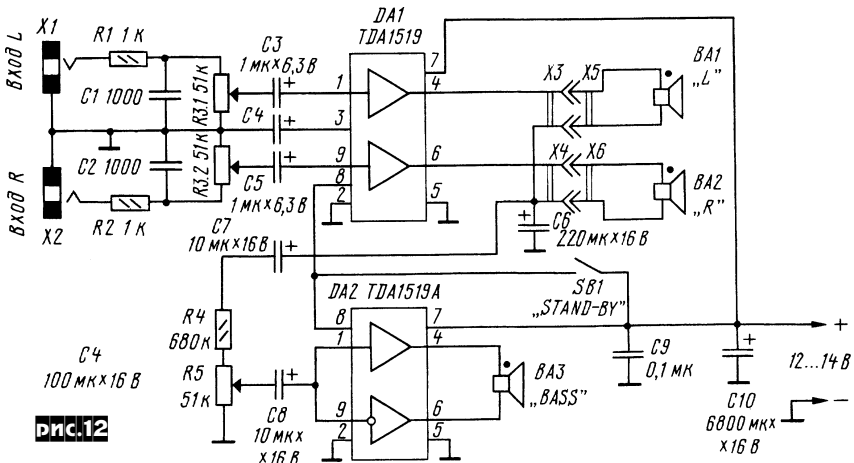
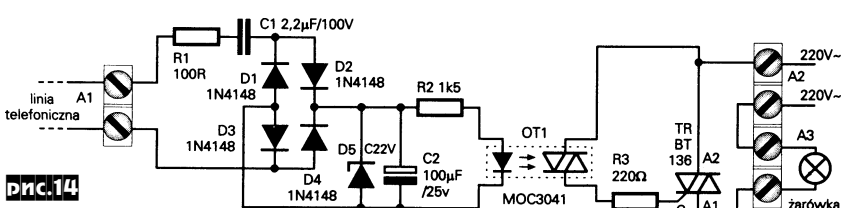
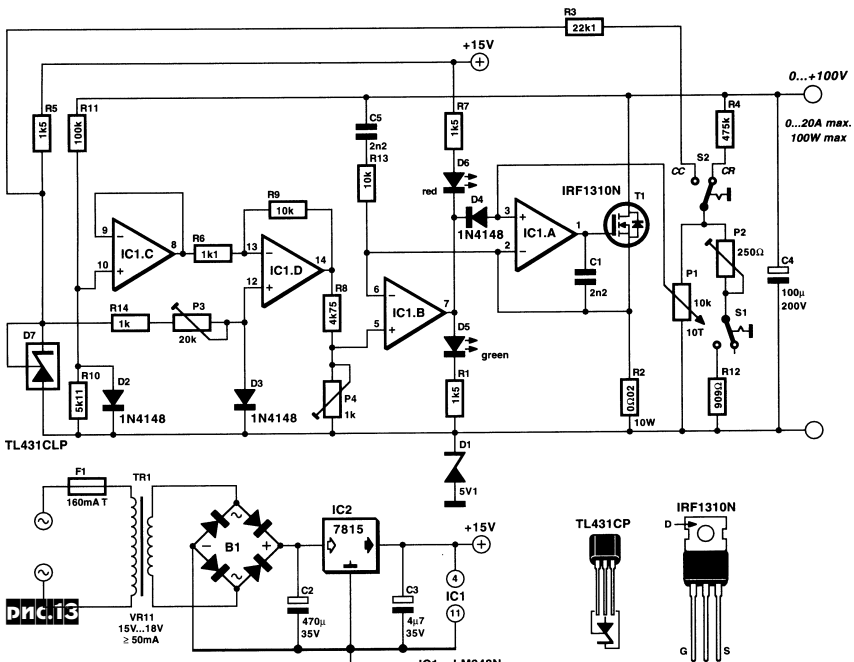


Рис.12



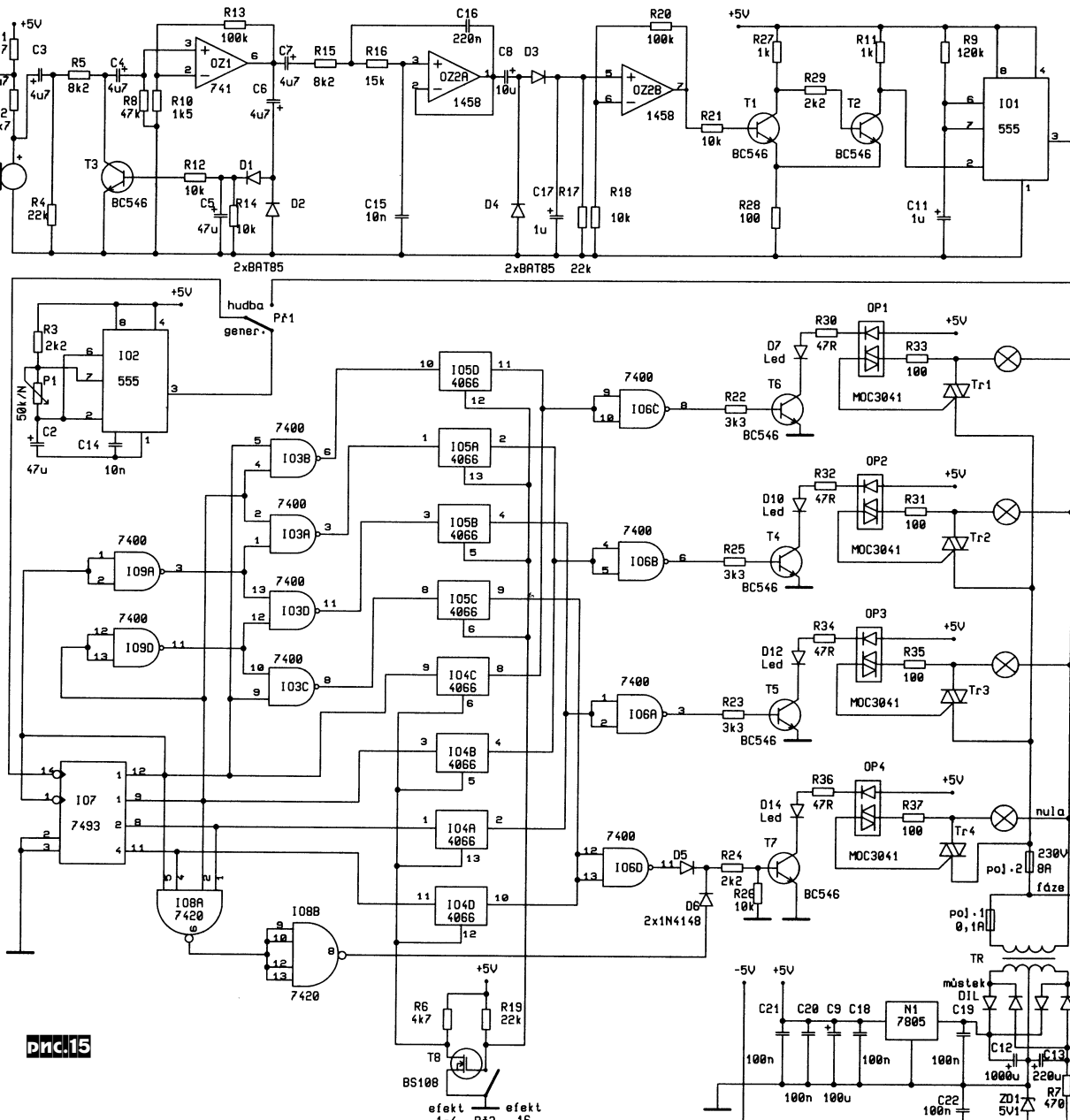
эмulationю резистора (S2 в положении CR=Constant Resistance) от 100 кОм до 1 Ом, так и в режиме фиксированного тока (S2 в положении CC=Constant Current) от 0 до 20 А. Максимальное напряжение на входе устройства 100 В, максимальная мощность 100 Вт, нелинейность не более 0,5%. В основе схемы - мощный полевой транзистор T1 с токовым сенсором R2, охваченные следящей ОС через ОУ IC1A. В положении

СС переключателя S2 опорное напряжение на неинвертирующем входе IC1A поступает со стабилизатора D7 через делитель R3P1 и устройство работает как стабилизатор тока. Р1 - многооборотный резистор, посредством которого задается требуемый ток от нескольких миллиампер до 20 А. Если S2 перевести в положение CR, то опорное напряжение на неинвертирующем входе IC1A формируется делителем R4P2R12 из входного и,

следовательно, входной ток оказывается пропорциональным входному напряжению, т.е. устройство ведет себя как резистор. Эквивалентное сопротивление этого «резистора» можно регулировать опять-таки многооборотным резистором Р1; триммером Р2 при калибровке устанавливают ток 10 А при входном напряжении 10 В (т.е. минимальное сопротивление устройства в верхнем положении Р1 и S2 в положении CR). На IC1B-IC1D выполнена схема защиты от превышения мощности. Часть входного напряжения через R11R10D2 подается на IC1C и через УПТ IC1D подается на компаратор IC1B, сравнивающий это напряжение с падением напряжения на R2 (т.е. компаратор одновременно следит и за входным напряжением, и за входным током). В нормальном режиме напряжение на выходе IC1B высокое, свечение зеленого светодиода D5 индицирует, что все в порядке. Если мощность на T1 превысит допустимую, то IC1B переходит в состояние с низким выходом, D5 гаснет, красный D6 начинает светиться, сигнализируя перегрузку, а через D4 управляющий ОУ IC1A получает напряжение, ограничивающее ток и мощность. Охлаждение T1 обеспечено обычным куллером для процессора ПК («Elektor Electronics» №2/02, с.32-34).

Петр Войтович предложил устройство для световой индикации телефонного звонка (рис.14), которое полезно в вечернее и ночное время (звонок в это время можно отключить, чтобы не беспокоить окружающих). Оно подключается к телефонной линии мостиком D1-D4, который выпрямляет напряжение вызова и через оптосимистор OT1 открывает мощный симистор TR1, коммутирующий сеть 220 В на 100-ваттную лампу накаливания zarowka («Elektronika dla Wszystkich» №4/02, с.55\*).

Автоматическая мигалка Яна Хорки (рис.15) ориентирована на дискотеки - обеспечивает коммутацию четырех групп разноцветных ламп прожекторов мощностью до 400 Вт каждая. Коммутацию ламп осуществляют симисторы Tr1-Tr4, управляемые через оптосимисторы OP1-OP4, транзисторы T4-T7 и логические буферы I06A-I06D. В зависимости от положения переключателя Pr2 логический блок формирует 16-шаговую (с выходов двоичного 4-разрядного счетчика I07) или 4-шаговую (через I09, I03) последовательность из тактовых импульсов, которые могут задаваться как периодическим генератором на интегральном таймере I02 (частота в пределах от 0,2 до 10 Гц регулируется резистором Р1), так и апериодически в такт со звуковым сигналом. В последнем случае переключатель Pr1 переводят в верхнее по схеме положение, а звуковой сигнал с микрофона усиливается ОУ OZ1 с АРУ D1D2T3, выделенное активным ФНЧ (OZ2A) напряжение низкочастотной части спектра выпрямляется (D3D4C17), усиливается УПТ OZ2B и через триггер Шмитта T1T2 запускает ждущий мультивибратор I01 (длительность выходного импульса 150 мс). Питается устройство

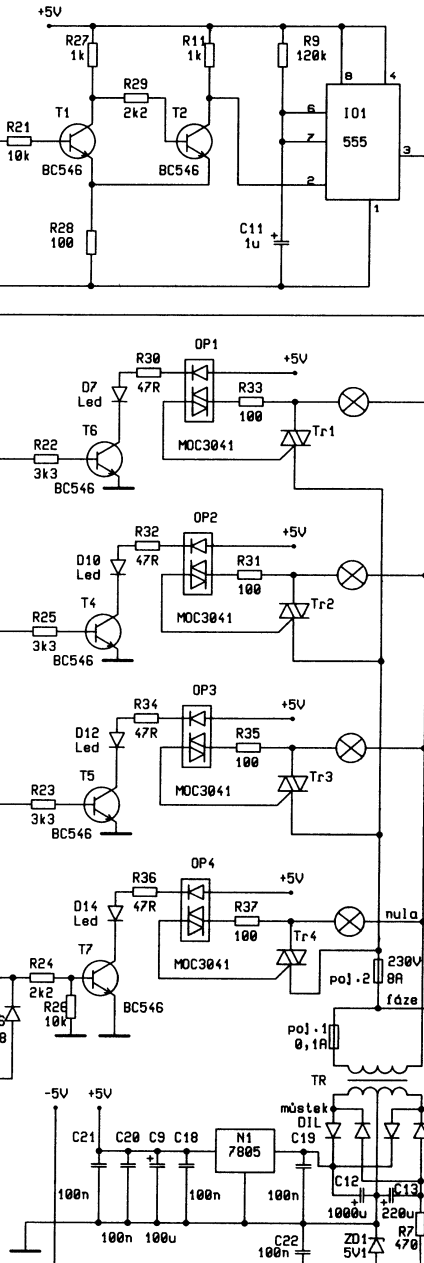


(±5 В) от стандартного сетевого выпрямителя, трансформатор TR мощностью 2,5 Вт имеет вторичную обмотку 2x6 В («Prakticka elektronika A Radio» №3/02, с. 13-15\*).

**Сигнализатор превышения температуры (рис. 16)** Кшиштофа Горски состоит из датчика температуры - обратносмещенного (через POT1, R4) германевого диода D1, электронного ключа

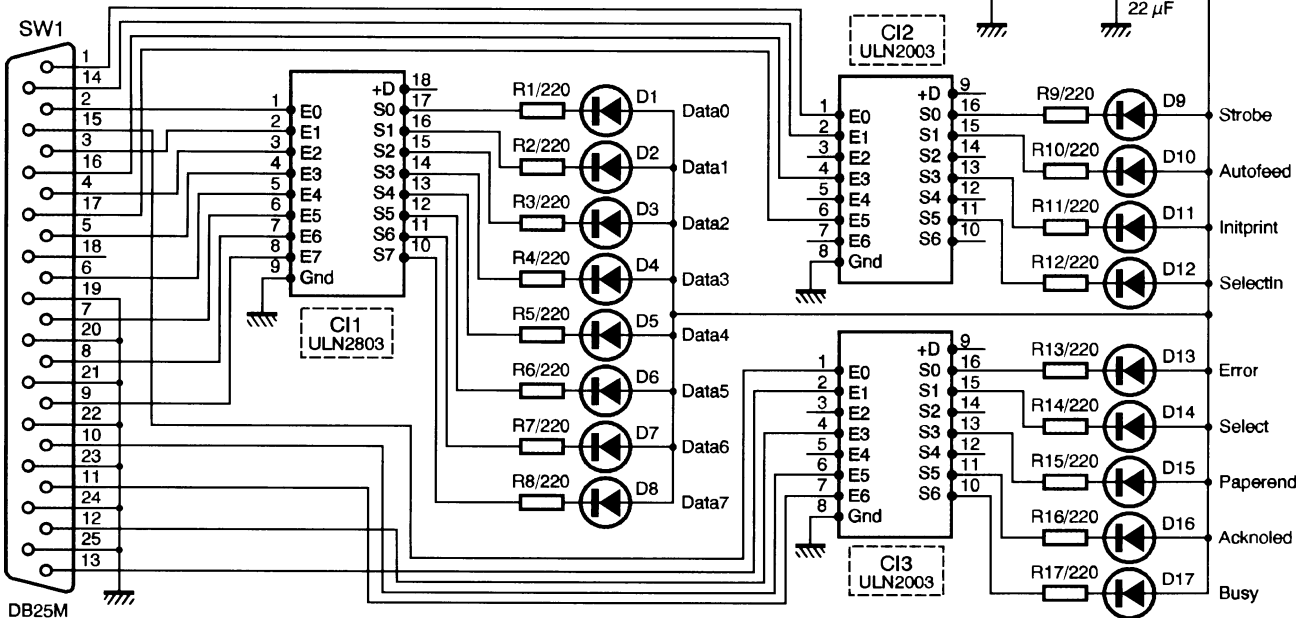
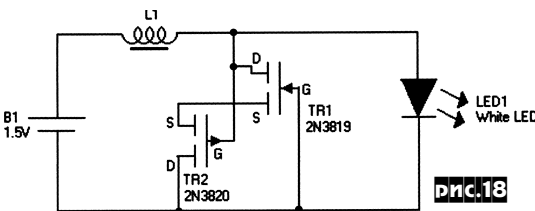
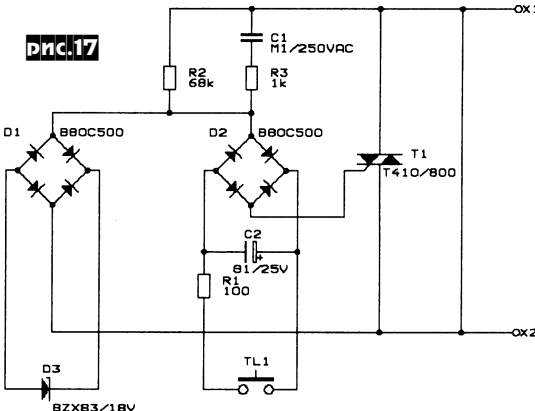
T1 и генератора звуковой частоты на интегральном таймере US1 и динамика Gl1. При температуре ниже пороговой (устанавливается резистором POT1, максимально +80

°С) транзистор T1 открыт и коллектором заземляет вход Reset US1 - генератор заторможен. При достижении порога температуры обратный ток D1 возрастает настолько, что база T1 оказывается



заземленной, а сам транзистор запертым; US1 начинает генерацию звукового сигнала тревоги, излучаемого динамиком Gl1 («Elektronika Praktyczna» №3/02, с. 87\*).

**Реле времени без реле (рис. 17)** предложил Петер Жиман. Устройство включается в разрыв сетевого провода любой нагрузки переменного тока и обеспечивает выдержку 30 с (определяется емкостью электролитического конденсатора C2) подключенного к сети состояния нагрузки после кратковременного нажатия кнопки TL1: после быстрого разряда C2 через R1 симистор T1 поддерживается в открытом состоянии зарядным током этого конденсатора. На мостике D1 и стабилитроне D3 собран



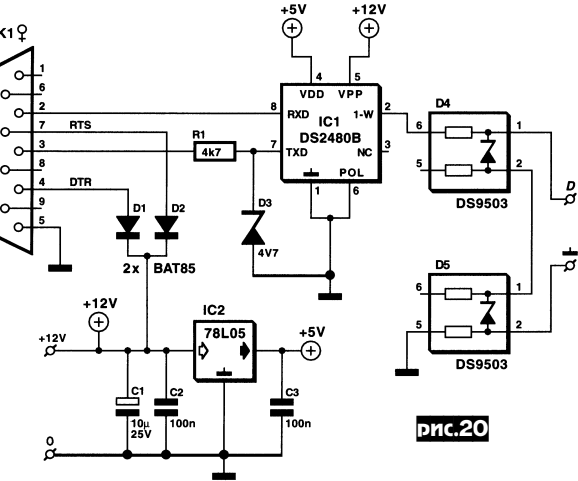
стабилизатор напряжения 20 В, резко снижающий требования по рабочему напряжению C2 («Praktická elektronika A Radio» №4/02, с.27).

**Повышающий преобразователь напряжения Андре де Журина** содержит всего три элемента (рис.18), но тем не менее **обеспечивает нормальное свечение белого светодиода LED1** с прямым напряжением 2,9 В от **одного сухого элемента** напряжением 1,5 В. Удивительным свойством схемы является ее микропотребление - всего 250 мкА (вместе со светящимся светодиодом!). Индуктивность катушки L1 некритична, но с целью снижения частоты генерации (и повышения КПД) желательно, чтобы L1

зажигания, а также способны коммутировать больший ток (500 мА) при большем (50 В) напряжении («Interfaces PC» №11, с.76-79\*).

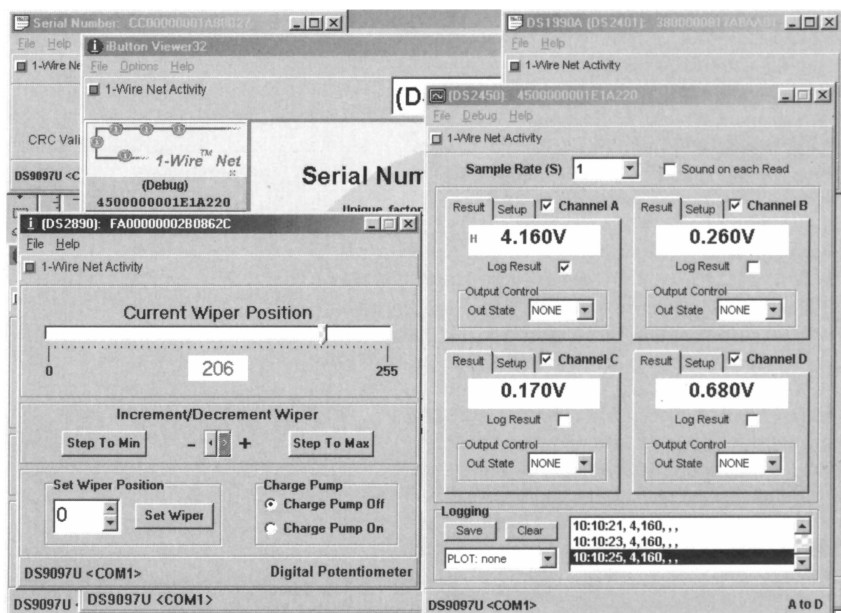
Однопроводный последовательный интерфейс 1-Wire поддерживается широкой номенклатурой микросхем фирмы Dallas Semiconductor (цифровые термометры и потенциометры, АЦП, таймеры и др.) и в ряде случаев удобнее любого

другого. Люк Лемменс разработал **адаптер 1-Wire -> RS232** (рис.20), позволяющий подключать любые 1-Wire устройства к ПК для съема данных, питания и управления. Обмен данными с ПК производится по линиям Rx/D и Tx/D, а питание устройства формируется из RTS, DTR через диоды D1, D2 и стабилизатор IC2. В связи с тем, что для стандартного RS232 уровни логического нуля (+12 В) и единицы (-12 В) в корне отличаются от обычных для микроконтроллеров 0 и +5 В, соответствующее преобразование уровней и инверсию выполняют R1D3 и собственно ИМС IC1. D4 и D5 - микросхемы защиты от статического электричества, содержащие быстродействующие защитные диоды с напряжением Зенера 7,5 В, а также 5-омные резисторы. Свободно распространяемое ПО iButton Viewer и TMEX-драйверы доступны с <http://www.ibutton.com/software/tmex/index.html>. Они автомати-

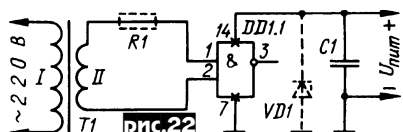


чески определяют подключенные к адаптеру 1-Wire-устройства, а также позволяют (**рис.21**) снимать данные и управлять ими («Elektor Electronics» №4/02, с.30-34\*).

рис.21



**А.Самойленко**, основываясь на том факте, что в КМОП ИС входы стандартных логических элементов зашунтированы защитными диодами, предложил в простейших устройствах **использовать незадействованные в схеме элементы для выпрямления сетевого напряжения**. На **рис.22** показан вариант выпрямителя на одном логическом элементе



**И-НЕ.** Единственный дополнительный элемент - сглаживающий пульсации конденсатор С1. Остальные логические элементы микросхемы можно использовать по штатному назначению, а выход такого «выпрямителя» подключить к внешнему потребителю тока до 20 мА («Радио» №4/02, с.45).

Еще одну конструкцию, в которой КМОП ИМС используется не по прямому назначению, разработал **Е.Ковалев**. Это (**рис.23**) приемник прямого усиления, рассчитанный на прием местной

радиовещательной станции в диапазоне длинных или средних волн. Логические элементы благодаря обратным связям по постоянному току (R1 и R3R4) «загнаны» в линейный режим усиления.

диапазоне цифровые беспроводные телефоны (DECT). Дипольная антенна A1, A2 (и конструктивно расположенная перпендикулярно к ней A3, A4 - **рис.25**) совместно с катушкой индуктивности образуют резонансный контур, выделяющий требуемую часть диапазона. D1, D2 детектируют радиочастотные импульсы, а их дальнейшее усиление выполняет микросхема двойного ОУ IC1. Светодиод D3 одновременно с индикацией включения выполняет и функцию формирования виртуальной «земли» для питания неинвертирующих входов ОУ. Катушки L1, L2 - бескаркасные, намотаны на оправке диаметром 5 мм и содержат по 10 витков провода ПЭЛ 0,35. Антеннами служат отрезки обычного монтажного одножильного медного провода; для GSM900 длина каждого плеча диполя около 7,5 см, для GSM1800 - 3 см. В качестве диодов можно применять диоды Шоттки BAT43, BAT45, а также СВЧ германевые AA112, AA116, AA119 («Elektor Electronics» №5/02, с.64-66\*).

**Андря Хубер** (9A7HPA) предложил схему **зарядного устройства** для никель-кадмийевых аккумуляторов (**рис.26**), с помощью которого можно одновременно заряжать от 5 до 10 соединенных по-

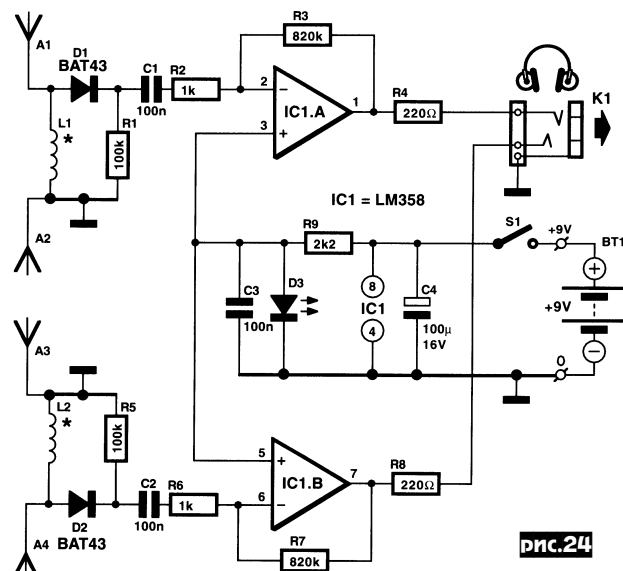


рис.24

На DD1.1 выполнен УВЧ, согласующий antennный колебательный контур L1C1 с детектором с удвоением напряжения VD1VD2. Звуковой сигнал усиливается элементами DD1.2-DD1.4 и подается на телефон BF1. Магнитная антенна W1 выполнена на ферритовом стержне 600НН диаметром 8 мм. Для диапазона ДВ мотают 800...900 витков ПЭВ-1 0,1, а для СВ - 200...300 витков («Радиолюбитель» №3/02, с.36).

Своеобразный приемник для «охоты на лис» разработал **Б.Каинка**. Особенностью является то, что этот несложный индикатор-пеленгатор (**рис.24**) под «лисами» понимает **мобильные телефоны**, а также работающие примерно в этом же частотном

диапазоне цифровые беспроводные телефоны (DECT). Дипольная антенна A1, A2 (и конструктивно расположенная перпендикулярно к ней A3, A4 - **рис.25**) совместно с катушкой индуктивности образуют резонансный контур, выделяющий требуемую часть диапазона. D1, D2 детектируют радиочастотные импульсы, а их дальнейшее усиление выполняет микросхема двойного ОУ IC1. Светодиод D3 одновременно с индикацией включения выполняет и функцию формирования виртуальной «земли» для питания неинвертирующих входов ОУ. Катушки L1, L2 - бескаркасные, намотаны на оправке диаметром 5 мм и содержат по 10 витков провода ПЭЛ 0,35. Антennами служат отрезки обычного монтажного одножильного медного провода; для GSM900 длина каждого плеча диполя около 7,5 см, для GSM1800 - 3 см. В качестве диодов можно применять диоды Шоттки BAT43, BAT45, а также СВЧ германевые AA112, AA116, AA119 («Elektor Electronics» №5/02, с.64-66\*).

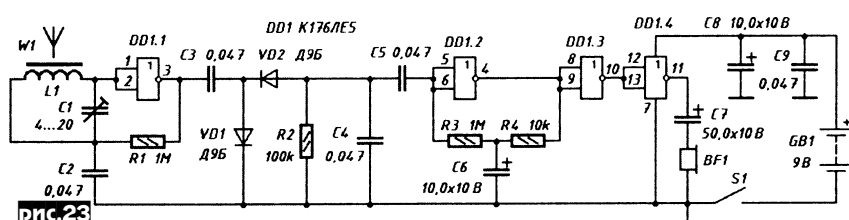
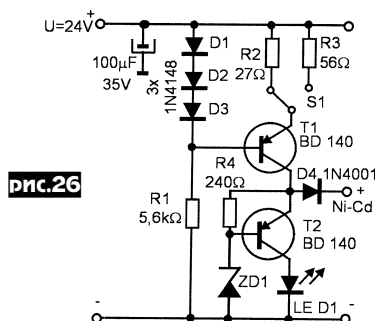


рис.23



pic.25

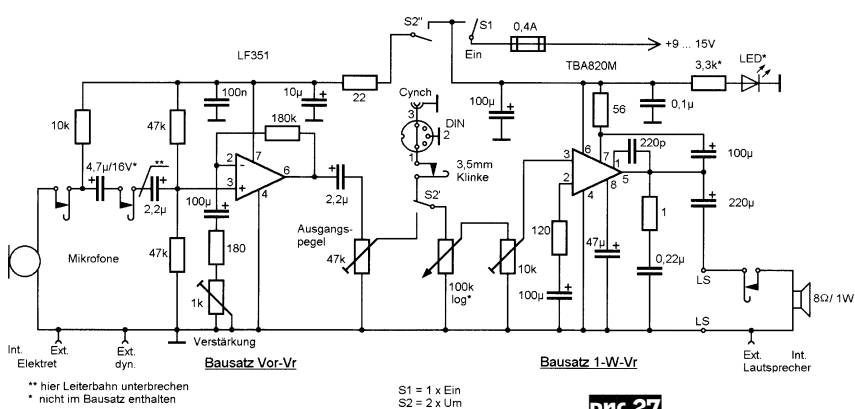


pic.26

Если добавить  $R_5 = 82 \Omega$  и заменить  $S_1$  на трехпозиционный, появится возможность заряжать аккумуляторы током 15 мА.  $D_4$  защищает аккумуляторы от разряда через устройство при случайном отключении питания в процессе заряда и от «переплюсовки» при подключении.  $D_1$  (зеленого свечения) сигнализирует о завершении заряда («Radio T9», №1/02, с.31, 32\*).

**Клаус Бётчер** (DJ8RW) предложил конструкцию универсального УНЧ для

следующих целей: испытание громкоговорителей и наушников, микрофонов разных типов (динамических, керамических, электретных), различных источников звука; снятие передаточной характеристики совместно со звуковым генератором и осциллографом; поиск неисправностей в схемах; усилитель для CW-генератора при обучении азбуки Морзе; **модуляционный усилитель для QRP передатчика**; как функциональный узел для встраивания в приемник или трансивер. Схема усилителя показана на **pic.27**, где на LF351 собран микрофонный усилитель, а на TBA820M выходной УНЧ, работающий на 4-х или 8-омный динамик, или головные телефоны. Устройство собрано на двух печатных платах и имеет следующие характеристики: выходной УНЧ - размер платы 45x40 мм, напряжение питания 3,5...16 В, ток покоя 8 мА, ток при максимальной выходной мощности 250 мА, выходная мощность 1 Вт при  $U_{\text{пит}} = 9$  В и  $R_H = 4 \Omega$ ,  $U_{\text{bx}} = 100$  мВ, АЧХ - 100 Гц...18 кГц; микрофонный усилитель - печатная плата



pic.27

43x35 мм,  $U_{\text{пит}} = 9 \dots 15$  В, потребляемый ток 2,5 мА,  $U_{\text{bx}} = 0,2 \dots 2,0$  мВ, коэффициент усиления 150...1500, АЧХ - 50 Гц...20 кГц («Funk» №3/02, с.30).

**М.Кислинский** (RX9CBI) предложил схему **синтезатора частот для УКВ радиостанции**, обладающего следующими характеристиками: шаг перестройки по частоте - 25 кГц; выходное напряжение на нагрузке 50 Ом - 0,2 В; время переключения RX/TX (TX/RX) - 60...70 нс; напряжение питания - 7...17 В; потребляемый ток - 17 мА; размеры печатной платы 50x100 мм. Собственно синтезатор (**pic.28**) собран на DD2 (K1508ПЛ1 - опорный генератор с делителем, ДПКД частоты ГУНа, фазовый детектор) и на VT6 (KT368) - ГУН. На VT7 (KT368) собран буферный усилитель, а на VT5 (KT368) - ключ, подключающий C34 к колебательному контуру ГУНа для понижения частоты синтезатора в режиме приема (RX) на значение ПЧ. Для перехода в режим передачи (TX) соединяют контакт TX(0V) с общим проводом, при этом VT2 и VT4 открываются, а VT5 закрывается и отключает C34 от частотозадающих цепей ГУНа. Частотная модуляция осуществляется с помощью вариакапа VD15 (KB122), на который подается НЧ сигнал (100...200 мВ) с микрофонного усилителя через контакты MOD, C27 и R22. Подбором сопротивления R22 устанавливают необходимую девиацию частоты. Управление синтезатором осуществляется микропроцессором DD1 (PIC16C54), диодной матрицей VD1-VD12 и переключателями установки частоты S1 (десятка кГц), S2 (сотни кГц), S3 (144/145 МГц), а также S4 «РЕП» (репитерный сдвиг частот приема/передачи на 600 кГц в пределах частот TX 145,000...145,175 МГц). При монтаже платы синтезатора необходимо принять меры по защите от статического электричества, особенно при пайке DD2. Для обеспечения спектральной чистоты сигнала синтезатора выв.1 DD2 соединяют с ее корпусом, а выв.8 DD2 - через безвыводной конденсатор 6800...47000 пФ с общим проводом. При правильном монтаже и исправных деталях настройка сводится к регулировке L1L2C34. На начальном этапе L1 закорачивают перемычкой, переключателями S1-S3 устанавливают 144 МГц (режим TX) и подстройкой L2 добиваются  $U_{\text{упр}} = 2$  В в точке соединения R13-R15. Затем в режиме RX с помощью C34 добиваются  $U_{\text{упр}} = 1,5$  В. Эти операции имеют небольшую взаимозависимость, поэтому подстройкой L2 и C34 выполняют несколько раз, переключая соответственно режимы TX и RX. При этом индикатор захвата частоты ГУНа петлей ФАПЧ VD13 должен светиться. Опорный генератор настраивают по соответствию выходной частоты синтезатора, измеренной на коллекторе VT7, который временно со-

# ДАЙ ДЖЕСТ

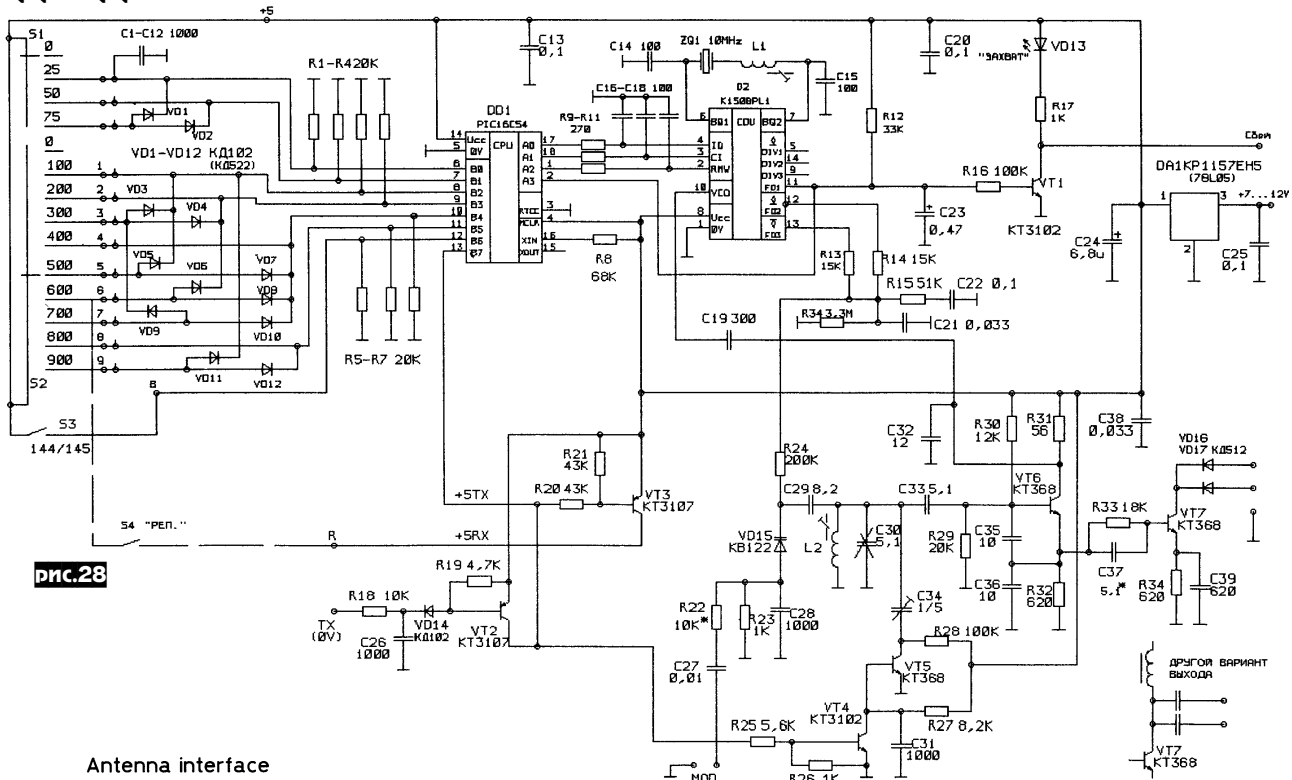


рис.28

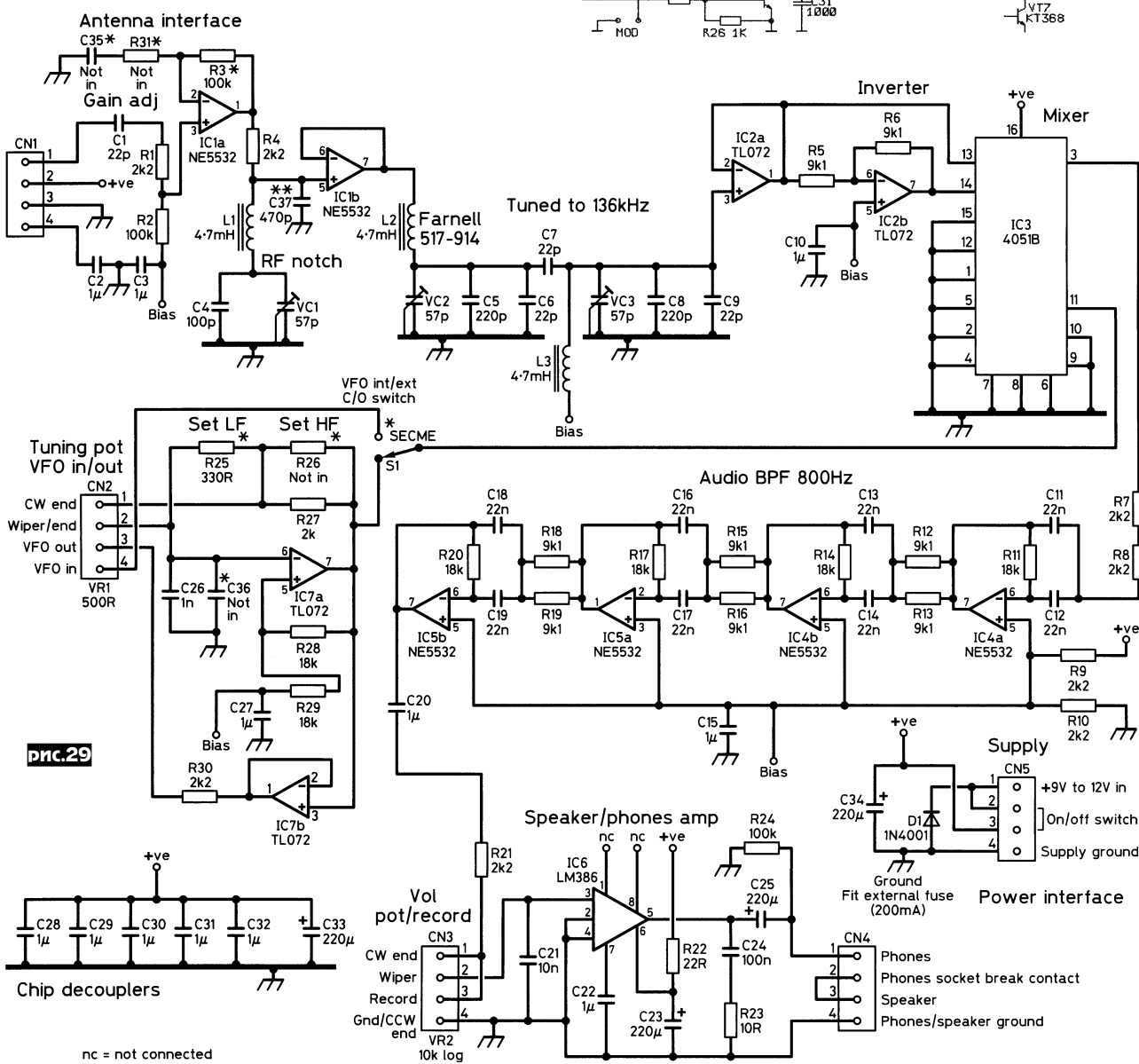
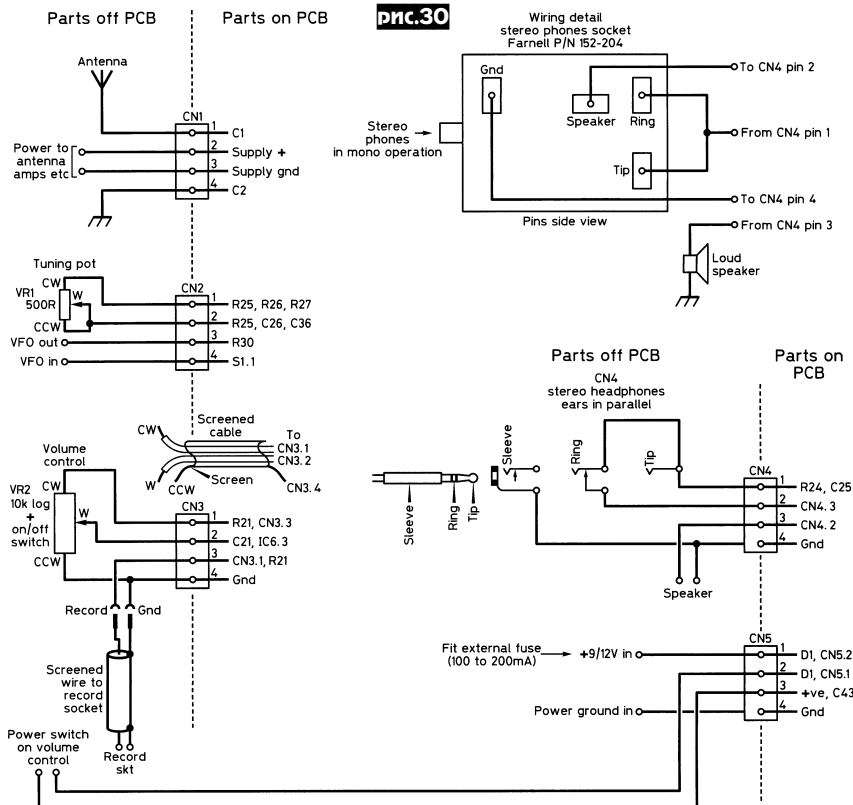


рис.29

nc = not connected



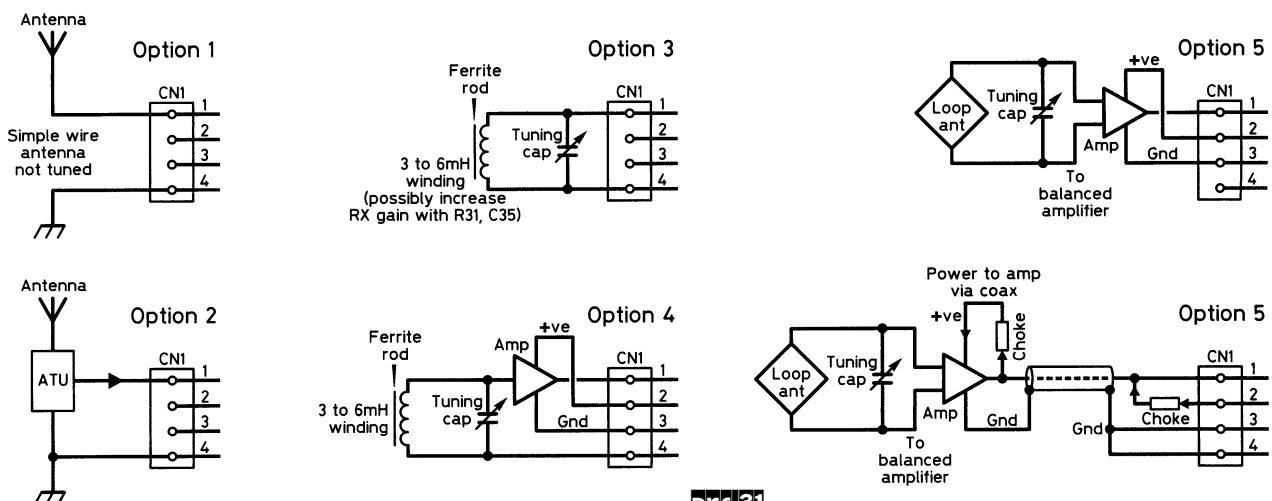
единяют с шиной +5 В через дроссель 10...20 мГн, частоте, установленной переключателями S1-S3. Если ее значение больше установленной, подбирают L1 (25...30 витков), если меньше - вместо L1 устанавливают конденсатор 20...200 пФ. В режиме RX выходная частота синтезатора должна быть меньше установленной переключателями на значение ПЧ (возможно понадобится подстройка C34). По результатам изготовления около 200 синтезаторов автор отмечает следующие недостатки: низкое качество K1508ПЛ1 (рекомендует заменить ее на КФ1015ПЛ3, имеющую, однако другой формат данных) и транзисторов KT368

(попадаются экземпляры с завышенным уровнем шума); не лучший вариант сдвига частоты ГУНа с помощью транзисторного ключа. Рекомендует осуществлять управление вариаком через буферный усилитель, а не напрямую с выходов DD2. ГУН необходимо поместить в экран, а саму плату синтезатора - в экранированном отсеке приемопередатчика. Листинг управляющей программы для PIC16C54 для ПЧ=10,7 МГц (файл sint\_vhf.zip) можно скачать с <http://radiohobby.da.ru> («Радиолюбитель. КВ и УКВ» №3/2002, с. 19-21).

**Тед Кроули (EI3CY)** разработал приемник прямого преобразования для

приема телеграфных сигналов в сверхдлинноволновом диапазоне 136 кГц. На **рис.29** показана схема приемника, собранного на печатной плате 101,6x101,6 мм. На **рис.30** - схемы подключения: антенны к CN1; потенциометра настройки VR1, частотомера и внешнего ГПД к CN2; регулятора громкости VR2 к CN3; головных телефонов и громкоговорителя к CN4; источника питания 9...12В через предохранитель на 100...200mA по шине «+» к CN5. Сигнал с антенны через разъем CN1 (рис.29) поступает на антенный усилитель IC1a (NE5532), обеспечивающий высокий входной импеданс, усиление и предварительную селекцию принимаемых сигналов (при C35=0,1 мкФ и R31=33 кОм коэффициент усиления будет 12 дБ, а полоса пропускания - 50 кГц; при C35=0,22 мкФ и R31=10 кОм - соответственно 20 дБ и 70 кГц). Перестраиваемый последовательный контур L1C4VC1 предназначен для подавления узкополосных помех, попадающих в полосу приема. ФНЧ R4C37 подавляет сигналы и помехи выше диапазона 136 кГц (C37 припаивается непосредственно к выводам 4 и 5 IC1). Далее сигнал поступает через буферный повторитель IC1b, двухконтурный полосовой фильтр L2VC2C5C6C7L3VC3C8C9 и IC2a, IC2b - на смеситель IC3 (HEF4051B). На вывод 11 IC3 подается сигнал с ГПД, собранного на IC7a (TL072), или внешнего (коммутируются S1). Перестройка ГПД осуществляется VR1 (рис.30). R25 определяет нижний предел перестройки, а R26R27 - верхний. С выхода смесителя (выв.3 IC3) звуковой сигнал подается на активный четырехкаскадный полосовой фильтр с центральной частотой 800 Гц и полосой пропускания 800 Гц на IC4IC5 (NE5532) и затем через регулятор громкости VR2 (рис.30) на оконечный УНЧ IC6 (LM386) и (или) через CN3 на вход звуковой карты ПК. На **рис.31** показано несколько вариантов подключения к приемнику различных антенн. Автор отмечает лучшую чувствительность и избирательность в сравнении с широкодиапазонными приемниками промышленного изготовления («RadCom» №5/02, с. 46-48, 53, 54).

Известно, что грозовые разряды могут вывести из строя дорогостоящее обоз



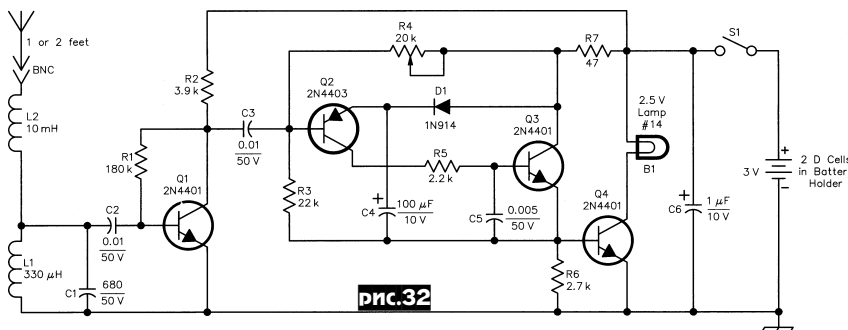


рис.32

рудование радиолюбительской радиостанции не только прямым попаданием молнии, но и статическим электричеством. Для того, чтобы вовремя отключить и заземлить антены и обесточить питание, необходимо знать о приближении грозы, а это не всегда удается даже прослушивая грозовые разряды по приемнику. **Боб Редмер (N2PWP)** предложил схему «**Детектора молнии**» (рис.32), позволяющего по «миганию» лампочки накаливания B1 визуально определить приближение грозы. Устройство представляет собой приемник прямого усиления на фиксированную частоту 300 кГц. Антенна - телескопическая, длиной 30...60 см; L2 - удлиняющая согласующая катушка индуктивности; контур L1C1 настроен на 300 кГц. В отсутствие грозовых разрядов с помощью R4 подбирается смещение Q2 на пороге «загорания» лампы B1. Импульсы грозовых разрядов, усиленные Q1, поступают на базу Q2 и благодаря положительной обратной связи открывают Q2-Q4 до полного разряда C4, что приводит к «миганию» B1. Работоспособность схемы восстанавливается быстро за счет заряда C4 через D1. Настраивают устройство, предварительно выставив R4 на пороге «загорания» B1, а затем проверяют работоспособность при помощи искровой зажигалки для газовых плит, на которую «Детектор молнии» должен реагировать на расстоянии 1...1,5 метра («QST» №4/02, с.59-61).

В статье **Клауса Бётчера (DJ3RW)** отмечается важность устройства **качественного заземления радиостанции**. Но гальваническое заземление не все-

гда удается организовать так, чтобы убрать ВЧ напряжение с корпусов приемопередатчиков и других приборов. В результате могут появиться помехи телевидению (TVI) и даже выйти из строя некоторые приборы, особенно компьютер, соединенный с трансивером. Автор предложил дополнительно к гальваническому заземлению предусмотреть и так называемую «**ВЧ-землю**». Она в идеальном случае состоит из куска четвертьвольнового провода для определенного диапазона. Поскольку радиолюбители используют только на КВ 9 диапазонов, такая конструкция «ВЧ-земли» довольно сложна. Поэтому автор применил в качестве компромисса перестраиваемый последовательный контур (рис.33), «нагруженный» на кусок провода (чем длиннее, тем лучше) с изолированным концом, т.к. там будет максимум ВЧ напряжения.

Вход устройства подключают непосредственно к «земляной» клемме усилителя мощности или (при его отсутствии) - к аналогичной клемме трансивера. Провод должен быть расположен по возможности перпендикулярно полотном антенн и сетевым проводам. В качестве индикатора настройки «ВЧ-земли» используется токовый трансформатор (2 витка в первичной обмотке и 22 витка во вторичной на ферритовом кольце проницаемо-

стью 400...600НН (размеры не критичны) и индикатора как показано на рис.33 (диод - любой германиевый). Катушка 50 мкГн используется на 160-метровом диапазоне. Переменная катушка индуктивности 18 мкГн должна иметь минимально возможное начальное значение. Устройство настраивают в резонанс по максимальному показанию микроамперметра на используемом диапазоне. При этом автор отмечает исчезновение не только TVI, но и повышение излучаемой мощности («Funk» №4/02, с.28, 29).

**Дейв Бенсон (K1SWL)** предложил методику измерения резонансной ча-

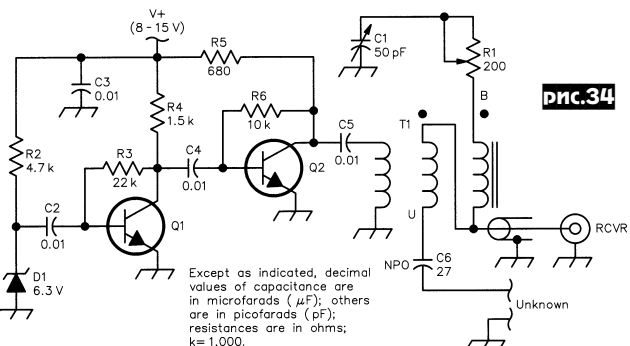


рис.34

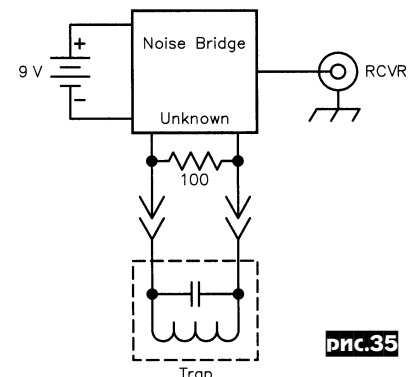


рис.35

стоты загрывающих контуров («**трапов**») многодиапазонных диполей с **помощью ВЧ-моста с генератором шума**, схема которых показана на рис.34. Здесь D1 (1N753A) - стабилитрон на 6,3 В, 0,5 Вт - источник шума; на Q1Q2 (2N4401) собран широкополосный усилитель; C1R1C6T1 - ВЧ-мост, где T1 - 4 витка трифильярной намотки на ферритовом кольце FT37-43 (9,5x4,8x3,2; проницаемость 550). Условием баланса моста, при котором уровень шума на разъеме «RCVR» минимален, является равенство импедансов двухполюсника, подключенного к клеммам «Unknown», и суммы C1 и R1. Перед измерением резонансной частоты «трапа» к клеммам «Unknown» подключают безиндукционный резистор 100 Ом и регулировкой C1R1 добиваются минимального уровня шума на выходе моста по контрольному приемнику, подключенному к разъему «RCVR». Затем подключают «Trap» как

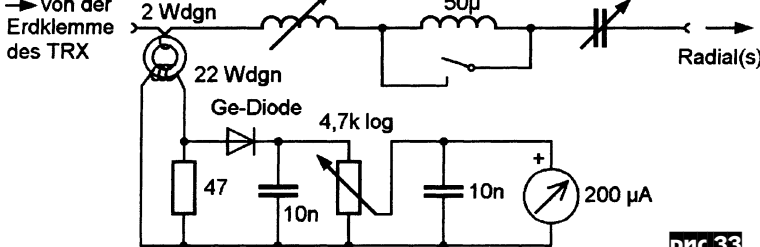


рис.33

показано на **рис.35** (при этом уровень шума увеличивается) и находят частоту настройки приемника, на которой шум минимален, это и будет частота резонанса «трапа» или любого другого параллельного контура. От редакции: частоту резонанса последовательного контура можно измерить таким же способом, но включив его последовательно с резистором 100 Ом. Если разрешение по частоте приемника достаточное, можно попробовать измерить частоты последовательного и параллельного резонансов кварцевых резонаторов («*QST*» №3/02, с.28-30).

**Гюнтер Грюнбек** (DH1NAW) сконструировал направленную **двойную дельта-петлевую антенну с рефлектором**, оптимизировав ее характеристики с помощью «антенной» программы EZNEC. На **рис.36** показан эскиз антенны для диапазона 70 см, где стороны треуголь-

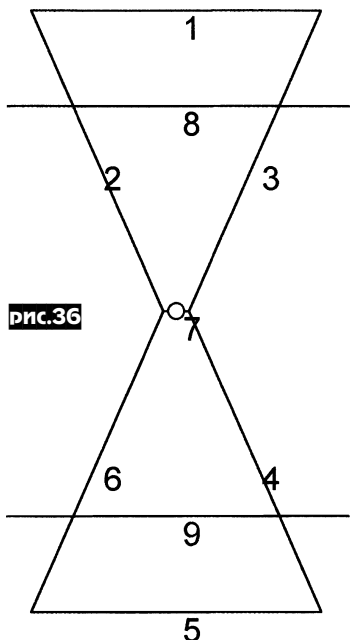


рис.36

ников 2, 3, 4 и 6 - по 24,4 см, 1 и 5 - по 21,45 см. Рефлекторы 8 и 9 (по 34,55 см) расположены на 11,5 см от излучателя и на расстоянии 30,6 см друг от друга. Все элементы выполнены из медного провода или трубы диаметром 3-4 мм. Антenna с этими размерами имеет следующие характеристики: усиление 13,2 дБи, входное сопротивление 75 Ом, отношение излучения вперед/назад 25 дБ, вперед/бок 17 дБ, КСВ не более 1,1 во всем диапазоне 70 см. На **рис.37** показан внешний вид антенны с четвертьвольновым коаксиальным симметрирующим шлейфом, используя который не обязательно («*Funk*» №4/02, с.37-39).

Классическая турникетная антenna состоит из двух взаимоперпендикулярных диполей, один из которых запитывается непосредственно 50-омным фидером, а второй - через фазосдвигающую четвертьвольновую линию из 75-омного кабеля (**рис.38**). Основное достоинство таких антенн - круго-

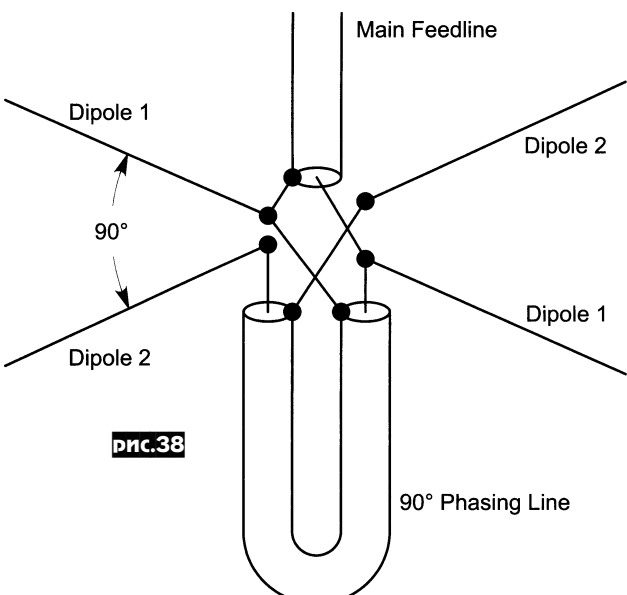


рис.38

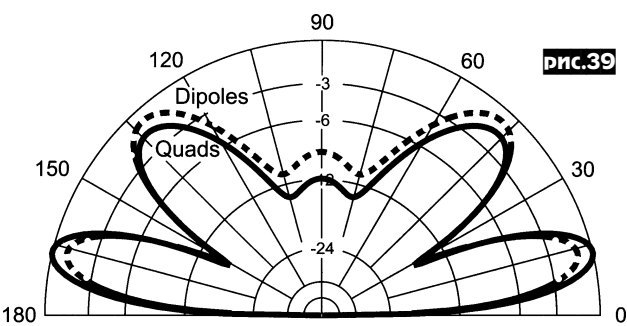


рис.39

Outer Ring = 5.70 dBi

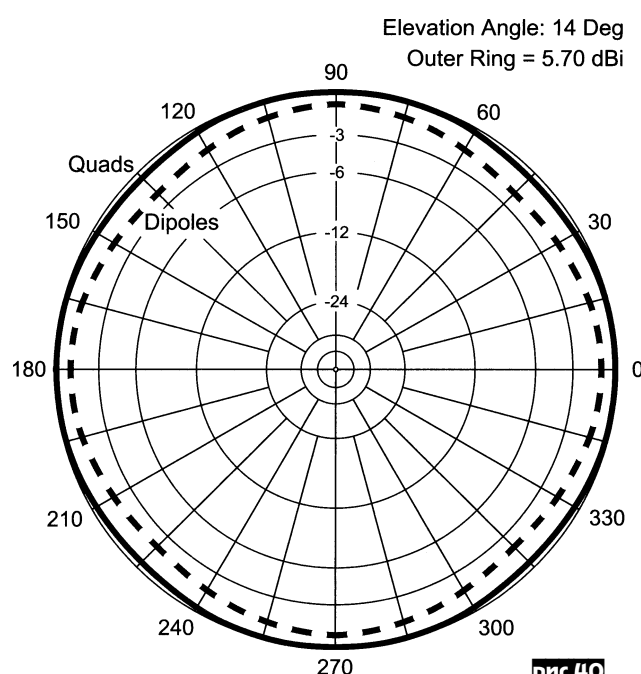


рис.40

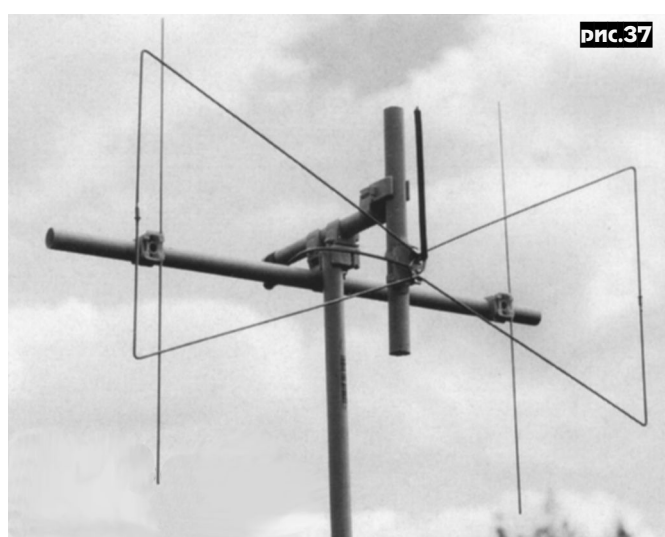
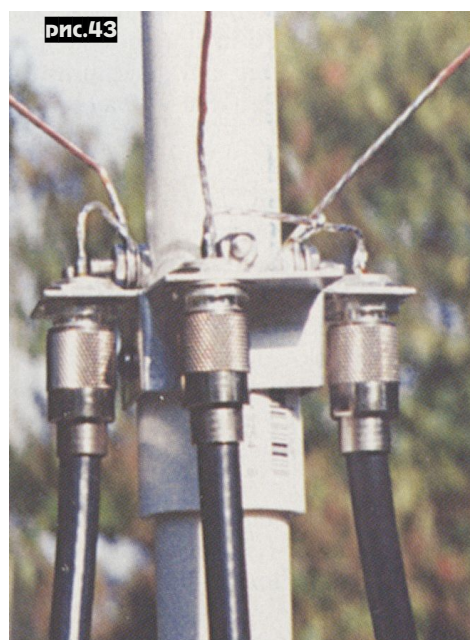
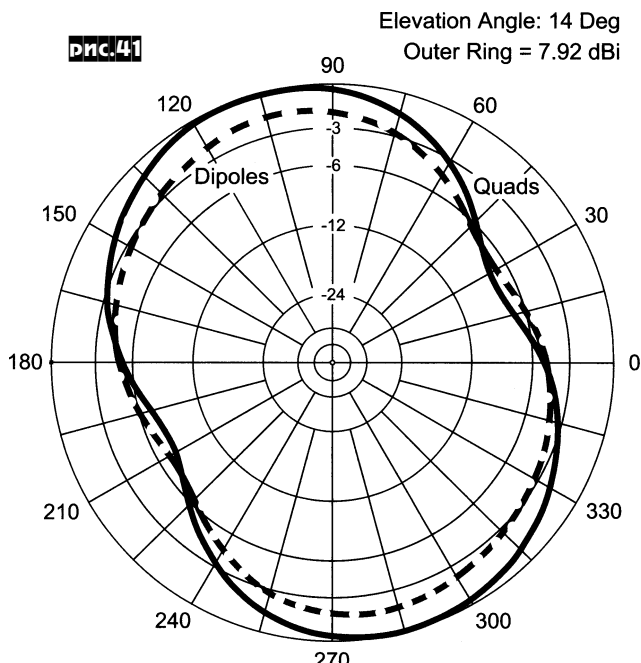
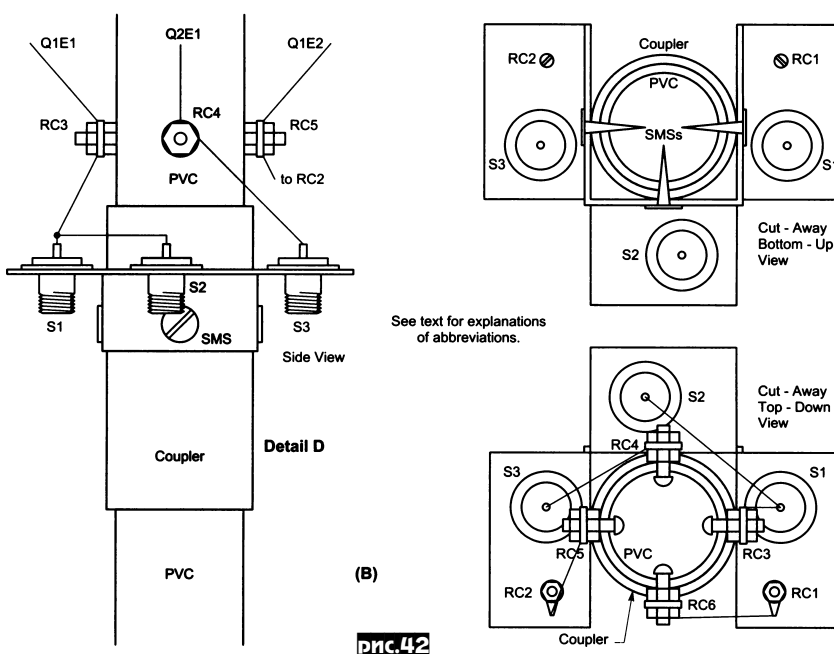
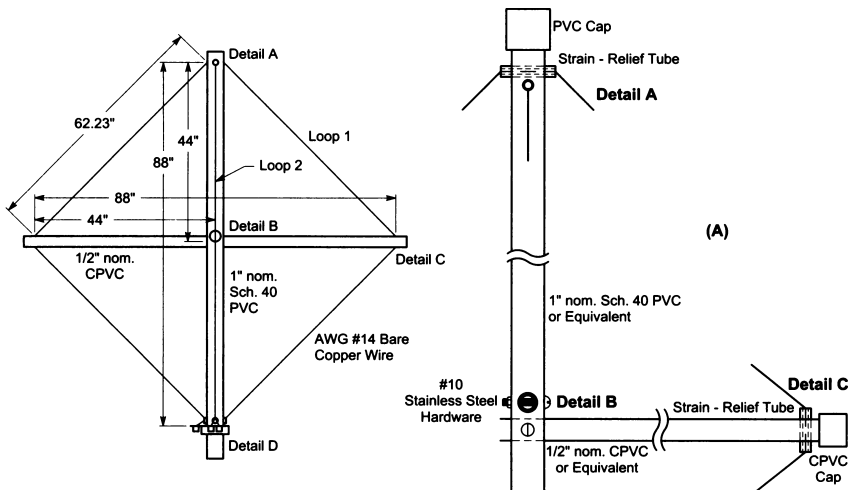


рис.37



вая диаграмма в горизонтальной плоскости. Вместе с тем антenna имеет импеданс 35 Ом и при непосредственном питании 50-омным кабелем (без согласующего устройства) КСВ=1,45. Л.Б. Цебик (W4RNL) предложил использовать в качестве излучателей турникетной антенны две квадратных рамки. Т.к. входное со-



противление рамки около 125 Ом, то результатирующий импеданс «квадратной турникетной антенны» равен 62 Ом и при непосредственном питании 50-омным кабелем КСВ уменьшился до 1,25. Фазирующая линия в этом случае изготовлена из четвертьволнового отрезка 125-омного кабеля RG-63/U. В реальной конструкции этой антенны для диапазона 6 М, в сравнении с дипольной турникетной, увеличились уровни излучения под малыми углами к горизонту (рис.39) и усиление при меньшей неравномерности круговой диаграммы в горизонтальной плоскости на резонансной частоте 50,5 МГц (рис.40). Круговая диаграмма сохраняется при расстройке  $\pm 2\%$  от  $f_{\text{рез}}$  и немного искажается при 5-процентной расстройке (рис.41). Конструкция антенны показана на рис.42, а внешний вид узла питания - на рис.43. Несущая мачта и две горизонтальные распорки выполнены из ПВХ труб (диаметром 1 и 0,5 дюйма соответственно), рамки - из медного провода диаметром 1,628 мм (AWG #14). Длина фазосдвигающей линии из RG-63/U - 49,1 дюйма с учетом коэффициента укорочения 0,84 для этого кабеля («QST» №5/02, с.42-46).

В статье Дьюра Дёса освещены вопросы теории логопериодических антенн (ЛПДА) и в качестве примера рассчитана практическая конструкция ЛПДА с рабочим диапазоном частот 10-30 МГц, усилением 9 дБ, входным импедансом 240 Ом, вертикальной поляризацией, шириной диаграммы направленности в вертикальной плоскости  $25 \pm 5^\circ$  и в горизонтальной -  $90 \pm 10^\circ$ , подводимой мощностью 1 кВт. Антenna состоит из 15 вертикальных вибраторов (рис.44), подвешенных на синтетическом тросе, растянутом между двумя мачтами высотой 22 и 4 метра. Вибраторы, фазирующая линия и симметричный фидер с волновыми сопротивлениями 240 Ом выполнены из медного провода диаметром 3 мм

(их проводники зафиксированы на расстоянии 21 мм с помощью текстолитовых распорок). Размеры элементов  $l_1 \dots l_{15}$  и расстояния между ними  $d_1 \dots d_{14}$  представлены в **таблице 1**. Фидер подключается к самому короткому вибратору (рис.45), а к самому длинному - короткозамкнутый шлейф с волновым сопротивлением 240 Ом и длиной  $0,125\lambda_{\max}$ . К трансиверу антенну подключают через симметрирующий трансформатор 1:5 (рис.45). Его можно расположить непосредственно возле точек питания, тогда используется 50-омный фидер, или возле трансивера, в этом случае фидер - симметричная 240-омная линия. Максимум излучения такой антенны в вертикальной плоскости находится в

рис.44

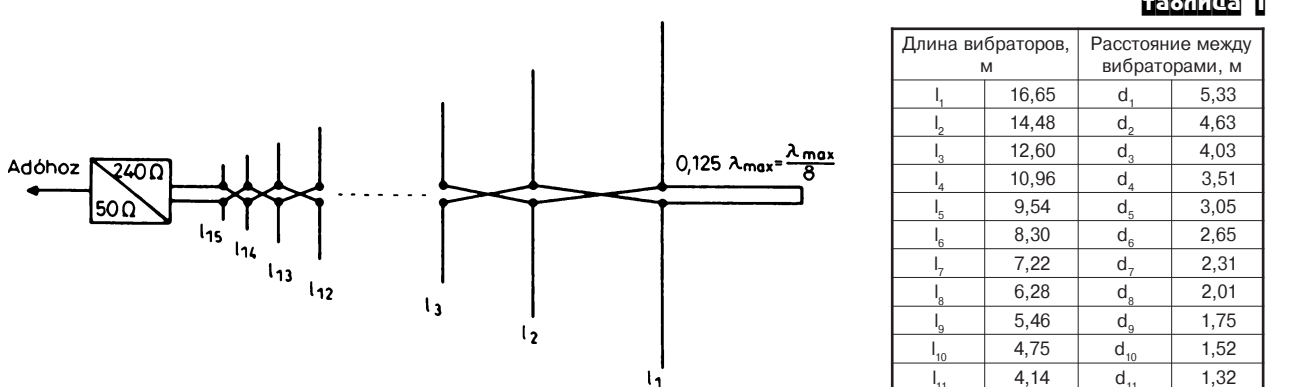
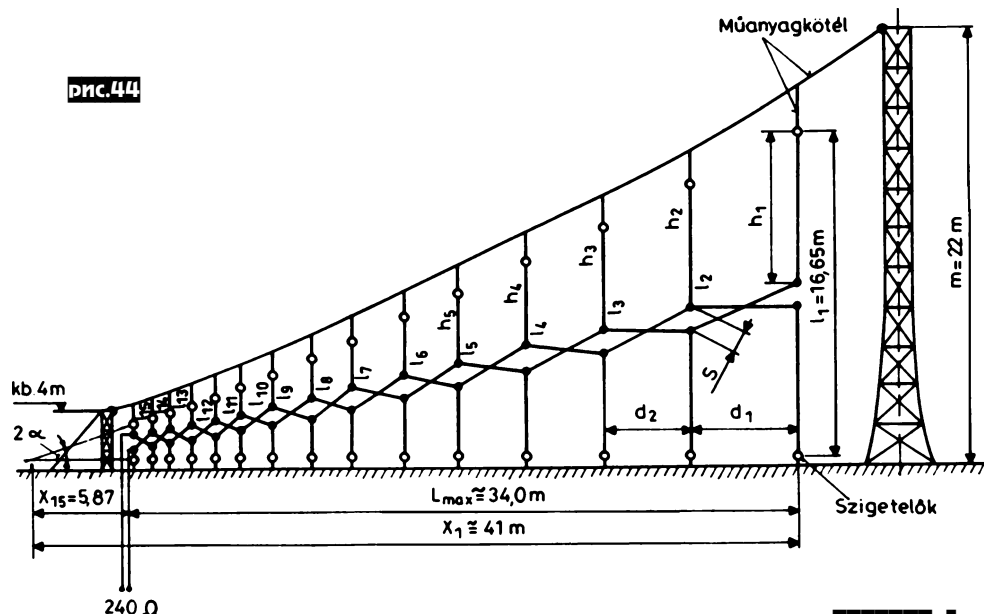


рис.45

16...18° к горизонту, что позволяет эффективно использовать ее для DX-связей на шести радиолюбительских диапазонах («Radiotekhnika» №2/02, с.85-87, №3/02, с.138-140).

Длина вибраторов, м	Расстояние между вибраторами, м
$l_1$ 16,65	$d_1$ 5,33
$l_2$ 14,48	$d_2$ 4,63
$l_3$ 12,60	$d_3$ 4,03
$l_4$ 10,96	$d_4$ 3,51
$l_5$ 9,54	$d_5$ 3,05
$l_6$ 8,30	$d_6$ 2,65
$l_7$ 7,22	$d_7$ 2,31
$l_8$ 6,28	$d_8$ 2,01
$l_9$ 5,46	$d_9$ 1,75
$l_{10}$ 4,75	$d_{10}$ 1,52
$l_{11}$ 4,14	$d_{11}$ 1,32
$l_{12}$ 3,60	$d_{12}$ 1,15
$l_{13}$ 3,13	$d_{13}$ 1,00
$l_{14}$ 2,72	$d_{14}$ 0,87
$l_{15}$ 2,37	

**ПРЕДПРИЯТИЕ  
«ТРИОД»**

**ЛАМПЫ: Г, ГИ, ГК, ГМ,  
ГМИ, ГС, ГУ, 6Н... и др.**  
Магнетроны, кластроны, тиратроны,  
разрядники, ФЭУ, видиконы и др.  
ВЧ, СВЧ-транзисторы.  
Со склада и под заказ.  
Гарантия, доставка, скидки

(044) 478-09-86, 422-45-82 (с 10.00 до 17.00)  
E-mail: ur@triod.kiev.ua

**Лучшая КВ и УКВ  
аппаратура для  
профессионалов  
и любителей**

**Гарантийное  
обслуживание,  
сервисная  
поддержка**

**Отвечаем  
на любые  
вопросы  
по теле –  
фону :**



**(044) 246-46-46**

**CONCERN  
ALEX**

**КОНЦЕРН АЛЕКС**

**VD MAIS** ЭЛЕКТРОННЫЕ  
КОМПОНЕНТЫ  
И СИСТЕМЫ

Украина, 01033, г. Киев,  
а/я 942, ул. Жилянская, 29  
Владимирская, 101

Дистрибутор

AIM, ANALOG DEVICES, ASTEC, BC COMPONENTS, DDC, HARTING,  
HEWLETT-PACKARD, ELECTROLUBE, GEYER, INTERPOINT,  
MOTOROLA, MURATA, PACE, RECOM, ROHM, SCHROFF,  
SIEMENS, STM, SUNTECH, tycO/AMP, ZARLINK, Z-WORLD и др.

Электронные компоненты, оборудование SMT, конструктивы.  
Проектирование и изготовление печатных плат.

тел.: (044) 277-13-89, 227-52-81,  
227-22-62, 277-13-56,  
227-52-97, 227-42-49

факс: (044) 227-36-68,  
e-mail: info@vdmais.kiev.ua,  
www.vdmais.kiev.ua

**НОВОСТИ**

\* Поздравляем абсолютных победителей подгрупп (обладателей главных призов - усилителей мощности) дней активностей радиолюбителей Республики Татарстан (23-26.03.02): UA9TQ и UT4IXZ. Высылка дипломов будет осуществляться в течение июня 2002 года. [Info RA4PO]

## \* IOTA:

\*\* RSGB IOTA-комитетом засчитаны следующие экспедиции (info from G3KMA):

AS-049 JO1EPY/6 - Nakano Island, Tokara Islands (March 2002);  
 AS-076 JH4TEW/5 - Yuge, Iwagi & Ikina Islands (various times 2001/2);  
 AS-147 JR8KJR/8 - Rebun & Rishiri Islands (March/April 2002);  
 AS-157 3W3M - Tam Island (March 2002);  
 AS-162 3W3M - Cham Island (March 2002);  
 NA-008 VY0/7N2FGG - Ellesmere Island (February/March 2002);  
 NA-009 VY0/7N2FGG - Cornwallis Island (February/March 2002);  
 NA-188 XF4IH - Cacaluta Island (March 2002);  
 OC-056 VP6AJ - Henderson Island (March 2002);  
 OC-056 VP6MW - Henderson Island (March 2002);  
 OC-056 VP6VT - Henderson Island (March 2002);  
 OC-070 YC8VCC/P - Nusa Laut Island, Seram group (March 2002);  
 OC-070 YE8XM/P - Nusa Laut Island, Seram group (March 2002);  
 OC-099 P29VMS - Simberi Island, Tabar Islands (March 2002);  
 OC-103 P29VMS - Emirau Island, St Matthias Group (March 2002);  
 OC-182 VP6DI - Ductie Island (March 2002);  
 OC-209 YC8UFF/P - Salibabu Island, Talaud Islands (June to August 2001);  
 OC-237 YC3MM/P - Madura Island (November 2001 & January 2002).

\* Положения всевозможных дипломов можно найти на <http://www.dxawards.com/>

\* Выпущена новая (четвертая) версия программы EU1CJ LOG-EQF Printing. Вкратце ее отличия от предыдущих версий:

- конвертирование TR-LOG файлов в формат CABRILLO для всех CQ и ARRL contests, а также для OK-DX, YU-DX, JIDX, OCEANIA and IARU contests;

- конвертирование TR-LOG файлов в формат ADIF;

- конвертирование LOG-EQF файлов в формат ADIF;

- возможность просмотра из программы файлов формата CABRILLO и ADIF;

- исправлена ошибка по сохранению внешнего вида лог-файлов.

Подробное описание новой версии Вы можете скачать (420 Kb, zip file). Если у Вас есть предыдущая версия программы, то Вам достаточно только скачать Update File (387 Kb) с <<http://www.qrz.ru/shareware/detail/320>> и распаковать его в ту же директорию, где находится первая версия программы.

\* Сайты островных дипломных программ:

RRA - file://[www.hamradio.ru/rcc](http://www.hamradio.ru/rcc)

CISA - file://[www.tir.com/~wd8mqq/](http://www.tir.com/~wd8mqq/)

DIA - file://[www.qsl.net/oz2zb/](http://www.qsl.net/oz2zb/)

DIB - file://[www.geocities.com/CapeCanaveral/6377/dib.htm](http://www.geocities.com/CapeCanaveral/6377/dib.htm)

DICE - file://[www.qsl.net/se6tnb/dice.html](http://www.qsl.net/se6tnb/dice.html)

DIE/DIEI - file://[www.qsl.net/ea4rcv/die.htm](http://www.qsl.net/ea4rcv/die.htm) file://[www.qsl.net/ea4rcv/diei.htm](http://www.qsl.net/ea4rcv/diei.htm)

DFM - file://[people.freenet.de/troesne/DFM\\_Rules.txt](http://people.freenet.de/troesne/DFM_Rules.txt)

file://[people.freenet.de/troesne/DFM\\_Directory.txt](http://people.freenet.de/troesne/DFM_Directory.txt)

DIFO - file://[www.qsl.net/f5nod/difo.html](http://www.qsl.net/f5nod/difo.html)

DIP - file://[gpdx.netpower.pt/dip.htm](http://gpdx.netpower.pt/dip.htm)

GIA - file://[www.iota-post.de/GIA/hauptteil\\_gia.html](http://www.iota-post.de/GIA/hauptteil_gia.html)

IIA - file://[www.425dxxn.org/iiia](http://www.425dxxn.org/iiia)

ILIA - file://[web.tiscali.it/ILIA/](http://web.tiscali.it/ILIA/)

IOCA - file://[www.qsl.net/9abaa](http://www.qsl.net/9abaa)

IOSA - file://[www.legend.yorks.com/~tanar/iohtml/losa.htm](http://www.legend.yorks.com/~tanar/iohtml/losa.htm)

IWDR - file://[hamradio.vitebsk.net/award/iwdr.html](http://hamradio.vitebsk.net/award/iwdr.html)

SPIA - file://[www.qsl.net/sp6tpm/spia.htm](http://www.qsl.net/sp6tpm/spia.htm) file://[people.freenet.de/SPIA\\_Directory.txt](http://people.freenet.de/SPIA_Directory.txt)

UIA - file://[www.qsl.net/uy5xe/index.html](http://www.qsl.net/uy5xe/index.html) file://[radio.cn.ua](http://radio.cn.ua)

USIA - file://[www.eng.mu.edu/~usi/](http://www.eng.mu.edu/~usi/)

**DX, DX, DX...**

CY9 - команда операторов в составе N0QJM, VE1AAO, VE9DH, WOOE, W0SD, W7XU и WV2B планирует работать 29 июня - 8 июля с St. Paul Island (NA-094) на KB и 6-метровом диапазоне на частотах: 50175 кГц (TX); RTTY - 7080, 10115, 14080, 18080, 21080, 24908, 28080 кГц; CW - 7005, 10105, 14020, 18100, 21020, 24900, 28020 кГц; SSB - 14195 (14145), 18145, 21295, 24945, 28495 кГц. QSL via W7XU.

3X - операторы DJ6TF, DJ7UC, DK1BT, DL4WK, DL7UFR, DL7BO, DL7DF будут работать позывным 3XY7C из Гвинеи с 30 октября по 13 ноября на всех KB диапазонах и 6 м CW, SSB, RTTY, PSK31 и SSTV). Координатор экспедиции Bernd, DF3CB (bernd@df3cb.com). QSL via DL7DF (direct) или через DARC qSL-бюро. Аппаратный журнал будет на <http://www.qsl.net/dl7df/3x>

5W - K8AQM и K8AA планируют работать 2 - 12 июля из Самоа (OC-097) позывными 5W0TR, 5W0AA (5W0DL).

TY - команда французских радиолюбителей будут работать из Бенина с 15 июля по 14 августа как TY7Z, TY9F, TY4DX, TY6FB.

HK0Z - команда немецких радиолюбителей и HC2DX планируют с 16 по 29 июля работать с San Andres Island (NA-033) позывным HK0ZZ.

**К ВОПРОСУ О СОСТАВЛЕНИИ ПОЛОЖЕНИЯ**

Многим из нас хорошо знакома ситуация, когда во всевозможных Положениях о наших радиолюбительских мероприятиях (особенно контестов) в реальности их проведения указано в UTC - что, применительно к радиолюбительской деятельности, не совсем корректно по нижеприведенным моментам.

В основном, большинство коротковолнников (заходя в свой SHACK), используют отсчет по среднему гринвичскому времени (Greenwich Mean Time - GMT), являющемуся общим эквивалентом универсального времени (UT - см. ниже). Его шкала соответствует угловому положению Земли вокруг своей оси суточного вращения. GMT соответствует текущему времени на «нулевом» по долготе меридиану и помимо коротковолнников его используют при астрономической навигации. GMT полностью соответствует системе UT или чисто радиолюбительскому обозначению всемирного времени - Z (Zeit).

UT - универсальное время. Это среднее солнечное время первичного (главного) меридиана, полученное при прямом астрономическом наблюдении и скорректированное из-за влияний незначительных движений Земли по отношению к своей оси вращения.

UTC же - всемирное координированное время, которое было разработано в начале 50-х годов XX века (после изобретения атомных часов) для тех служб и организаций, кто нуждался в едином времени на временной шкале, имеющей епосредственное отношение к вращению Земли. UTC соответствует точно по скорости/режиму/ TAI (международному атомному времени), но отличается от него по интегральному числу секунд. Шкала UTC регулируется добавлением или отниманием секунд (т.н. «прыжок» секунд) для того, чтобы убедиться, что UTC не отличается от UT более, чем на 0,9 с.

В связи с вышеизложенным целесообразней всего указывать время проведения наших радиолюбительских мероприятий в UT. [Справка: Более подробно о существующих системах отсчета времени можно прочитать:

1. БСЭ, третье изд. (М: «Советская энциклопедия»; 1975; т.20, с.297-вкл.).

2. Георгий Чилинц (UY5XE). «Конвертация текущего времени». («Справочник DX-меня»; Львов: 1998, с.6-7; 2001 /второе издание/, с.4-5.)]

И, если уж мы начали разговор о составлении Положений, то хочу порекомендовать придерживаться и единообразных написаний в терминах: QSO/QSOs (вместо употребляемых в одном и том же П о л о ж е н и и - как связь/и, так и радиосвязь/зи/), ЛРС (вместо - как станция, так и радиостанция, радиолюбители, коротковолнники и т.п.).

73! UY5XE

**Основные международные соревнования на KB во втором полугодии 2002 года:**

13/07-14/07 IARU Championship;

27/07-28/07 IOTA Contest;

10/08-11/08 WAE DX CW Contest;

17/08-18/08 International Lighthouse/Lightship Weekend;

14/09-15/09 WAE DX SSB Contest;

5/10 Autumn European Sprint Contest (SSB);

12/10 Autumn European Sprint Contest (CW);

26/10-27/10 WW DX SSB Contest;

23/11-24/11 WW DX CW Contest.

Список стран (территорий) мира, в которых **отсутствуют QSL-бюро**: 1A, 3C, 3W/XV, 3X, 3Y, 4W, 5A, 5R, 5T, 5U, 5V, 7O, 7Q, 8Q, 9N, 9U, A3, A5, A6, C2, C5, CN, D2, D3, D4, D6, E3, E4, FG, FH, FJ, FM, FP, FR (все территории), FT-W, FT-Y, FT-Z, FS, FW, FY, H40 (Temotu Is.), J5, J6, J8, P5, S2-3, S7, S9, S0, ST, SU, T2, T30, T31, T32, T33, T5, T8, TJ, TL, TN, TS, TT, TU, TX, V3, V4, V6, VK9C/Y, VK9L, VK9M, VK9N, VK0 (Heard I.), VK0 (Macquori I.), VK9N, VK9X, VK9W, VP2E, VP7, VP8 (все остальные территории, кроме Falkland Is.), VP6, XU, XW, XY/XZ, ZD7, ZD8, ZD9, ZK1, ZK2, ZK3.

[Info: UY5XE]



Радиохобби 3/2002

**Адреса региональных QSL-бюро Российской Федерации**

1А АРЛС, а/я 7, С.-Петербург, 191011  
 1С АРЛС, а/я 7, С.-Петербург, 191011  
 1Н РТШ, ул. Правды 28-А, Петрозаводск, 185640  
 1О АНКА, а/я 88, Архангельск-61, 163061  
 1Р RK1PWA, а/я 73, п.Амдерма, 164744  
 1Q а/я 23, Вологда, 160035  
 1T UA1TAN, а/я 189, Новгород, 173025  
 1W Радиоклуб, ул.Коммунальная 19, Псков, 180016  
 1Z РТШ, ул.Дзержинского 4, Мурманск, 183792  
 2F РТШ, ул.Озерная 31, Калининград, 236029  
 3A МГСРК, пр.Вернадского 9/10, Москва, 117311  
 3D РТШ, ул.Добролюбовская, 17, Пушкино, 141200  
 3E RA3EA, а/я 63, Орел, 302000  
 3G РТШ, ул.М.Горького 10, Липецк, 398001  
 3I а/я 74, Тверь, 170000  
 3L РТШ, ул.Николаева 11, Смоленск, 214000  
 3M РТШ, Силикатное ш. 19, Ярославль, 150030  
 3N Радиоклуб, ГОС-13, Кострома, 156013  
 3P РТШ, ул.Тимирязева 70, Тула, 300600  
 3Q RN3OG, а/я 4, Воронеж, 394031  
 3R RK3RWA, ул.Широкая 3, Тамбов, 392033  
 3S а/я 85, Рязань-23, 390023  
 3T RK3TM, а/я 94, Нижний Новгород, 603122  
 3U РТШ, пр.Строителей 31, Иваново, 153040  
 3V РТШ, ул.Ставровская 8, Владимир, 600022  
 3W РТШ, ул.Сумская 5, Курск, 305007  
 3X а/я 703, Калуга, 248030  
 3Y РТШ, пр.Ленина 10-Б, Брянск, 241011  
 3Z РТШ, 2-й Карьерный пер. 10, Белгород, 308001  
 4A а/я 109, Волгоград-66, 400066  
 4C а/я 5, Саратов, 410610  
 4F RZ4RWA, а/я 20, Пенза, 440600  
 4H РТШ, ул.Чкалова 90, Самара, 443001  
 4L а/я 959, Ульяновск, 432026  
 4N а/я 470, Киров, 610011  
 4P RA4PO, а/я 19, Казань, 420045  
 4S а/я 136, Йошкар-Ола, 424000  
 4U РТШ, ул.Энергетическая 28, Саранск, 430026  
 4W РТШ, ул.Красноармейская 130, Ижевск, 426057  
 4Y RW4YY, а/я 88, Чебоксары-24, 428024  
 6A ФРС, а/я 827, Краснодар-5, 350005  
 6Е UA6EA, а/я 33, Черкесск, 369000  
 6H Радиоклуб, ул.Лермонтова 189, Ставрополь, 355000  
 6I 2 мкрн, 27-19, Элиста, 358014  
 6J RA6JZ, а/я 1012, Владикавказ, 362003

6L UA6LHI, а/я 3278, Ростов-на-Дону, 344092  
 6P Адрес неизвестен  
 6Q Адрес неизвестен  
 6U RU6UR, а/я 146, Астрахань, 414000  
 6W Адрес неизвестен  
 6X UA6XT, а/я 4, Нальчик-24, 360024  
 6Y RA6YJ, а/я 66, Майкоп, 385000  
 8T Адрес неизвестен  
 8V Адрес неизвестен  
 9A RA9AE, а/я 13075, Челябинск, 454077  
 9C Радиоклуб, ул.Малышева 33-А, Екатеринбург, 620014  
 9F RA9FR, а/я 1601, Пермь-39, 614039  
 9G Адрес неизвестен  
 9H RZ9HT, а/я 4002, Томск, 634055  
 9J а/я 34, Сургут, 628400  
 9K DX-клуб, а/я 158, Надым, 626711  
 9L РТШ, ул.Ямская 116, Тюмень, 625037  
 9M а/я 438, Омск, 644099  
 9O UA9OA, а/я 177, Новосибирск, 630032  
 9Q RW9QA, а/я 1, Курган-38, 640038  
 9S RU9TU, а/я 348, Оренбург, 460047  
 9U РТШ, Кузнецкий пр. 83, Кемерово, 650055  
 9W RW9WA, а/я 7056, Уфа, 450075  
 9X UA9XC, а/я 1247, Сыктывкар, 167001  
 9Y Адрес неизвестен  
 9Z RZ9ZR, а/я 48, Главпочтamt, Горно-Алтайск, 649000  
 0A UA0AP, а/я 13179, Красноярск-42, 660042  
 0B RA0BA, а/я 1896, Норильск, 663305  
 0C RA0CC, а/я 2048, Хабаровск-20, 680020  
 0D а/я 64, Биробиджан, 682200  
 0F Радиоклуб, а/я 75, Южно-Сахалинск, 693000  
 0H а/я 88, пос. Тура, 663370  
 0I а/я 1691, Магадан-24, 685024  
 0J RZ0JWA, ул. Калинина 103, Благовещенск, 675011  
 0K а/я 44, Певек, 686610  
 0L а/я 728, Владивосток, 690010  
 0O РТШ, ул.Ключевская 41, Улан-Удэ, 670013  
 0Q а/я 046, Главпочтamt, Якутск, 677000  
 0S RA0SS, а/я 2631, Иркутск-74, 664074  
 0U а/я 613, Чита, 672007  
 0W а/я 50, Абакан, 662600  
 0X а/я 25, Палана, 664620  
 0Y UA0YAY, а/я 040, Кызыл-11, 667011  
 0Z а/я 12, Петропавловск-Камчатский, 683000

[Info: Алий Куйсоков - UA6YW mailto:ua6yw@mail.ru]

## **Вседиапазонная КВ антенна «VMA-10 NO PROBLEM»**

(Окончание. Начало см. "РХ" №2/2002, с.37-42)

**Эрнест Гуткин (UT1MA), г.Луганск**

### **2. Приложение**

#### **2.1. Термины – сопротивление, волновое сопротивление.**

Сопротивление – коэффициент пропорциональности между напряжением и током на данном участке цепи. Например, если входное сопротивление антенны  $R_a = 50 \text{ Ом}$ , при любой подаваемой мощности напряжение  $U$  на входе антенны в вольтах (В) в 50 раз больше входного тока в амперах (А).

В фидерной линии коэффициент пропорциональности называется волновым сопротивлением  $W$ . К примеру, в линии с  $W=75 \text{ Ом}$  в любом сечении линии **отдельно** для прямой и отраженной волн напряжение (В) будет в 75 раз больше тока (А).

Проводник антенны также характеризуется волновым сопротивлением  $W_a$ . Соотношение между напряжением и током в разных точках проводника разное, для расчетов применяют усредненное значение  $W_a$ . При выводе формулы для  $W_a$  используют ряд допущений, поэтому существует несколько формул, каждая из которых наиболее точна для своего вида антенн. Для вертикальных несимметричных полноразмерных антенн рекомендуется [4] формула

$$W_a = 60[(ln 2\ell/d) - 1], \quad (\text{П.1})$$

а для укороченных [5]

$$W_a = 60 ln 1,15 \ell/d, \quad (\text{П.2})$$

где  $\ell$  - длина и  $d$  – диаметр проводника антенны.

$W_a$  может быть определено и для отдельных частей антенны по (П.2).

Реактивная составляющая входного сопротивления вибратора зависит от длины  $\ell$  и волнового сопротивления  $W_a$

$$X_a = W_a \operatorname{ctg}(360^\circ \ell/\lambda) \quad (\text{П.3})$$

Аналогично, для верхнего участка – концевой секции (КС) вибратора  $X_{KC} = W_{KC} \operatorname{ctg}(360^\circ \ell_{KC}/\lambda)$ .

Величина активной составляющей входа антенны и вопросы согласования с фидером в данном приложении не рассматриваются.

**2.2. На рис.5 показаны несколько вибраторов разной конфигурации, расположенных над «идеальной» землей, точки питания А–О.**

**А.** Принимаем, что первый (исходный) вибратор А–В имеет резонансную длину  $\ell = \lambda/4$ .

**Б.** Уменьшить длину вибратора, сохранив его настройку  $X_a = 0$ , можно за счет применения т.н. емкостной нагрузки ЕН1 (рис.5б). Нагрузка характеризуется емкостным сопротивлением  $X_{EN1}$ , которое зависит от количества  $n$  проводников ЕН, их длины  $\ell_{EN1}$  и диаметра  $d_{EN1}$ .

**В.** Еще более короткий вибратор получится при использовании емкостной нагрузки больших геометрических размеров ЕН2 (рис.5в) и, соответственно, с меньшим значением  $|X_{EN1}|$ .

**Г.** Уменьшить величину  $|X_{EN1}|$  нагрузки можно не только за счет увеличения размеров ЕН, но и искусственно, включив последовательно с ЕН реактивное сопротивление другого знака – индуктивность  $L$  с  $X_L < |X_{EN1}|$  (рис.5г). К примеру, допустим, что  $X_{EN1} = -j1000$

Ом и  $X_{EH2} = -j400$  Ом. Если добавить к EH1 катушку L с  $X_L=j600$  Ом, получим результирующую нагрузку  $X_H = -j1000+j600 = -j400$  Ом. Таким образом, включение индуктивности позволяет с EH1 меньших размеров получить эффект большей EH2.

Однако надо иметь в виду, что вариант Г менее широкополосный, чем предыдущие.

Пример: Считаем, что при небольшом 1% изменении частоты все реактивные нагрузочные сопротивления также изменяют свое значение на 1%. В случае понижения частоты получаем  $X_{EH1} = -j1010$ ,  $X_{EH2} = -j404$  и  $X_L=j594$  Ом и новое значение  $X_H = -j1010+j596 = -j414$  Ом. Таким образом, при чисто емкостной нагрузке изменение составило всего 4 Ома, а при комбинированной в 3,5 раза больше – 14 Ом.

**Д.** На вибраторе А-В (рис.5а) можно условно выделить концептуальную секцию (КС) В-С. Из условия равенства настроек вибраторов (рис.5а и 5б) следует, что  $X_{KC}=X_{EH1}$ . Следовательно, роль EH1 может выполнять и одиничный вертикальный штырь (КС), включенный выше катушки L (рис.5д). Отличие КС от EH состоит в том,

Проверка на макете антенны показала хорошее совпадение расчетных и опытных данных.

Пример: Применим формулу (П.1) к рассмотренным выше вариантам Б, В и Г. Расчет произведем отдельно для проволочного ( $\varnothing 2$  мм) и трубочного ( $\varnothing 40$  мм) вибраторов, оба длиной 10 м. По формуле (П.1) находим

$$W_{a-tp}=60[(ln20000/2)-1] \approx 550 \text{ Ом, аналогично } W_{a-tp}=313 \text{ Ом.}$$

Для варианта Б:  $X_H=X_{EH1}=-j1000$  Ом, укорочение

$$\Delta\ell_{1-tp}=(\lambda/360)\arctg 550/-1000 \approx 0,08\lambda,$$

$$\Delta\ell_{1-tp}=(\lambda/360)\arctg 313/-1000 \approx 0,048\lambda.$$

Из этого расчета видно, что одна и та же емкостная нагрузка EH1 приводит к значительно большему укорочению «тонкого» вибратора, чем «толстого».

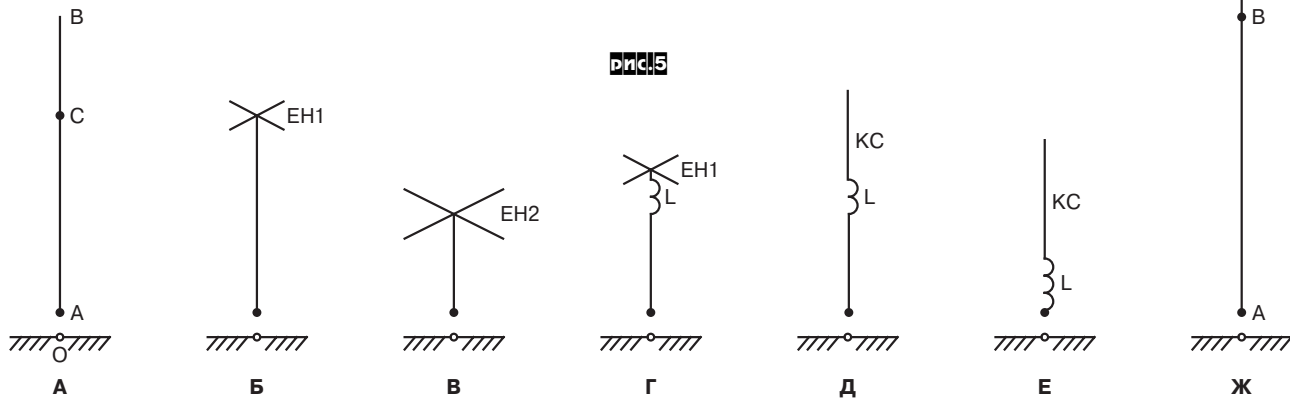


рис.5

что КС участвует в излучении, повышая тем самым эффективность вибратора. Во многих случаях применение КС более rationalьно, чем EH, т.к. на КС требуется, как правило, меньше материала и получается более простая конструкция.

Входное  $X_{KC}$  по известным геометрическим размерам определяется с помощью формул (П.2) и (П.3), возможна и обратная задача – по известному значению  $X_{KC}$  найти её геометрические размеры, здесь возможны варианты.

**Е.** При равенстве (по абсолютной величине) обеих частей нагрузки  $X_L=|X_{KC}|$  получится вибратор на рис.5е.

**Ж.** Если пойти дальше и задаться нагрузочной цепью с  $X_L>|X_{KC}|$ , для сохранения резонанса размер вибратора придется увеличить до  $\ell>\lambda/4$  (рис.5ж).

Физика процессов в рассмотренных вариантах заключается в следующем. В резонансном вибраторе длиной  $\ell=\lambda/4$  (рис.5а) поступившая из фидера «очередная порция» тока при движении сохраняет фазу неизменной и только в момент отражения от конца вибратора испытывает скачок фазы на  $180^\circ$ . Изменение фазы вновь поступающего из фидера тока, к моменту возвращения отраженного, также достигнет  $180^\circ$ , т.е. фазы обоих токов совпадут, что и составляет суть резонанса.

При реактивной нагрузке на конце вибратора также произойдет отражение тока. Если нагрузка емкостная, фаза отраженной волны будет меньше  $180^\circ$  (ток через емкость опережает напряжение), в результате для сохранения резонанса длины вибратора придется уменьшить на величину  $\Delta\ell_1$  (т.е. уменьшить время движения волн по вибратору). Этот вариант иллюстрируется рис.5б, в, г. И, наоборот, если нагрузка индуктивная, фаза отраженной волны будет больше  $180^\circ$  (ток через индуктивность отстает от напряжения), что потребует удлинения вибратора на величину  $\Delta\ell_2$  (рис.5ж).

Для расчета  $\Delta\ell$  была опробована формула, применяемая в теории однородных длинных линий в случае реактивной нагрузки  $X_H$  на конце линии [5]. По аналогии

$$\Delta\ell=(\lambda/360)\arctg(W_a/X_H), \quad (\text{П.4})$$

где  $X_H=X_L+X_{KC}$  (или  $X_H=X_L+X_{EH}$ ), а  $W_a$  вибратора определяется его конструктивными размерами.

Для варианта Б:  $X_H=X_{EH2}=-j400$  Ом, аналогично  $\Delta\ell_{1-tp}=0,15\lambda$  и  $\Delta\ell_{1-tp}=0,1\lambda$ .

Для варианта Г:  $X_H=X_L+X_{EH1}=-j400$  Ом, следовательно,  $\Delta\ell$  такие же, как в варианте Б.

Отметим, что в действительности ток отражается от конца проводников EH, роль реактивной нагрузки заключается в соответствующем изменении фазы тока.

Вариант Ж практически не применялся по понятной причине –

габариты и сложность больше чем у четвертьволнового вибратора. Однако, как выяснилось, он может быть использован для 2-х частотной работы (в частности, на смежных КВ диапазонах) и в этом плане представляет несомненный интерес.

В обычной практике включенную в укороченную антенну катушку принято называть удлиняющей (при  $X_L<|X_{KC}|$ ), по аналогии при  $X_L>|X_{KC}|$  катушку можно назвать укорачивающей. Разница в «поведении» определяется тем, какого вида будет результатирующая реактивность связки L+KC – емкостной или индуктивной. Это обстоятельство можно использовать для 2-х частотной работы, подобрав величины L и KC таким образом, чтобы на одной (нижней) частоте  $f_H$  сопротивление связки было емкостным, а на другой (высшей)  $f_B$  – индуктивным. Разместив такую связку на вершине верти-

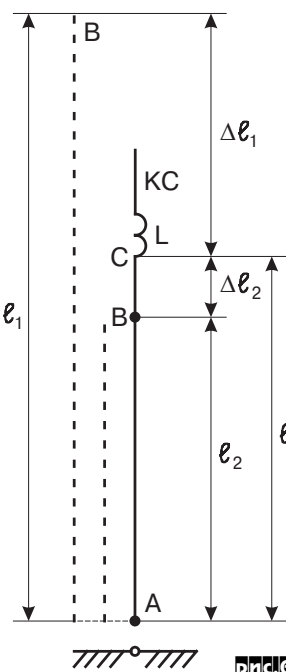


рис.6

кального вибратора, получим антенну, у которой вместо прежней резонансной частоты появятся два новых резонанса на частотах ниже и выше прежней. Для антенн такого класса можно предложить название 2BLC-антенны (2 Bands Loading Coil - 2-диапазонная с нагрузочной катушкой).

На рис.6 условно пунктиром показаны резонансные четвертьволновые вибраторы А-Д длиной  $\ell_1$  и А-В длиной  $\ell_2$  на частоты  $f_H$  и  $f_B$ , а также призванный заменить их 2BLC-вертикаль в составе вибратора А-С длиной  $\ell_a$ , катушки L и окончания КС. С учетом (П.4)

$$\ell_a = \ell_1 - \Delta\ell_1 = \ell_1 - (\lambda_H/360)\arctg(W_a/X_{KC1}), \quad (P.5)$$

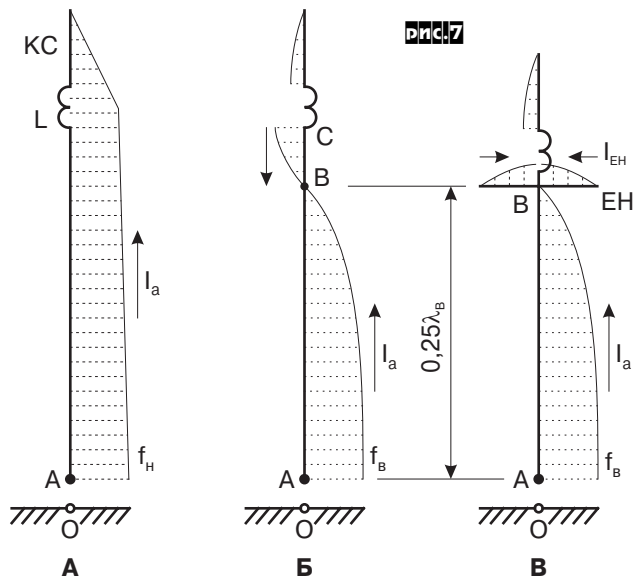
$$\ell_a = \ell_2 + \Delta\ell_2 = \ell_2 + (\lambda_B/360)\arctg(W_b/X_{KC2}), \quad (P.6)$$

где  $X_{KC1} = X_{L1} + X_{KC1}$  - суммарное реактивное сопротивление связки (нагрузки) L + КС на низшей частоте  $f_H$ , аналогично  $X_{KC2} = X_{L2} + X_{KC2}$  - на высшей частоте  $f_B$ .

В результате расчета должны быть найдены величины  $\ell_a$ , L и геометрия КС. Т.к. в двух уравнениях (П.5), (П.6) содержится 6 переменных, для расчета необходимо сделать ряд подстановок и допущений. Методика расчета выходит за рамки статьи и здесь не приводится. В частном случае, когда  $f_H=0,5f_B$  (например, диапазоны 7 и 14 МГц)  $\Delta\ell_1 + \Delta\ell_2 = \ell_a = 0,25\lambda_B$ . В VMA-7  $\Delta\ell_2 = 0,04\lambda_B$  и  $\Delta\ell_1 = 0,21\lambda_B = 0,105\lambda_H$ .

Распределение тока вдоль проводника 2BLC-антенны показано на рис.7. На нижней резонансной частоте  $f_H$  (рис.7а) ток от входной точки А до катушки L изменяется незначительно, а после катушки быстро убывает.

На f (рис.7б) наличие участка (В-С) с током обратного направления во многих случаях нежелательно, так как приводит к расширению ДН. Излучение участка В-С можно исключить, применив



небольшую емкостную нагрузку EH (рис.7в). Размеры EH выбирают с расчетом, чтобы  $X_{EH} = -(X_L + X_{KC})$ . Такую связку (EH+L+КС) можно рассматривать как своеобразный трап, в котором роль конденсатора выполняет EH, а индуктивным плечом является связка L+КС. На частоте  $f_H$  применение EH практически не отражается на настройке.

Для расчета 2BLC-антенны возможно создание компьютерной программы или использование уже существующих. Впрочем, понимание внутренних взаимосвязей делает экспериментальную отработку такой двухдиапазонной антенны несложной.

При этом необходимо иметь в виду, что настройка антенны зависит не только от индуктивности катушки (измеренной на невысокой частоте, что характерно для большинства измерителей L), но и от её собственной паразитной межвитковой емкости  $C_0$ , под влиянием которой эквивалентная индуктивность цепи увеличивается. Например, конкретная катушка на каркасе Ø39 мм с  $L_B = 13$  мкГн (измерено прибором E7-9) имела собственную резонансную частоту  $f_0 = 28,4$  МГц (измерено ГИР'ом). Отсюда, на  $f_0$   $X_{C0} = -X_L$  и  $C_0 = 1/\omega X_L = 2,4$  пФ. На частоте 14,1 МГц  $X_{C0} = -j4690$  Ом,  $X_L = j1155$  Ом, сопротивление цепи из параллельно включенных  $X_{C0}$  и  $X_L$  будет  $X_{\pi} = 1155(-4690)/(1155-4690) = j1532$  Ом и эквивалентная индуктивность  $L_{\pi} = X_{\pi}/\omega = 17,3$  мкГн, соответственно, на 7 МГц  $L_{\pi} = 13,8$  мкГн. Аналогичная катушка на каркасе Ø26 мм показала  $f_0 = 38$  МГц,

соответственно её эквивалентная индуктивность на частотах 7 и 14 МГц будет значительно ближе к номинальному значению 13 мкГн. Следовательно, настройка КС (т.е. её длина) будет зависеть не только от измеренной индуктивности катушки, но и от её исполнения.

Двухчастотная настройка антенны возможна и при отношении  $f_B$  к  $f_H$  отличном от двух.

Включая последовательно несколько катушек со своими КС (или ЕН), можно получить несколько резонансных частот, как это и сделано в VMA-10.

Возможно также использование нагрузочных катушек в симметричных антennaх, в частности, в активных и пассивных элементах YAGI антенн, вместо резонансных трапов (естественно, при других размерах элементов).

**2.3. Проверка правильности приведенных выше соотношений** производилась на макете антенны VMA-7 [1] с жестким противовесом ПР и радиалом Р4 (Р30/40), масштаб 1:10 (размеры в 10 раз меньше, частоты в 10 раз выше, величины  $X_{KC}$  и  $X_L$  - без изменений). В работе использовались мостовой KCB-метр и генератор Г4-151. Для корректности результатов были отключены прорывочные вибраторы ПВ и снята емкостная нагрузка ЕН. Измененное значение индуктивности  $L_B = 1,3$  мкГн, длина ЦВ регулировалась в широких пределах.

Были проведены следующие измерения:

1. При отключенных катушках  $L_B$  и КС изменением длины ЦВ получен резонанс на частоте  $f_1 = 70,5$  МГц, при этом  $\ell_{CB1} = 1250$  мм;
2. Аналогично, резонанс на частоте  $f_2 = 141$  МГц, при этом  $\ell_{CB2} = 740$  мм;
3. При включенной  $L_B$  настройкой ЦВ и КС снова получены частоты резонансов 70,5 и 141 МГц, соответствующая длина  $\ell_{CB} = 820$  мм, длина КС из провода Ø2 мм составила 205 мм.

Итого: укорочение на частоте 70,5 МГц  $\Delta\ell_1 = 1250 - 820 = 430$  мм; удлинение на частоте 141 МГц  $\Delta\ell_2 = 820 - 740 = 80$  мм.

Расчетная разность между  $\ell_{CB1}$  и  $\ell_{CB2}$  должна равняться  $\lambda/4 = 2120/4 = 530$  мм, реальная разность составляет 1250 - 740 = 510 мм. Небольшое расхождение можно объяснить разной величиной эквивалентных индуктивностей катушки  $L_B$  на частотах  $f_1$  и  $f_2$ .

Во время измерений также фиксировалась полоса частот в пределах KCB-2. В третьем варианте (включена  $L_B$ ) полоса оказалась всего на 20...25% уже, чем в двух предыдущих. Это значительно лучше, чем при применении резонансных трапов. Использованные в эксперименте длины ЦВ1 и ЦВ2 отличались от четвертьволновых значений, что объясняется схемой VMA, но в данном случае это не имеет значения, т.к. важна была разность длин ЦВ1 и ЦВ2 по отношению к ЦВа, а не сами длины.

Параллельно проведена расчетная проверка полученных в эксперименте значений с помощью формул (П.1...П.6). Исходные данные: КС – длина 205 мм при Ø2 мм, средний диаметр ЦВ – 3,5 мм, частоты настройки 70,5 и 141 МГц, эквивалентные индуктивности катушки на  $f_H$  и  $f_B$  приняты соответственно 1,35 и 1,7 мкГн.

Расчетные значения:  $W_{KC} = 305$  Ом,  $W_{CB} \approx 280$  Ом. На частоте 70,5 МГц  $X_{KC} = -j940$ ,  $X_L = j600$ ,  $X_H = -j340$  Ом и  $\Delta\ell_1 = 464$  мм; на 141 МГц  $X_{KC} = -j420$ ,  $X_L = j1510$ ,  $X_H = j1090$  Ом и  $\Delta\ell_2 = 85$ .

Учитывая относительную точность формул (П.1) и (П.2) и принятых значений эквивалентных индуктивностей  $L_B$ , совпадение расчетных данных с экспериментальными можно считать удовлетворительным.

**2.4. Хотя рассмотренный выше способ создания двух- и многодиапазонных антенн вполне «конкурентен» по сравнению с другими известными способами, он стал применяться только в самое последнее время, пример – многодиапазонные антенны MFJ-1798 и AV-640 HY GAIN. Единственная известная автору работа на эту тему была опубликована в апрельском номере журнала QST за 1961 г. (тнх UA2BD за копию статьи). W.Lattin (W4JRW) в статье «Multiband Antennas Using Loading Coils» описал 2-диапазонную антенну на 40 и 80 м.д. в виде симметричного диполя с катушками в каждом плече. Данные из этой статьи были представлены в популярной книге [6] на стр.187. Lattin писал, что не смог обнаружить в литературе формулы для определения взаимосвязи между длиной проводов, нагрузочными катушками и двумя частотами и свои антенны настраивал опытным путем с помощью ГИР'а. Возможно, что именно из-за неразработанности темы этот способ был предан забвению.**

#### Литература

4. Г.З.Айзенберг и др. «Коротковолновые антенны», 1985 г.
5. Х.Майнке и Ф.Гундлах. «Радиотехнический справочник», 1960 г.
6. К.Ротхаммел. «Антенны», 1979 г.
7. В.Овсянников. «Вибраторные антенны с реактивными нагрузками», 1985 г.

# Вторая версия MixW от UT2UZ и UU9JDR

(Продолжение. Начало см. «РХ» № 1,2/2002)

Работа в программе MixW в некоторых наиболее популярных видах уже была описана в журнале «Радиохобби» № 1 за 2000 г. Поэтому сейчас мы остановимся на работе в соревнованиях с использованием возможностей программы и «экзотических», по мнению автора, видах, таких как Hellschreiber, Throb, MT63 и некоторых других.

## Работа в соревнованиях в программе MixW

Все мероприятия по подготовке и участию в соревнованиях на личной радиолюбительской радиостанции можно разделить на несколько этапов:

1. Проверку и подготовку радиоаппаратуры – трансивера, усилителя, антенн, рабочего места (в настоящей статье не рассматривается).

2. Ознакомление с Правилами участия в конкретных соревнованиях.

3. Конфигурирование программы MixW для участия в соревнованиях, состоящее в следующем:

- корректировка и проверка персональных данных (позвывного, спецпозвывного, координат QTH);

- подключение статистических файлов, domain файлов (территориальных, зональных списков), настройка журнала связей;

- составление набора функциональных клавиш с помощью макрокоманд для повышения оперативности в работе;

- подключение сервисных функций (окна статистики, проверки на повторные связи и др.);

4. Тестирование программы в режиме соревнований.

5. Подготовку отчета об участии в соревнованиях:

- просмотр журнала, выборка и группировка связей;

- экспорт связей в формат, необходимый для представления судейской коллегии соревнований;

- просмотр файла-отчета, редактирование и оформление;

6. Отправку отчета об участии в соревнованиях.

7. Резервное сохранение журнала связей (log).

Прежде всего, настоятельно рекомендуем производить изложенные здесь мероприятия по подготовке программы к работе в соревнованиях заранее, по крайней мере, за неделю-две до начала соревнований и после проверки аппаратурного «железа» (трансивера, усилителя мощности, антенн и др.).

Сведения о предстоящих соревнованиях можно получить, например, из **425 DX Calendar** (<http://www.425dxn.org>).

**Ознакомление с Правилами участия в конкретных соревнованиях** необходимо для того, чтобы правильно сконфигурировать и настроить программу MixW, корректно отработать в соревнованиях, а также подсчитать полученный результат и подготовить отчет. Благодаря интернету в настоящее время не составляет труда найти правила для конкретных соревнований, скачать их себе на диск, перевести, при необходимости, на русский язык и проработать для правильного понимания.

Основными общими критериями, необходимыми для оператора-участника в соревнованиях, являются:

- дата и время проведения соревнований,

- форма и вид обмена рапортами,

- диапазоны и правила перехода с диапазона на диапазон,

- правила зачета повторных связей.

Могут быть и другие условия, с которыми необходимо внимательно ознакомиться в правилах, так, например, некоторые соревнования позволяют через определенное время проводить повторные связи, обмениваться блоками QTC, работать другими видами связи с одной и той же станцией и т.д.

URL правил некоторых международных соревнований (Rules of Contests) приведены ниже:

- <http://www.sk3bg.se/contest/index.htm> (SM3CER Contest service) - сервисный центр по многим соревнованиям (календарь и правила).

- <http://www.arrl.org/contests/> - сайт американской радиолюбительской лиги;

## Конфигурирование программы MixW для участия в соревнованиях

### Корректировка и проверка персональных данных

Данную операцию необходимо выполнить в том случае, если в соревнованиях Вы используете специальный, а не основной позывной. Зарегистрированная в установленном порядке программа MixW позволяет использовать два и более позывных на

Виктор Ткаченко (UT1UA), г. Киев

одного оператора. Для этого необходимо получить от регистратора специальный ключ в виде файла MixWReg1.dll. Подписчики «РХ» могут стать зарегистрированными пользователями MixW2 и получить этот файл бесплатно, обратившись в редакцию.

Открываем меню **Configure/Personal Data...** и в строке **Call** выбираем из списка в боксе нужный позывной. Заодно, проверяем и, при необходимости, корректируем координаты (долготу и широту) Вашего местоположения – **Latitude** – географическая широта в градусах, минутах, секундах и **Longitude** – географическая долгота в градусах, минутах, секундах, индексное наименование QTH-локатора программа выведет сама. Правильно введенные координаты позволяют корректно показывать на карте-глобусе азимутальное направление от вашего QTH до местоположения корреспондента, а также использовать ротор для автоматического управления поворотом антенны. Введите ваш региональный индекс в строку **Domain**, который можно взять из файлов **russian.dom** – для областей России или **udxc.dom** – для областей Украины, входящих в инсталляционный пакет программы. Для Киева, например, - KV, Полтавской обл. – РО и т.д. Закрываем настоящий диалог, нажатием кнопки «OK».

### Подключение статистических файлов, domain файлов

Для правильной работы программы в соревнованиях и выполнения ряда функций по автоматизации процессов, оперативного отслеживания повторных связей, контроля за статистическими данными необходимо к программе подключить соответствующие вспомогательные модули. Такие модули выкладываются авторами программы на сайте <http://mixw.net/contests.htm>. Как правило, они имеют названия подобные наименованию соревнований в сокращенном виде, например,

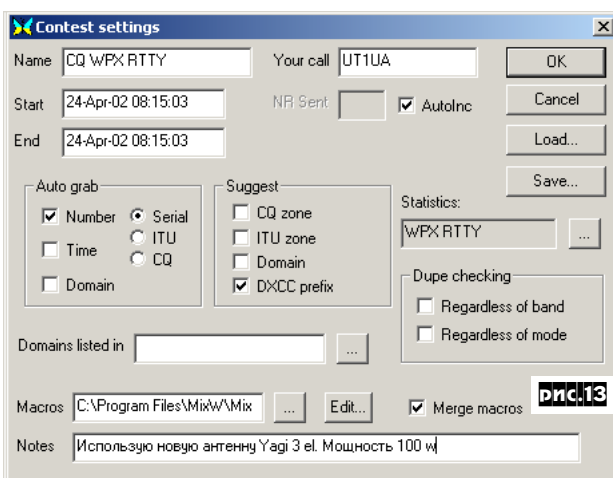
**StatsBartgSpringRtty1.zip** – dll-модуль для подключения в соревнованиях **BARTG Spring RTTY Contest**. На указанном выше сайте можно найти модули и для других распространенных соревнований. Список таких модулей постоянно пополняется, следите за информацией на сайте.

Там же выкладываются для скачивания domain-файлы. Для их подключения к MixW необходимо:

- скачать из сайта нужный файл на свой жесткий диск и распаковать;

- скопировать файл в директорию **MixW/Plugins**;

- внести наименование соответствующих модулей в соответствующие поля **Statistics** и/или **Domains listed in** окна **Contest settings** (рис.13).



### Перевод программы в режим соревнований

В меню **View/Contest mode...** открываем диалоговое окно **List of contests** (рис.14) и нажимаем кнопку **Add new....** В появившемся окне **Contest settings** (рис.13) вносим необходимые данные.

В поле **Name** – наименование соревнований, **Start/End** – число и время начала и окончания соревнований, **Call** – выбираем из списка позывной (если есть специальный

Active	Name	Notes
No contest		
ARRL DX SSB		
SP DX RTTY		

рис.14

позвиной). В разделе **Auto grab** определяем, что необходимо захватывать автоматически из принимаемой информации: номер - **Number** (порядковый – **Serial**, зоны **ITU** или **CQ**), время – **Time** или региональный, зональный индекс – **Domain** (область, префектура и т.д.). Допускается группирование данных признаков.

В разделе **Suggest** (совет, предложение) – подсказчик по зонам, региональным индексам (кантони, префектуры, воеводства и др.), префиксам.

В поле **Domain listed in** необходимо ввести имя и местоположение файла содержащего сведения о региональных индексах.

В поле **Macros** можно подключить файл с заранее подготовленным набором макрокоманд для данных соревнований. Нажав кнопку **Edit...**, данный набор можно оперативно подредактировать. Отметив **Merge macros**, можно использовать набор макрокоманд на основе слияния из других наборов.

В поле **Notes** можно сделать заметки для данных соревнований, например, указать условия прохождения, используемую мощность, активность участников или иное.

В поле **NR Sent** – при необходимости можно вставить ваши зону, мощность, возраст или иное, если того требуют условия соревнований для передачи в рапортах.

Отметьте **Autolnc**, если необходимо использовать в передаваемом рапорте порядковые номера связей, и программа будет их автоматически начислять, начиная с 001.

В поле **Statistics** подключается статистический файл для данных соревнований из директории **MixW/Plugins**, на основе которого MixW будет вести статистику.

**Dupe checking** – проверка на повторные связи. Если необходимо игнорировать повторные QSO по диапазонам, отметьте – **Regardless of band**, если по видам связи – **Regardless of mode**. Выбор зависит от условий соревнований.

Если необходимо сохранить сделанные установки для применения их в последующем или в других аналогичных соревнованиях, нажмите кнопку **Save...** и присвойте имя файлу с расширением \*.cst (contests-settings) по вашему усмотрению. Сохраненные таким образом установки можно впоследствии загрузить, нажав кнопку **Load...** этого же диалогового окна.

Нажатием кнопки **OK** – закрываем диалоговое окно и возвращаемся в предыдущее, со списком соревнований. Если в списке существуют установки для нескольких соревнований, выбираем курсором и кнопкой **Select** нужные (рис.14), закрываем окно кнопкой **OK** и программа переводится в режим соревнований (произойдет пересчет связей в журнале, изменится форма журнала на контестовский и поменяется набор функциональных клавиш макрокоманд, если была задана их смена). В верхней заголовочной строке программы появится надпись с наименованием соревнований (рис.15).



рис.15

#### Настройка журнала связей

При запуске программы по умолчанию журнал связей имеет обычный вид с полным набором колонок (вид связи, частота, дата, время, позывной и т.д.). Изменить форму журнала связей можно через меню **View/Log Bar>...** (рис.16):

>**Normal layout** – обычная форма, по умолчанию, полный набор колонок;

>**Contest layout** – форма журнала для соревнований. Изменяется состав колонок, удаляются колонки с именем и QTH и добавляются с данными по обменным рапортам, **ExchSnt** – переданный рапорт, **ExchRcv** – принятый рапорт;

>**Custom 1, Custom 2** – формы, настраиваемые пользователем.

Включив одну из этих опций, можно самостоятельно удалить (закрыть) ненужные колонки. Для этого необходимо подвести курсор мыши к верхней (серой) заголовочной строке журнала, установить его на правый край колонки, которую необходимо удалить и при изменении формы курсора на  $\leftarrow\rightarrow$ , удерживая левую кнопку мыши, сдвинуть влево правую границу колонки до ее закрытия. Обратная процедура восстанавливает колонку.

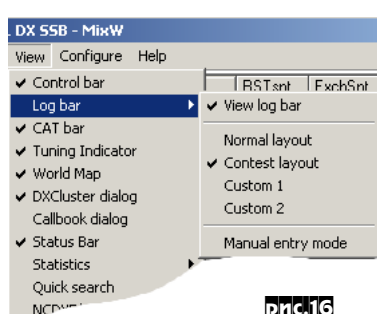


рис.16

#### Составление набора функциональных клавиш с помощью макрокоманд

Для повышения оперативности работы в соревнованиях можно составить набор функциональных клавиш, в которые предварительно записать нужный текст или макрокоманду. Основные методы программирования функциональных клавиш были описаны в предыдущем номере журнала.

Для соревнований можно создать отдельные специальные файлы с набором наиболее подходящих макрокоманд и озаглавить их именем в соответствии с наименованием соревнований, например, **WpxRttv.mc**. Такой файл можно создать любым текстовым редактором или отредактировать уже имеющийся файл с переименованием, а также создать набор методом слияния уже имеющихся наборов (см. диалоговое окно **Contest settings**, кнопка **Edit...** пункта **Macros**, рис.13). Примерный набор файлов с макрокомандами для соревнований можно скачать с <http://mixw.net/files/macros.ZIP>.

Для выполнения автоматического вызова необходимо включить опцию **AutoCQ** (см. предыдущую статью).

#### Подключение сервисных функций (окна статистики, проверки на повторные связи и др.)

Для оперативного отслеживания связей на повторы можно вывести окно быстрого поиска по заданным признакам в позывном, меню **View/Quick search** (рис.17). Включите показ окна быстрого поиска **Show dialog/Показать**. Если выбрать в подменю пункт **Using first letters/По первым буквам**

вам, то в окне будут показаны имеющиеся в журнале позывные, у которых присутствуют в префиксе буквы, введенные в строку ввода журнала связей (рис.18). **Using last letters/По последним буквам** – по буквам в суффиксе позывного, а **Anywhere/Полный список** – в любом сочетании.

При этом позиция звездочки  $\langle *\rangle$  в заголовочной строке окна (справа, слева или с обеих сторон введенных символов), будет напоминать вам о выбранном критерии отбора. Информационная строка, расположенная ниже строки ввода, также предоставит сведения о введенном позывном (новый префикс, новая страна по DXCC, новая территория и т.д.).

Полезно включить опцию **Beep on QSO before/Звуковой сигнал при повторной связи** для звукового сообщения о повторно введенном позывном.

Открыв окно статистики, меню **View/Statistics>Show contests statistics/Статистика>Для соревнования...** можно просмотреть статистические данные хода соревнований на текущий момент (рис.19). В расширенном виде эти же данные доступны посредством просмотрика журнала связей через **View/Statistics>Brief log statistics/Показать/Статистика>Сокращенная...** (рис.20).

Statistics						
Calls	UR	EU	DX	Points	WPX	
80m	36	3	31	2	142	35
40m	27	1	21	5	116	24
20m	10	0	3	7	27	8
15m	133	2	86	45	309	94
10m	93	2	24	67	251	52
Total	299	8	165	126	845	213
Score: 845+213 = 179985 points						

Включите **Scheduler/Расписание**, чтобы MixW напомнил вам о начале и окончании соревнований в заданное время или для выполнения других действий в ходе соревнований, например, вовремя выпить чашечку кофе или сделать очень важный телефонный звонок (Hi..).

#### Тестирование программы в режиме соревнований.

Выполнив вышеуказанные настройки и установки, полезно перед началом соревнований протестировать программу. Результатом правильных установок в программе для соревнований можно считать перевод программы из обычного режима в конте-

**Statistics for UT1UA, contest: WPX RTTY**

Callsigns:	Band	Total	CW	SSB	DIGI	RTTY	PSK31	SSTV	WPX
80m	36	0	0	36	36	0	0	0	35
40m	27	0	0	27	27	0	0	0	27
20m	10	0	0	10	10	0	0	0	10
15m	133	0	0	133	133	0	0	0	115
10m	93	0	0	93	93	0	0	0	80
Total	257	0	0	257	257	0	0	0	213

DXCC WKC/CFM:	Band	Total	CW	SSB	DIGI	RTTY	PSK31	SSTV
80m	18	0	0	18	18	0	0	0
40m	18	0	0	18	18	0	0	0
20m	7	0	0	7	7	0	0	0
15m	40	0	0	40	40	0	0	0
10m	30	0	0	30	30	0	0	0
Total	57	0	0	57	57	0	0	0

Domains (states) of United States	Band	Total	CW	SSB	DIGI	RTTY	PSK31	SSTV
20m	4	0	0	4	4	0	0	0
15m	9	0	0	9	9	0	0	0
10m	16	0	0	16	16	0	0	0
Total	19	0	0	19	19	0	0	0

Domains (states) of Argentina	Band	Total	CW	SSB	DIGI	RTTY	PSK31	SSTV
10m	2	0	0	2	2	0	0	0
Total	2	0	0	2	2	0	0	0

рис.20

стовый при включении опций, описанных в предыдущих разделах (пересчет связей, изменение формы лога).

Важно получить положительный результат работы статистического файла (подсчет очков), «захвата» программой нужных сведений из принимаемого окна (**Auto grab: Number {Serial,ITU,CQ}**); региональных и территориальных индексов – **Domain and Suggest**), автоматическое начисление порядкового номера QSO для передачи (**Autolnc**), если это обусловлено условиями соревнований и др. Проверить это можно путем ввода различного рода позывных в строку ввода журнала связей, принимая сигналы станций в режимах RTTY, PSK31, CW, а также пробным QSO со знакомым корреспондентом.

В цифровых видах связи необходимо помнить о настройке уровня выходного сигнала, чтобы избежать перегрузки передающего тракта.

#### Подготовка отчета об участии в соревнованиях

Закончив участие в соревнованиях, переводим программу в обычный режим работы. Для этого в окне **List of contests** выделяем маркером пункт **No contest** и нажимаем кнопку **Select**. После нажатия кнопки снова произойдет пересчет связей, имеющихся в журнале, и журнал связей примет обычный вид.

#### Просмотр журнала, выборка и группировка связей

После окончания соревнований, обычно от усталости это делается на второй-третий день, просматриваем журнал связей. Нажимаем кнопку «**Очки**», убираем все «галочки» с боксов и отмечаем галочкой бокс **Contest** и выбираем из существующего списка наименование нужного контеста. После этого нажимаем кнопку **Display** и в появившемся окне **Search results** – просматриваем связи, отобранные в соответствии с критериями соревнований. Здесь с помощью горизонтальной и вертикальной полос прокрутки можно просмотреть все содержимое журнала по данным соревнованиям, при необходимости произвести корректировку, дважды щелкнув кнопкой мыши на выделенной записи, выделить все или группу записей для последующего преобразования. Для выделения используйте правую кнопку мыши и контекстное меню. Если возникла необходимость выделить отдельные группы записей, используйте дополнительно клавиши **Shift**, **Ctrl** и их сочетание. В любой момент вы можете просмотреть статистику выделенных записей, нажав кнопку **Statistics**.

#### Экспорт связей в необходимый формат

Судейская коллегия, которая принимает отчеты об участии в соревнованиях, часто требует присыпать отчеты в электронном виде в определенном формате. MixW позволяет конвертировать записанные в журнал данные в форматы: **Text**, **CSV**, **Cabrillo** и **ADIF**. Для этого необходимо описанным выше способом выделить необходимые для конвертирования записи в журнале и нажать соответствующую клавишу окна **Search results**. Вам будет предложено по умолчанию имя файла с новым форматом и соответствующим расширением (\*.txt, \*.csv, \*.adi). Имя файла с новым форматом можно изменить по своему усмотрению.

При конвертировании в формат CSV необходимо в окне **Select fields to export** выбрать (отметить галочкой) поля, кото-

рые должны присутствовать в новом формате.

При конвертировании в формат Cabrillo в окне **CABRILLO EXPORT** заполняются соответствующие поля заголовочной части отчета.

Для сохранения журнала связей об участии в соревнованиях полезно завести отдельную директорию на жестком диске, в которую «складывать» все отчеты, группируя их, например, по годам или по наименованиям соревнований.

Помните о необходимости архивного хранения копии файла с отчетом во избежание потери информации в случае различного рода казусов с вашим компьютером.

#### Просмотр файла-отчета, редактирование и оформление

Выполнив группировку связей по соревнованиям, экспорт в нужный формат, можно с помощью любого текстового редактора просмотреть файл отчета, титульную страницу и внести при необходимости необходимые исправления. Переименовываем файл в соответствии с требованиями по отравке отчета, как правило, файл с суммарным листом должен иметь наименование, соответствующеевшему позывному с расширением – sum, а файл со связями – log. Например, титульный лист – ut1ua.sum, связи – ut1ua.log. Но могут быть и другие требования, обозначенные правилами соревнований или сведениями о них на сайтах.

#### Отправка отчета об участии в соревнованиях

Отправлять отчет об участии в соревнованиях необходимо в оговоренный правилами срок, обычно - в течение месяца после их окончания, и по указанному адресу, который также можно найти то ли в правилах проведения соревнований, то ли в интернете на сайтах соответствующих радиолюбительских лиг, организаторов соревнований и т.д. Отправляются отчеты с помощью любой почтовой программы с указанием в теме предмета отправки, например, «DX Phone Contest results of UT1UA» и прикрепленными файлами отчета.

Ниже приведены некоторые электронные адреса для отсылки отчетов в электронном виде: ARRL Contest Robot robot@apts.arrl.org - ARRL's Contests; Eddie Schneider edlyn@california.com - WPX RTTY Contest. Адреса для отправки отчетов других соревнований можно найти на сайте SM3CER Contest service <http://www.sk3bg.se/contest/index.htm>

Отправив отчет, вы можете через некоторое время получить на свой обратный адрес квитанцию с подтверждением о получении высланного материала. В ней может быть указан ваш персональный регистрационный номер, например, «Your tracking number is [1758.wpxrttly]»

#### Резервное сохранение журнала связей

Старайтесь как можно чаще делать резервное сохранение данных журнала связей, файл **mixw2.log**. Имели место случаи, когда операторы в результате различного рода манипуляций с логами или в результате вредоносных действий вирусов теряли до нескольких тысяч связей, восстановить которые не всегда удавалось.

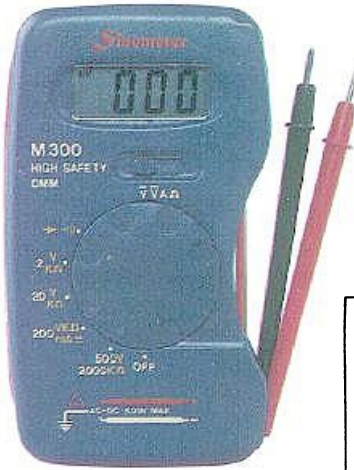
Лучшим способом резервного сохранения, по мнению автора, считается периодическое сохранение лога на отдельной диске, надежнее на двух стандартно отформатированных на вашем ПК. Периодичность выполнения таких процедур вы должны определить сами, в зависимости от объема новой информации в журнале и ее важности.

Если Вы по каким-либо причинам не желаете, чтобы и обычные, и контекстовые связи записывались в один и тот же журнал, можно:

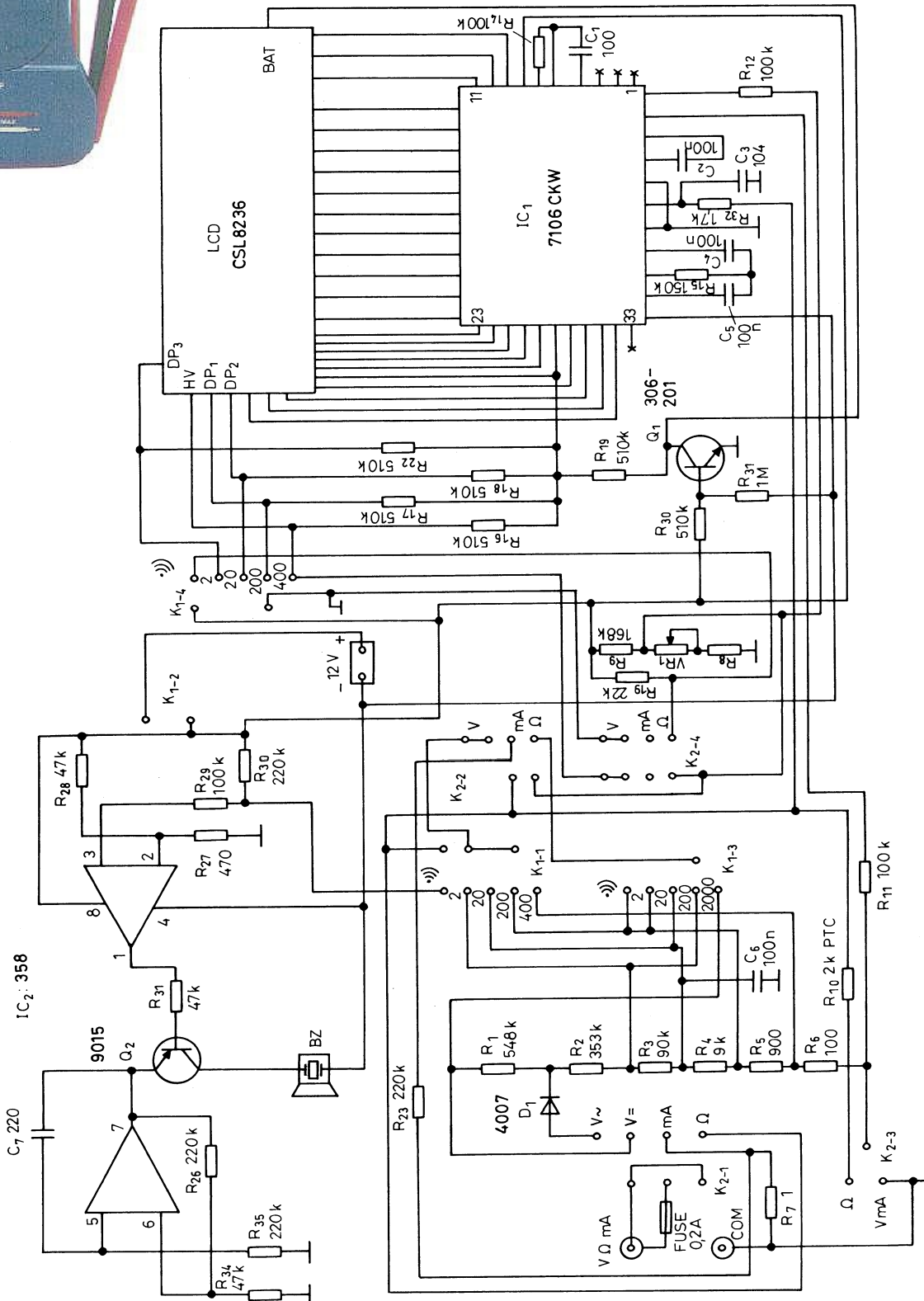
- в MixW открыть полный лог через кнопку «очки» и кнопку «Whole log», выделить в журнале связи, которые необходимо отдельить в другой журнал, и экспортовать их в одном из предложенных форматов с другим именем, а выделенные - удалить;

- на время соревнований проинсталлировать в отдельную директорию новый пакет MixW с новым чистым журналом, провести соревнования и после них переименовать журнал MixW2.log в Name.log, где Name – наименование соревнований.

(Продолжение следует)



DCV:0-2±0.5%-20-200-500V±0.8%  
 ACV:0-200-500V±1.2%  
 DCA:0-200mA±2.0%  
 R:0-2k-20k-200k-2Mohm±1.0%  
 Audible continuity: <50ohm  
 Diode test  
 Battery: 9-12Vx1, GP23A



M-300 Digital multimeter

# МИНИСПРАВОЧНИК

DCV:0-200m $\pm$ 0.5%-2-20-200-1kV $\pm$ 0.8%

ACV:0-200m $\pm$ 1.2%-2-20-200 $\pm$ 0.8%-700V $\pm$ 1.2%

DCA:0-20u $\pm$ 2.0%-200u-2m-20m $\pm$ 0.8%-200m-2A $\pm$ 1.2%-10A $\pm$ 2.0%

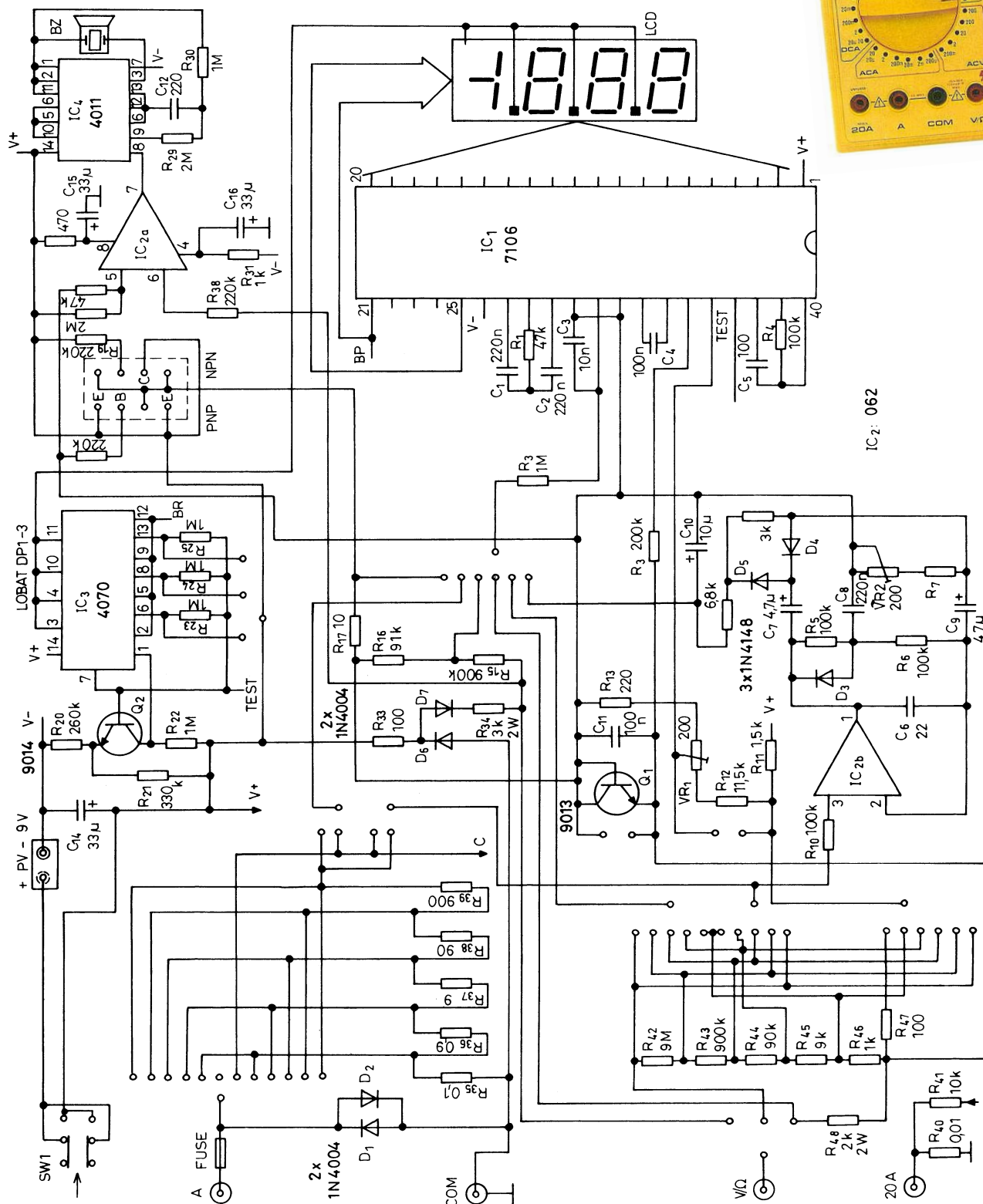
ACA:0-20u $\pm$ 3.0%-200u $\pm$ 1.8%-2m-20m $\pm$ 1.0%-200m-2A $\pm$ 1.8%-10A $\pm$ 3.0%

R:0-200-2k-20k-200k-2M $\pm$ 0.8%-20Mohm $\pm$ 1.0%

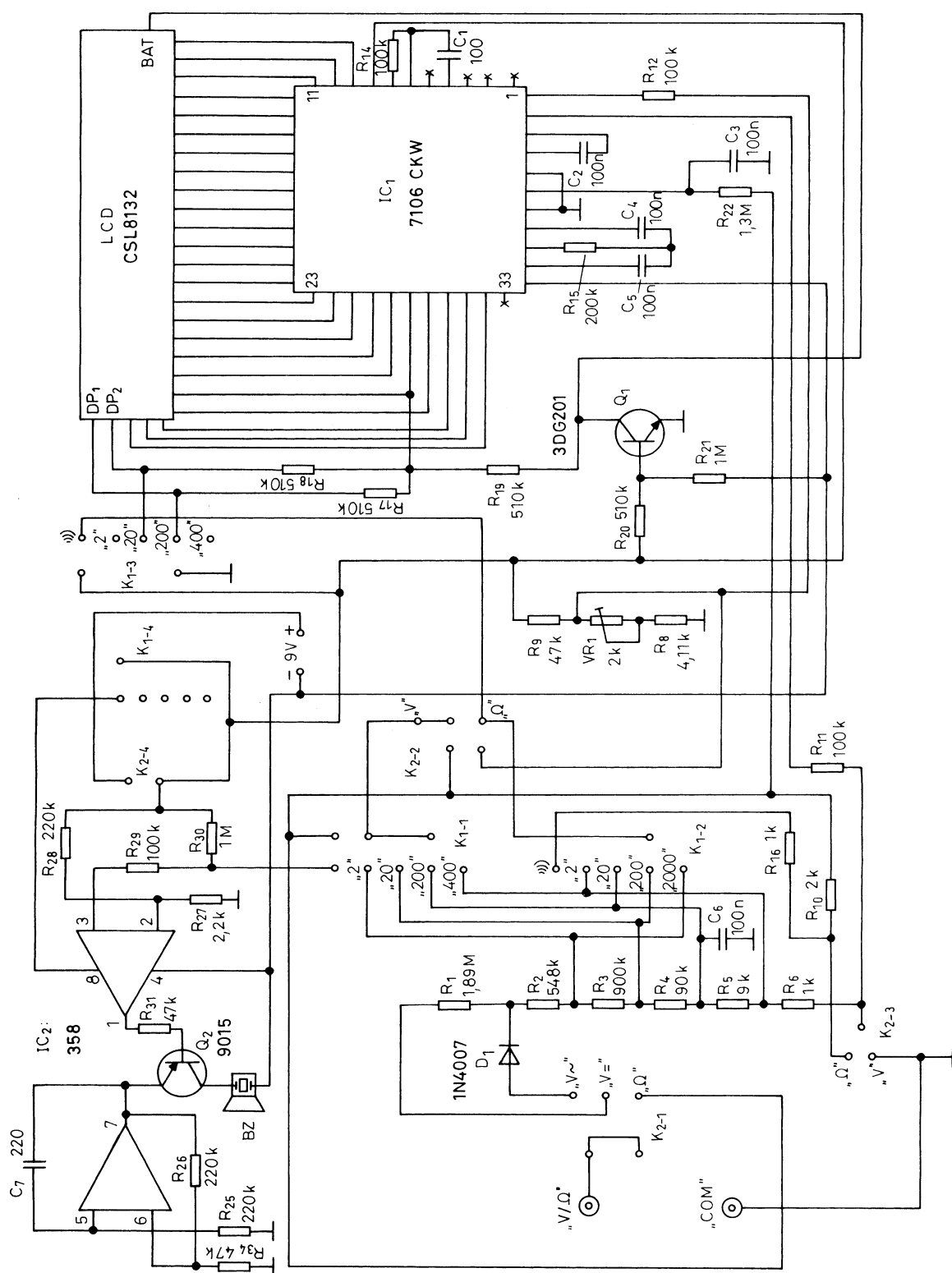
Audible continuity & Diode test

Transistor  $h_{FE}$ :0-1000

Batt: 9V NEDA 1604 or 6F22



**M-3900 Digital multimeter**



## M-93A digital multimeter

DCV: 2-20-200-400V, +/- 0.5%

ACV: 200-400V, +/- 1.2%

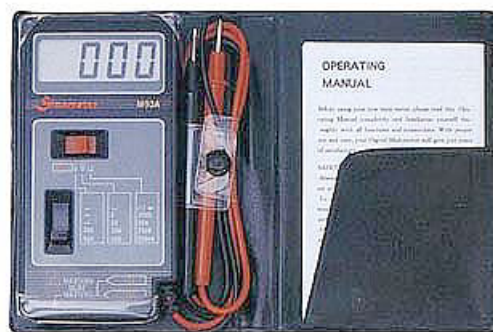
DCA: 200m, +/- 1.5%

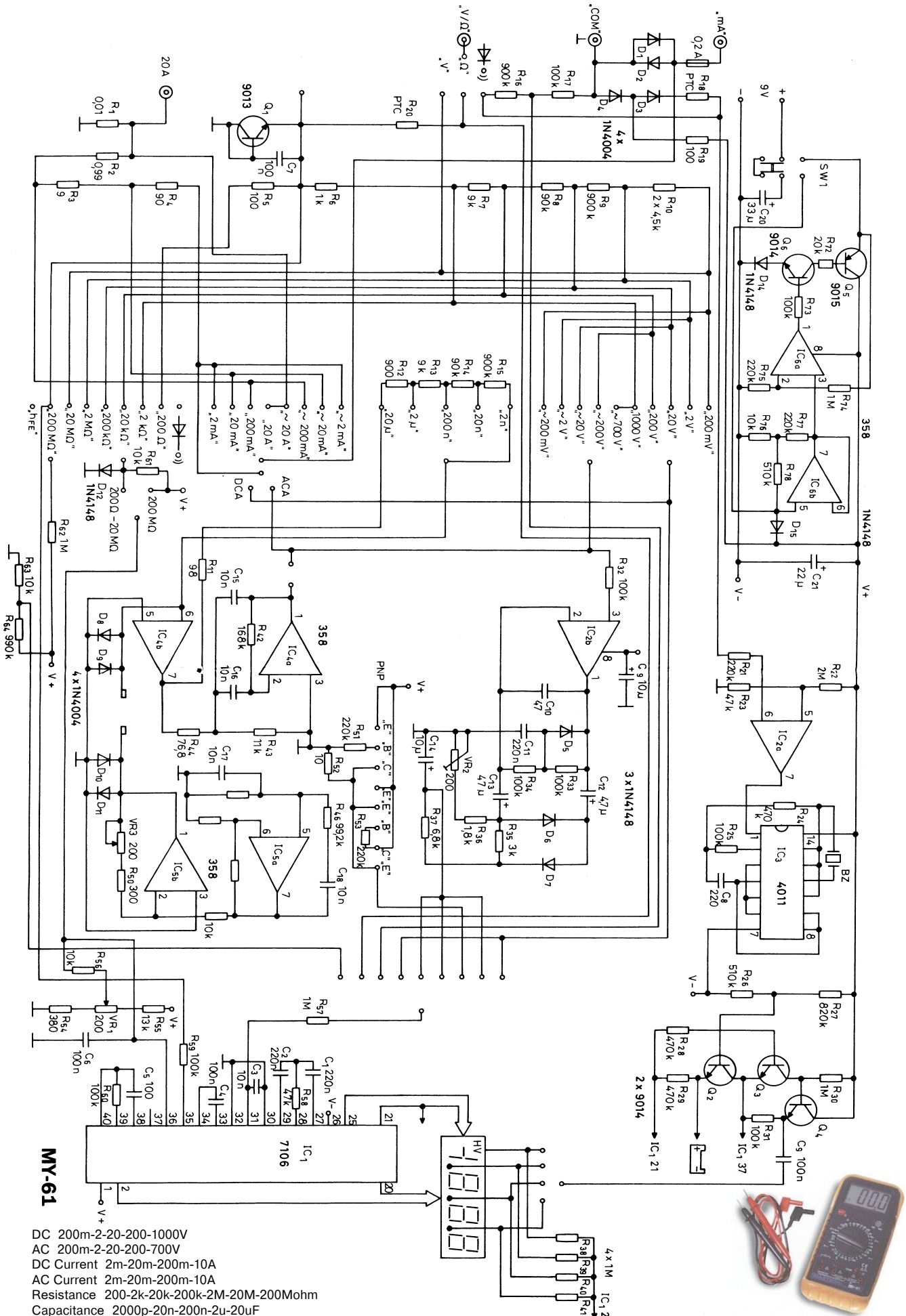
OHM: 2k-20k-200k-2M, +/- 0.8%

Audible continuity (M93A only)

Dimensions: 57 x 108 x 12.5mm

Battery: 9Vx1, GP10A





# Устройство амплитудно-фазового подавления помехи на входе приёмника радиостанции

Владимир Трубачев (RU3AKY), г.Москва

Радиолюбители желают друг другу чистого эфира, но реальная обстановка редко нас этим балует, особенно в условиях городского приёма на КВ и Си-Би диапазонах.

Данное устройство позволяет избавиться от помехи, источником которой может быть промышленная установка, спектр излучения которой попадает в полосу приёма радиостанции. Или радиостанция соседа, который не собирается вам мешать, а просто включается на другой частоте диапазона, но ваш приёмник не обладает необ-

ходимым динамическим диапазоном, чтобы не замечать мощный внеполосный сигнал. Или просто кто-то решил «порадовать» вас своей несущей.

Как отстроиться от подобной помехи? Первое, что приходит в голову, - использовать направленную антенну. Предположим, что у вас есть неплохая антenna, диаграмма направленности которой имеет хорошие «нули». На открытой местности можно реализовать возможности антенн, направив «нуль» на помеху. А вот в городе хорошего эффекта в большинстве случаев не будет. Причиной тому является множество отражённых сигналов, которые «атакуют» антенну с разных сторон. А как быть, если помеха и полезный сигнал приходят практически с одного направления?

В данном случае для подавления нежелательного сигнала используется разнесённый приём и сложение на входе приёмника равных по амплитуде и противофазных сигналов от помехи. Схема устройства показана на рис. На ней изображены две удалённых друг от друга антennы, в фидер одной из которых (Ant.2) включен фазовращатель (Line 1...Line 12). Оба сигнала поступают на регулятор баланса амплитуд (R4), а с его выхода - на вход приёмника радиостанции. При переходе на передачу, к выходу передатчика подключается только одна антenna, что реализуется давно известным схемным решением на транзисторах VT1 и VT2 и реле K1.

На первый взгляд устройство похоже на конструкцию направленной антennы, в которой поворот диаграммы направленности осуществляется не механическим,

а электрическим способом. На самом деле это не совсем так. Во-первых, в отличие от направленных антenn, данное устройство не решает задачу концентрации энергии в одном направлении, а подавляет на входе приёмника сигнал от нежелательного источника излучения. Во-вторых, при переходе на передачу, излучает только одна антenna, и, при необходимости, в качестве излучающей антennы можно использовать направленную. Антennы не обязательно должны быть однотипными. Возможны любые их сочетания, в том числе работающие

напомню, что в любом случае на передаче сохраняются свойства только той антennы, которая выбрана в качестве передающей.

**На рисунке** это Ant.1. При приёме есть возможность воспользоваться преимущественно свойствами одной или другой антennы, переводя регулятор баланса амплитуд в крайние положения.

## Технические требования к антеннам и их размещению

Обязательным условием является удалённость друг от друга. Расстояние между антennами - чем больше, тем лучше, но не менее одной длины волны (для повышения «бинокулярности» зрения: автор рекомендует две - три). Желательно, чтобы они были в одной «весовой категории». Например, плохо, если одна антenna на крыше, а вторая на балконе. Нет требований идентичности. Одна может быть штыревой, а другая тоже штыревой, но другой конструкции или направленной, или работать в другой поляризации. При несимметрии, особенно при разной поляризации, в конкретных случаях можно получить большую эффективность. Кабели снижения тоже не обязательно должны быть одинаковыми. Достаточно иметь близкие волновые сопротивления, например 50 и 75 Ом. Поменяв местами кабели снижения, можно выбрать передающую антенну.

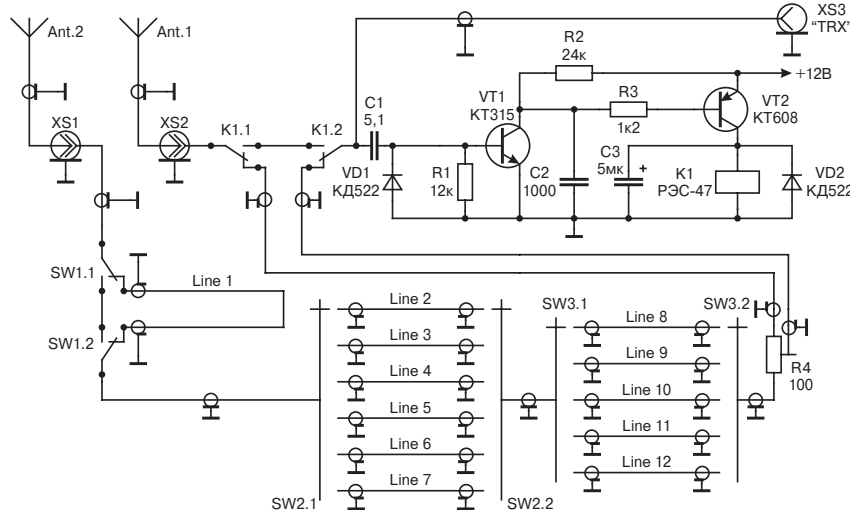
На схеме устройства стоит уделить внимание фазовращателю и регулятору баланса амплитуд. Последним является переменный резистор R4 с линейной характеристикой, слабо выраженной индуктивностью и величиной 75-150 Ом. Следует соблюдать условие:  $R4 \leq \Sigma R_u$ , где  $R_u$  - волновые сопротивления антенных кабелей снижения. На этом резисторе складываются сигналы, пришедшие от двух антenn. Подбором величины задержки одного из них с помощью фазовращателя добиваются противофазности сигналов от нежелательного излучателя, а положением движка потенциометра R4 - равенства амплитуды.

Фазовращатель дискретный, выполнен на двенадцати отрезках коаксиального кабеля Line1 - Line12 и трёх переключателях SW1, SW2, SW3. Он изменяет фазу сигналов, поступающих от Ant.2 в пределах  $0^\circ$ - $360^\circ$  с шагом  $6^\circ$ . Максимальная погрешность подбора фазы составит половину шага, т.е.  $3^\circ$ . Расчеты показывают, что при максимальной ошибке фазирования, подавление помехи составит около 26 дБ.

Переключатели SW2, SW3 обеспечивают шесть больших шагов и пять малых (6+5) в двух поддиапазонах фазовращателя ( $0^\circ$ - $180^\circ$  и  $180^\circ$ - $360^\circ$ ), переключаемыми с помощью SW1, что в сочетании с правильной выбранной длинами линий Line1 - Line12 обеспечивает шаг  $6^\circ$ . Данное разбиение диапазона фазовращателя является компромиссом между точностью фазирования, технологичностью и удобством пользования.

## Расчет длины отрезков коаксиального кабеля для Line1 - Line12

Для варианта 6+5 большой шаг (SW2) составит  $30^\circ$ , а малый (SW3) -  $6^\circ$ . В верхнем по схеме положении переключателей SW2, SW3, соответствующему нулевой задержке сигнала, длины линий Line2 и Line8



Ходимым динамическим диапазоном, чтобы не замечать мощный внеполосный сигнал. Или просто кто-то решил «порадовать» вас своей несущей.

Как отстроиться от подобной помехи? Первое, что приходит в голову, - использовать направленную антенну. Предположим, что у вас есть неплохая антenna, диаграмма направленности которой имеет хорошие «нули». На открытой местности можно реализовать возможности антенн, направив «нуль» на помеху. А вот в городе хорошего эффекта в большинстве случаев не будет. Причиной тому является множество отражённых сигналов, которые «атакуют» антенну с разных сторон. А как быть, если помеха и полезный сигнал приходят практически с одного направления?

В данном случае для подавления нежелательного сигнала используется разнесённый приём и сложение на входе приёмника равных по амплитуде и противофазных сигналов от помехи. Схема устройства показана на рис. На ней изображены две удалённых друг от друга антennы, в фидере одной из которых (Ant.2) включен фазовращатель (Line 1...Line 12). Оба сигнала поступают на регулятор баланса амплитуд (R4), а с его выхода - на вход приёмника радиостанции. При переходе на передачу, к выходу передатчика подключается только одна антenna, что реализуется давно известным схемным решением на транзисторах VT1 и VT2 и реле K1.

На первый взгляд устройство похоже на конструкцию направленной антennы, в которой поворот диаграммы направленности осуществляется не механическим,

должны быть равны нулю. Но на схеме они изображены, так как при монтаже соответствующие контакты переключателей могут находиться далеко друг от друга, и их следует соединить не длинным проводником, а отрезком коаксиальной линии. Конкретную технологическую длину этих линий следует добавить к расчетным величинам остальных линий, например, для Line3:  $L=L3+L2$ , где L3 - расчётная длина третьей линии, а L2 - технологическая длина Line2.

Расчетные величины коаксиальных отрезков получают для максимальной длины волны определенного КВ диапазона с учётом коэффициента укорочения длины волны в кабеле. Для удобства монтажа можно использовать самый тонкий коаксиальный кабель, а длинные отрезки сматывать в колыца. **В таблице** приведены длины отрезков коаксиального кабеля Line1 - Line12 для Си-Би диапазона при применении кабеля с полистиленовой изоляцией с коэффициентом укорочения 0,66. Длина кабелей снижения антенн и других соединительных отрезков произвольна.

На практике данное устройство, рассчитанное для Си-Би диапазона, хорошо функционировало на близком к нему 10-метровом КВ диапазоне. Возможность селекции источников сигналов, находящихся на одном географическом направлении, не является очевидной, поэтому проводился эксперимент, в котором участвовали два корреспондента. Их антенны находились на крышах соседних домов (через улицу). Один выступал в роли помехи, другой в

Линия	Задержка сигнала, град.	Длина, см
Line 1	180	367
Line 2	0	L2 (технологическая)
Line 3	30	61+L2
Line 4	60	122+L2
Line 5	90	183+L2
Line 6	120	245+L2
Line 7	150	306+L2
Line 8	0	L8 (технологическая)
Line 9	6	12+L8
Line 10	12	24+L8
Line 11	18	37+L8
Line 12	24	49+L8

роли полезного сигнала. Расстояние по прямой до антенн данного устройства - 5-6 км. Антенны устройства были установлены на расстоянии 20 метров друг от друга. Одна из них штыревая с 50-омным кабелем снижения, другая двухэлементная с 75-омным кабелем снижения. Резистор R4 = 100 Ом. У всех вертикальная поляризация. Модуляция FM. Сигнал помехи превышал полезный сигнал на 18 дБ. При обычном приёме и таком соотношении наличие сигнала под помехой обнаруживалось, но разборчивости не было. После «вырезания» помехи картина изменилась на обратную. «Всплыл» полезный сигнал. Наличие помехи под ним ощущалось, но сигнал был слышен комфортно со 100% разборчивостью.

При работе с устройством наблюдается забавный побочный эффект «лакмусовой бумаги» для окружающего пространства. Если мощный сигнал подавлен на 30 - 36 дБ и находится на уровне шума, то появление невдалеке крупного транспортного средства, например автобуса или трамвая, вызывает небольшую разбалансировку, и сигнал немного всплывает из шумов. Постепенное ухода транспорта баланс восстанавливается.

#### Недостатки кажущиеся и объективные

На схеме видно, что в режиме приёма нет идеального согласования волновых со противлений фидерных линий, часть полезного сигнала теряется, что снижает реальную чувствительность. На самом деле потери не столь велики и не отражаются на приеме слабых сигналов, потому что в условиях городского приёма уровень промышленных помех и шумов не позволяет реализовать возможности приёмника, запас чувствительности которого позволяет компенсировать потери от неточного согласования. В условиях низкого уровня шумов и помех можно установить движок регулятора баланса амплитуд в крайнее положение и принимать сигнал преимущественно с одной из антенн почти без потерь. Можно добавить в схему малошумящий усилитель с  $K_u$  около 6 - 8 дБ, но практической необходимости в этом нет. Подбор баланса фаз и амплитуд осуществляется методом последовательных приближений. Надыши работы с устройством появляются быстро, и не вызывают затруднений.

## Современные массовые телевизоры

(Продолжение. Начало см. «РХ» №6/2001, №1, №2/2002)

Первая часть этой статьи («РХ» №6/2001) была посвящена общим вопросам развития схемотехники и функциональным схемам современных массовых телевизоров, вторая («РХ» №1/2002) - схемотехнике и некоторым особенностям радиоканала, третья («РХ» №2/2002) - схемотехнике и некоторым особенностям каналов цветности и яркости. В этой части статьи речь пойдет об особенностях каналов звука многосистемных и стереофонических телевизоров. Чтобы читателю было проще ориентироваться в тематике этой и последующих публикаций, автор решил вносить основную тему публикации в заголовок статьи.

Во второй части («РХ» №1/2002) мы говорили о том, что в современных телевизорах используется как **совмещенный радиоканал**, так и **параллельный и квазипараллельный радиоканалы**, а также рассмотрели общие особенности таких телевизоров. Дальнейшее рассмотрение каналов звука начнем с **УПЧЗ-II** многосистемного телевизора. Практически все стандарты телевизионного вещания отличаются друг от друга

значением второй промежуточной частоты звука, которая равна разности промежуточной частоты изображения и первой промежуточной звука, а иногда видом модуляции (см. **таблицу 1**).

Если в пользовательском меню телевизора присутствует опция (установка) стандарта BG, DK, I и т.п., то это значит, что в телевизоре установлен коммутатор стандартов звука, обеспечивающий коммутацию полосовых фильтров на входе УПЧЗ-II, а в частотном детекторе канала звука параллельно включены как минимум два опорных контура (фильтра). Хотя в более новых аппаратах, где в ЧД используются **самоперестраивающиеся фильтры на гираторах**<sup>\*</sup>, в этом нет необходимости. Во многих телевизорах с многосистемной обработкой сигнала звука на входе

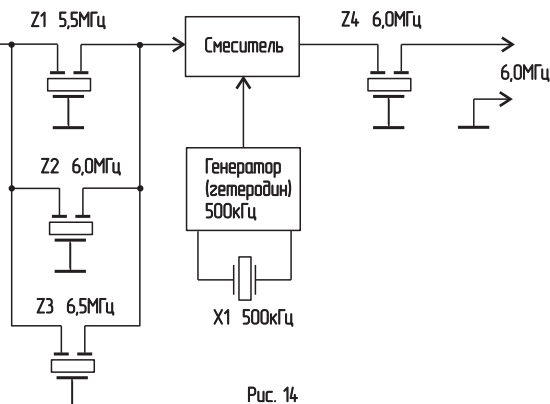
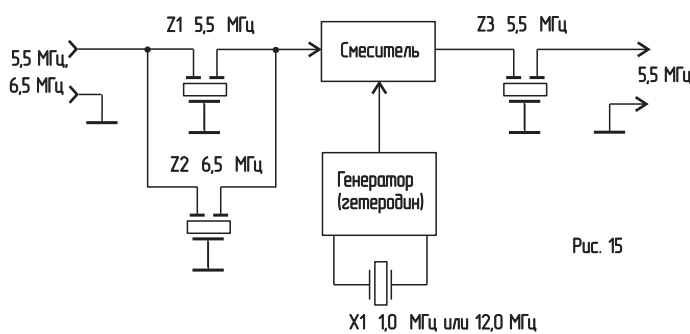


Рис. 14

Таблица 1

№	Стандарт	ПЧЗ-II, МГц	Модуляция	Где действует стандарт
1	BG	5,5	ЧМ	Германия, большая часть Зап. Европы и Ближний Восток
2	DK(K')	6,5	ЧМ	СНГ, Вост. Европа и Китай
3	M	4,5	ЧМ	США, Япония
4	I	6	ЧМ	Великобритания, Ирландия, Южная Африка
5	L	6,5	AM	Франция

\* Гираторы - это устройства, преобразующие активные сопротивления: емкостное в индуктивное и, если необходимо, то наоборот: индуктивное в емкостное. В микросхеме создан варикап, переменное емкостное сопротивление которого с помощью гиратора преобразуется в переменное индуктивное. Полученная таким образом «индуктивность» включается в контур. Этот контур можно перестраивать, управляя величиной постоянного запирающего напряжения на варикапе, меняя этим самим его емкость, а, значит, и величину индуктивного сопротивления, полученного с помощью гиратора.



Конвертор может быть выполнен с использованием специализированной микросхемы (например, LA7975, LA7976 фирмы SANYO), но может быть собран и на дискретных элементах.

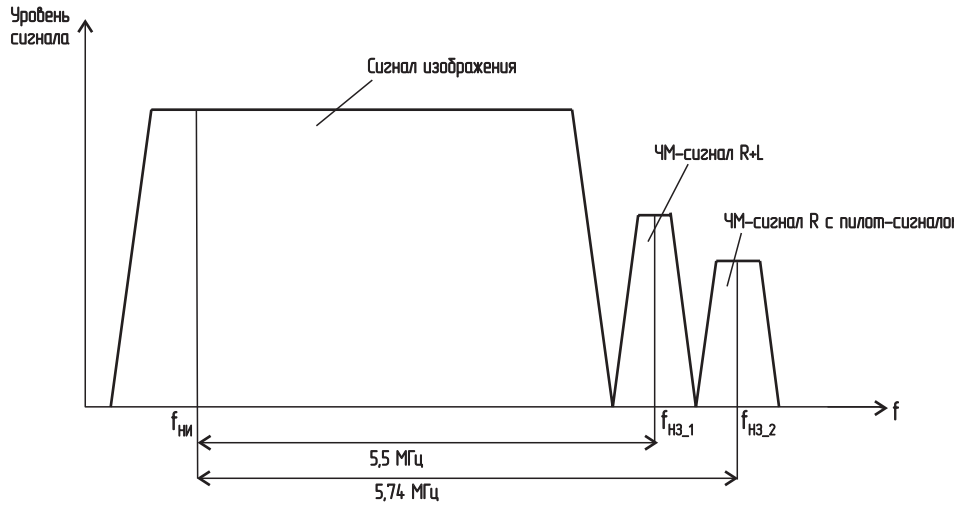
Для двух-

и детекторах позволило отказаться от внешних пьезофильтров и контуров в каналах звука и получить при этом очень высокое качество звукового сопровождения и низкий уровень шумов при работе в различных ТВ-стандартах.

**Поговорим о стереофонии в телевидении.** Существует несколько способов передачи стерео сигнала в телевизионном вещании. К сожалению, ни один из них не получил, пока, широкого распространения в странах СНГ. Они известны потребителям больше по качественным оригинальным (не дублированным) видеозаписям, привезенным из-за рубежа.

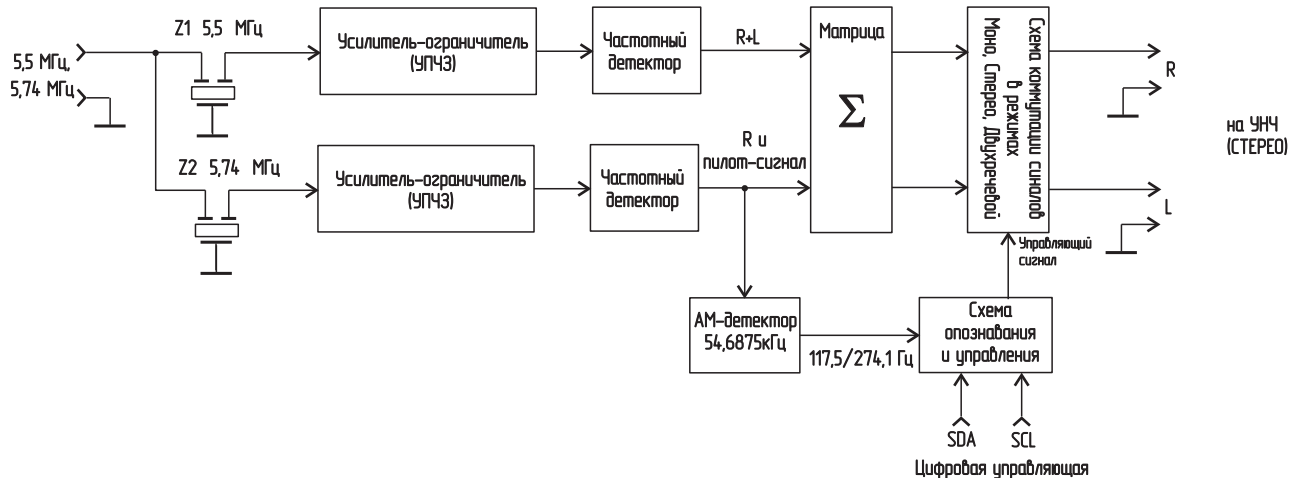
В странах Западной Европы, использующих стандарт BG, начиная с 80-х годов прошлого столетия получила широкое распространение система с двумя несущими частотами звука и пилот-сигналом (эту систему стереозвука в телевещании иногда называют «Германской»). Одна из несущих звука (см. **рис. 16**) на 5,5 МГц превышает несущую частоту изображения, а вторая - выше несущей изображения на 5,74 МГц (точнее - на 5,742 МГц). Для обеспечения совместности с монофоническим телевидением первая из несущих звука модулируется по частоте суммы сигналов правого и левого каналов (R+L). Другая несущая также модулируется по частоте, но сигналом только правого канала (R). Использование сигналов R+L и R позволяет уменьшить до минимума уровень шумов на выходе матрицы стереодекодера. Пилот-сигнал имеет частоту 54,6875 кГц (частота 5,742 МГц является 105 гармоникой частоты пилот-сигнала).

Эта система используется не только для стереофонии, но и для двухречевого звукового сопровождения. Для того, чтобы телевизор автоматически распознавал стерео и двухречевые передачи, пилот-сигнал модулируют по амплитуде при стереопередаче частотой 117,5 Гц, а при двухречевой - 274,1 Гц. В телевизионном приемнике на выходе видеодетектора или смесителя будут присутствовать сразу две ПЧЗ-II с частотами 5,5 МГц и 5,74 МГц, которые усиливаются в УПЧЗ и детектируются двумя ЧД (эти каскады иногда входят в состав микросхемы стереодекодера, см. **рис. 17**).



(6,0 МГц) и DK (6,5 МГц) в сигнал 6,0 МГц, имеющий тот же закон модуляции, что и входные сигналы. Преобразование происходит в смесителе, на который кроме входного ЧМ-сигнала поступает сигнал гетеродина 500 кГц. В выходном токе смесителя при подаче на вход сигнала любого из стандартов BG, DK или I, будет присутствовать сигнал с частотой 6,0 МГц. Для стандарта I - это непосредственно вторая промежуточная частота звука (ПЧЗ-II), для стандарта BG - это сумма ПЧЗ-II (5,5 МГц) и частоты гетеродина (0,5 МГц), а для стандарта DK - это разность ПЧЗ-II (6,5 МГц) и частоты гетеродина (0,5 МГц). В ЧД канала звука при применении такого конвертора используется один контур, который настроен на 6,0 МГц.

**стандартных телевизоров BG/DK** возможно использование конвертора, имеющего функциональную схему **рис. 15**. Применение кварцевого резонатора в этой схеме необязательно. Важно, чтобы частота гетеродина была равна 1 МГц или 12 МГц, что необходимо для соблюдения равенств:  $6,5 \text{ МГц} - 1 \text{ МГц} = 5,5 \text{ МГц}$  и  $12 - 6,5 = 5,5 \text{ МГц}$ , из которых видно, что в токе смесителя при наличии на входе сигнала второй промежуточной звука стандарта DK (6,5 МГц) будет присутствовать сигнал 5,5 МГц (стандарт BG), который через фильтр Z3 поступает на УПЧЗ-II. Это основные особенности обработки ПЧЗ-II в многосистемном телевизоре, но техника не стоит на месте. В последние 3 - 4 года использование детекторов с ФАПЧ и гираторов в УПЧЗ



Полученные в результате НЧ-сигналы  $R+L$  и  $R$  вычитаются в матрице стереодекодера, в результате чего выделяется сигнал  $L$ . Далее сигналы  $R$  и  $L$  через схему коммутации поступают на стереоусилитель телевизора. Это происходит, если частота модуляции пилот-сигнала равна 117,5 Гц. Если пилот-сигнал промодулирован частотой 274,1 Гц, то это значит, что сигнал 5,5 МГц имеет модуляцию основным сигналом звукового сопровождения, сигнал 5,74 МГц - сигналом звукового сопровождения на другом языке (двухречевое вещание). В этом случае на оба входа стереоусилителя будет поступать один из двух сигналов звукового сопровождения по выбору телезрителя.

Коммутация сигналов на входы стереоусилителя осуществляется в специальной схеме коммутации, управление которой происходит сигналом от схемы опознавания и управления (см. *рис. 17*). Для стандарта **DK** существует сразу две системы стереофонического телевизионного вещания, аналогичных «германской» - с двумя ЧМ-несущими звука, отстоящими от несущей изображения в одной системе на 6,5 МГц и 6,25 МГц, а в другой на 6,5 МГц и 6,74 МГц. В обеих системах первая из несущих частот промодулирована сигналом  $R+L$ , а вторая - сигналом  $R$ . Иные значения несущих частот - это, пожалуй, все отличия этих систем от рассмотренной ранее системы стереофонического ТВ вещания.

Существует **две системы** стереофонического телевизионного вещания для стандарта **M**. Одна из них разработана в США, а другая в Японии. Действующая ныне в США система **BTSC-MTS** формирует комплексный стереосигнал (КСС), частотный состав которого изображен на *рис. 18*.

**KCC** системы BTSC-MTS может содержать:

- низкочастотный сигнал  $L + R$  (соответствует обычному моно сигналу);
- сигнал первой поднесущей частоты звука  $f_{\text{пп1}} = 31,468 \text{ кГц}$ , которая промодулирована методом балансной модуляции (БМ) сигналом  $L - R$ ;
- пилот-сигнал 15,734 кГц (необходим для восстановления поднесущей частоты балансно-модулированного сигнала, т.к. она подавляется в балансном модуляторе, а БМ-сигнал содержит только боковые по-

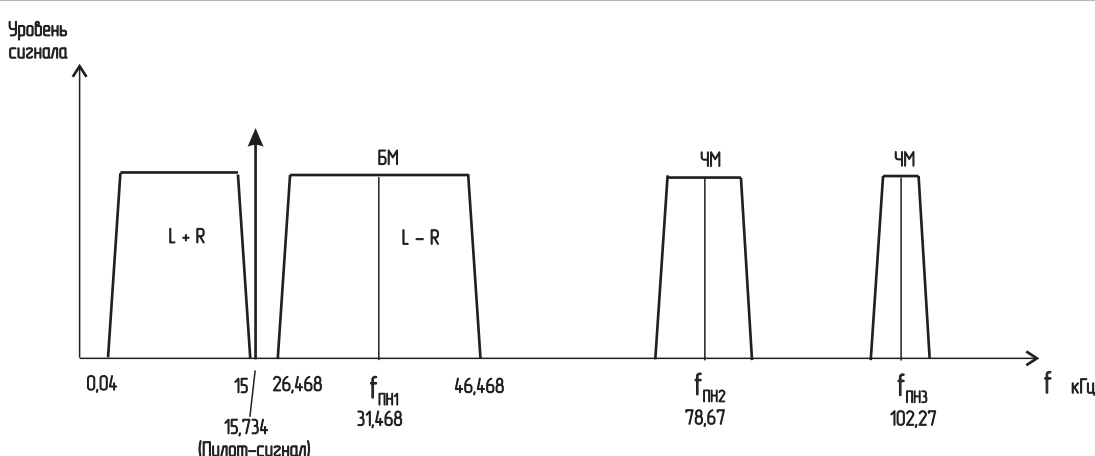


Рис. 18

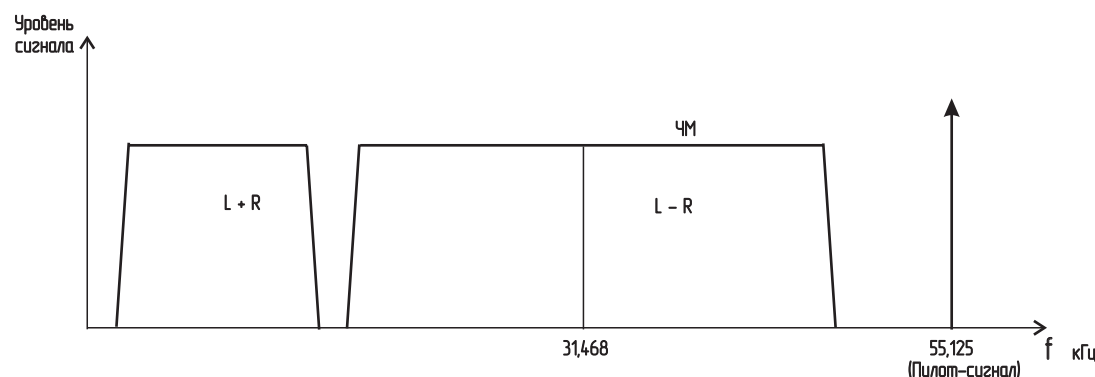


Рис. 19

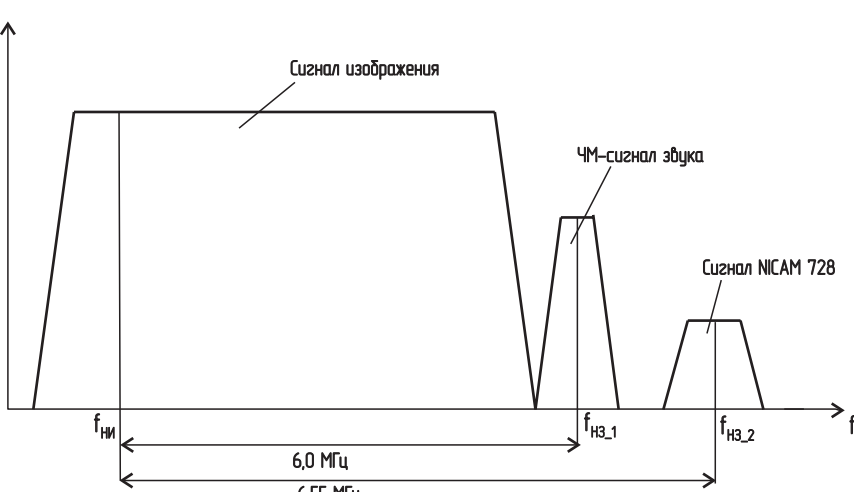


Рис. 20

лосы частот);

- ЧМ сигнал второй поднесущей звука  $f_{\text{пп2}} = 78,67 \text{ кГц}$  для передачи второго сигнала звукового сопровождения;
- служебный (закрытый) ЧМ сигнал  $f_{\text{пп3}} = 102,27 \text{ кГц}$ .

Комплексным стереосигналом модулируют по частоте сигнала несущей частоты звука (его частота на 4,5 МГц выше несущей частоты изображения).

Значения поднесущих частот звука выбраны не случайно: 31,468 кГц - это вторая гармоника строчной частоты стандарта **M**, 78,67 кГц - пятая гармоника ( $5f_{\text{стр}}$ ), а  $102,27 \text{ кГц} = 6,5 f_{\text{стр}}$ . Все это необходимо для уменьшения шумов от сигнала строчной развертки. Для дальнейшего увеличения отношения сигнал/шум сигнал  $L - R$  обра-

батываются в компрессоре системы шумопонижения DBX. В телевизоре этот сигнал должен пройти обратную обработку.

**Используемая в Японии** система стереофонического телевизионного вещания получила название **ЧМ-ЧМ**. Комплексный стереосигнал этой системы, которым также модулируют несущую звука, содержит низкочастотный сигнал  $L + R$  и сигнал поднесущей частоты звука  $f_{\text{пп}} = 31,468 \text{ кГц}$ , которая промодулирована по частоте сигнала  $L - R$  (см. *рис. 19*). Для повышения отношения сигнал/шум и улучшения помехозащищенности сигнала  $L - R$ , используется компандерная система шумопонижения. Система ЧМ-ЧМ может использоваться как для стереофонического, так и для двухязычного звукового сопровождения. Для опоз-

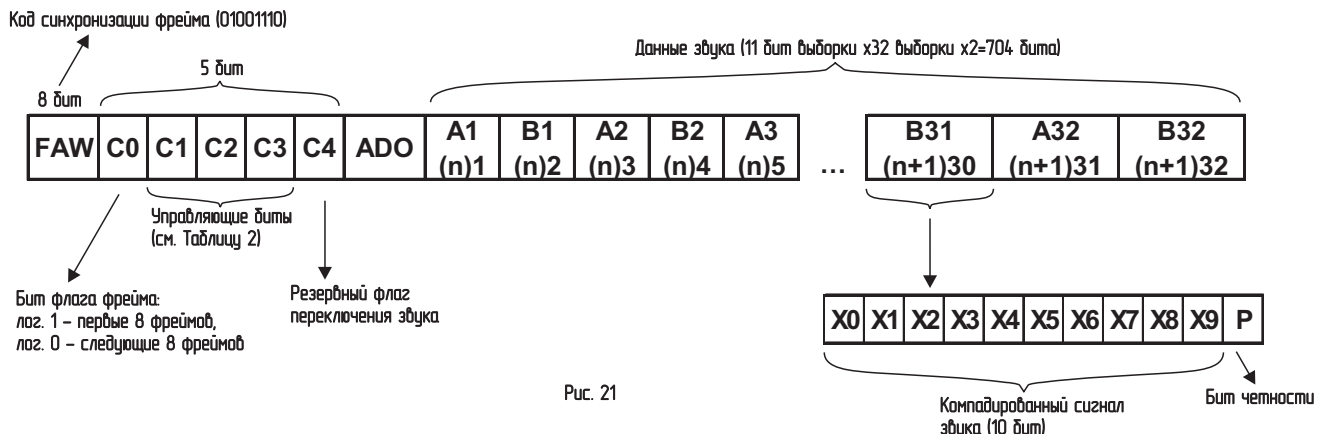


Рис. 21

навания вида передачи в КСС содержит пилот-сигнал частотой 55,125 кГц, который при монофонической передаче модуляции не имеет, при стереопередаче имеет амплитудную модуляцию сигналом 982,5 Гц, а при двуязычной передаче - сигналом 922,5 Гц.

Наиболее распространение в последние годы получила цифровая система стереофонического телевизионного вещания NICAM (Near Instantaneous Compack Audio Multiplex), разработанная в Великобритании специалистами BBC. Система NICAM в вольном переводе на русский расшифровывается как «**Система одновременной передачи командированных объединенных сигналов близких частот**». Иногда в названии системы присутствуют цифры 728 (NICAM 728). Число 728 показывает скорость передачи в Кбит/с. В системе NICAM 728 используются две несущие частоты звука, одна из которых совпадает по частоте с несущей звука (МОНО) используемого стандарта и отличается от несущей изображения на 6,0 МГц для стандарта I, на 5,5 МГц для стандарта BG и 6,5 МГц для стандарта DK. Эта несущая имеет частотную модуляцию сигналом

звука, что необходимо для нормальной работы обычных телевизоров. Вторая несущая звука отстоит от несущей изображения на 6,552 МГц для стандарта I, на 5,85 МГц для стандарта BG и 6,85 МГц для стандарта DK. Частотный состав сигнала одного ТВ канала с передачей звука по системе NICAM 728 в стандарте I изображена на **рис.20** (для других стандартов отличие графика состоит только в цифрах). На второй несущей звука передается цифровой стереосигнал звука методом QPSK (Quadrature Phase Keying - квадратурно-фазовой манипуляции). Этот сигнал имеет вид пакетов (фреймов). Структура фрейма приведена на **рис.21**. В каждом фрейме информация о звуке передается в последние 704 бита. Причем, выборки сигналов правого и левого каналов передаются поочередно. Всего выборок в одном фрейме для каждого канала 32. Каждая выборка содержит 11 бит: первые 10 из них - это командированный сигнал звука, а последний 11 бит - бит четности. Содержание 704-х бит данных может меняться и от режима, заданного управляющими битами C1, C2 и C3 (см. **таблицу 2**).

На **рис.22** изображена упрощенная функциональная схема канала звука системы NICAM (декодер и процессор NICAM) современного телевизора. Полосовой фильтр Z1 на входе обеспечивает выделение кодированного методом QPSK сигнала второй промежуточной частоты звука NICAM. QPSK де-

модулятор выделяет из этого сигнала два параллельных цифровых потока (кода), которыми была произведена модуляция, используя опорный сигнал от кварцевого генератора. Цифровой ФНЧ подавляет сигналы помех, а параллельно-последовательный преобразователь из двух параллельных цифровых кодов формирует два последовательных цифровых кода данных (DATA). Декодер NICAM обеспечивает окончательное выделение цифровых сигналов звука, устраняет ошибки преобразования и, расширяя динамический диапазон сигналов, обеспечивает заложенное в системе NICAM шумопонижение. ЦАП (цифро-анalogовый преобразователь) преобразует цифровые сигналы звука в аналоговые. Пройдя коммутатор, эти сигналы (или сигналы с других входов коммутатора) поступают на регулируемые усилители напряжения, в которых происходит регулировка громкости стереобаланса, а иногда регулировка тембра и стереобазы. После чего сигналы правого и левого каналов поступают на стереофонический УМЗЧ. В большинстве декодеров и процессоров NICAM управление их работой производится по цифровойшине I<sup>2</sup>C.

Во многих современных телевизорах (особенно с диагональю экрана 25" и выше) используются каналы звукового сопровождения с многосистемными декодерами и процессорами звука, в этих аппаратах могут быть установлены устройства **Псевдостерео** и **UBB**. Устройство Псевдостерео, используя сигнал монофонического звукового сопровождения, создает эффект, подобный стереозвучанию. Устройство UBB (Ultra Bass Booster) обеспечивает усиление самых низких частот звукового диапазона, улучшая этим качество звучания.

Учитывая все изложенное в этой публикации, напрашивается вывод, что канал звука - это, пожалуй, один из самых сложных узлов современного многосистемного телевизора. Сложнее его только цифровые каналы цветности и яркости 100-герцового телевизионного приемника.

(Продолжение следует)

Таблица 2

Управляющие биты			Звуковые данные (704 бита)
C1	C2	C3	
0	0	0	СТЕРЕО (Сигналы R и L передаются в каждой выборке поочередно)
0	1	0	Двухречевое звуковое сопровождение (M1 и M2). M1 передается в нечетных, а M2 - в четных фреймах.
1	0	0	Моно звук
1	1	0	Данные 704 кбит/с (704 бита)
X	X	1	Не задано

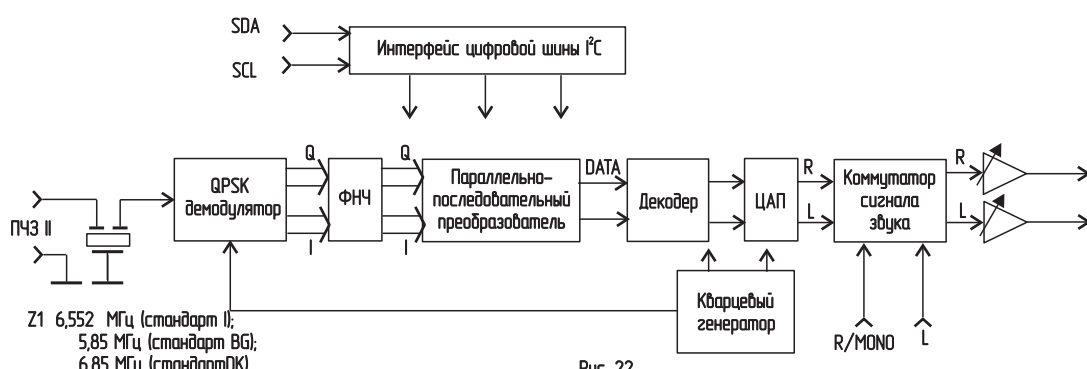


Рис. 22



# ГЕНЕРАТОР ИСПЫТАТЕЛЬНЫХ ТЕЛЕВИЗИОННЫХ СИГНАЛОВ НА БАЗЕ ВИДЕОПРИСТАВКИ «DENDY»

Григорий Ганичев, г.Москва

**Новая разработка Мастер Кит дает новую жизнь Вашей старой игровой видеоприставке «DENDY», которая наверняка за- валилась на самой верхней полке и покрылась пылью. С помощь предлагающего картриджа Вы легко сможете превратить ее в достаточно функциональный генератор испытательных телевизионных сигналов (ГИТС) стандарта PAL, незаменимый при покупке нового или настройке Вашего телевизионного приемника. Теперь собрать такое устройство можно из набора «МАСТЕР КИТ» NM8511.**

Многие из нас не понаслышке знакомы с проблемой настройки телевизора, когда под рукой не оказывалось нужного прибора и поэтому делалось все «на глаз» с соответствующим результатом. Для качественной настройки телевизора приходилось доставать у знакомых профессиональный ГИТС или покупать в магазине свой собственный, довольно дорогостоящий. Но, как оказывается, совсем не обязательно делать такие серьезные капиталовложения, поскольку основные компоненты для изготовления подобного устройства можно найти в каждом доме. Осталось только проделать несколько несложных операций и полноценный ГИТС типа «Электроника ГИС-02Т» в Вашем распоряжении.

Практически в каждом доме сохранилась видеоприставка «DENDY». На самом деле эта «игрушка» представляет собой достаточно мощный вычислительный комплекс на базе микропроцессора MC6502, оснащенный устройствами ввода команд (джойстиками), видео- и аудио подсистемами вывода. Освоив структуру и программирование этого микропроцессора, оказалось несложным написать программное обеспечение, эмулирующее практические все необходимые функции генератора тестовых телевизионных сигналов с дополнительной возможностью проверки аудиотракта телевизора.

В телевизорах, оснащенных декодерами PAL, с помощью предлагаемого картриджа с программой и Вашей видеоприставки можно оценить чистоту основных цветов, правильность матрицирования сигналов цветности, устойчивость синхронизации, чувствительность звукового тракта. Устройство незаменимо при настройке баланса белого, динамического сведения лучей, устранении геометрических искажений раstra.

Картридж с программой ГИТС пригодится и при покупке новой «DENDY» для оценки качества создаваемого ею видеоизображения и звуковых эффектов. Известно, что на статических испытательных таблицах погрешности формирования видеосигналов более заметны, чем на динамически меняющихся экранах видеоигры. Поэтому можно довольно легко выявить неустранимые заводские дефекты видеоприставки.

## Технические характеристики:

Цветовой стандарт ..... PAL  
Общее число тестовых изображений ..... 81

## Испытательные таблицы:

- Равномерно светящееся поле
- Вертикальные цветовые полосы
- Горизонтальные цветовые полосы
- Белые точки «мухи»
- Сетчатое поле
- Точечное поле
- Шахматное поле

Градации цветовой насыщенности изображения ..... 4 уровня  
Частота звукового тона ..... 500/1000 Гц

Амплитуда звукового тона:

Постоянная/Изменяющаяся по пилообразному закону

Размеры печатной платы, мм ..... 79x47

## ОПИСАНИЕ РАБОТЫ МОДУЛЯ

Перечень элементов дан в **табл. 1**. Картридж с программой ГИТС необходимо установить в гнездо любой «DENDY»-совместимой видеоприставки (например «LIFA», «SUBOR» и им подобные) так, чтобы микросхемы «смотрели» на пользователя (выход 1 - слева со стороны монтажа микросхем). Подключить видеоприставку к ТВ приемнику можно как по высокой, так и по низкой частоте, однако последний вариант подключения обеспечивает лучшее качество изображения, поскольку обычно применяемый ВЧ-модулятор обладает невысокими параметрами. Чтобы получить стабильное изображение с минимумом помех, рекомендуется его экранировать.

После включения видеоприставки на экране Вашего телевизионного приемника появится одна из 28 возможных испытательных таблиц (с учетом цветовых оттенков и градаций яркости можно получить 81 вариант изображения).

Управление ГИТС производится джойстиком, подключенным к любому игровому порту «DENDY». Смена тестовых изображений происходит при нажатии клавиш «ВЛЕВО» или «А» и сопровождается коротким звуковым сигналом. При нажатии клавиш «ВПРАВО» или «В» осуществляется откат на предыдущую тестовую таблицу. С помощью кнопок «ВВЕРХ» и «ВНИЗ» выбирают одну из четырех градаций цветовой насыщенности изображений.

\* RGB тона - позволяют оценить неисправность выходных усилителей цвета, работоспособность пушек, качество чистоты цветов кинескопа, отрегулировать размах сигналов цветности;

\* Сетчатое поле - позволяет производить динамическое и статическое сведение лучей, регулировку геометрии изображения;

\* Цветовые полосы - позволяют настроить весь канал цветности системы PAL;

\* Шахматное поле - позволяет оценить и отрегулировать линейность по горизонтали и вертикали.

При необходимости проверки чувствительности звукового канала можно запустить звукогенератор клавишей «START» (прямоугольные импульсы со скважностью Q = 4), в зависимости от числа нажатий их амплитуда может быть постоянной, либо изменяющейся по пилообразному закону с периодом T = 60 мс. Нажатием клавиши «SELECT» осуществляется изменение частоты звуковых импульсов 500/1000 Гц.

Иногда, после установки картриджа и включения питания видеоприставки, на экране телевизора появляются медленно перемещающиеся темные горизонтальные полосы и в громкоговорителе слышен фон низкой частоты. Подобное поведение свидетельствует о перегрузке выносного блока питания «DENDY» по току. С этой проблемой можно справиться, заменив его более мощным, например с параметрами 10В/1,2А, применяемым в «SEGA MEGA DRIVE-2».

Для проверки и настройки телевизионных приемников с системой SECAM или черно-белых экземпляров доступны испытательные сигналы сетчатого, точечного и шахматного полей, а также градаций яркости.

## КОНСТРУКЦИЯ

Внешний вид картриджа показан на **рис. 1** (и обложке), печатная плата на **рис. 2а** (вид со стороны элементов) и **рис. 2б** (вид со стороны пайки), расположение элементов на **рис. 3**.

Конструктивно картридж выполнен на печатной плате из фольгированного стеклотекстолита толщиной 1 мм.

Конструкция предусматривает установку микросхем памяти РПЗУ с УФ стиранием двух типов: емкостью 2Кбайта (KP573РФ5, 2716, 27C16) и 8Кбайт (KP573РФ6A, 2764, 27C64).

Для выбора конкретного типа микросхемы на плате зарезервированы места под установку компьютерных съемных перемычек. При замыкании контактов 1-2 обоих разъемов осуществляется выбор микросхемы типа KP573РФ5, 2716, 27C16, а при замыкании 2-3 - KP573РФ6A, 2764, 27C64.

Микросхемы типа KP573РФ5 в отличие от KP573РФ6A имеют 24-выводной корпус, поэтому их установку необходимо производить так, чтобы вывод 1 KP573РФ5 попадал на вывод 3 KP573РФ6A.

РПЗУ программируют в соответствии с **табл. 2** (DD1), см. с. 42 и **табл. 3** (DD2), см. с. 43. Файлы прошивок также общедоступны с сайта журнала «Радиохобби» <http://radiohobby.da.ru>. Коды из последней строки табл.2 (начальный адрес 1FF0H) заносятся только в РПЗУ емкостью 8Кбайт. Все неуказанные ячейки памяти программой ГИТС не используются и могут содержать произвольные данные.

## ЗАКЛЮЧЕНИЕ

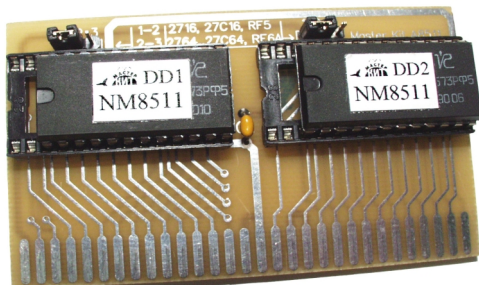
Если Вам дорого время и Вы не хотите тратить его на поиск компонентов и разводку платы, МАСТЕР КИТ предлагает набор NM8511. Набор состоит из печатной платы, всех необходимых компонентов, руководства по сборке и эксплуатации картриджа.

Более подробно ознакомиться с ассортиментом и техническими характеристиками можно с помощью каталога «МАСТЕР КИТ» и на сайте [www.masterkit.ru](http://www.masterkit.ru).

На сайте вы найдете много интересной и полезной информации по электронным наборам и модулям. Вы сможете задать вопросы и подписать на рассылку новостей, найти адреса магазинов Вашего города, где можно купить электронные наборы и модули, а также поучаствовать в конференции и найти новых друзей.

Наш ассортимент постоянно расширяется и дополняется новинками, созданными с использованием новейших достижений современной электроники. Спрашивайте наборы и модули МАСТЕР КИТ в магазинах радиодеталей Вашего города.

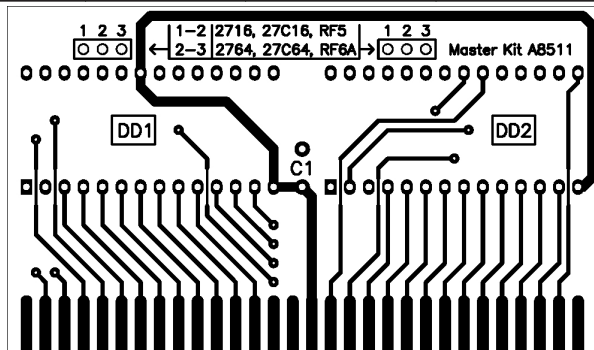
**Рис.1**



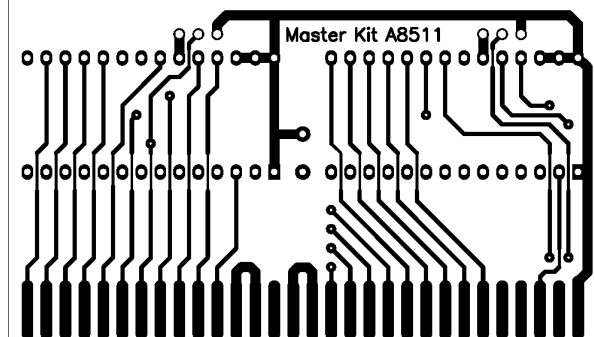
**Таблица 1**

Позиция	Наименование	Примечание	Кол.
C1	0,1 мкФ		1
DD1, DD2	KP573РФ5	Микросхемы с программой	2
		Колодка DIP-28	2
		Штыревой разъем тройной	2
		Съемная перемычка	2

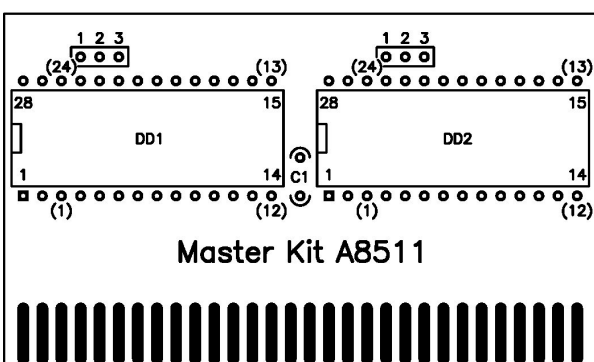
**Рис.2а**



**Рис.2б**



**Рис.3**



МАСТЕР КИТ подготовил набор для радиолюбителей NM8511. Каждый набор включает в себя печатную плату с нанесенной маркировкой, все необходимые компоненты, включая микросхемы с зашитой программой, и подробную инструкцию по сборке.

Подробную информациюсмотрите в каталоге «МАСТЕР КИТ» и на сайте <http://www.masterkit.ru>.

Адреса некоторых магазинов, специализирующихся на продукции МАСТЕР КИТ:

#### Украина

«НикС», e-mail: [chip@nics.kiev.ua](mailto:chip@nics.kiev.ua)

**1. Киев**, ул. Январского восстания, 24. Тел: (044) 290-46-51

2. рынок «Радиолюбитель», торговое место №100

«Имрад», e-mail: [masterkit@tex.kiev.ua](mailto:masterkit@tex.kiev.ua)

**1. Киев**, ул. Дегтярёвская, 62, 5-й этаж. Тел/факс: (044) 441-67-36

2. рынок «Радиолюбитель» (ул.Ушинского, 4), торговые места №22, 43. Тел: (044) 446-82-47

#### Россия

«МиТраКон», e-mail: [mtk@mitracon.ru](mailto:mtk@mitracon.ru)

**Москва**, Украинский бульвар, д.15. Тел: (095) 937-41-03, тел/факс: (095) 243-55-46

«Чип и Дип», e-mail: [sales@chip-dip.ru](mailto:sales@chip-dip.ru), [www.chip-dip.ru](http://www.chip-dip.ru)

**Москва**, ул. Беговая, д.2. Тел: (095) 284-56-78, 284-36-69

«Царицыно», радиорынок, место 126.

**Москва**, время работы: 9.00 - 16.00 без выходных.

«На Можайке», радиорынок, пав. 14/22.

**Москва**, время работы: 9.00 - 18.00. Выходной день: понедельник.

Проезд до ст. м. Киевская или Молодежная, далее бесплатный экспрессом до Радиорынка.

«Мега-Электроника», e-mail: [info@megachip.ru](mailto:info@megachip.ru),

[www.icshop.ru](http://www.icshop.ru) - магазин электронных компонентов on-line

**С.-Петербург**, ул. Большая Пушкарская, д.41. Тел: (812) 327-32-71, факс: (812) 325-44-09

«Радуга», [stayer@tsl.ru](mailto:stayer@tsl.ru)

**Благовещенск**, ул.Пионерская, 26, 2-й этаж. Тел: (4162) 38-54-35

«Электромаркет», e-mail: [elektro@eastnet.febras.ru](mailto:elektro@eastnet.febras.ru), [www.elektro.febras.ru](http://www.elektro.febras.ru)

**Владивосток**, Партизанский проспект, 20, к. 314. Тел: (8152) 40-69-03, факс: 26-17-27

«ChipSet», e-mail: [chipset@interdacom.ru](mailto:chipset@interdacom.ru)

**Волгоград**, ул. Петроградская, д.3. Тел: (8442) 43-13-30

«Мегатрон», e-mail: [3271@mail.ur.ru](mailto:3271@mail.ur.ru)

**Екатеринбург**, ул. Малышева, 90. Тел: (3432) 56-48-36

«Радиоклуб», [rclub137@aspol.ru](mailto:rclub137@aspol.ru)

**Мурманск**, ул. Папанина, д.5. Тел: (8152) 45-62-91

«Дельта», e-mail: [vic@nvkz.kuzbass.net](mailto:vic@nvkz.kuzbass.net), <http://delta-v.chat.ru>

**Новокузнецк**, ул. Воровского, 13. Тел: (3843) 74-59-49

«Радиотехника», e-mail: [wolna@online.sinor.ru](mailto:wolna@online.sinor.ru)

**Новосибирск**, ул.Ленина, д. 48. Тел/факс: (3832) 54-10-23

«Радиодетали», e-mail: [wolna@online.sinor.ru](mailto:wolna@online.sinor.ru)

**Новосибирск**, ул. Геодезическая, д. 17. Тел/факс: (3832) 54-10-23

«Радиомагазин», e-mail: [alex\\_minus@norcom.ru](mailto:alex_minus@norcom.ru)

**Норильск**, ул. Мира, д.1. Тел/факс: (3919) 48-12-04

«Радиотовары», [stavtv@mai.l.ru](mailto:stavtv@mai.l.ru)

**Ставрополь**, ул.Доваторцев, 4а. Тел: (8652) 35-68-24

«Телезапчасти», [koketka@z-com.ru](mailto:koketka@z-com.ru)

**Ставрополь**, пер.Черняховского, 3. Тел: (8652) 24-13-12, факс (8652) 24-23-15

«Радиодетали», [alexasa1@infopac.ru](mailto:alexasa1@infopac.ru)

**Тольятти**, ул.Революционная, 52; бульвар Кулибина, 6. Тел: (8482) 33-96-54

«Электронные компоненты», [impulse@infopac.ru](mailto:impulse@infopac.ru)

**Тольятти**, ул. Дзержинского, 70. Тел:(8482) 32-91-19

«ЭЛКО», [elco@tomsk.ru](mailto:elco@tomsk.ru)

**Томск**, пер. 1905 года, дом 18. Тел:(3822) 20-78-43

«Саша», e-mail: [vissa@sibtel.ru](mailto:vissa@sibtel.ru)

**Тюмень**, ул.Тульская, 11. Тел/факс: (3452) 32-20-04

«Электроника», [bes@diapspro.com](mailto:bes@diapspro.com)

**Уфа**, пр.Октября, 108. Тел: (3472) 33-10-29, 33-11-39

«Радиотовары», e-mail: [chaterina@pisem.net](mailto:chaterina@pisem.net)

**Уссурийск**, ул. Некрасова, д.1. Тел/факс: (42341) 2-00-56

«ТВ Сервис», [tvservice@pop.redcom.ru](mailto:tvservice@pop.redcom.ru)

**Хабаровск**, ул.Шеронова, 75, офф.13. Тел: (4212) 30-43-89





# Видеозахват и сжатие видео – как добиться приемлемого результата

Владимир Болотов, г. Гомель

Стремительный рост быстродействия компьютеров значительно расширил их применение в быту. Теперь, имея компьютер средней производительности и карту видеозахвата, можно самостоятельно производить видеозахват и последующий монтаж видео. Однако на начальном этапе возникает целый ряд проблем, которые если не решить правильно, могут заметно повлиять на конечный результат. Особенно это касается случая оцифровки видео с видеомагнитофона формата VHS. Цель данной статьи помочь всем, кто хочет сохранить свой видеоархив путем перезаписи его на винчестер, последующего его сжатия и сохранения на компакт-диске.

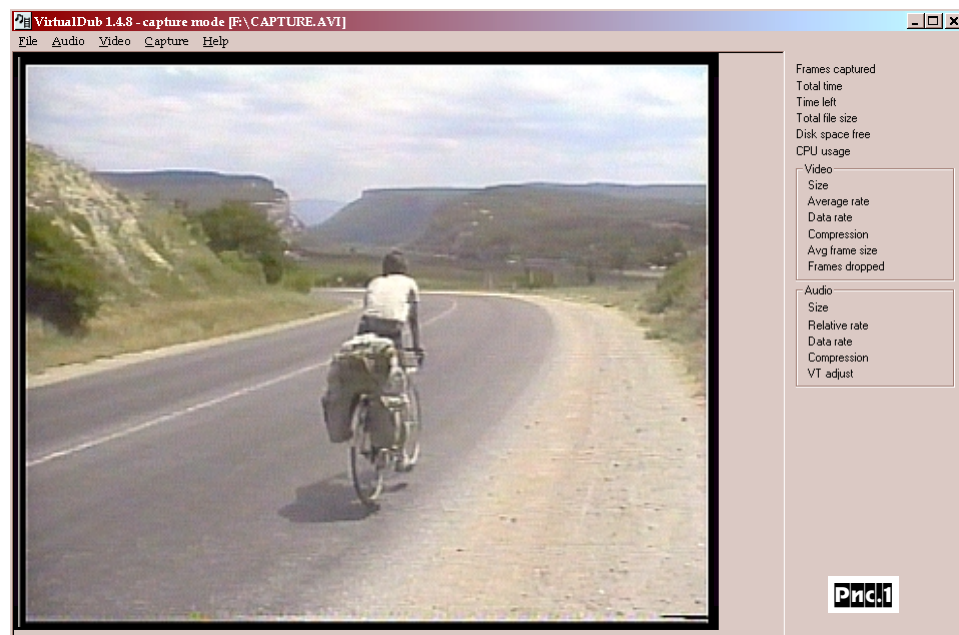
При захвате видео сразу возникает дилемма: с одной стороны нужно максимально сохранить исходное качество, а с другой стороны уместить все на винчестере, имеющем конечный объем. Поэтому при захвате видео нужно применять кодек сжатия, который бы позволил выбрать разумный компромисс. В качестве такого кодека можно использовать **PicVideo mjpeg codec**. Адрес сайта в интернете: <http://jpg.com>. Но поскольку регистрация платная, то лучше поискать его же где-нибудь на [www.divx-digest.com](http://www.divx-digest.com), поскольку ранее он предлагался совершенно бесплатно. В качестве альтернативы можно порекомендовать **RealTime MainConcept Motion-JPEG Codec**, который также показывает хорошие результаты. Итак, будем считать, что кодек установлен. Теперь можно перейти к программам захвата. Их с одной стороны достаточно много, но с другой стороны не все они подходят в каждом конкретном случае. Поэтому из множества программ хочется выделить наиболее известную – **VirtualDub**. Если на компьютере установлена OC Windows 98, то эта программа по части захвата полностью себя оправдает. Взять ее всегда можно с <http://www.virtualdub.org/index>. Программа абсолютно бесплатная. Если же на компьютере установлена OC Windows ME или Windows 2000, XP, то с

VirtualDub могут быть проблемы, т.к. начиная с Windows ME, Microsoft развивает новый интерфейс WDM (вместо ранее использовавшегося Video for Windows). Проблемы будут в случае, если драйвера на карту захвата написаны только с поддержкой WDM интерфейса. VirtualDub просто не найдет устройства захвата. И хотя в Windows ME существует для этого драйвер VFVWDM.dll, специально предназначенный для того, чтобы WDM устройства могли работать через программы, использующие интерфейс VFW, реально это все не всегда работает. Если после установки VirtualDub оказалось, что он не «увидел» Ваше WDM устройство захвата, то попытайтесь проделать нижеследующий «шаманский» эксперимент, кто знает, может повезет. Мне удалось таким способом заставить работать

VirtualDub с устройством захвата ATI WDM Rage Theater (Видеокарта ATI Radeon DDR VIVO) под OC Windows ME. Действие первое – запускаем VirtualDub, переводим его в режим Capture и видим, что он не находит устройств видеозахвата. Закрываем его. Далее мышкой на **Мой компьютер – Панель управления – Система – Устройства** и далее ищем свое WDM устройство захвата (В данном случае это ATI WDM Rage Theater Video). Открываем свойства и ставим «птичку» против надписи «Отключено в данной конфигурации». После этого запускаем VirtualDub и переводим его в режим Capture. Он при этом будет «ругаться», но на это не стоит обращать внимания. Закрываем его и снова идем в **Мой компьютер – Панель управления – Система – Устройства** и далее снимаем «птичку» с надписи «Отключено в данной конфигурации». После этого снова запускаем VirtualDub, переводим его в режим Capture и... если повезло, то должно появиться устройство захвата, именуемое **Microsoft WDM Image Capture**. Если не повезло, то тогда придется использовать другую программу захвата. В качестве альтернативы VirtualDub\_у предлагается программа Ивана Ускова, которая называется **iulab**. Скачать ее можно с сайта [www.iulab.com](http://www.iulab.com). Там же можно найти WDM драйвера для карт захвата на чипах BT848. У программы один «недостаток» – она не бесплатная, точнее скачать ее можно совершенно бесплатно, но за регистрацию нужно заплатить. Но для тестирования можно использовать и незарегистрированную программу. Что можно о ней сказать? Программа очень удобная. Есть масса настроек, можно установить любое разрешение, прекрасно работает как с VFW кодеками, так и с Direct Show кодеками сжатия. Производит захват видео сегментами заданной длины, что позволяет обойти ограничение на длину файла avi, которое равно 2 ГБ. Умеет осуществлять запуск захвата видео по таймеру и

из командной строки. Практически отсутствует пропуск кадров, который не удается избежать, используя VirtualDub. Есть подробное описание на русском языке и главное, что автор постоянно работает над ее усовершенствованием. Хоть автор и рекомендует использовать ее для захвата под управлением OC Windows 2000, но как показала практика, она прекрасно работает и под Windows ME.

Итак, кодек сжатия установлен, программа захвата выбрана и тоже установлена. Теперь необходимо немного настроить компьютер. В первую очередь необходимо установить фиксированный размер файла подкачки, а также дефрагментировать его. Это можно сделать в один прием, если оперативной памяти не менее 128 МБ. Для этого открываем **Панель управления – Система – Быстродействие – Виртуальная память**. В появившемся окне ставим «птичку» против надписи «Не использовать виртуальную память». После этого перегружаем компьютер и дефрагментируем диск, на котором установлена операционная система. После того как программа закончит дефрагментацию, снова открываем окно регулировок параметров использования виртуальной памяти. Снимаем «птичку», поставленную ранее и одновременно указываем «Параметры виртуальной памяти устанавливаются вручную». Далее устанавливаем одинаковый размер для минимума и максимума. Размер этот выбираем где-то на уровне 250-300 МБ. После этого перезагружаем компьютер. Далее необходимо установить другой режим использования виртуальной памяти. Он называется **Conservative Swap File Usage**. Это означает, что операционная система будет использовать файл подкачки только после того как ОЗУ будет полностью занято. Установить этот параметр проще всего, имея программу **Cacheman V4.1** или новее. Взять ее можно по ссылкам с <http://www.outertech.com>. После всех манипуля-



ций производим дефрагментацию диска, на который будет захватываться видео.

Теперь переходим к настройке программы захвата. Если установлен VirtualDub, то запускаем его и переходим в режим **Capture** (рис.1).

Далее по закладкам: открываем **File** и указываем диск, на который будет производиться захват. Затем открываем **Audio** и указываем параметры компрессии звука. Устанавливаем PCM и 44100 16 бит стерео или моно в зависимости от источника звука. Также необходимо в свойствах микшера аудио включить соответствующий вход, на который будет подаваться звук (обычно это **Line In**). Далее открываем закладку **Video**. Если с оверлеем все в порядке, то оставляем «птичку» против **Overlay**. Если не повезло, то придется включить режим **Preview** и уповать на то, что производительности процессора будет достаточно. Далее открываем **Set custom Format**, в появившемся окне (рис.2) ставим «птичку» **Use custom size** и устанавливаем желаемое разрешение.

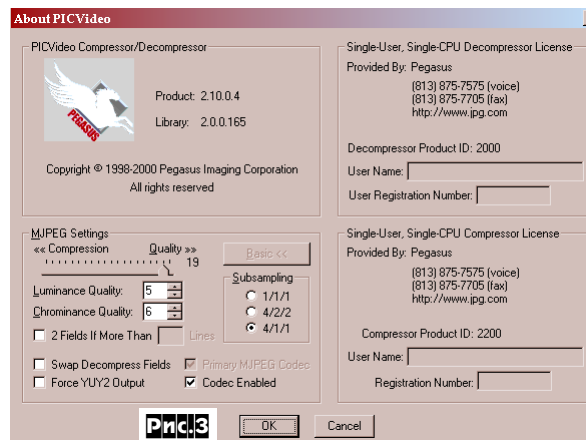
Как показала практика, чтобы получить хорошее качество, достаточно установить разрешение видео 512x576. Здесь следует сделать некоторое отступление. Почему именно 512x576? Очень часто рекомендуется захватывать видео с VHS источника с разрешением не более 384x288. В качестве аргументов обычно говорится о том, что поскольку разрешающая способность VHS стандарта не превышает 250 ТВЛ, то нет смысла делать горизонтальное разрешение более 384. Что касается разрешения по вертикали, то исходя из соблюде-

ния соотношения 4:3, оно должно быть 288. При этом отпадает дополнительная обработка изображения, связанная с преобразованием полей изображения (**deinterlacing**). Но как показали многочисленные эксперименты, если сделать захват с разрешением 720x576, а затем преобразовать его в размер 512x384, то визуально такое видео смотрится лучше, чем изначально захваченное с разрешением 384x288. Также, если предполагается конечный размер видео иметь с разрешением 512x384, нет необходимости делать захват с разрешением по горизонтали большим, чем 512, т.к. любое преобразование (с 720 до 512) вряд ли положительно скажется на конечной разрешающей способности. Что касается преобразования с 576 до 384, то это больше необходимость соблюдения пропорций видео (4:3).

Итак, возвращаемся к настройкам VirtualDub\_a. Не нужно бояться, что видео получится квадратным (512x576) - после последующего преобразования до 512x384 (при окончательном сжатии) все станет на свое место. Далее открываем **Compression** и выбираем компрессор видео. Если кодек

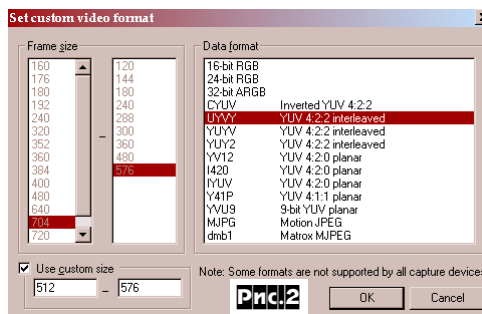
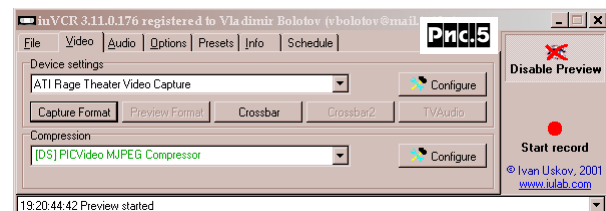
видео установлен, то он будет виден в открывающемся окне.

Выбираем **PicVideo mjpeg codec** и нажимаем на **Configure**. В открывшемся окне (рис.3) устанавливаем ползунок качества сжатия на отметку 19, снимаем все «птички» кроме **Codec Enabled. Subsampling** устанавливаем 4/2/2, хотя можно поставить



и это не помогает, значит производительности процессора просто не хватает. В этом случае нужно либо менять процессор на более мощный, либо снижать разрешение захватываемого видео, например установив его равным 384x288.

Если предполагается использовать iuVCR (рис.5), то особых трудностей с этой программой не возникнет, т.к. к ней существует подробный Help на русском языке и интерфейс интуитивно понятен.



и 4/1/1. Как показали эксперименты для видео VHS качества вполне достаточно и 4/1/1, что несколько снижает битрейт и сэкономит немного места на винчестере. Закрываем окно настроек кодека видео и закрываем закладку **Video** и переходим

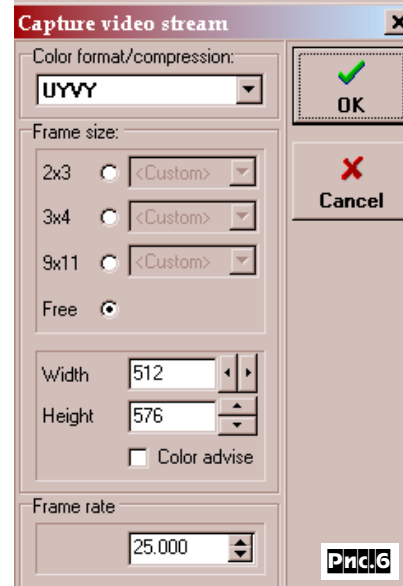
к закладке **Capture**.

Открываем **Setting**, в открывшемся окне ставим «птичку» против

**Capture audio** и указываем **Frame rate** равным 25 к/с. Более можно ничего не трогать. Открываем **Capture drives**. В колонке **Path** указываем диск, на который будет производиться захват, и далее внизу вводим два числа. Одно означает минимальный размер файла, его можно установить равным 10 МБ.

Второе число означает максимальный размер файла, т.е. после превышения которого будет автоматически создаваться следующий файл видео. Устанавливаем его равным 1900 МБ. Нажимаем **OK**. Затем открываем **Preferences**. Там можно установить «птички» против всех параметров, начинающихся со слова **Save**. Закрываем **Preferences**. На закладке **Capture** указываем **Enable multisegment Capture**. Далее нажимаем клавишу **F6** для старта. Должен начаться видеозахват. При этом справа в виде чисел будет отображаться процесс захвата видео. Если параметр **CPU Usage** держится на уровне около 100% и при этом происходит пропуск кадров, то необходимо обратить внимание на ряд факторов. В первую очередь необходимо проверить,ключен ли режим **DMA** для винчестера (**Панель управления – Система – Устройства – Дисковые накопители – Свойства**). Если DMA не включен, то это необходимо сделать. Далее можно поэкспериментировать с размером буфера, создаваемого VirtualDub\_ом. Для этого открываем **Capture** и далее **Disc I/O**.

В появившемся окне (рис.4) указываем **Disable Windows write buffering** и пробуем захват с другим размером буфера. Если

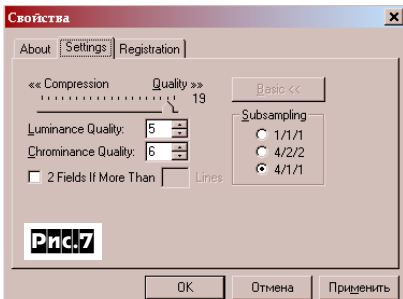


Устанавливаем разрешение видео и фреймрейт (рис.6), выбираем кодек сжатия и устанавливаем параметры сжатия (рис.7).

Затем устанавливаем параметры аудио (рис.8-10).

Далее устанавливаем максимальный размер файла видео (рис.11).

При превышении этого размера автоматически будет создаваться новый файл и таким образом видео не будет прерываться. Также указываем диск, куда будет записываться видео, и указываем желаемое имя файла.



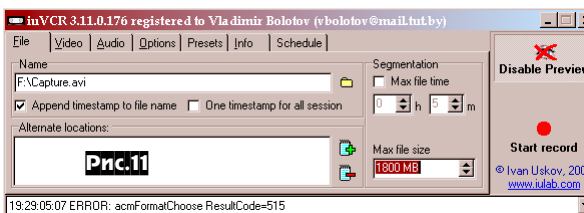
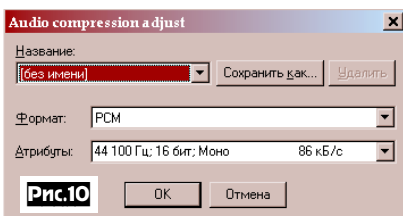
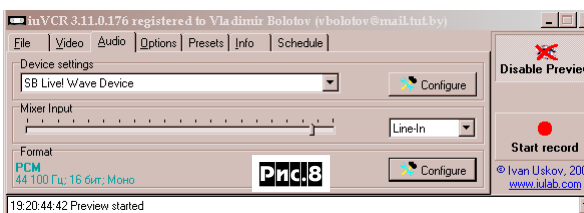
матально прочитать **Help** касательно вопросов синхронизации звука и изображения и после этого путем эксперимента выбрать подходящую опцию.

Когда все настройки сделаны, нажимаем кнопку **Start record**. Видеозахват начался. Автоматически открывается закладка **Info** (рис. 13) с отображением процесса захвата. При этом в окне справа внизу будет графически отображаться загрузка процессора.

Итак, в результате мы должны получить один или несколько файлов avi. Что с ними делать дальше? Если предполагается дальнейший монтаж с наложением титров, переходов и эффектов, то это лучше сделать в специализированном

редакторе Adobe Premiere. Если же весь монтаж заключается лишь в том, что из исходного видео вырезаются ненужные эпизоды, то это можно сделать и при помощи VirtualDub. Опустим подробности монтажа и перейдем далее к заключительному этапу – окончательному сжатию видео. Для этого хорошо подходит VirtualDub, но и для любителей монтажа в Adobe Premiere тоже есть способ, когда монтировать можно в Adobe Premiere, а сжимать в VirtualDub. Это возможность реализуется при помощи программы **Avisynth**. Но об этом позже. А сейчас пару слов о кодеках сжатия. Как показал опыт, видео, оцифрованное с VHS источника, не очень хорошо смотрится, если его сжать кодеком DivX (любой версии). Все-таки VHS – это достаточно «шумное» видео, т.е. соотношение сигнал/шум невысокое. В результате большая часть битрейта расходуется на сжатие шумов, и в результате битрейта оказывается недостаточно для качественного сжатия. Так, например, при одинаковом битрейте фильмы, пережатые с DVD, могут смотреться очень хорошо, а видео с VHS магнитофона будет смотреться про-

сто ужасно. Можно конечно увеличить битрейт, но тогда теряется все преимущество DivX. Где же выход? А выход в том, что для сжатия VHS видео лучше вообще воздержаться от применения DivX. К счастью фирма On2 Technologies выпустила кодек, который подходит для этого почти идеально. Этот кодек называется **vp3**. Распространяется он совершенно бесплатно. Взять его можно из интернета по адресу [www.vp3.com](http://www.vp3.com). В настоящий момент доступна для скачивания версия 3.2.4.0. При одинаковом битрейте он обеспечивает лучшее качество видео по сравнению с кодеком **DivX**. Из отрицательных моментов можно выделить лишь чуть меньшую четкость картинки, что несущим



Затем открываем панель **Options** и устанавливаем параметры согласно рис. 12.

Несколько слов по поводу синхронизации аудио и видео. Как показала практика, установка **Master Stream** (Audio или Video) синхронизирует звук с изображением лишь при захвате видео. Но после монтажа и окончательного сжатия проблема сохранения синхронности может только усугубиться. Поэтому рекомендуется вни-

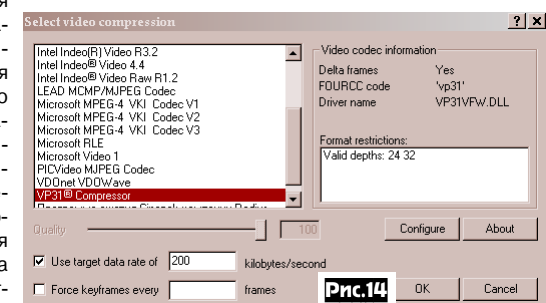
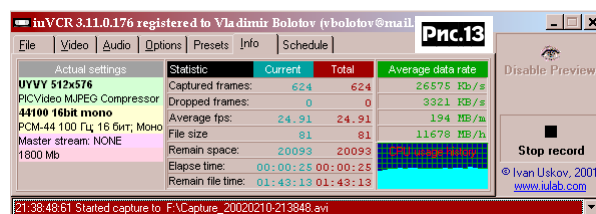
мание прочитать **Help** касательно вопросов синхронизации звука и изображения и после этого путем эксперимента выбрать подходящую опцию.

Когда все настройки сделаны, нажимаем кнопку **Start record**. Видеозахват начался. Автоматически открывается закладка **Info** (рис. 13) с отображением процесса захвата. При этом в окне справа внизу будет графически отображаться загрузка процессора.

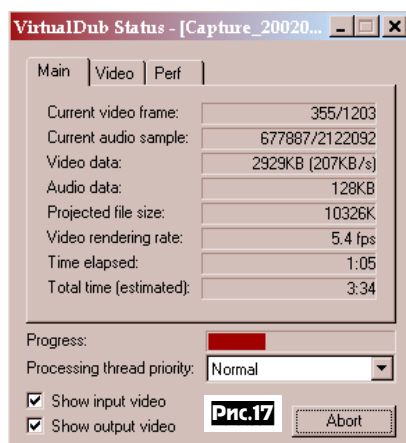
Итак, в результате мы должны получить один или несколько файлов avi. Что с ними делать дальше? Если предполагается дальнейший монтаж с наложением титров, переходов и эффектов, то это лучше сделать в специализированном

редакторе Adobe Premiere. Если же весь монтаж заключается лишь в том, что из исходного видео вырезаются ненужные эпизоды, то это можно сделать и при помощи VirtualDub. Опустим подробности монтажа и перейдем далее к заключительному этапу – окончательному сжатию видео. Для этого хорошо подходит VirtualDub, но и для любителей монтажа в Adobe Premiere тоже есть способ, когда монтировать можно в Adobe Premiere, а сжимать в VirtualDub. Это возможность реализуется при помощи программы **Avisynth**. Но об этом позже. А сейчас пару слов о кодеках сжатия. Как показал опыт, видео, оцифрованное с VHS источника, не очень хорошо смотрится, если его сжать кодеком DivX (любой версии). Все-таки VHS – это достаточно «шумное» видео, т.е. соотношение сигнал/шум невысокое. В результате большая часть битрейта расходуется на сжатие шумов, и в результате битрейта оказывается недостаточно для качественного сжатия. Так, например, при одинаковом битрейте фильмы, пережатые с DVD, могут смотреться очень хорошо, а видео с VHS магнитофона будет смотреться про-

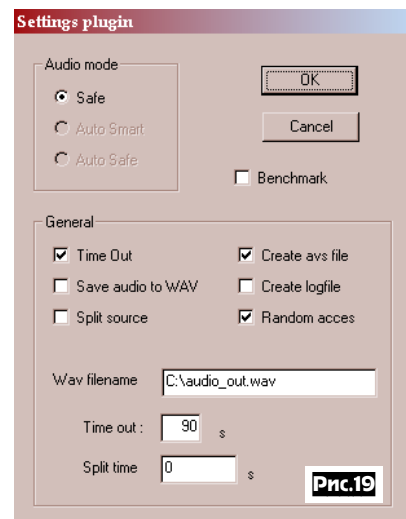
сто ужасно. Можно конечно увеличить битрейт, но тогда теряется все преимущество DivX. Где же выход? А выход в том, что для сжатия VHS видео лучше вообще воздержаться от применения DivX. К счастью фирма On2 Technologies выпустила кодек, который подходит для этого почти идеально. Этот кодек называется **vp3**. Распространяется он совершенно бесплатно. Взять его можно из интернета по адресу [www.vp3.com](http://www.vp3.com). В настоящий момент доступна для скачивания версия 3.2.4.0. При одинаковом битрейте он обеспечивает лучшее качество видео по сравнению с кодеком **DivX**. Из отрицательных моментов можно выделить лишь чуть меньшую четкость картинки, что несущим



Можно использовать настройки по умолчанию. Снятие флашка с опции **Quick Compress** несколько замедлит сжатие с некоторым улучшением качества. Правда, разница в качестве едва заметна, и в ряде случаев этим можно пожертвовать, сократив время кодирования почти вдвое. Что касается параметра **Lowest Allowed Quality**, то нужно немного поэкспериментировать с различными значениями, чтобы выбрать лучший вариант. Необходимо учесть, что при уменьшении значения (увеличении качества) битрейт будет превышать установленный ранее, особенно в динамичных сценах. Поэтому здесь важно выбрать разумный компромисс. Установка **Sharpness** в **Smooth** несколько улучшит картинку при сжатии слегка зашумленного изображения. Что касается установок минимального и максимального интервала между ключевыми кадрами, то делать слишком малый интервал (например, 1 сек) не стоит, т.к. в результате это будет заметно на полученном видео в виде периодических изменений качества, особенно на медленных и неподвижных сценах. Для начала лучше оставить эти установки по умолчанию. Что касается установки порога чувствительности для автоматической записи ключевых кадров, то для видео, содержащего много динамичных сцен, этот порог желательно понизить, что улучшит их качество. На этом с установками видео закончим. Перед закрытием закладки **Video** важно не забыть установить **Full processing mode**. Далее переходим к настройкам **Audio**. Чтобы выбор компрессоров звука стал доступен, необходимо в там установить **Full processing mode**. После этого выбираем (рис. 16) кодек **MPEG Layer-3** или аналогичный, и устанавливаляем параметры сжатия звука.

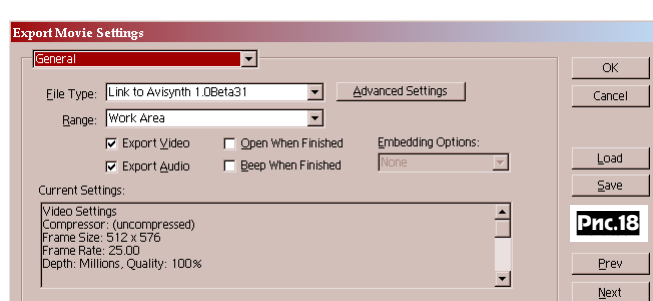
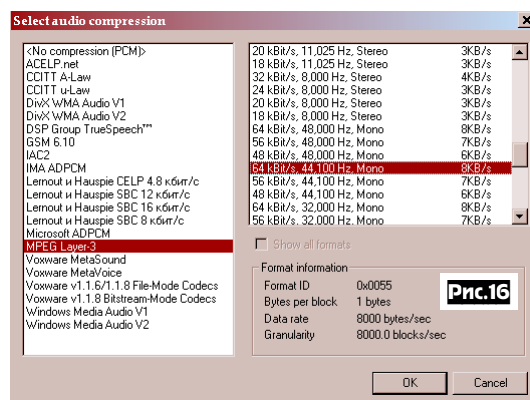


[www.videotools.net](http://www.videotools.net). К сожалению, в полной мере удалось заставить работать только версию 1.0 Beta 31, поэтому желательно попытаться найти именно эту версию. Если на домашней странице Avisynth ее не окажется, то можно попытаться найти ее по ссылкам с [www.divx-digest.com](http://www.divx-digest.com). Установка ее проста, нужно распаковать архив, затем переименовать файл **Cm-avisynth.cm.flask** в **Cm-avisynth.cm.prm** и скопировать его в директорию **Plugin**, находящуюся в папке **Adobe Premiere**. После этого необходимо скопировать файл **avisynth.dll** в директорию **Windows/system** и затем дважды щелкнуть мышкой по файлу **install.reg**. Далее опустим по понятным причинам описание монтажа видео в Adobe Premiere и сконцентрируемся на процессе фреймсервинга в VirtualDub. В Adobe Premiere выбираем **File – Export Timeline – Movie**. Затем в качестве имени файла указываем **part.avs** и нажимаем **Setting**.



Windows Media Player 6.4. Если все прошло нормально, то медиаплеер должен начать воспроизведение видео, экспортируемого из Adobe Premiere. Далее можно прекратить воспроизведение и открыть файл **part.avs** из VirtualDub. Видео должно воспроизводиться. Все дальнейшие настройки VirtualDub\_a полностью соответствуют вышеописанным.

Теперь несколько слов о расчете предполагаемых размеров файла. Он довольно прост. Допустим, предполагается записать 1 час видео на болванку 700 МБ. Необходимо посчитать, какой максимальный битрейт при этом можно использовать. Первым делом переводим емкость болванки в КБ:  $700 \times 1024 = 716800$  КБ. Далее делим полученное число на 3600 (1 час).  $716800 /$



Далее закрываем окно настроек кодека звука, нажимаем F7 (или выбираем **File – Save as avi**), и указываем желаемое имя файла. После этого начнется процесс компрессии, который будет отображаться либо в виде цифр, либо в виде графика (рис. 17).

По окончании мы получаем готовый файл видео.

Теперь несколько слов для тех, кто хотел бы не просто оцифровывать и сжимать видео, но и производить его монтаж. Для монтажа существует достаточно много различных программ, но в данном случае рассмотрим случай, когда необходимо монтировать, используя для этого Adobe Premiere, а окончательное сжатие видео и аудио осуществлять, используя VirtualDub. Как уже говорилось выше, для этого существует программа фреймсервер **Avisynth**. Скачать ее можно отсюда:

В появившемся окне (рис. 18) в качестве **File Type** выбираем **Link to Avisynth 1.0Beta31**.

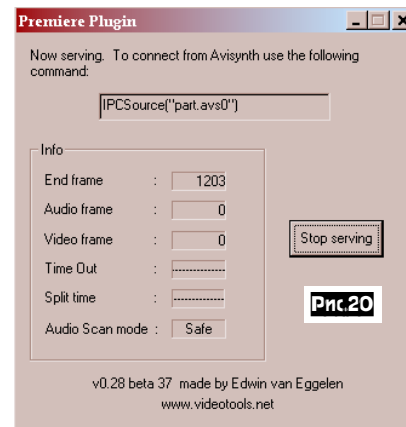
Далее нажимаем **Advanced Settings** и делаем соответствующие (рис. 19) установки.

После этого нажимаем ОК и указываем разрешение видео (его нужно оставить таким, каким оно было в редактируемом файле), а также указываем параметры аудио (их тоже нужно указать идентичными редактируемому файлу). После этого закрываем все установки и в окне **Export movie** нажимаем кнопку **Сохранить**. В результате откроется соответствующее окно (рис. 20) свойств фреймсервера.

Далее необходимо, ничего не закрывая, создать текстовый файл с названием **part.txt** и любым редактором (блокнотом, например) написать в нем одну строчку:

**IPCSOURCE("part.avs")**

После этого закрываем блокнот и меняем расширение файла на **avs**. Затем открываем файл **part.avs** при помощи



3600=199,1. В результате получаем суммарный битрейт видео и аудио: 199 (окончание на с. 54)

# ИЗМЕРЕНИЯ

## АКУСТИЧЕСКАЯ ЛАБОРАТОРИЯ

### аудиофилы-радиолюбителя

Илья Петрухин, г. Северодонецк

В этом цикле статей будет описан один из возможных вариантов построения метрологически корректного акустического измерительного комплекса своими руками при разумных затратах времени и средств. С его помощью можно корректно выполнить сквозной процесс расчёта, изготовления акустических систем (АС) и контроля их параметров.

Много радиолюбителей и просто меломанов стремятся получить качественный звук за разумные деньги. Большинство начинает с постройки собственной АС. Этот путь позволяет проще всего добиться улучшения звучания с минимальными затратами. Однако, повторение уже готовых конструкций скорее всего разочарует мастера, так как все головки громкоговорителей

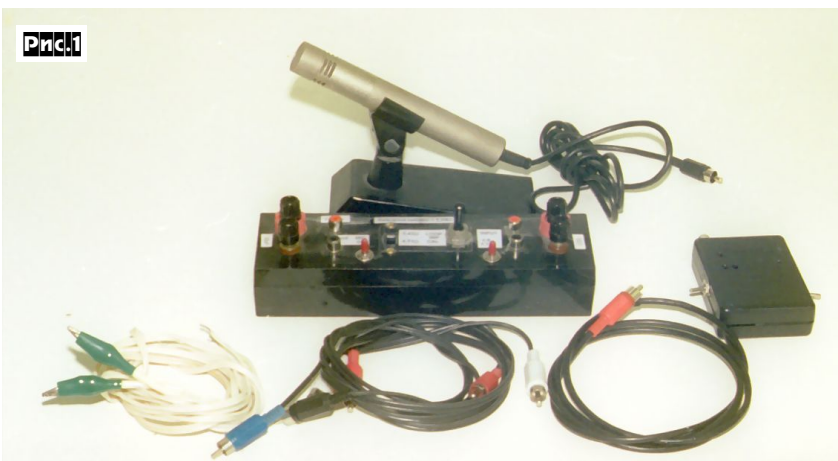
Особо отмечу: программа имеет нестандартный интерфейс, освоить который не просто (бесплатная программа, что есть). Поэтому привожу детальное описание работы. Также совет: чаще сохраняйте результаты. Остальные хитрости опишу в процессе работы.

Эта программа использует звуковую карту ПК как генератор белого шума и анали-

А.И.Шихатов (Железный Шихман) представлена на **рис. 2**. Настоятельно рекомендую не делать упрощённого варианта, иначе вы лишитесь замечательных дополнительных возможностей. Балластный резистор R1 номиналом от 5 до 10 Ом нужен мощностью не менее 10 Вт, чтобы работать с мощными ГГ. Его, а также два образцовых сопротивления (R2 и R3), необходимо измерить с максимальной точностью - до 0,1 Ома. Желательно уже в схеме. Номиналы образцовых резисторов должны быть около 5 и 10 Ом. Я использовал источник питания и два цифровых авометра: измерял ток и падение напряжения, а затем вычислял сопротивление. Запишите на листочек и сохраните результаты измерений. Вид готовой «коробочки» изнутри представлен на **рис. 3**.

Как показали опыты, сильное влияние на точность измерения оказывает соединение цепей «земли», особенно петли общего провода при подключении внешнего усилителя. Для устранения этого на линейный вход звуковой карты подключена схема дифференциального буферного каскада, не имеющая непосредственной связи с «землёй» компьютера (**рис. 4а**).

Многие звуковые карты не имеют достаточно мощного усилителя, поэтому к линейному выходу подключён усилитель на микросхеме TDA2005. Схема его стандартна, только переходные конденсаторы увеличены для понижения минимальной рабочей частоты ниже 10 Гц (**рис. 4б**). Регуляторы выходного и входного уровня позво-



(ГГ) индивидуальны, а конструкция сложной АС очень критична к параметрам ГГ. Также очень сложно объективно оценить качественные параметры АС, не имея доступа к безэховой измерительной камере. Однако теперь существует способ заполнить этот пробел.

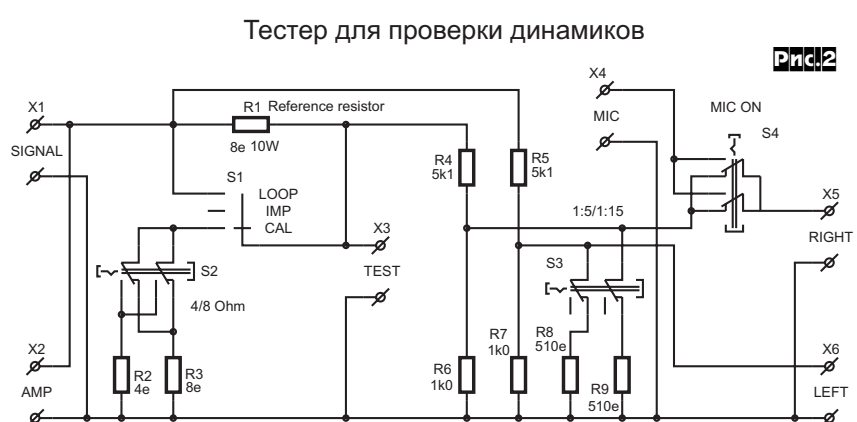
Для построения собственной акустической лаборатории требуется: персональный компьютер, доступ в интернет (временно), умение изготовить пару несложных схем, любой микрофон с известной АЧХ (с паспортом), около пяти вечеров свободного времени, знание английского языка для работы с программой. Всё необходимое представлено на **рис. 1**.

Итак, у нас есть желание изготовить акустическую систему, пара динамиков (для примера 75ГДН-1-4). Начинаем.

Параметры ГГ, необходимые для расчёта АС, называются **параметрами Тиля-Смolla (ТС)**, по имени инженеров, введших их в употребление. Главные из них - резонансная частота подвижной системы ( $f_s$ ); механическая, электрическая и полная добротность ( $Q_m, Q_e, Q_t$ ); эквивалентный объём воздуха ( $V_a$ ). Измерять их вручную тяжело и долго.

Для этой цели подойдёт прекрасная программа **Speaker Workshop** (SW) от фирмы AUDUA, до сих пор бесплатно доступная по адресу: <http://www.audua.com>

С неё и начнем. Пока загрузится программа, посмотрите на счётчик умных людей, нашедших до вас эту страницу. При моём последнем посещении там было около 25000!



затор спектра. Для этого подойдут только звуковые карты, поддерживающие дуплексный режим.

То есть, необходимо одновременно генерировать сигнал и записывать его. Также требуется изготовить «коробочку» для проведения измерений, и рекомендуется изготовить буфер, чтобы случайно не «спалить» звуковую карту.

Схема Jig, «коробочки», как назвал её

Тестер для проверки динамиков

Рис. 2

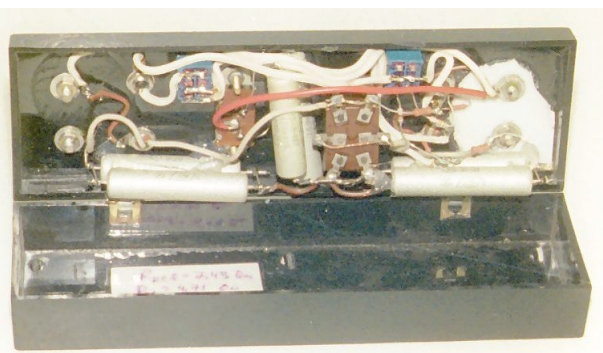


Рис. 3

### Буфер линейного входа

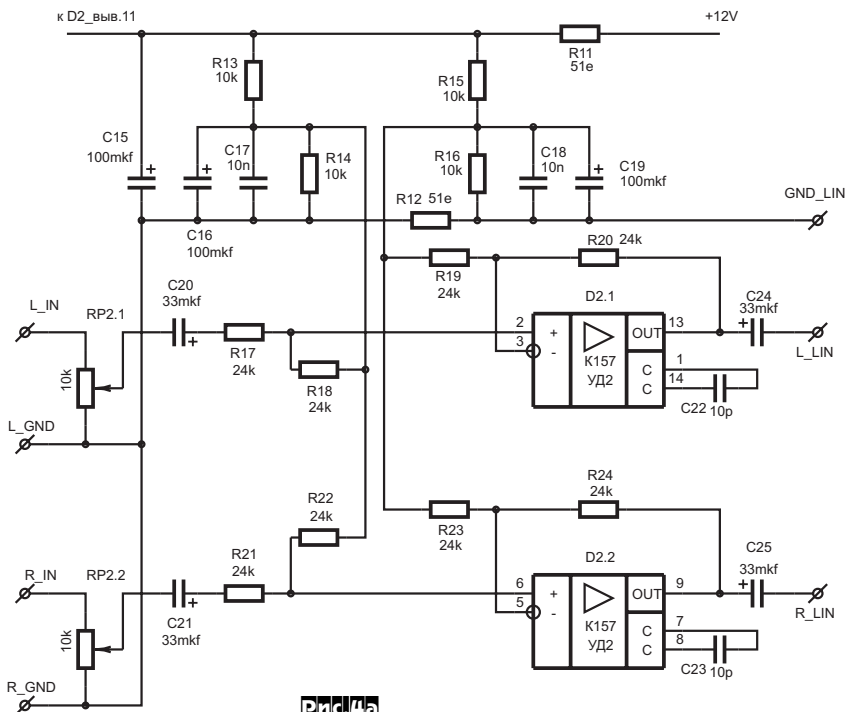


Рис.4а

### Усилитель акустических систем

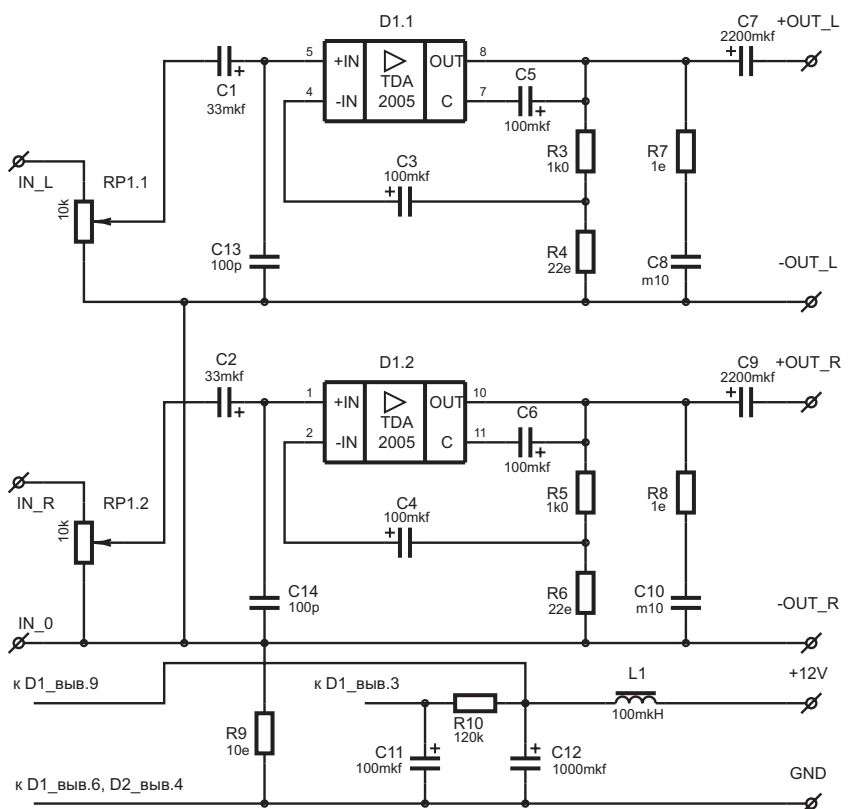


Рис.4б

ляют оперативно изменять громкость и чувствительность. Плата «буфера» расположена внутри компьютера и подключена к свободному разъёму питания дисковода. На заглушку дискового отсека вынесены разъемы и регуляторы (рис.5).

Итак, «коробочка» и буфер спаяны, подключены, программа SW установлена. Начинаем.

**При первом запуске** программы тестируем звуковую карту на совместимость: Меню Options/Wizard/Check sound card. В трёх окошках должны появиться сообщения «Fully Compatible». Поздравляю, у вас всё в порядке.

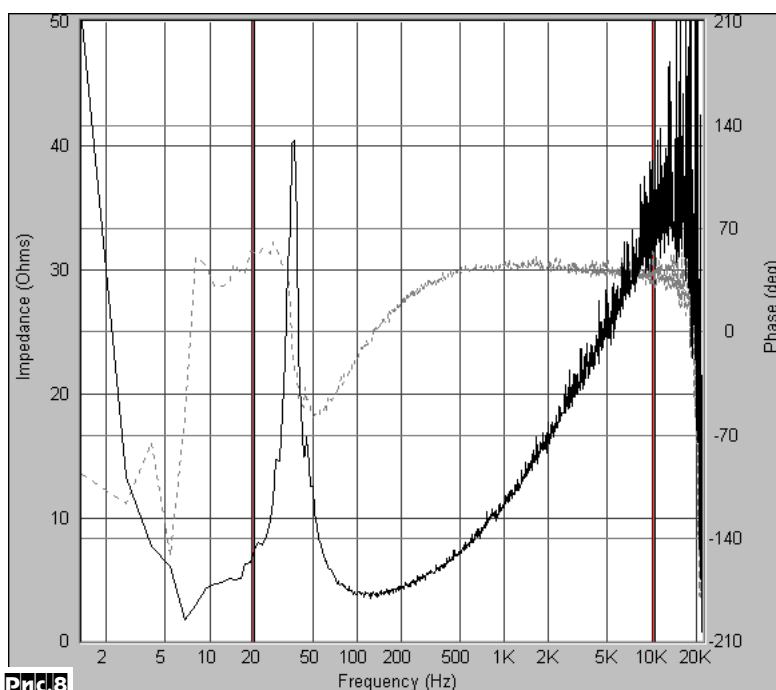
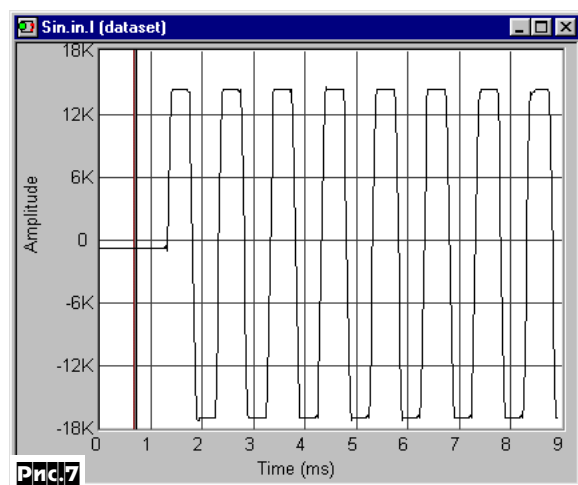
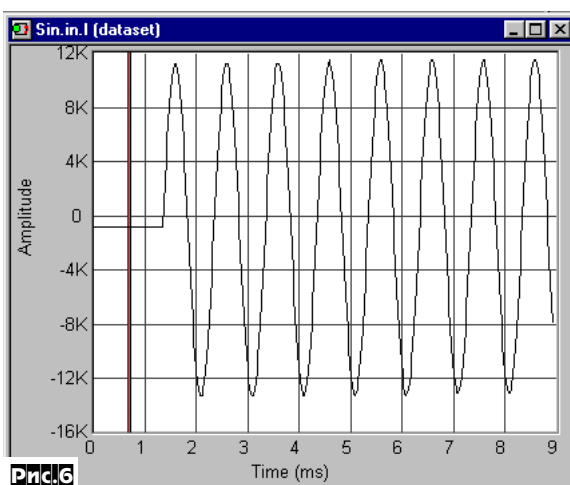
Устанавливаем входы-выходы звуковой карты: на панели задач дважды кликнем на значке регулятора громкости, выключаем все источники сигнала кроме «Wave», все регуляторы тембра ставим на «0», выключаем дополнительные эффекты (у кого какие). Выключать дополнительные неиспользуемые входы и выходы необходимо, так как это уменьшает и без того не маленький шум звуковой карты, и повышает точность измерений. Регуляторы громкости - на максимум. В меню Параметры/свойства/ ставим галочку «запись», переходим на источники записи сигналов, оставляем включенным только «Line-in». Регулятор уровня записи - тоже на максимум.

Устанавливаем параметры SW. Открываем меню установки: Options/Preferences, закладка «Measurements». Sample rate = 44100, Sample Size = 32768, I/O volume = 100, MLS установить галочку на «Use preemphasis». На закладке «Acoustics» выбираем Microphone - right, reference - left. На закладке «General» выбираем единицы измерения - metric, ставим галочки напротив «Single Click Open Resource», и, если у вас звуковая карта от Creative, то отмечаем «48kHz Sample Rate Checking». Закладку «Impedance» оставим на закуску.

Перед началом измерения необходимо **откалибровать программу**. В начале необходимо добиться отсутствия ограничения выходного и входного сигнала. Для этого создаем тестовый сигнал: кликнем правой кнопкой мыши на дереве проекта (левая половина окна программы SW) и выберем New/Signal. Введём имя сигнала, например «SIN». На дереве проекта появится значок сигнала. На нём кликнем правой кнопкой мыши. Выбираем «Properties». На окне параметров выбираем закладку «General», тип сигнала - Sine, частоту дискретизации = 44100; на закладке «Sine» выбираем частоту 1000 Гц. Тестовый сигнал готов.

Выделяем полученный сигнал и в меню Sound/Record выбираем: Volume = 100, Channels = Both, Input Calibration = Left, Data = Right. Устанавливаем время воспроизведения Time Play = 0,02 с; время записи Time Record = 0,01 с.

Подключаем коробочку, выход усилителя к разъёму «SIGNAL», входы звуковой карты к гнёздам «INPUT». Переключатели режимов: S4 - микрофон выключен, делитель S3 в положение 1:5, тройной переключатель S1 в положение «LOOP». Записываем сигнал. В дереве проектов появятся записи левого и правого каналов «Sin.in.l» и «Sin.in.r». На них должно быть около десяти периодов синусоиды амплитудой от 8к до 20к, не имеющей ограничений на пиках сигнала (рис.6). Если есть ограничения (рис.7), следует уменьшить громкость, если амплитуда выше



25к, уменьшите чувствительность входа. Повторим несколько раз, добиваясь нужного результата.

Теперь откалибуем нашу «коробочку». Переключатель режимов S1 в положение «LOOP». Выбираем меню Options/

Calibrate. Проверим разницу усиления каналов. Channel Difference/Test. Каналы звуковой карты запараллелены, следуйте инструкциям. Получите в окошке отклик «Measurement.Calib». АЧХ микрофона не трогаем: для этого необходим генератор

акустического белого шума и безэховая камера. В будущем я покажу вам, как это обойти. Не меняя положения регуляторов, исследуем импульсную характеристику усилителя: Amplifier Reference Response / Test. Получим «Measurement.Pulse».

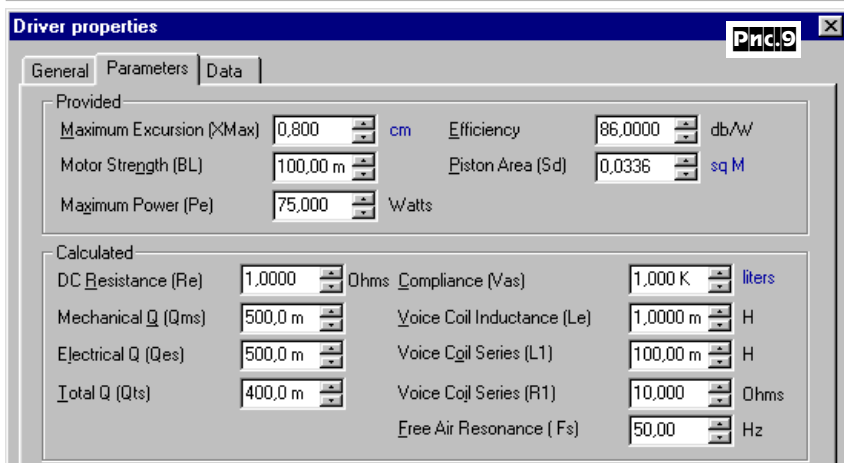
Вот теперь то нам и нужны записанные результаты измерений образцовых резисторов! Открываем меню Options/Preference, закладку «Impedance». В окошке «Reference resistor» вносим сопротивление балластного резистора R1. «Series resistance» (сопротивление проводов) заполняем произвольно, например, 0,2 Ом. Будем измерять образцовые сопротивления! Переключатель режимов «коробочки» S1 в положение «CAL». Кликаем на кнопке «Test». Далее проводим два измерения: вносим значения образцовых сопротивлений, переключая их с помощью S2. Программа выдаст предполагаемые значения

балластного сопротивления и сопротивления проводов. Полное несоответствие может иметь место: вы просто поменяйте местами разъёмы правого и левого каналов линейного входа на «коробочке» и повторите калибровку. Вот здесь могут быть проблемы из-за плохой «земли»! Сопротивление проводов обычно около 0,2-0,5 Ом, Измеренное значение калибровочного сопротивления не должно отличаться больше, чем на 0,2 Ом от измеренного. Всё в порядке?

Теперь мы готовы что - нибудь измерять. Переключим S1 в положение «IMP» (импеданс). К зажимам «TEST» подключим, например, конденсатор ёмкостью от 10 до 100 мкФ. Выделим мышкой наш тестовый сигнал и проведём измерение: меню Measure/Passive component. Недолго подумав, компьютер выдаст вам результат. Есть что-то волшебное в том, что он сам определит тип пассивного элемента и выдаст нам его характеристики!

Мы узнаем о нашем динамике все!

К зажимам TEST подключим наш динамик. Кликнув правой кнопкой мыши на дереве сигналов, создадим новый драйвер New/Driver, назовем его, например, «75GDN-1». Выделим новый драйвер на панели сигналов, измерим его импеданс: меню Measure/Impedance. Полученный график «75GDN-1.Impedance» имеет примерный вид как на **рис.8**. Если масштаб слишком мелкий, кликните на графике правой кнопкой мыши, выберите «Chart Properties», закладка «Y-axis» поможет вам выбрать пределы шкалы. Одно такое измерение вручную занимает полчаса, а мы получили этот гра-



фик за 10 секунд!

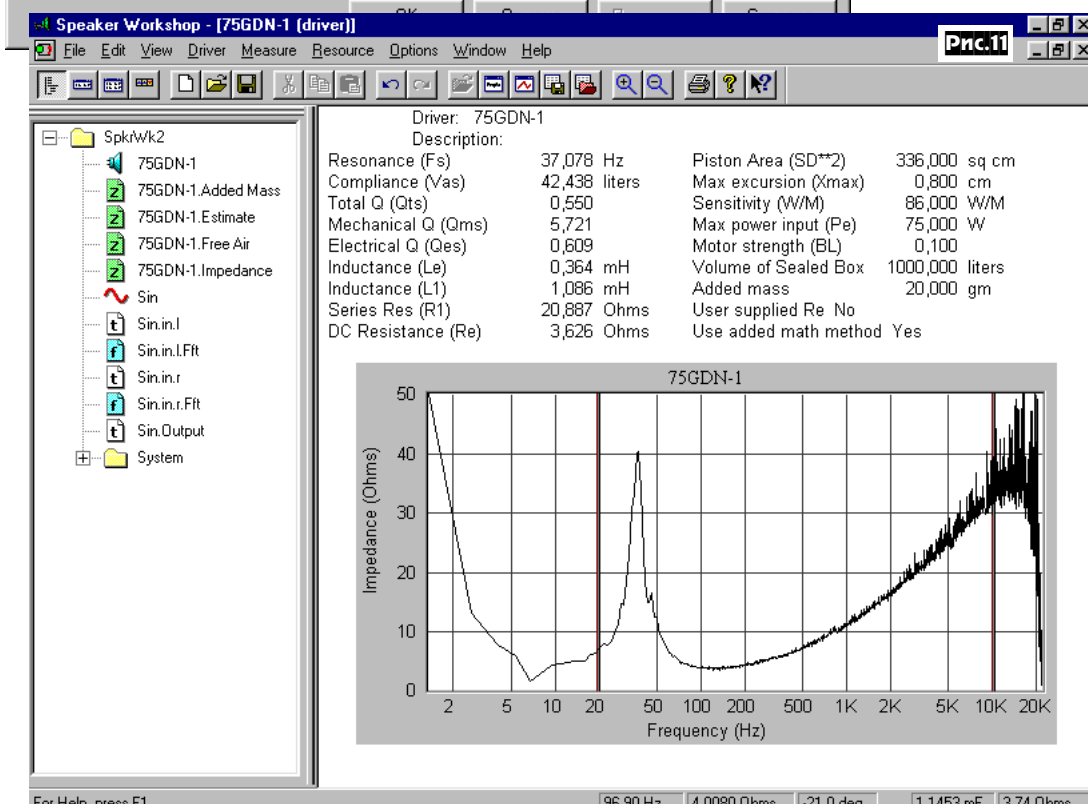
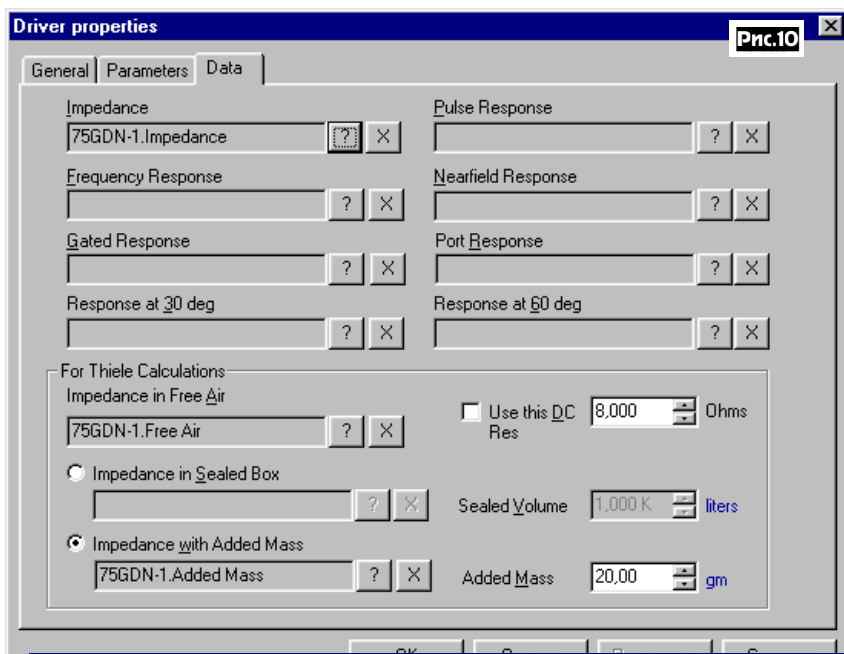
Далее, измеряем характеристику сопротивления динамика в открытом пространстве: Measure / Impedance in free air. Затем прикрепляем к диффузору громкоговорителя несколько грузиков известной массы (всего до 5-50 гр. в зависимости от размера динамика, в данном случае 20 гр.). Я использовал свинцовые грузики на двухстороннем скотче. Измеряем характеристику с добавочным грузом: Measure / Impedance with added mass. Здесь могут быть проблемы. Непрочный диффузор вместе с грузиками может образовать дополнительный резонанс на Z-характеристике в районе 300-1000Гц. Это не даст программе правильно определить параметры динамика. УстраниТЬ это можно, прикрепляя грузики ближе к катушке и располагая их симметрично. В результате добавления грузиков частота пика резонансной характеристики должна понизиться на 15-25%. Кликнем правой кнопкой мышки на значке динамика, выбираем «Properties», заполняем параметры динамика в верхней рамке (**рис.9**). Максимальное смещение диффузора измеряется только в одну сторону от нейтрального положения! Площадь диффузора меряется посередине гофра.

Переходим на закладку «Data». Строки «Impedance», «Impedance in free air» заполнены. Отмечаем строку «Impedance with added mass» и записываем массу прикреплённого груза (**рис.10**). Выходим из этого окна. Снова (в который раз) выделяем наш динамик, и запоминаем корректное значение нижней частоты ниже резонансного пика (обычно 20 Гц), а также верхнее значение до завала характеристики (около 5 кГц). Эти частоты можно отметить красными вертикальными линиями - маркерами, перетаскивая их мышью.

Затем выбираем меню Driver / Estimate parameters и устанавливаем границы исследования Z - характеристики. После недолгой паузы появится график «75GDN-1.estimate», и компьютер заполнит таблицу параметров нашего динамика (**рис.11**).

Всё это занимает около 5 минут (калибровать-то нужно один раз) вместо 2-х часов ручной работы!

Для сравнения корректности полученных параметров сравним измеренное значение с расчётным. Выделим график «75GDN-1. impedance», кликнем правой кнопкой мыши на графике, выберем пункт «Add...», в окне выберем рассчитанный график «75GDN-1.estimate». Вот что получилось (**рис.12**). Совпадение отличное! Молодцы разработчики программы!



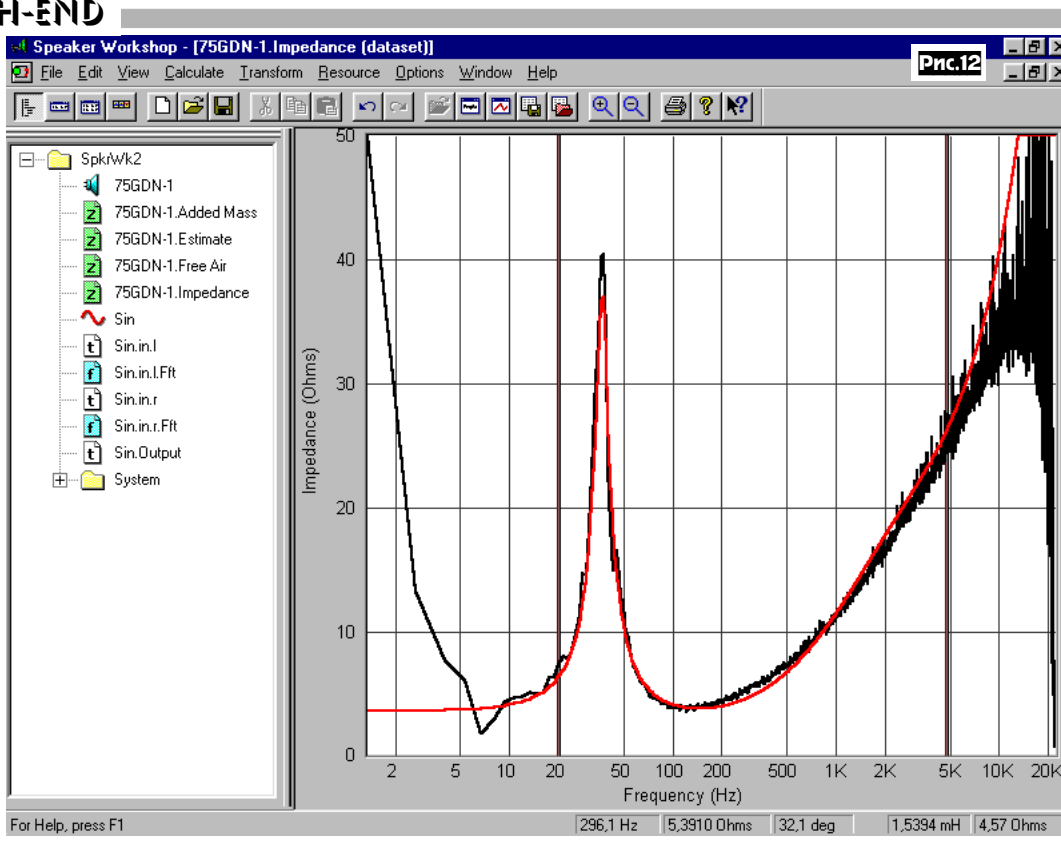
# AUDIO HIGH-END

Главными параметрами головки громкоговорителя являются резонансная частота, полная добротность, эквивалентный объём. Эти заветные три цифры необходимы как воздух для любой программы расчета АС.

Если вы думаете, что это всё, то глубоко ошибаетесь! **Это только начало.** Speaker Workshop умеет еще очень много полезного. Об этом далее.

(Продолжение следует)

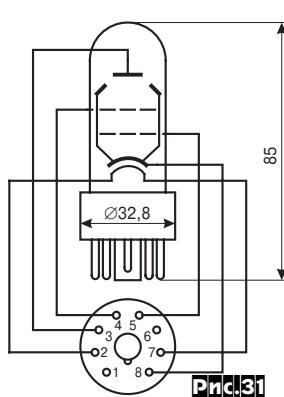
**Ссылки**  
 1. Speaker Workshop Version 1.05. (c) 1996-2001 Audia incorporated. <http://www.audia.com>  
 2. Speaker WorkshopTM «Home Theater Project».  
 3. Шихатов А.И. «Концертный зал на колесах». М.: ДМК Пресс, 2000.



## Ламповый калейдоскоп

(Продолжение. Начало см. «РХ» №2, 3, 4, 6/2001, 1/2002)

**6П6С - лучевой тетрод** со стеклянным баллоном диаметром более 22,5 мм и октальным восьмистырковым цоколем типа РШ-5-1. Габаритный чертеж и схема соединений электродов лампы с внешними выводами показаны на **рис.31**.



450 мА; анод 250\350 В, 45\100 мА, 13,2 Вт (ном. пред.); экранная сетка 250\310 В, 7,5 мА, 3,2 Вт; крутизна 4,1 мА/В, внутреннее сопротивление 52 кОм, выходная емкость 3,8...9,2 пФ. Аналоги: 6V6GT, 6AV5, 6P11P, EL90, 6AQ5, 6L31, 7184.

Пример практической реализации усилителя звуковой частоты с **однотактным оконечным каскадом класса А** с автоматическим отрицательным смещением показан на **рис.32**. Его входной каскад собран на одной половине лампы 6Н23П. Она представляет собой малошумящий двойной ВЧ триод, предназначенный для работы в каскодных схемах. 6Н23П характеризуется невысоким внутренним сопротивлением, малым уровнем шумов и неплохой

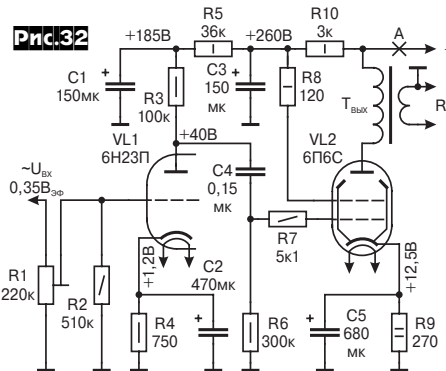
линейностью, что предопределило ее широкое применение в усилителях звуковой частоты. Низкое анодное напряжение, которое в данном случае составляет 40 В, значительно уменьшает собственные шумы лампы и ток анода. Последнее облегчает его тепловой режим, что предотвращает тепловой дрейф в сторону «саморазгона» лампы и устраняет опасность вторичной эмиссии. Чтобы получить требуемый коэффициент усиления при низком напряжении питания, в анодной цепи триода установлен резистор нагрузки сопротивлением 100 кОм, что позволяет довести коэффициент передачи до 27. Это обеспечивает номинальную чувствительность усилителя на уровне 0,35 В при разорванной петле ООС. Кроме того, большое нагрузочное сопротивление в цепи анода повышает линейность усиления.

Усиленный сигнал снимается с анодной нагрузки VL1 и через разделительный конденсатор C4 поступает в цепь управляющей сетки выходной лампы VL2. Эта цепь включает в себя сопротивление утечки R6

и антипаразитный резистор R7. Оконечная лампа типа 6П6С работает с автоматическим смещением, которое создается за счет падения напряжения на катодном резисторе, а ее анодная цепь нагружена первичной обмоткой выходного трансформатора. Резистор R9 зашунтирован конденсатором С5. Для макетного варианта данного усилителя выходной трансформатор специально не разрабатывался. Однако, ввиду того, что рабочие режимы ламп 6П11П и 6П6С отстоят друг от друга не очень далеко, имеется возможность применять «выходник», предложенный для схемы рис.5 («РХ» №2/2001, с.57), хотя режим работы VL2 будет не совсем оптимальным. В таком варианте без применения ООС усилитель имеет следующие характеристики: максимальная выходная мощность до 4,5 Вт; коэффициент гармоник при выходной мощности 3 Вт не превышает 5%, а спад усиления на частоте 40 Гц составляет около 4 дБ.

Налаживание правильно собранного из заведомо исправных деталей усилителя не требуется, он сразу же начинает работать.

Иногда может потребоваться подбором резисторов скорректировать режимы ламп по постоянному току. При наличии осциллографа полезно убедиться в отсутствии самовозбуждения схемы. Впрочем, последнее можно сделать и при отсутствии осциллографа. С этой целью в разрыв цепи анодно-экранного питания, в данном случае А, включают миллиамперметр и запоминают его показания. Потом движок переменного резистора R1 устанавливают в среднее положение, а вход усилителя закорачивают. Теперь кратковременно через высокочас-



тотный (желательно слюдяной) конденсатор емкостью 0,01 мКФ управляющую сетку выходной лампы соединяют с общим проводом. Если при замыкании такой цепи показания миллиамперметра уменьшатся, то это говорит о наличии самовозбуждения. Для локализации возбуждающегося каскада аналогичную операцию проводят с предшествующей лампой. В том случае, когда замыкание управляющей сетки VL1 не приводит к изменению потребляемого тока, то можно с уверенностью предположить о неустойчивой работе выходного каскада. Причиной самовозбуждения усилителя является неудачная топология монтажа. Правильно работающая схема потребляет от источника анодного питания 55-60 мА. В заключение необходимо отметить, что в качестве выходного трансформатора возможно использование стандартных изделий ТВЗ-1-2 или ТВЗ-1-9, но с некоторым ухудшением качества работы аппарата.

Пример практической реализации усилителя звуковой частоты с **двухтактным оконечным каскадом в классе А** на лампах 6П6С при работе в схеме с автоматическим смещением на управляющих сетках показан на **рис.33**. Входной каскад данного усилителя собран на двойном триоде VL1 типа 6Н7С. Он представляет собой

выходной каскад данного усилителя двухтактный, работает в режиме класса А. Он собран на паре лучевых тетродов 6П6С. В цепи управляющих сеток VL2, VL3 включены антипаразитные резисторы R9 и R10 соответственно. Автоматическое смещение 15 В создается за счет падения напряжения на резисторе R12 при прохождении через него катодных токов обеих ламп. Выбранная величина отрицательного напряжения смещения позволяет работать лампам в классе А при любых возможных уровнях усиливаемого сигнала от нуля вплоть до ограничения. По переменному напряжению катодный резистор зашунтирован конденсатором C5. Экранные сетки дамп VL2, VL3 питаются от резистивного делителя напряжения, образованного элементами R16 и R15. Его начальный ток более чем в три раза превышает ток, потребляемый экранными сетками ламп в состоянии покоя. И хотя разница между токами этих электродов в состоянии покоя и при максимальной выходной мощности невелика, такая мера все же позволяет снизить уровень нелинейных искажений. Последовательно с экранными сетками включаются токоограничивающие резисторы R13, R14. Ток, потребляемый этим усилителем от источника анодного напряжения, составляет 130-140 мА.

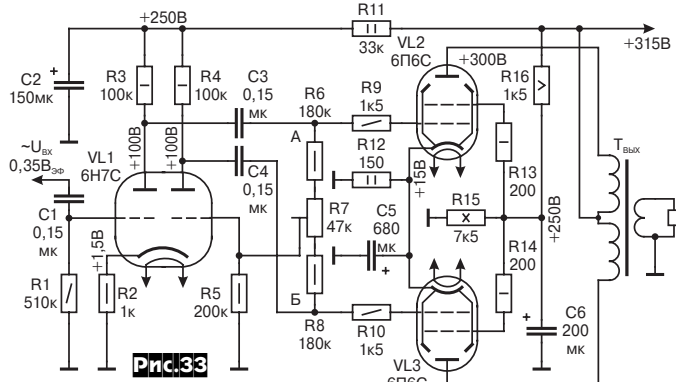


Рис.33

одну из разновидностей т.н. самобалансирующейся схемы фазоинвертора. Применение предложенного построения каскада, имеющего коэффициент передачи, практически равный с таковым у обычного усилителя с резистивной нагрузкой, совместно с лампой, которая обладает приличным статическим коэффициентом усиления  $\mu=35$ , позволило отказаться от предварительного усилителя напряжения. В данной схеме фазоинверсный каскад развивает усиление порядка 29-31, что обеспечивает номинальную чувствительность усилителя 0,35 В. Балансировка плеч фазоинвертора по постоянному току осуществляется за счет катодной связи между триодами дампы. Эти электроды объединены внутри баллона 6Н7С.

По переменному току симметрирование каскада происходит частично по катодам, а частично за счет связи анодной цепи «ведущего» триода с управляющей сеткой «ведомого» посредством резистивного делителя, состоящего из элементов R5-R8. Подстроечный резистор R7, который входит в этот делитель, служит для точной балансировки плеч фазоинвертора в процессе наладки. Кроме того, резисторы, входящие в этот делитель, являются сопротивлениями утечки для управляющих сеток ламп VL2, VL3, входящих в оконечный каскад.

нитной силовой линии 25,5 см. Такие сердечники используются в промышленных трансформаторах ОСМ-0,4. Анодная обмотка содержит 6400 витков ПЭВ1-0,25, которые размещены в восьми секциях по 800 витков. Каждая из секций намотана в 4 слоя по 200 витков шириной около 60 мм. Все секции соединяются последовательно. Вторичная обмотка состоит из 6 секций-слоев по 80 витков провода ПЭВ1-0,71, которые включены последовательно-параллельно таким образом, чтобы получить общее эквивалентное число витков, равное 160. Именно такое соотношение количества витков обмоток будет оптимальным для акустических систем сопротивлением 8 Ом. При необходимости количество витков вторичной обмотки можно пересчитать стандартным способом (корень квадратный из соотношения сопротивлений). Размещение секций обмоток и схема их соединений показана на **рис.34 \***.

Настройка усилителя выполняется обычным способом. Остается лишь добавить, что предложенный усилитель имеет следующие технические характеристики: максимальная выходная мощность до 9 Вт, коэффициент нелинейных искажений при выходной мощности 6 Вт не превышает 2,5%, а диапазон рабочих частот составляет 25-16000 Гц при спаде усиления на краях не более 1 дБ. На частоте 20 кГц заявлен АЧХ около 2,5 дБ. Для первоначально макетного варианта этой схемы в качестве выходного трансформатора можно применить серийный ТВЗ-1-6 ТУ.0473.000 с некоторым снижением технических характеристик.

Необходимо отметить, что работа лампы 6П6С, так же как и лучевого тетрода типа 6П1П, с током в цепи управляющей сетки практикуется в усилителях звуковой частоты очень редко.

Очень широко лампы 6П6С применяются в оконечных каскадах усилителей звуковой частоты, построенных по ультралинейной схеме.

Пример практической реализации усилителя звуковой частоты с **двухтактным ультралинейным оконечным каскадом класса АВ** показан на **рис.35**. В его основе положена структурная схема усилителя «Narodny 1A» фирмы Spb Sound (г.Санкт-Петербург), которая была помещена в [14]. Его входной каскад собран на двойном триоде типа 6Н9С. Он выполняет функции фазоинвертора и одновременно является предварительным усилителем напряжения с коэффициентом передачи около 54. Такой коэффициент усиления позволяет получить номинальную чувствительность аппарата 0,7 В и 1,3 В при работе ламп оконечного каскада в ультралинейном и триодном включении соответственно. Собственно фазоинверсный каскад представляет собой разновидность самобалансирующейся схемы. Разделительные конденсаторы С1-С3 того же типа, что и применяемые в оригинальном варианте усилителя - полистирольные К71-7.

Оконечный каскад аппарата собран по двухтактной схеме на четырех лучевых тетродах типа 6П6С. Его характерной особенностью является возможность переключе-

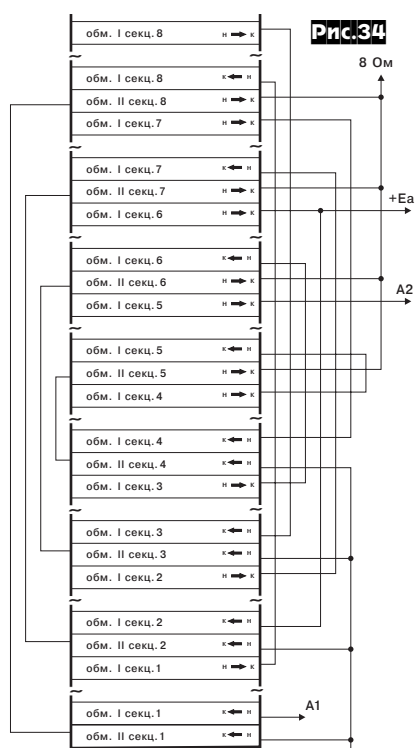


Рис.34

\* От редакции. Значительно улучшить коэффициент демпфирования и фазовую характеристику трансформатора на краях диапазона можно уменьшив количество витков первички до 3500-4000, с увеличением диаметра провода до 0,31-0,28, соответственно. Индуктивность при этом составит около 100 Гн. Витки вторички - пропорционально уменьшить. Количество секций первички достаточно 6.

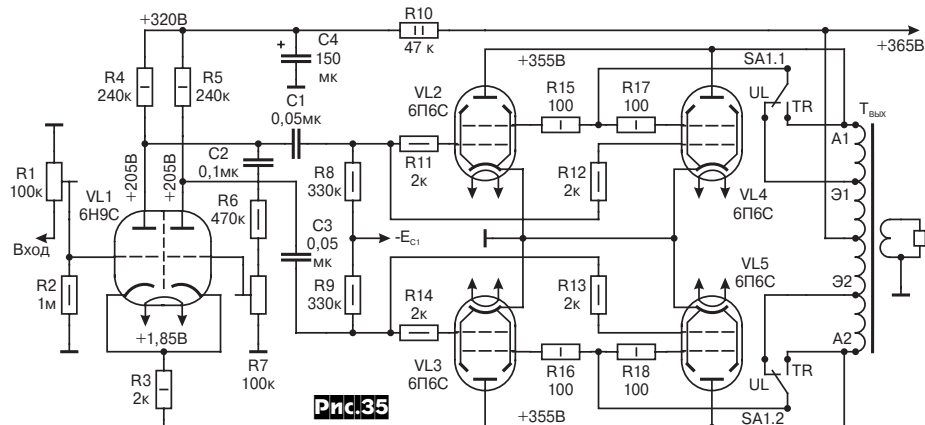


Рис.35

ния выходных ламп из ультралинейной схемы в триодную и наоборот. И хотя в триодном включении оконечный каскад отдает мощность около 17-18 Вт, т.е. вдвое меньше, чем в ультралинейном режиме, благодаря изменению тонального баланса и снижению выходного сопротивления такое переключение может оказаться предпочтительным для некоторых музыкальных произведений. Коммутация режимов работы выходных ламп осуществляется переключателями SA1.1, SA1.2 и SA1.3. Последний на принципиальной схеме не показан. Он включается в цепь подачи отрицательного смещения управляющих сеток выходных ламп и служит для изменения величины отрицательного напряжения -27 В / -45 В в ультралинейном и триодном режимах соответственно. Более точно величина напряжения отрицательного смещения, а оно может лежать в пределах от -(25...32) В и -(40...50) В, устанавливается в процессе наладки усилителя таким образом, чтобы ток покоя в цепи анода каждой лампы составлял 35 мА для ультралинейной схемы и 42 мА для триодной. Такие режимы обеспечивают работу ламп с углом отсечки анодного тока 105° в «UL» и 145° в «триоде» (SA1 - «TR»). Напряжение отрицательного смещения подается в общую точку резисторов R8, R9, которые служат сопротивлениями утечки в цепях управляющих сеток ламп выходного каскада. Эти же цепи также содержат антипаразитные элементы - резисторы R11-R14. В цепи питания экранных сеток VL2-VL5 включены токоограничивающие резисторы R15-R18 индивидуальные для каждой лампы.

(Окончание. Начало см. с.47)

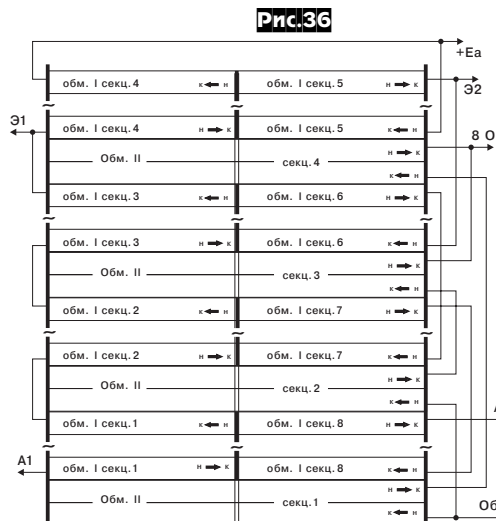
КБ/с. Теперь, если аудио сжимать в mp3 в режиме моно, то его битрейт будет равен 64 КБ/с, или 8 КБ/с. Вычитаем его из суммарного и получаем 191 КБ/с. Итак параметры сжатия видео: 191 КБ/с, параметры сжатия аудио 8 КБ/с (64 КБ/с). Для большей уверенности можно несколько снизить битрейт видео со 191 до 190 КБ/с, что позволит помимо файла видео записать на диск и кодек сжатия.

Ваши отзывы и рекомендации присылайте в редакцию «Радиохобби», а имеющие доступ в Internet и Fidonet могут подключиться с обсуждению в конференции на сайте «Радиохобби» и в эфире RU.MPEG.

го трансформатора очень важно обеспечить строгую симметрию половинок его первичной обмотки. Для этого каркас катушки следует разделить по ширине на две равные части, установив перегородку, параллельную боковым щечкам. Эта перегородка изготавливается из диэлектрика толщиной 3 мм. При этом одна половина обмотки будет размещаться с левой стороны каркаса, а вторая - справа. Секции вторичной обмотки укладываются на всю ширину, для чего в перегородке имеется вертикальная прорезь. Более подробно выходные трансформаторы подобной конструкции рассматривались в [15]. Первичная обмотка содержит 4352 витка, размещенных в восьми одинаковых секциях по 544 витка. Каждая секция намотана в 8 слоев по 68 витков провода ПЭВ2-0,38, ширина намотки 35...36 мм. Все секции соединяются последовательно. Вторичная обмотка разбита на 4 секции. Каждая из секций содержит по 106 витков провода ПЭВ2-1,06 мм, намотанных в два слоя по 63 витка. Секции включаются последовательно-параллельно таким образом, чтобы получить эквивалентное количество витков вторичной, равное 212. Такое соотношение между числом витков обмоток обеспечивает оптимальный коэффициент трансформации при работе усилителя с акустическими системами сопротивлением 8 Ом. Размещение обмоток на катушке трансформатора и порядок соединения секций показан на рис.36\*. С описанным трансформатором аппарат имеет нижнюю рабочую частоту 10 Гц при спаде усиления на ней 3 дБ. Верхняя граница дипазона простирается до 25 кГц при неравномерности АЧХ не более 1 дБ. Остается добавить, что настройка предложенного усилителя осуществляется по обычной методике, принятой для двухтактных схем.

\* От редакции. В трансформаторах с галетным секционированием целесообразно размещать секции половинок первички в шахматном порядке, иначе сердечник будет намагничиваться уравнивающими потоками!

(Продолжение следует)



Выходной трансформатор собирается на ленточном витом магнитопроводе типоразмера ШЛ 32х64. Он имеет следующие геометрические характеристики: сечение каркаса 20,5 см<sup>2</sup>, размер окна 32x80 мм, площадь окна - 25,6 см<sup>2</sup>, средняя длина магнитной силовой линии - 27,3 см. Вполне возможно и применение сердечника, набранного из штампованных Ш-образных пластин с такими же геометрическими размерами. Каркас катушки должен иметь следующие внутренние размеры: ширина 75 мм, глубина 29 мм. При намотке выходно-



Рис.1

# Доработка наушников KOSS A/130

Всеволод Марценюк, г.Харьков

**Предыстория.** Когда мне, наконец, надоело слушать **Звук** только у своих знакомых либо в студии, мне пришлось «уговорить свое земноводное» и купить нормальные наушники. Выбор пал на KOSS A/130 (**рис. 1, с. 54**) как на терпимые по цене. Когда я их заполучил в руки, они мне понравились: масса была в норме, на голове сидели normally, звук был именно таким, каким он должен быть в студийных наушниках младшей ценовой категории.

Состояние эйфории продолжалось недолго. При прослушивании Энгигмы выяснилось, что оба «уха» имеют ярко выраженные резонансы на НЧ. Противный дребезжящий звук портил все впечатление от прослушивания. Смена репертуара в сторону более мощных басов выявило проблему: дребезжение было настолько явным, что забивало даже bass drum в танцевальных композициях.

**Источник проблемы.** Нежелание мириться с такой неприятностью, праздничные дни (начались майские праздники, а остаться без контрольных наушников, да и везти из Харькова в Киев тоже весьма не хотелось) и наплевательское отношение к гарантии (напоминаю, что произведя действия, аналогичные моим, вы потеряете гарантию на «дорабатываемый продукт») подтолкнули меня к необходимости разобраться в источнике нежелательных звуков.

Выяснилось, что при покачивании головой раздавался стук, как будто что-то в наушниках не закреплено. Причем данный дефект был явно слышен в обоих «ухах».

Вскрытие показало, что капсюль динамика закреплен на своем месте с помощью трех подпружиненных ушек. Вывалившись, они, конечно, не дают, но и плотно не прижимают сам капсюль к посадочному месту, что приводит к появлению резонанса и посторонних призвуков даже на небольшой мощности.

При более детальном исследовании самого посадочного места выяснилось, что капсюль прилегает негерметично, что вызывает акустическое короткое замыкание на низких частотах, и что, в свою очередь, снижает отдачу на НЧ и ухудшает общую картину.

**Решение проблемы.** Было принято решение устранить найденные недостатки. Итак, последовательно начинаем разбирать наушник:

1. Отстегиваем оголовье наушников (кто не знает как – посмотрите в паспорте на наушники - **рис. 2**).

2. Осторожно снимаем амбушюры наушников. Стаемся не оторвать или повредить двухсторонний скотч, которым зафиксированы амбушюры в пазах (**рис. 3**).

3. Дорабатывать можно как по отдельности, так и оба канала сразу – только не забывайте либо пометить левый/ правый наушник, либо вызанивать каналы.

4. Откладываем снятые амбушюры в сторону, а сами наушники кладем поролоновой защитной прокладкой вверх, после чего нам должны стать доступны по четыре винта с крестообразным шлицем. Аккуратно отвинчиваем, т.к. резьбовая часть очень нежная и пластмас-

совая – постарайтесь не повредить (**рис. 4**).

5. Снимаем заднюю крышку наушника. Теперь мы видим болтающийся капсюль в окружении поролоновой прокладки. Мягким покачиванием литой защиты шнура снимаем шнур. Теперь мы, стараясь не оторвать или надломить кабель, припаянный к капсюлю, убираем поролоновую герметизацию (**рис. 5**, позиция I).

6. По одной, прикладывая минимальное усилие, отгибаем подпружиненные фиксирующие ушки (поз. II) и слегка, на 1-2 мм, не вынимая, приподнимаем капсюль.

7. Теперь в образовавшийся тонкий зазор очень осторожно наносим герметик. В своем случае я воспользовался обычным сантехническим бесцветным герметиком Ceresit.

8. Сразу, пока герметик не начал засыпать, ставим капсюль на место. При правильном нанесении герметика большая его часть должна выдавиться в наружный шов между посадочным местом и самим капсюлем. Любым тонким предметом наносим еще немного герметика в отверстия около подпружиненного крепежа, стараясь не переусердствовать, иначе герметик может попасть на пленку самого динамика, что не является нашей первичной задачей.

9. Еще раз проверяем равномерность шва, при необходимости удаляем лишнее.

10. Рекомендую нанести по капле герметика в точку пайки провода к капсюлю (поз. III) – это предотвратит выход их строя наушников по причине обламывания провода.

11. Даём всей конструкции подсохнуть, собираем в обратной последовательности.

**Результат.** После сборки 4 часа пришлось подождать полной фиксации герметика. При прослушивании **полностью** пропали посторонние призвуки, в композиции Billie Jean появился различимый звук вибрато на бас-гитаре, вместо которого раньше было слышно только пластмассовое тарактанье. ☺



Рис.2



Рис.3



Рис.4



Рис.5

Вероятно, аналогичная доработка может помочь и другим наушникам – просто потрясите их ☺.

# ИЗМЕРЕНИЯ

## Универсальный велосипедный путевой прибор на PIC контроллере

Юрий Сафонов, г.Киев

Путевые велосипедные приборы неоднократно описывались на страницах радиолюбительских журналов. Все они были реализованы либо на дискретных компонентах, либо на микросхемах цифровой логики, что приводило к громоздкости и ненадежности устройств, при этом практически невозможно без аппаратного вмешательства сменить параметры или внедрить дополнительные функции. Благодаря применению микроконтроллера удалось создать устройство с минимальным количеством элементов и широкими функциональными возможностями, трудно реализуемыми на дискретной элементной базе. Одной из особенностей данного устройства является определение скорости методом измерения периода, что на «жесткой» логике практически не выполнимо.

Управляющая программа обеспечивает:

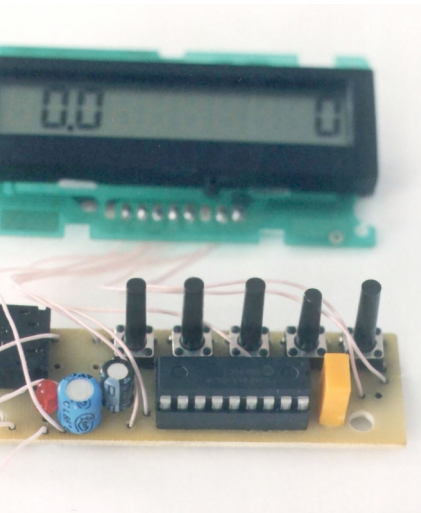
- \* Одновременное измерение расстояния от произвольной точки и общего пройденного пути с выводом на ЖКИ дисплей.
- \* Измерение скорости 0-99,9 км/ч.
- \* Измерение расстояния до 655350 метров с шагом 10 м.
- \* Запись пройденного пути в энергонезависимую память данных (EEPROM) с целью продолжения дальнейшего измерения.
- \* Корректировку погрешности измерения расстояния.
- \* Подстройку под любой велосипед по-средством меню «Установки» и сохранением параметров в EEPROM.
- \* Часы

Параметры питания прибора:

\* Напряжение питания 3 В.

\* Потребляемый ток 0,2 мА.

**Принципиальная схема (рис.1).** Параметрический стабилизатор напряжения +1,5 В для питания ЖКИ дисплея собран на светодиоде VD1 и резисторе R1. В зависимости от типа светодиода, номинал R1 возможно придется подобрать для получения +1,5 В. Прибор питается от одного



трехвольтового элемента. Если питание будет осуществляться от двух батарей 1,5 В, то параметрический стабилизатор можно вообще исключить, таким образом снизив потребляемый ток к минимуму, подключив точку соединения батарей к выводу питания ЖКИ. Электролитический конденсатор C1 служит для сохранения напряжения питания часов ЖКИ на короткое время при смене батареи. Резисторы R2, R3 ограничивают амплитуду сигналов управления ЖКИ. Вывод индикатора HK подключен к выводу порта A4 контроллера (выход с открытым стоком), и при подаче питания на контроллер вывод HK замыкается на землю и переводит индикатор из режима часов в режим записи информации. Кнопки управления SA1-SA3, SA5 и датчик-геркон SA4 подключены к выводам порта B контроллера и нагружены на встроенные «подтягивающие» к плусу источника питания сопротивления. Датчик-геркон подключается к устройству посредством разъема XS1, и реагирует на магнитное поле перемещающихся постоянных магнитов, укрепленных на спицах колеса. Для измерения скорости достаточно одного постоянного магнита, однако при необходимости увеличения точности измерения расстояния количество постоянных магнитов можно увеличить.

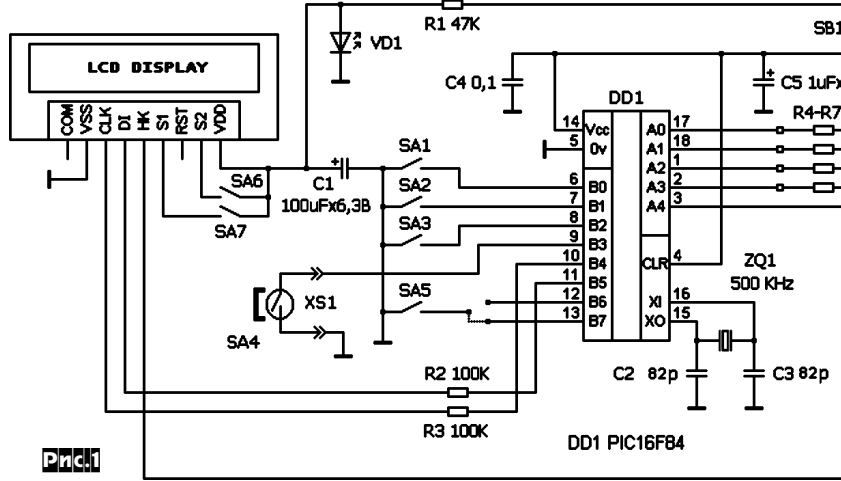


Рис.1

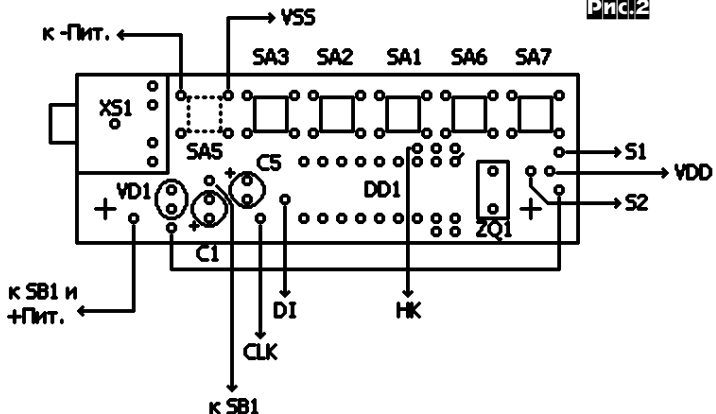
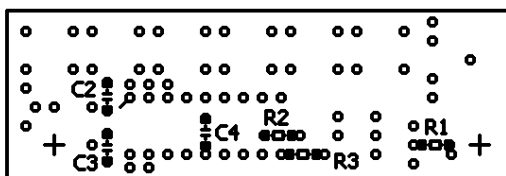
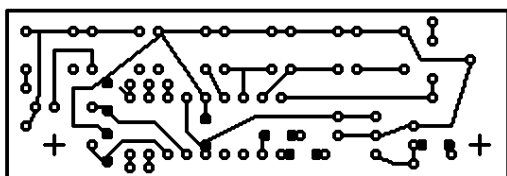
Кнопка SA5 может быть подключена к выводу 12 или 13 порта B контроллера, либо вообще отсутствовать в зависимости от того, будут ли использоваться дополнительные функции управляющей программы контроллера. Если SA5 будет подключена к выводу 13 контроллера, то нажатие на нее будет включать/останавливать/отключать попарное мигание светодиодов VD2-VD5, выполняющих функцию «огней безопасного ночного движения», которые подключаются проводом через дополнительный разъем и установлены в задней части велосипеда. Один вывод контроллера может отдавать ток до 25 мА, однако нагрузка на весь порт не должна превышать 50 мА. Сверхяркие светодиоды с последовательно включенным резистором 1 кОм (протекающий ток 1,2 мА) могут обеспечить вполне достаточную яркость свечения в ночное время и увеличить ресурс батарей. Подключение SA5 к выводу 12 контроллера обеспечит несколько дополнительных функций при управлении (см. далее управление).

Вывод сброса контроллера (выв. 4) подключен на плюс источника питания, устойчивый сброс обеспечивает активизированный таймер сброса (PWRT) при включении питания контроллера. Керамический резонатор ZQ1 подключен встроенному генератору контроллера (режим XT) и обеспечивает стабильность отсчета времени для измерений. Конденсаторы C2 C3 генератора можно подобрать для введения врезонанса резонатора ZQ1, за счет чего можно несколько снизить потребляемый ток.

**Детали.** ЖКИ индикатор десятиразрядный, со встроенным контроллером HT1611\* от импортных телефонов. Светодиод VD1 малогабаритный, красного свечения. Светодиоды VD2-VD5 сверхяркие. Подойдут любые модификации контроллера PIC16F84 в DIP корпусе. Кнопки малогабаритные мембранные типа. Частота резонатора несущественна, она может находиться в пределах  $500 \pm 100$  кГц и корректируется программно при настройке. Для подключения датчика использован разъем Ø3 мм, который обычно используется для подключения стереонаушников. Все пассивные компоненты типа SMD (компоненты для поверхностного монтажа) использованы для уменьшения габаритов конструкции.

**Конструкция.** Устройство выполнено на печатной плате (рис.2) размерами 66,5x22,5 мм из фольгированного стеклотекстолита толщиной 1,5 мм. Все соединения выполнены монтажным проводом МГТФ. Под контроллер DD1 необходимо установить панельку для его извлечения при программировании. Кнопку SA5 устанавливать при необходимости. Для правильного отсчета информации с индикатором об измеряемой скорости необходимо

\* Примечание редакции. Некоторые экземпляры индикаторов HT1611 «не любят» подачу управляющих сигналов выше их собственного питания (1,5 В), в этом случае можно добавить последовательно со входами индикатора резисторы 5...10 кОм.



наличие десятичной точки. Так как данный индикатор не способен отображать точку, ее можно нарисовать маркером, предварительно наклеив на экран прозрачный скотч.

**«Прошивка» контроллера.** Оттранслированная управляющая программа (HEX-файл) приведена в **табл. 1**, ее также можно найти на сайте журнала «Радиохобби».

**Настройка и управление.** После установки всех деталей, кроме ЖКИ и контроллера, на плату необходимо проверить наличие +3 В на 14 выводе контроллера и +1,5 В на аноде светодиода VD1. При наличии этих напряжений подпаять ЖКИ и подать питание, при этом индикатор должен включиться в режиме часов. Далее вставить в панельку «защитный» контроллер и при возможности проконтролировать работу генератора; на выводе 15 DD1 должны присутствовать импульсы частотой, равной частоте резонатора.

При включении питания на индикаторе должно появиться следующее:

Скорость, км/час	Путь, м
00	0

#### Функции кнопок управления:

**SA1** - осуществляет запись пройденного пути в EEPROM память, а также сохранение изменений параметров в меню «Установки» как стартовых;

**SA2** - производит считывание ранее занесенного расстояния из EEPROM, при этом текущее значение расстояния утрачивается. Значение измененных в меню «Установки» параметров не меняет;

**SA3** - осуществляет вход в режим «Установки», предназначенный для настройки прибора под конкретный диаметр колеса велосипеда, количества магнитов и частоты используемого резонатора. На индикаторе появиться следующее:

№ пар-па	Setup	Значение
1	5	35

В этом режиме кнопки принимают следующие функции:

Радиохобби 3/2002

**Таблица 1**

```

:020000001929BC
:08000800B300B30E030EB200B9
:100010000B118E0A031D182800304120AA03032011
:10002000015083020160830201708302017083020110255
:100030000320B8300330E090000308C000C0889005A
:1000400008316081483120808940000C081C5E8400D0
:10005000014088008C0A0C08073A031D1E280800AB
:10006000092008C018C1503108301920D03188616E3
:10007000031C8612000061600006128C0B3428A2
:1000800003492008C010C1503103428031010303A
:100090000C0950196019701990D9A0D970D960D7B
:1000A0000950D8C0B54280034173084005E201630D8
:1000B000084005E20153084005E204280330000749
:1000C00008D008D198000303000078BD008D1B800061
:1000D00000340F301505031D7A28F0301605031D76
:1000E000080280F31605031D8628F030170531D6E4
:1000F00008C289228F0301605031D8028A030960425
:100100000F301605031D86280A309604F0301705B7
:10011000031D8C28A03097040F301705031D92286B
:100120000A309704003403100830809619701C0
:100130000990D970D960D8C0BA2280F301605031D7F
:10014000086288C28173084005E20163084005E20BC
:1001500009828031010308C000AD01AE01990D9A0D56
:100160000AE0DAD08C0BC128F0320E05031DBA2845
:100170000A030AE040F302E05031DC0280A30AE0497
:100180000342E3084005E202D3084005E202A6
:10019000010309B022808AC002708AB00A801A7017D
:1001A0000AA01A9010310AB0DAC0DA90DAA0D2608DB
:1001B00002A02031DD2825082902031CE6285083C
:1001C0000A902031CAA032608AA02031470DA80D5E
:1001D00009B0B22800340F39990703189A0A031091
:1001E0000190DB4001A0DB500031090D9A0D03106E
:1001F0000990D9A0D0310990D9A0D3408909703185B
:1002000009A035089A0700349A0115080F3999009F
:100210000FF201608EEB201708EEB20170828
:100220000F39990703189A0A0034A030800232253
:100230000BC29831600308500CF30860083128501EB
:100240000031D80C000C08840008001C0A0C083F3AA9
:10025000031D122912C2020080739831681008312E0
:100260000F038D008C0B32298D0B32290130B0001B
:100270000A0308B0023220608CF39CF3A031D4F2927
:100280000311C29AF0B329B00B329051C4A29EC
:100290000630850609380562208B003B2906088D
:1002A0000920006390319662A1208083903196D29C4
:1002B0000120840390319662A120804390319C229A1
:1002C0000120802390319362A1208013093194B2A78
:1002D0000120880390319B5293B290108A5008101BD
:1002E0000E08A6008E01C08A7001D08A800C82043
:1002F00002708990028089A009202D0E41202E0D1
:10030000030208F0A900A0F081E06031D97298F01BF
:100310000A0319A0319A04A2308990024089A0462076
:10032000010081F06031DA9298F019001A22910089A
:1003300001F06031DA298F01900123089900240894
:1003400009A004620F030970504211908A3001A08E6
:100350000A046092015083020160830201708302026
:100360000A0304120861DB2293B29B10A311CBC298D
:100370000B1C298501B1010608CF39CF3A031D54
:100380000BC293B29B80100309300FF29060847391F
:100390000473A0319C62921088D001F3080C08C0A9
:1003A0000CF298D0BCD2906084739473A0319C629AD
:1003B00006089200013903196929120802390319C4
:1003C0000EB29120804390319ED29120804390319E1
:1003D0000F229940FAF299403FA29930A1308073A8E
:1003E000031DF298F019001200807398316810022
:1003F00008312152913081C3E84001408800013087A
:1004000001C3E840000089400140899009320130AED
:100410000800180E3020053030200030201608AB
:10042000030201708302021088D001F3080C001D2A35
:1004300008C0B172A8D0B152AC62906084739473A0F
:100440000031D182AC62900304120AA030320230875
:100450000990024089A0046206920150830201608C3
:100460000302017083020A0341D4E2A1529B0191014B
:1004700008C000C0889008316081483120808940065
:100480000C081C3E8400140880008C0A0C0893A0F1
:10049000031D392A15298B0100308C000C088900B6
:1004A0000C081C3E840000088800831608155308F
:1004B00008900AA3089008814081E5C2A0812831259
:1004C00008C0A0C08093A031D4E2A1529B0191014B
:1004D00007C2A06080F390F3A0319692A0608920088
:1004E000083903197B2A1208023903191529120841
:1004F0000139031962A910A110899009320030E6
:100500000302000303020003030201608302017080E
:100510000302006080F390F3A031D892A692A88
:0240000F13F80
:104200002300CF00600420006002800140000032
:024210000000AC
:00000001FF

```

## ИЗМЕРЕНИЯ

Старший байт: (Ч)/256=(С). Берем значение до запятой.

Младший байт: (Ч)-256(С)=(М).

Проверить вычисления можно так: (М)+256(С)=(Ч), после чего ввести их в:

**Параметр №1** - младший байт

**Параметр №2** - старший байт

Определить количество импульсов **K** за 100 метров можно по формуле:

$$K=100n/L,$$

где L - длина окружности колеса ( $2\pi R$ ) сшиной (м), n - число постоянных магнитов на колесе.

**Параметр №3** определяет, сколько импульсов от датчика приходит за 10 метров.

**Параметр №4** определяет количество импульсов от датчика, приходящих за 100 метров, и служит для коррекции погрешности измерения расстояния.

Количество импульсов за 10 метров равно уменьшенному в 10 раз числу **K**.

Также количество импульсов можно определить экспериментально по эталонной дистанции посредством режима «Тест» (см. ниже).

**Параметр №5** определяет коэффициент предварительного деления частоты для счетчика периода. В следующей таблице приведены возможные значения и соответствующие ему коэффициенты деления.

**Параметр №6** определяет скорость автоматического прибавления/вычитания при удержании кнопки в меню «Установки»

Значение параметра №5	Коэффициент деления, m
0	2
1	4
2	8
3	16
4	32
5	64
6	128
7	256

и при желании может быть изменен.

**Параметр №7** определяет частоту мигания светодиодов «огней безопасного ночных движений».

Далее происходит выход в главный режим. При необходимости внесенные изменения в значения параметров можно сохранить нажатием **SA1** в главном режиме, и соответственно определить их как значения по умолчанию при последующем включении питания

### Режим «Тест»

**Нажатие на кнопку SA5** (если она подключена к выводу 12) в главном меню или **при одновременном удержании SA2 и SA3** и включении питания осуществляет вход в режим «Тест».

Этот режим представляет собой счетчик импульсов в диапазоне от 0 до 255 и предназначен для проверки работы датчика-геркона и измерения количества импульсов за определенное расстояние.

В этом режиме **кнопки принимают следующие функции:**

**SA1** - осуществляет сброс счетчика в ноль;

**SA2** - осуществляет выход в главный режим;

**SA3** - осуществляет прибавление 1 (для проверки).

Рассчитаем параметры для велосипеда с радиусом колеса 24 см, датчике с одним постоянным магнитом и резонаторе на частоту 500 КГц.

$$T=3,6 \cdot 3,14 \cdot 2 \cdot 0,24 / 1 = 5,43,$$

$$m=6,$$

$$(500000 / 0,4 / 128) \cdot 5,43 = 53027 < 65536.$$

Разобъем на два байта:

$$53027 / 256 = 207 \text{ (C)}$$

$$53027 - 256 \cdot 207 = 35 \text{ (M)}$$

$$\text{Проверяем: } 35 + 256 \cdot 207 = 53027.$$

$$K=1 \cdot 100 / (2 \cdot 3,14 \cdot 0,24) = 66$$

При «прошивке» контроллера установлены эти значения:

№ пар-па	1	2	3	4	5	6	7
Значение	35	207	6	66	6	40	20

Успешных велопутешествий!

## Зарядное устройство для автомобильного аккумулятора

Сергей Пипец, г.С-Петербург

Несмотря на наличие в магазинах зарядных устройств (ЗУ) для автомобильных аккумуляторов, любители продолжают разрабатывать и изготавливать собственные версии ЗУ, основные преимущества перед серийными у которых - бросовые комплектующие. Схема у этих зарядников обычно состоит из силового трансформатора, диодного моста и балластного сопротивления. В некоторых случаях в качестве балластного сопротивления используется управляемый выпрямитель на тиристорах, балластная емкость в высоковольтной части схемы, а то и просто активное сопротивление самой обмотки трансформатора. При этом зарядное устройство получается тяжелым (один только трансформатор на  $15B \cdot 5A = 75$  Вт весит около двух килограммов) и громоздким.

Импульсные источники питания, по сравнению с классическими трансформаторными, имеют меньшие массу и габариты.

Данное устройство представляет попытку перевести довольно мощное зарядное устройство (расчетная мощность - 100 Вт)

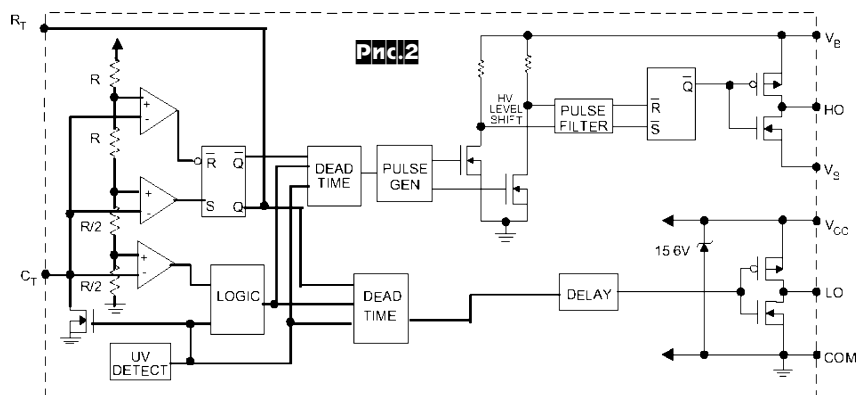
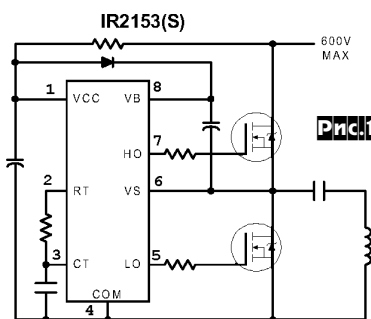
на современную элементную базу. Со схемотехнической точки зрения зарядное устройство - всего лишь специализированный блок питания. И если в настоящее время все шире нам встречаются импульсные БП, почему бы не быть импульсным ЗУ?

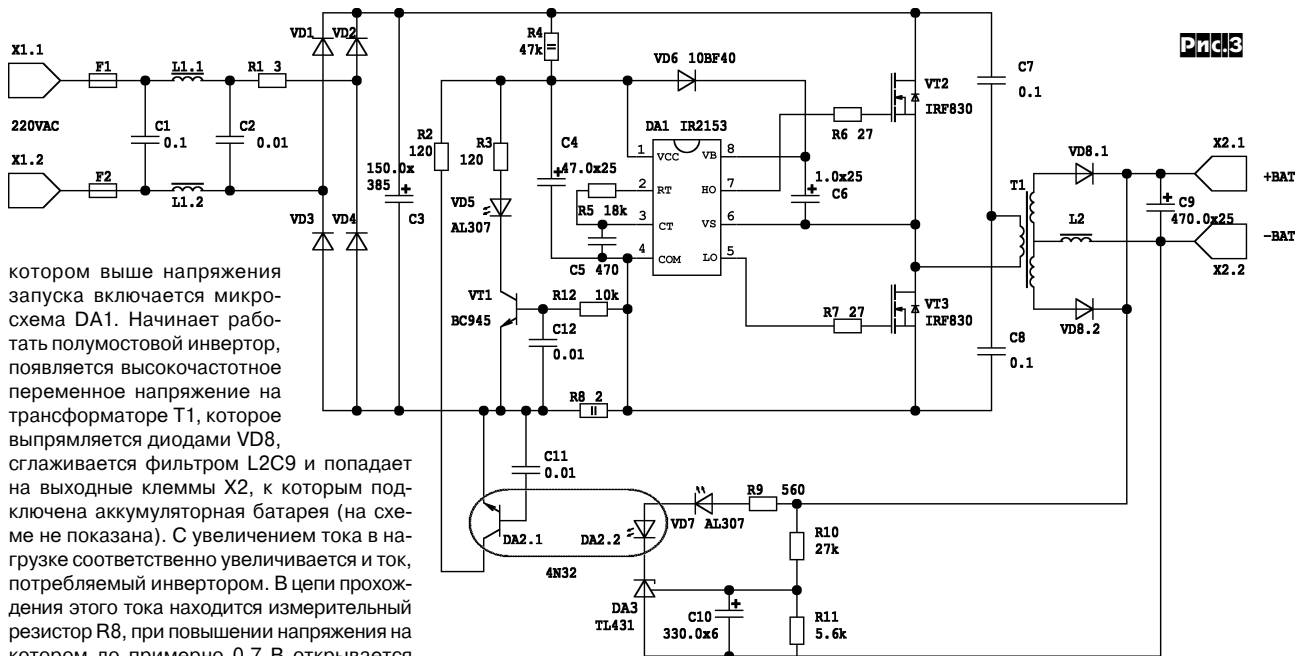
В основу предлагаемого устройства положен инверторный каскад на микросхеме IR2153 (типовая схема включения приведена на **рис. 1**). Микросхема разработана и выпускается фирмой International Rectifier ([1]) для использования в недорогих электронных балластах, основных и дежурных БП и зарядных устройствах. Широкому распространению данного семейства микросхем способствуют встроенные генератор по типу NE555 (KP1006BVI), встроенные драйверы управления мощными полевыми транзисторами в полумостовой схеме, схема контроля нижнего порога питающего напряжения с гистерезисом, малое количество внешних деталей, низкое собствен-

ное потребление (**рис.2**).

В данном случае к базовой схеме, помимо входных фильтра и выпрямителя, добавлены схемы контроля потребляемого тока и выходного напряжения. Поскольку данная микросхема не умеет регулировать длительность импульса (не имеет ШИМ), регулировка производится снижением напряжения питания микросхемы ниже порогового, до отключения преобразователя. Таким образом, преобразователь работает в релейном режиме, что приводит к большим пульсациям выходных напряжения и тока, но для зарядного устройства, работающего на аккумулятор большой емкости, это допустимо.

При подаче сетевого напряжения через ограничительный резистор **R1** (**рис.3**) и диодный мост VD1-VD4 заряжается конденсатор **C3** до напряжения примерно 310 В. От него через резистор **R4** начинает заряжаться конденсатор **C4**, при напряжении на





котором выше напряжения запуска включается микросхема DA1. Начинает работать полумостовой инвертор, появляется высокочастотное переменное напряжение на трансформаторе T1, которое выпрямляется диодами VD8, сглаживается фильтром L2C9 и попадает на выходные клеммы X2, к которым подключена аккумуляторная батарея (на схеме не показана). С увеличением тока в нагрузке соответственно увеличивается и ток, потребляемый инвертором. В цепи прохождения этого тока находится измерительный резистор R8, при повышении напряжения на котором до примерно 0,7 В открывается транзистор VT1, частично разряжающий конденсатор C4. Инвертор при этом останавливается и после небольшой задержки запускается снова. Таким образом ограничивается средний максимальный выходной ток.

Ограничение напряжения производится по типовой схеме с использованием микросхемы DA3 TL431. Резисторы R10 и R11 образуют измерительный делитель таким образом, чтобы напряжение на выводе ОС управляемого стабилитрона было 2,5 В при напряжении на выходе устройства 14,4 В. Передача управляющего сигнала со вторичных цепей к первичным осуществляется транзисторным оптроном DA2, транзистор которого подключен и работает аналогично транзистору VT1, описанному выше.

Светодиоды VD5 «Ток» и VD7 «Напряжение» предназначены для индикации режима работы. Первый ярко мигает при ограничении выходного тока, второй - при ограничении выходного напряжения. Это крайние режимы, а в промежуточных при зарядке разряженной аккумуляторной батареи наблюдается уменьшение мигания индикатора «Ток», свечение обоих индикаторов с небольшой равной яркостью при напряжении на АКБ около 13 В, и мигание светодиода «Напряжение» по окончании зарядки, что определяется по достижению напряжения на аккумуляторе 14,4 В.

Обидно будет, если при первом включении выйдет из строя относительно дорогие микросхемы и транзисторы (но все равно их суммарная стоимость меньше стоимости трансформатора ТН-61, рекомендуемого в [2], например). Для первого включения желательен регулируемый низковольтный (5-15 В) источник питания с ограничением тока на уровне 0,5-1 А, осциллограф, регулируемый источник переменного напряжения (в крайнем случае - ЛАТР с гальванической развязкой).

Нужно замкнуть резистор R4, подключить низковольтный источник ко входу устройства. При плавном увеличении напряжения до 8-9 В должен запуститься внутренний генератор микросхемы DA1, что можно контролировать по появлению импульсов на ее выходах LO и HO (5 и 7 выводы соответственно). Повышать напряже-

ние больше 15 В на данном этапе недопустимо, поскольку при этом может выйти из строя стабилитрон внутри микросхемы IR2153. На первичной обмотке силового трансформатора T1 должно появиться переменное напряжение в форме меандра с небольшой «полочкой» посередине (dead time - пауза между открытиями плечей полумоста). Также необходимо проконтролировать появление небольшого (несколько вольт) напряжения на выходном конденсаторе C9.

Если что-то не так, необходимо выяснить причины. Если же работа соответствует вышеописанному, можно пробовать включение от сети.

Снимаем перемычку с резистора R4. Подключаем вход устройства к регулируемому источнику переменного напряжения. Плавно подаем напряжение, контролируя потребляемый ток. При входном напряжении 30-50 В на выходе LO должны появляться импульсы\*, меандр на трансформаторе и заниженное выходное напряжение. Теперь повышаем входное напряжение, контролируя вольтметром выходное напряжение - при достижении на выходе 14,4 В должны появиться срывы генерации и вспышки светодиода VD7.

\* Примечание редакции: Эта часть схемы имеет гальваническую связь с сетью переменного тока. Для просмотра осциллограммы сигналов здесь необходимо использовать разделительный трансформатор 220/220 В перед ЛАТРом. Использование только ЛАТРа недопустимо.

Далее увеличиваем ток нагрузки (лучше всего это делать реостатом) и убеждаемся, что при выходном токе около 5 А генерация также срывается.

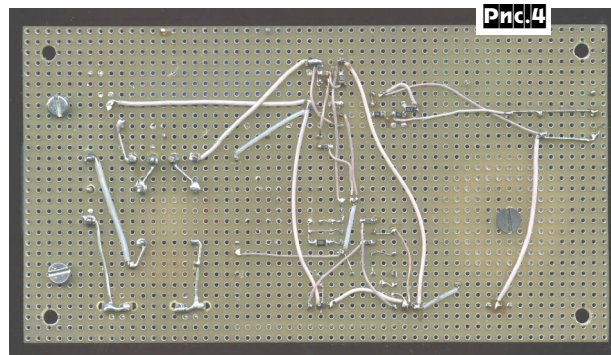
Вся схема собрана на макетной плате размерами 140x75 мм. Высота монтажа - 30 мм, масса (без проводов, зажимов, корпуса - см. рис.4, а также обложку) - 210 г. Транзисторы VT2, VT3 и диодная сборка VD8 через изолирующие прокладки установлены на общем радиаторе из алюминиевого 1,5-мм листа размерами 20x80 мм. Некоторое отличие номиналов деталей на фотографии и на схеме объясняется использованием в макете комплектующих, «завалившихся за подкладку» при других работах.

L1: K14 M2000 2x14 вит. Силовой трансформатор T1: K28x16x9, M2000HM1, 106 вит. Ø0,4, 2x17 вит. Ø0,9. Дроссель L2: два сложенных вместе кольца K24x13x7, МП140, 50 витков Ø0,56x3 (500 мГц). Микросхему IR2153 можно заменить на IR2151, IR2155, IR21531, IR2153D, IR21531D (в двух последних случаях не требуется установка диода VD6). Резистор R1 желательно использовать проволочный, мощность не менее 2 Вт. Конденсаторы C1, C2 - пленочные (например, типа K73-17) на напряжение не менее 400 В; C7, C8 - не менее 250 В. Диоды VD1-VD4 - диодная сборка или отдельные диоды на 400 В, 5 А. Диод VD6 - высоковольтный высокочастотный выпрямительный (400 В, 100 кГц, 1 А). Диодную сборку VD8 можно заменить на два отдельных высокочастотных выпрямительных диода (100 кГц, 70 В, 10 А), например КД213. Оптрон 4N32 можно заменить на 4N35 или на отечественный АОТ128.

Литература  
1. Сайт International Rectifier - [www.irf.com](http://www.irf.com)

2. В.Воевода «Простое триисторное зарядное устройство». Ж. Радио № 11, 2001г, стр.35.

3. Б.Ю.Семенов «Силовая электроника для любителей и профессионалов» М., 2001, «Солон-Р»



# Сварочный полуавтомат в углекислотной газовой среде с автоматической подачей сварочной проволоки

Владислав Помелов, г. Самара, radioam@nm.ru,

WWW-сайт «Радиотехника, Схемотехника, Электроника»: <http://radioam.nm.ru>

**Вниманию любителей «починять» автотранспортные средства своими руками предлагается для самостоятельной сборки авторская схема и конструкция сварочного полуавтомата в углекислотной газовой среде с автоматической подачей сварочной проволоки в зону сварки.**

## Назначение и описание устройства

Автолюбители знают, что для сварки кузова «железных» коней одного лишь аппарата дуговой электродной сварки переменного тока недостаточно – тонкий металл кузова требует аккуратной и жалательно быстрой точечной сварки. Конечно, существует несколько типов сварочных аппаратов разного рода, доступных для частных автовладельцев, например – ацетилено-кислородная сварка или сварка в среде углекислого газа. Но по сравнению с ацетилено-кислородной сваркой полуавтоматическая сварка в среде углекислого газа имеет существенные преимущества:

- зона термического влияния очень узкая, поэтому деталь деформируется очень мало или вовсе не деформируется;

- краска на детали выгорает тонкой полосой, что уменьшает объем подготовки, рихтовки и окраски изделия;

- т.к. скорость расплавления электродной проволоки очень высока - общая производительность сварки выше в 2-3 раза;

- качество сварочного шва лучше;

- не требуется очень точной подгонки деталей перед сваркой;

- качественный шов получается даже при разных толщинах свариваемых деталей;

- углекислый газ менее дефицитен, чем кислород или ацетилен;

- способ сварки осваивается легко и быстро.

Для полуавтоматической сварки в среде углекислого газа отечественной промышленностью выпускается различное оборудование: А-537, А-537У, А-547Р, А-825М, А-1230М и др., поэтому организациям более интересными могут оказаться именно эти готовые промышленные устройства, а любителям, державшим в руках паяльник, автор предлагает самим собрать разработанный им подобный несложный аппарат, который он эксплуатирует уже третий год.

С одной стороны углекислый газ защищает расплавленный металл от воздействия кислорода и азота воздуха, с другой стороны – он разлагается на окись углерода (угарный газ) и кислород, который окисляет металл. Для компенсации окисления применяют специальную омедненную электродную проволоку, содержащую кремний и марганец: Св-08ГС, Св-08Г2С, Св-10ГС, Св-12ГС, как нетрудно догадаться из обозначений – 0.8, 0.8, 1.0 и 1.2 мм диаметром

соответственно. Практические числовые данные, которые должны достаточно точно выдерживаться (**особенно это касается напряжений**) во избежание плохого качества сварки, приведены в **табл.1**.

Автор в своей конструкции использовал 0.8 мм омедненную электродную проволоку, которую удалось купить на рынке. Поэтому схема рассчитана именно на режим работы, соответствующий первой строке **табл.1**.

**Схема аппарата приведена на рис.1.**

Его основа – мощный сварочный трансформатор T1, который подключается к сети 220 В коммутатором или включенным встречно-параллельно оптопристроях VS1,VS2, управляемых ключом VT1-VT2 и обеспечивает:

- сварочное напряжение с выходной обмотки II (согласно первой строке табл.1), выпрямленное мостом VD1...VD5, сглаженное фильтром L1-C1 (R3 балластный резистор, разряжает C1 на холостом ходу);

- напряжение питания (с выходной обмотки III) электродвигателя, подающего сварочную проволоку, который включается ключом VT8 через стабилизатор напряжения C6-DA2-R11-R12-C7 и выходной мощный транзистор VT7;

- напряжение питания (с выходной обмотки III, пониженное до 12 В резистором R9) газового клапана KL1, который включается схема электронным ключом VT5-VT6.

Переключателем SA2 первичной обмотки можно изменить выходное напряжение примерно от 18...21 В.

Включение аппарата производится нажатием на кнопку SA1 «Пуск», которая подключена на вход каскада на VT3 (с R4C2-цепью на входе), который представляет собой антидребезговый ключ с двумя проводами от кнопки (если желаете, то можно применить стандартные антидребезговые решения на ИМС триггеров, логических элементов, но они требуют три провода от кнопки, а внутри примененного автором стандартного промышленного «держака» сварочного полуавтомата проложено только два провода для кнопки).

К аналогичному ключу на VT4 подключен кремниевый диод VD14, который может быть закреплен в качестве термодат-

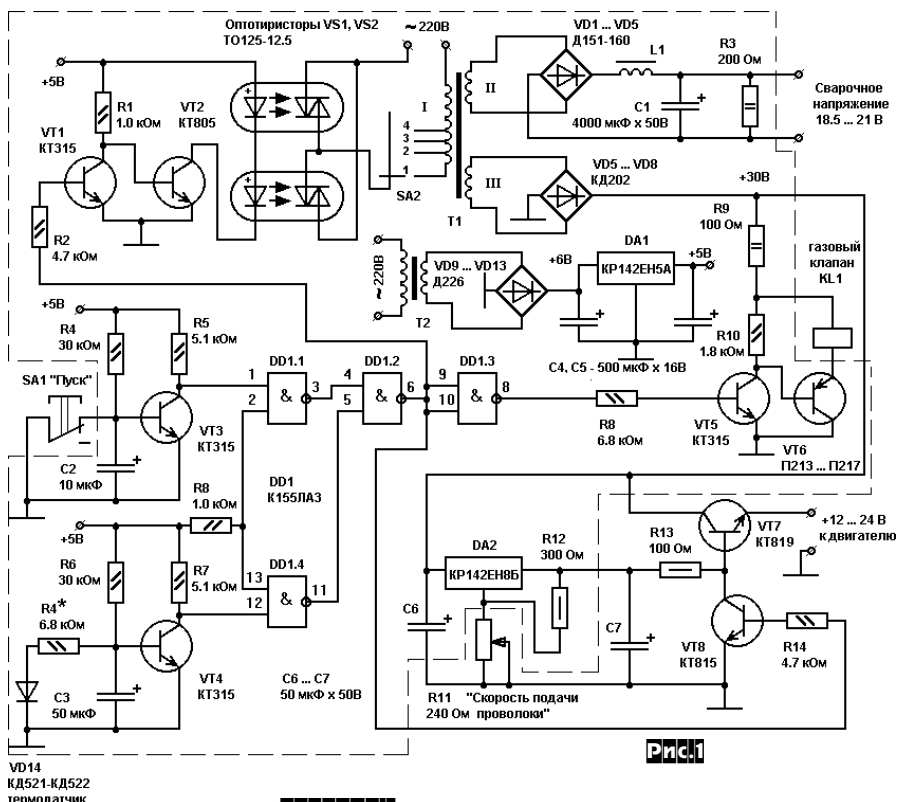
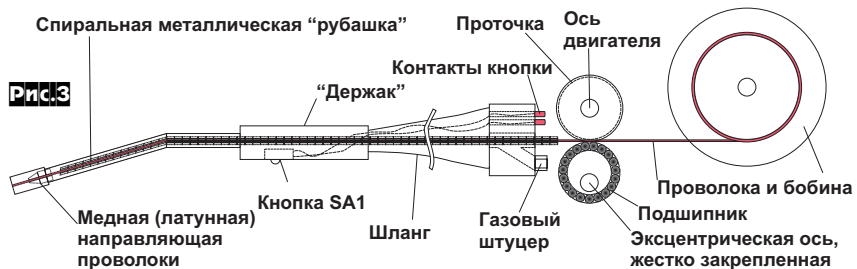
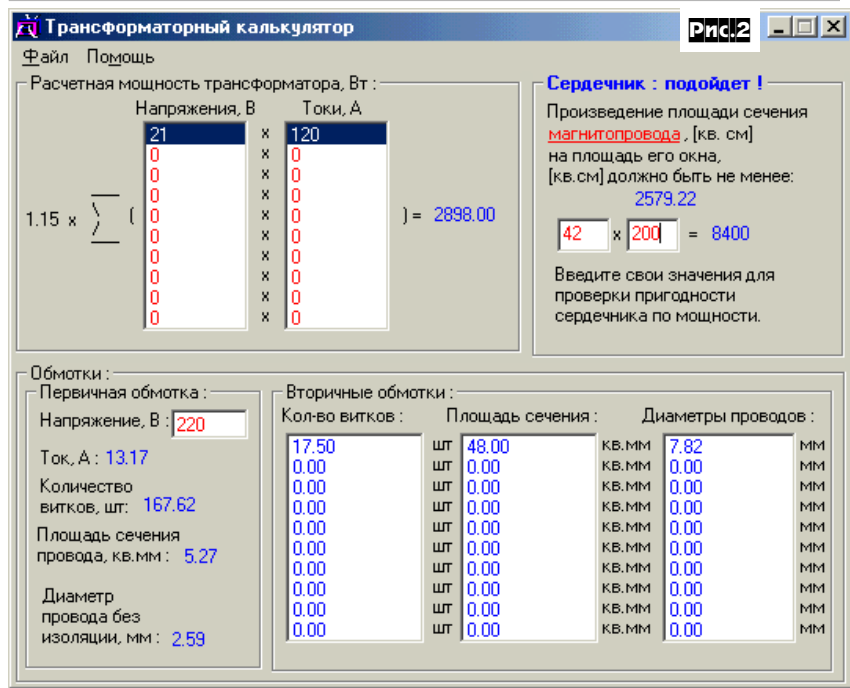


Таблица 1

Диаметр проволоки, мм	Толщина детали, мм	Сварочный ток, А	Напряжение, В	Скорость сварки, м/ч	Вылет электрода, мм	Расход газа, л/мин
0.8	1...2.5	70...150	17...21	20...35	7...9	6...7
1.0	1...3	100...180	18...23	25...40	8...10	6...8
1.2	2...4	140...300	20...28	30...45	9...24	7...9

Чика на самом горячем узле схемы при его продолжительной работе, подберите резистором R4 подходящий температурный порог срабатывания, при котором VT4 закроется и через DD1.4 отключит все узлы аппарата. Но если Ваша конструкция никогда не перегревается при продолжительной работе, то весь узел VD14-R4-R6-C3-VT4-DD1.4 можно удалить из схемы.

## БЫТОВАЯ ЭЛЕКТРОНИКА



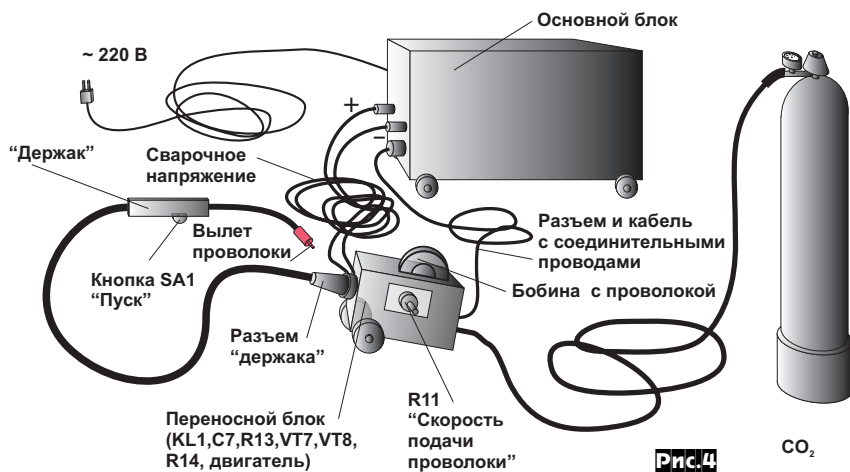
Необходимые фазы управляющих сигналов для выходных узлов аппарата (T1, газового электроклапана KL1, электродвигателя) обеспечивает всего одна ИМС DD1 155ЛА3, которая вместе с VT1, VT2, VS1, VS2, VT3, VT4 питается стабилизированным DA1 напряжением 5 В от низковольтного выпрямителя T2-VD9...VD13.

Выпрямительные диоды VD1-VD5 – мощные, на соответствующий сварочный ток, они могут быть следующих типов: D151-160 (максимальный прямой ток 160 А), D161-200 (максимальный прямой ток 200 А), B200-6 (максимальный прямой ток 200 А), B2-200-9 (максимальный прямой ток 200 А). Остальные радиоэлементы, думаю,

сложностей в выборе или замене не представляют.

### Конструкция

Сварочный T1 должен иметь мощность около 2,5-3 кВт. Автор рассчитывал его исходя из имеющегося обмоточного материала, т.е. медной шины сечением 6 х 8 мм для вторичной обмотки II T1 и стержневого (О-образного) магнитопровода (площадь сечения сердечника 42 кв.см., площадь «окна» сердечника 200 кв.см.) на напряжение 21 В и ток 120 А при помощи своей программы «Трансформаторный калькулятор» ([http://radioam.chat.ru/zip/tr\\_calc.zip](http://radioam.chat.ru/zip/tr_calc.zip); [http://radioam.nm.ru/zip/tr\\_calc.zip](http://radioam.nm.ru/zip/tr_calc.zip), а также на сайте «Радиохобби»),



которая использует усредненный расчет сетевых трансформаторов 220 В - 50 Гц – (см. **рис.2**). Обе обмотки мотаются симметрично, т.е. на стержневой (О-образный) сердечник половину обмотки на каждую сторону. И не забудьте правильно соединить половинки между собой, синфазно (конец одной с началом другой), иначе получите 3-киловаттный электрообогреватель ☺. И то ненадолго: сгорит обмотка или электропроводка без предохранителя. Если будете использовать в своей схеме SA2, то сделайте отводы по 1 витку от края обмотки.

Первичная обмотка I и вторичная III трансформатора T1 намотаны одним и тем же проводом диаметром 2,5 мм в бумажной изоляции.

Низковольтный трансформатор T2 рассчитывается аналогично на выходное напряжение 6 В и ток нагрузки 1 А.

Дроссель L1 намотан толстым сварочным кабелем винавал до заполнения сердечника на статоре какого-то двигателя (Ø12 см) с прорезью, его индуктивность получилась порядка 1...2 мГн (не критична). Конденсатор C1 имеет емкость 4000 мкФ, но можно поставить и больше. От стабильности напряжения зависит качество дуги, а следовательно шва сварки.

В качестве двигателя автор использовал двигатель на 24 В стеклоочистителей от «КамАЗ»-а. Он потребляет ток порядка 3 А.

Газовый клапан – опять-таки с автомобиля – 12-ти вольтовый клапан подачи воды к стеклоочистителю с «восьмерки» (ВАЗ 2108). Потребление – около 0,4 А.

«Держак» сварщика – промышленного производства для сварочных полуавтоматов (тип, к сожалению, не знаю): резиновый пустотелый шланг ~3 см в диаметре, внутри проходит стальная витая «рубашка» для сварочной проволоки и два изолированных провода для кнопки «Пуск». По шлангу подается углекислый газ из баллона. На одном конце шланга – разъем с контактами, штуцером для газового шланга, отверстием для «рубашки» и гайкой, крепящей весь разъем к ответной части. На другом конце шланга – сам «держак»: пластмассовая ручка с нишей под кнопочный переключатель и трубка с наружной резьбой, на которую устанавливается наконечник, сквозь который выходит проволока – **рис.3**.

Большинство узлов схемы аппарата размещены в металлическом корпусе на колесиках (обведенное штриховой линией на схеме), сварочное напряжение снимается с контактных болтов, выведенных в стенку этого корпуса, а остальное размещено так, как показано на **рис.4**:

·газовый клапан KL1, а также C7, R11, R13, VT7, VT8, R14 размещены в отдельном небольшом корпусе (тоже с колесиками на одной стороне), на котором также размещен разъем, коммутирующий выше перечисленные элементы с основной платой устройства;

·SA1 «Пуск» – кнопка, размещенная в нише «держака» сварщика.

**От редакции.** Рекомендуем в цепь эмиттера VT2 установить резистор сопротивлением 1...2 Ома мощностью 1 Вт для продления ресурса светодиодов оптопристропровов VS1, VS2.

### Литература

1. Виноградов В.С. Оборудование и технология дуговой автоматической и механизированной сварки.: Учебник для проф. учеб. Заведений. М.: Высш. шк.: Изд.центр «Академия», 1997. - 320 с. ил.
2. Рютман Х.Я. Ремонт легковых автомобилей.- М.: «Патриот», 1992.-320 с., ил.

# Преобразование файлов Р-CAD в графический формат PCX

Анатолий Горячкин, г.Кыштым

Для радиолюбителей, инженеров-конструкторов и разработчиков печатных плат существует потребность преобразования файлов Р-CAD в графические форматы. Конвертирование может понадобиться для вывода чертежей печатных плат на принтер или плоттер, при размещении рисунков печатных плат в популярных журналах, на Web-страницах в Интернете, для изготовления фототаблонов печатных плат. Не раз по этой теме были публикации в различных журналах. Описываемые ранее способы были сложны, неудобны для повседневного пользования, требовали дополнительного редактирования.

Вниманию читателей предлагается ещё один, простой и удобный способ преобразования файлов Р-CAD. Этот способ отличается от остальных высоким профессиональным уровнем получаемого качества и верности преобразования, при полном отсутствии каких-либо искажений. Это способ преобразования файлов формата PostScript (\*.psc), созданных в САПР Р-CAD v4.5, которая до последнего времени считалась одной из наиболее популярных программ для автоматизированного проектирования и разводки печатных плат на персональных компьютерах IBM PC.

Для преобразования файлов Р-CAD в графический формат PCX применяется программа BRD. Программа BRD представляет собой конвертер файлов формата PostScript (\*.psc) в растровый графический формат PCX. PostScript – это язык описания страниц, созданный фирмой Adobe Systems. Файлы формата PostScript создаются входящей в САПР Р-CAD v4.5 программой PC-PLOTS. Программа BRD в процессе работы интерпретирует исходный файл формата PostScript, а результат помещает в битовую карту. Затем битовая карта выводится в растровый графический формат PCX.

Программа BRD была разработана в Новосибирском институте автоматики и электрометрии Сибирского отделения Российской Академии Наук (<http://www.iae.nsk.su>). Дата разработки используемой версии программы BRD – май 2000 года.

Итак, начинаем готовить файлы формата PostScript. Предполагается, что файл описания топологии печатной платы \*.pcb уже создан. Используя программу PC-CARDS, сохраните в отдельных файлах \*.plt рисунки с проводниками для каждого слоя печатной платы. Например, если плата двухсторонняя, то следует создать два файла \*.plt.

Для просмотра на экране файлов \*.plt предлагается применять программу PltView. Программа PltView представляет собой простой и удобный просмотрщик plt-файлов, созданных в САПР Р-CAD v4.5. Рабочее окно программы PltView показано на **рис. 1**. Программа PltView, состоящая из одного файла **pltview.exe**, допускает произвольное её размещение на жёстком диске и может

быть расположена в любом месте по желанию пользователя, например в C:\Brd\Exe.

Далее загружаем программу PC-PLOTS. В меню программы выбираем опцию Configure PC-PLOTS и вносим изменения в конфигурацию программы PC-PLOTS в следующих строках:

Output device ..... disk

Default plotter .....PostScript

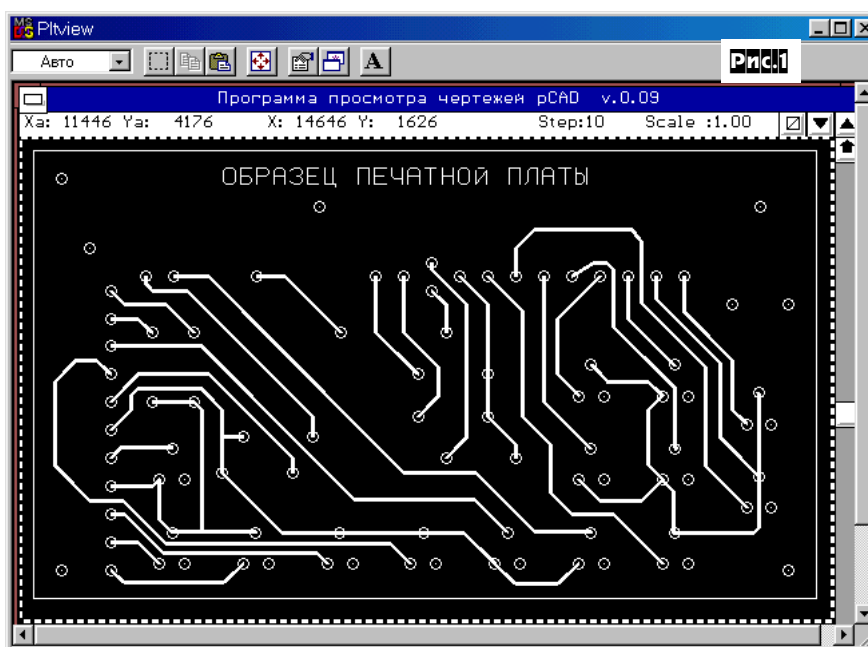
В результате внесённых изменений конфигурация программы PC-PLOTS должна соответствовать приведённой в **таблице 1**.

**Таблица 1**

PC-PLOTS Configuration

Default configuration .....	PCPLOTS.CFG
Plotter port .....	PORT1
Output device .....	disk
Output record length .....	--
Plot Flash-Apertures .....	No
Aperture List .....	Gerber Model 32(33, 41)
Default plotter .....	Postscript
Paper Size Setting .....	US
Default paper size .....	A
Plot .....	slow
Zero-width line diameter .....	0.020 "
Polygon cross hatch aperture width .....	0.250 "
Polygon cross hatch spacing .....	0.250 "
Text dimensions (% of text size) :	
Text character width (including space) .....	70 %
Text character height .....	80 %
Space below text line .....	10 %
Space above text line .....	10 %
Space from top of text to bar .....	20 %

Далее, сохранив изменения в файле конфигурации **pcplots.cfg**, нужно загрузить полученные файлы .plt в программу PC-PLOTS и получить файлы в формате PostScript (\*.psc). Важным параметром в процессе задания генерации файла формата PostScript является масштаб. Программа PC-PLOTS автоматически подбирает масштаб прорисовки так, чтобы область прорисовки вписывалась в лист жёстко заданного размера. Необходимо управлять этим параметром так, чтобы при конвертировании файла из формата PostScript в формат PCX можно было восстановить первоначальный масштаб. При задании масштаба прорисовки (параметр Scale Factor) его нужно округлять в меньшую сторону. Например, если программа PC-PLOTS предлагает масштаб 1,159, то его нужно задать равным 1, если же программа PC-PLOTS предлагает масштаб 0,683, то его нужно задать равным 0,5 и т.д. Заданное значение масштаба нужно запомнить, а лучше записать на бумаге. Оно потом понадобится при внесении изменений в конфигурационный файл программы BRD, размещённый в



C:\BRD\brdx.cfg.

И вот, наконец, наступил заключительный этап преобразования файлов. Полученные файлы формата PostScript (\*.psc) нужно скопировать в директорию C:\BRD, которая обязательно должна находиться в корневом каталоге, и внести следующие изменения в конфигурационный файл C:\BRD\brdx.cfg. В блоке [plot] в строке PCPlotScale нужно указать масштаб, использованный при создании файла в формате PostScript. В результате внесённых изменений файл **brdx.cfg** должен иметь вид, как указано в **таблице 2**.

**Таблица 2**

Resolution:	40
BandHeight:	0
MemFactor:	0.25
OutputFile:	x.pcx
[plot]	
PCPlotPage:	250.0 250.0
PCIIndent:	0.0
PCPlotScale:	1.0
PCSwapAxis:	0
[pcad]	
PCScaleX:	1.0
PCScaleY:	1.0
PCNegative:	0
PCMirror:	0

Для версии PCAD 4.5 требуется PCSwapAxis = 0, для других =1. Остальные параметры в конфигурационном файле можно также изменять. Программа универсальна и позволяет при необходимости создавать негативное (строка PCNegative: 1) и зеркальное (строка PCMirror: 1) изображения, а также увеличивать или уменьшать мас-

и сама программа Dos Navigator:

```
psc {C:\Brd\Exe\brdx.exe -p !!
ren x.pcx !.pcx
plt {C:\Brd\Exe\pltview !!}
```

Наличие ключа -p при запуске файла **brdx.exe** обязательно, его отсутствие лишает возможности работать с этой программой. После окончания редактирования файла **dn.ext** нужно перезагрузить Dos Navigator для принятия внесённых изменений. Далее указываем курсором на нужный файл формата PostScript и нажимаем на клавишу Enter, программа запускается и на экране монитора должно появиться диалоговое сообщение, как указано на **рис.2**. Выходные размеры в строке Output Size указываются в миллиметрах и при правильно указанном масштабе равны Plot-области и должны быть немного больше (но никак ни меньше!) габаритных размеров печатной платы. Они настолько получаются больше, насколько сделаны отступы при создании plt-файлов.

Если нажать клавишу Y или Enter, то программа начнёт преобразовывать файл формата PostScript в графический формат PCX, и сохранит его на диске под именем **file\_name.pcx** в каталоге C:\BRD. Нажав клавишу N, завершим работу программы без выполнения преобразования.

PCB-файлы желательно создавать в метрической системе единиц измерения, а не в дюймовой. Иначе после распечатки файлов формата PCX на принтере можно обнаружить, что габарит-

ные размеры печатных плат получились немного больше фактических размеров платы. Для решения этой проблемы можно применить масштабирование, внеся следующие изменения в конфигурационный файл **brdx.cfg** в блоке [pcad] в строках

PCScaleX: 0.983196  
PCScaleY: 0.983196

Адрес для скачивания программ BRD и PltView: <http://www.geocities.com/cvttograph/soft.zip>

**От редакции.** Часто более корректные результаты можно получить, выводя при помощи PC-PLOTS не в постскрипт, а в HPGL, для чего надо в конфигурации PC-PLOTS установить тип плottera HP-7475, а затем обрабатывать полученный файл программой PrintGL, которую можно взять на <http://www.geocities.com/altor.geo/files/PRGL158.ZIP>

#### Литература

1. Горячkin A. Преобразование файлов P-CAD в графические форматы. – Радио, 2002 г., № 1, с. 24

штаб по каждой из осей в отдельности (строки PCScaleX и PCScaleY).

Для более удобной работы с программами BRD и PltView лучше всего использовать файловую оболочку Dos Navigator v1.50 или выше. Предварительно перед началом работы нужно внести следующие изменения в файл обработки по расширению **dn.ext**, который должен располагаться в том же каталоге, где находится

**Издательство ЭЛЕКТРОННЫЕ КОМПОНЕНТЫ**

АДРЕС РЕДАКЦИИ:  
109044, Москва, а/я 19  
Телефон: (095) 925-6047  
Факс: (095) 928-0406  
e-mail: elecom@ecomp.ru  
<http://www.ecp.ru>

«Ремонт электронной техники»  
издается с 1999 года,  
периодичность – 9 номеров в год.

Бытовая теле-, аудио-, видеоаппаратура,  
средства связи, оргтехника и компьютеры,  
приборы и инструменты, Интернет для ремонта.  
Подписные индексы:  
по каталогу «Роспечать» – 79459 для РФ,  
72209 для других стран,  
по каталогу АРСМИ – 39458.

«Живая электроника России»  
ежегодный спецвыпуск журнала  
«Электронные компоненты».

Лучшие аналитические материалы:  
оценка рынка, итоги года, перспективы развития. Презентация  
российских производителей и дистрибуторов электронных  
компонентов. Входит в комплект подписки на  
«Электронные компоненты».

«Живая электроника России. Том 2»  
Электронная техника российского производства. Средства связи,  
компьютеры, системы безопасности, средства автоматизации и  
другие разделы. В каждом разделе – обзор рынка.  
В конце издания телефонно-адресный справочник российских  
производителей электроники.  
Подписные индексы: по каталогу «Роспечать» – 79934 для РФ,  
по каталогу АРСМИ – 39457.

«Электронные компоненты»  
издается с 1995 года,  
периодичность – 8 номеров в год.

«Электронные компоненты»  
издается с 1995 года,  
периодичность – 8 номеров в год.

# CD-ROM ЭНЦИКЛОПЕДИЯ



Известный автор Евгений Турута и фирма Десси ([www.dessy.ru](http://www.dessy.ru)) в мае выпустили серию CD-электронных справочников «Схемы и сервис-мануалы», охватывающую мониторы (в т.ч. TFT), копиры, телефаксы, принтеры (лазерные, светодиодные, термо, струйные, матричные, кассовые), сканеры. Документация в формате pdf.

## МОНИТОРЫ. DISK 1



### CRT МОНИТОРЫ:

Acer 7134	DEC CA6736DL	TX-T7F21M	TX-T7F37A-G	SAMSUNG SyncMaster 1000s: CGP1607L
ARX DA-456 AA	DEC CA6738SS	TX-T7F21U	TX-T7F37A-M	SAMSUNG CKA4217L
ARX DA-456 BA	DEC CA6738SL	TX-T7F75TC1	PANASONIC PanaSync SL75	SAMSUNG CKA4227L
ARX DA-1565	DELL 17FS-EN	TX-T7F75TR1	SERIES: CHASSIS 17THV15Z	SAMSUNG CKA5227L
ARX DB-1765	GoldStar Studioworks 56m	TX-T7F75TT1	TX-T7S37-G	SAMSUNG CKB5237L
ARX MA-1450	GoldStar GS-556	PANASONIC PanaSync E70i	TX-T7S37-M	SAMSUNG CKB7227L
Bridge CAD-451S	GoldStar CS767	SERIES: CHASSIS 17THV11W	TX-T7S37-TC1	SAMSUNG CKE5507L
Bridge CAE-3645G	GoldStar CS1725	TX-T7F22G	Philips 3CM9809	SAMSUNG CKE5507LM
Bridge CAE-5645G	GoldStar CS1725DM	TX-T7F22M	Philips 7CM3209 TV60	SAMTRON SC-528DX
CTX 1565MS	Hitachi CPX1498MS	TX-T7F22U	Philips 9CM082	SAMTRON SC-528DXL
CTX 1569S1	Hitachi HM-4119D	TX-T7F22TC1	Philips CS41017 GB	SAMTRON SC-728FXL
Daewoo CMC 1418AD	IBM 6543	TX-T7F22TR1	SAMSUNG 3NE	SCEPTRE
Daewoo CMC 1424S	IBM G50	PANASONIC P70 SERIES: CHASSIS 17HV10	SAMSUNG 4NE	SONY V-3 CHASSIS:
Daewoo CMC 1425S	Mazellan 17PX	PANASONIC P70 SERIES: CHASSIS 17HV10	SAMSUNG 400B	CPD-101VS
Daewoo CMC 1427X	Mitac L1766PD-11U	TX-D7F54E	SAMSUNG 500p	SONY N3P CHASSIS:
Daewoo CMC 1502B	Mitsubishi C-6401	TX-D7F54G	SAMSUNG 500Mp	GDM-F400
Datas NM 1449	Mitsubishi FA34 SERIES:	TX-D7F54M	SAMSUNG CFA767	GDM-F400T9
DEC CA6415DS	FA31WEK	TX-D7F54SW	SAMSUNG CFA768	ViewSonic 1569GS-1
DEC CA6415DL	FA3115ATK	TX-D7F54U	SAMSUNG CFG9637	ViewSonic 1569GS-2
DEC CA6515DS	FA315ATKE	PANASONIC PanaSync P110	SAMSUNG CMA 537P	ViewSonic E655
DEC CA6515DL	FA3115ATKJ	SERIES: CHASSIS 15THV7J	SAMSUNG CMA 5377	ViewSonic EA771
Daewoo CMC 1418AD	FA3125	TX-D1F72E	SAMSUNG CMA 5377L	ViewSonic GS771
Daewoo CMC 1424S	FA3425	TX-D1F72G	SAMSUNG CSQ4327	ViewSonic P775
Daewoo CMC 1425S	FA3415	TX-D1F72M	SAMSUNG CSQ4387	ViewSonic V773
Daewoo CMC 1427X	FA3525	TX-D1F72SW	SAMSUNG CST7677L	LCD МОНИТОРЫ:
Daewoo CMC 1502B	FA3435	PANASONIC S50 SERIES: CHASSIS 15THV7J	SAMSUNG CST7687L	SAMSUNG SM 320TFT и 520TFT
Datas NM 1449	Mitsubishi TFS67075SK	TX-T5F69PC1	SAMSUNG CVL 495	
OPTIQUEST DA-456 AA	OPTIQUEST DA-456 BA	S50	SAMSUNG ML-2571	
PANASONIC 21GV3 CHASSIS:	PANASONIC 21GV3 CHASSIS:	S50EC1, S50ET1	SAMSUNG ML-2611	
TX-D2171	TX-D2171	S50-RC1	SAMSUNG ML-4511	
PANASONIC TX-T1562	PANASONIC TX-T1562	S50-TC1	SAMSUNG ML-4571	
PANASONIC PanaSync E70	PANASONIC PanaSync E70	S50-TR1	SAMSUNG SC-428PS	
SERIES:	SERIES:	S50-UC1	SAMSUNG SC-726GX	
CHASSIS T17HV9K	CHASSIS T17HV9K	PANASONIC PanaSync SM70i	SAMSUNG SC-728FXL	
TX-T7F21A	TX-T7F21A	SERIES:	SAMSUNG SyncMaster 15Ge	
TX-T7F21G	TX-T7F21G	CHASSIS 17THV15A	SAMSUNG SyncMaster 15Ge	
			SAMSUNG SyncMaster17Gle	

## ТЕЛЕФАКСЫ И КОПИРЫ DISK 1



### КОПИРЫ:

CANON FC210	PANASONIC FP-D600	CANON MultiPASS C50	PANASONIC KX-F910BX	PANASONIC UF-321
CANON FC230	RICOH FT2050	OKIFAX 1000	PANASONIC KX-F1000	PANASONIC UF-322
CANON PC300	RICOH FT2070	OKIFAX 1050	PANASONIC KX-F1020	PANASONIC UF-585
CANON PC320	RICOH FT3020	OKIFAX 2350	PANASONIC KX-F1100BX	PANASONIC UF-595
CANON PC325	RICOH FT3050	OKIFAX 2450	PANASONIC KX-F3000	PANASONIC UF-885
PANASONIC DP-150	RICOH FT3060	OKIFAX 5750	PANASONIC KX-FM131AL	PANASONIC UF-895
PANASONIC DP-250	RICOH FT5233	OKIFAX 5950	PANASONIC KX-FM131RS	PANASONIC UF-S1
PANASONIC FP-D350	RICOH FT5433	OKIFAX 4500	PANASONIC KX-FM330E	PANASONIC UF-A8100
PANASONIC FP-D450	RICOH FT5733	OKIOFFICE 84	PANASONIC KX-FP86	PANASONIC UF-S10
	RICOH FT6765	OKIFAX 5400	PANASONIC KX-FP320E	PANASONIC UF-A8200
	RICOH FT8880	OKI TF-300P	PANASONIC KX-FP101AL	PANASONIC UF-V40
	SHARP SF-2052	PANASONIC KX-F50	PANASONIC KX-FP105RS	PANASONIC UF-V60
	SHARP SF-2150	PANASONIC KX-F76	PANASONIC KX-FP121AL	SAMSUNG SF-110T
	SHARP SF-2014	PANASONIC KX-F90	PANASONIC KX-FPC91	
	SHARP SF-2114	PANASONIC KX-F120B	PANASONIC KX-FPC95	
	SHARP SF-2214	PANASONIC KX-F130	PANASONIC KX-FPC96	
	SHARP Z-810	PANASONIC KX-F206TW	PANASONIC KX-FT21RS	
	SHARP Z-820	PANASONIC KX-F230	PANASONIC UF-305	
	SHARP Z-830	PANASONIC KX-F390	PANASONIC UF-315	
	ТЕЛЕФАКСЫ:	PANASONIC KX-F500	PANASONIC PX-305	
	CANON FAX-L260i	PANASONIC KX-F750	PANASONIC UF-A8300	

## ТЕЛЕФАКСЫ И КОПИРЫ DISK 2



### КОПИРЫ:

CANON FC200	CANON GP605	SHARP SF-2027	OKIFAX OF-17H	PANASONIC KX-F680 BX
CANON FC220	CANON NP-6621	SHARP SF-D20	OKIFAX OF-17L	PANASONIC KX-F2510 BX
CANON PC400	PANASONIC FA-A355	SHARP SF-D21	OKIFAX 360	PANASONIC KX-F2681 BX
CANON PC420	PANASONIC FA-DS725	SHARP SF-DM11	OKIFAX 380	PANASONIC KX-F3000 BX
CANON PC430	PANASONIC FA-DS825	SHARP SF-2116	OKIFAX 740	PANASONIC KX-FP80
	PANASONIC FA-TR355	SHARP SF-2118	OKIFAX 740mf	PANASONIC KX-FP101
	RICOH FT 3113	SHARP SF-2216	OKIFAX 1050	PANASONIC KX-FP105
	RICOH FT 4421	SHARP Z-20	OKIFAX 2350	PANASONIC KX-FP300E
	RICOH FT 4430	SHARP Z-23	OKIFAX 2450	SAMSUNG SF-4500
	RICOH FT 4460	SHARP Z-25	OKIFAX 2200	SAMSUNG SF-4500C
	RICOH FT 5540	SHARP Z-52	OKIFAX 2400	SAMSUNG Msys4700
	RICOH FT 5550	ТЕЛЕФАКСЫ:	OKIFAX 2600	SAMSUNG Msys4800
	RICOH FT 5570	CANON FAX-L350	OKI F125	SAMSUNG MJ-4500C
	RICOH FT 6645	CANON MultiPASS C70	OKI F130	
	RICOH FT 8780	CANON MultiPASS C80	PANASONIC KX-F7B	
	RICOH M5	CANON FAX-B210C	PANASONIC KX-F110	

## ПРИНТЕРЫ и СКАНЕРЫ, DISKS 1, 2, 3



Практически все популярные лазерные принтеры HP Laser Jet (от LJ II до LJ2100 TN, цветные LJ8500), Panasonic, Epson, светодиодные OKI, струйные Canon, Epson, матричные Epson, OKI, кассовые Canon, Epson. Цифровые фотопринтеры Sony. Сканеры Epson, Canon, Avision. К сожалению, только подробные описания, без схем. В бонусе - те же полезные утилиты, что и в дисках Мониторы.

Для получения дисков жителям России необходимо письмом (открытым) по адресу 111401, г.Москва, а/я 1, Коваленко Ирине Михайловне сообщить свой полный адрес, ФИО и название заказываемых дисков. Диски высыпаются наложенным платежом. Стоимость диска 180 рублей с учётом почтовых расходов оплачиваете при получении в своём почтовом отделении.

К сожалению, в Украину наложенного платежа нет. Вам следует перевести 30 грн. за каждый диск по адресу 111401, г.Москва, а/я 1, Коваленко Ирине Михайловне и сообщить свой полный адрес, ФИО, перечень заказываемых дисков.

Имеющие доступ в Интернет могут заказать диски в он-лайн магазине по следующим ссылкам:  
<http://www.dessy.ru/cgi-bin/shop.cgi?do=describe&code=16843> - факсы N1  
<http://www.dessy.ru/cgi-bin/shop.cgi?do=describe&code=16845> - принтеры N3  
<http://www.dessy.ru/cgi-bin/shop.cgi?do=describe&code=16944> - принтеры N2  
<http://www.dessy.ru/cgi-bin/shop.cgi?do=describe&code=16960> - принтеры N1  
<http://www.dessy.ru/cgi-bin/shop.cgi?do=describe&code=16946> - факсы N2  
<http://www.dessy.ru/cgi-bin/shop.cgi?do=describe&code=16838> - мониторы N1